

**INSTITUTUL POLITEHNIC "TRAIAN VUIA"  
T I M I S O A R A  
Facultatea de construcții**

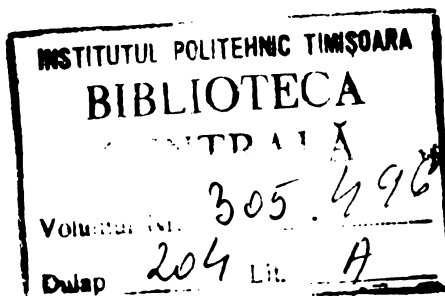
Ing. MARIA ARSENIE

**CONTRIBUTII LA SOLVAREA UNOR PROBLEME  
DE REGULARIZAREA ALBIILOR**

**- Teză de doctorat -**

BIBLIOTECA CENTRALĂ  
UNIVERSITATEA "POLITEHNICA"  
TIMIȘOARA

Conducător științific  
Prof.dr.ing. CORNEL JURA



**- Timișoara 1976 -**

## CONTRIBUTII LA REZOLVAREA UNOR PROBLEME DE REGULARIZAREA ALBILOR

### C u p r i n s .

#### Capitolul I - INTRODUCERE

1.- Problema apei în iume și în R.S.R.

2.- Problema regularizării cursurilor de apă.

3.- Utilitatea și obiectul tezei

#### Capitolul II - CONTRIBUTII LA CINEMATICA CURGERII PE SECTOARELE IN ALIMENT

1.- Repartizarea vitezei pe verticală

1.1.- Relații recomandate în literatura de specialitate

1.2.- Relație propusa pentru lungimea de amșteo

1.3.- Relație propusa pentru repartiția vitezei pe  
verticală

2.- Repartiția vitezei pe latime

#### Capitolul III - CONTRIBUTII LA CINEMATICA CURGERII PE SECTOARELE IN CURBA

1.- Denivelarea longitudinală a suprafeței libere a  
apei pe sectoarele în curbă

2.- Denivelarea suprafeței libere a apei pe sectoarele  
în curba după direcția transversală (radială)

3.- Circulația transversală în literatura de specia-  
litate

4.- Relație propusă pentru distribuția vitezelor radiale

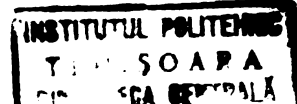
5.- Distribuția vitezelor longitudinale pe sectoarele  
în curba

6.- Program de calcul automat al vitezelor medii verti-  
cale și al adincimilor apelor pe sectoarele în curbă

#### Capitolul IV - CONTRIBUTII LA DETERMINAREA INFLUENȚEI TRANS- PORTULUI DE ALUVIUNI TIRITE ASUPRA STABILITATII ALBILOR PE SECTOARELE IN ALIMENT

1.- Fenomenul de transport al eluvialilor tirite; teoria  
și relațiile analitice

2.- Fundamentarea metodei propuse pentru determinarea  
stabilității locale



3.- Determinarea elementelor albiei stabilie  $b, n$  și  $i$  (problema I-a de proiectare.

4.- Calculul secțiunii transversale stabilie ( $b, n$ ) și a transportului de aluviuni  $P_{max}$  cind panta este dată (problema a doua de proiectare)

5.- Prognozarea evoluției unei albie existente

6.- Prognozarea transportului de aluviuni într-o albie existentă.

#### Capitolul V - CONTRIBUTII LA PROBLEMA STABILITATII LA EROZIUNE A ALBIEI IN CURBE

1.- Prezentarea cîtorva date din literatura de specialitate privind deformarea albiei în curbele curentilor cu față liberă.

2.- Propunere de evaluare a capacitatii de eroziune a curentului pe sectoarele curbe, comparativ cu sectoarele rectilinii

3.- Aplicarea metodelor propuse pentru determinarea vitezei de eroziune în curbe

#### Capitolul VI - STUDIU SI MODELARE HIDRAULICA

1.- Criterii de similaritate

2.- Modelul unui sector al rîului Argeș

#### Capitolul VII - CONCLUZII

Bibliografie

## Capitolul I - INTRODUCERE

### § 1.- Problema apei în lume și în R.S.R.

Folosirea rațională a resurselor de apă este un imperativ al epocii contemporane, sub diferite aspecte această problema fiind dezbatută în cadrul unor reuniuni cu caracter politic, științific sau tehnico-economic, și concretizată în numeroase documente adoptate atât pe plan mondial cît și pe plan național.

După cum este cunoscut România se situează printre țările cu resurse de apă relativ reduse, resursele rîurilor interioare fiind evaluate în medie la 35 miliarde mc/an revenind 1750 mc/an./locuitor, față de 4800 mc/an./locuitor cît este media pe întreaga Europă. Situația este dezavantajoasă datorită reparației neuniforme a acestor resurse pe teritoriul țării și datorită neuniformității debitelor în cursul anului. Aceasta justifică atenția deosebită acordată problemei apei la noi în țară.

Pe plan național, politica în domeniul apelor a fost elaborată treptat de către P.C.R. începând cu Conferința națională din 1945. O importanță deosebită pentru tratarea unitară a problemei apelor a avut adoptarea de către Plenara C.C. al P.C.R. din 17-19 martie 1970 a "Programului național pentru gospodărirea rațională a resurselor de apă și extinderea lucrărilor de îmbunătățiri funciare", în perioada actuală.

Importanța acordată problemei apelor este clar pusă în evidență și de un document atât de important cum este "Programul P.C.R. de făurire a societății sociale-sateliste multilateral dezvoltate și înaintare a României spre comunism" adoptat la Congresul al XI-lea. În partea a III-a privind obiectivele fundamentale ale etapei este prezentată, la punctul ai treilea, politica în domeniul gospodăririi apelor și protecției mediului înconjurător, imediat după politica industrială și ~~protecția mediului~~ a partidului.

TIPARITĂ  
SIGILU DE CENTRALĂ

Pe plan de stat, politica generală în domeniul apelor este oglindita într-un cadru legislativ, cel mai important document adoptat de M.A.N. în aceasta problemă fiind Legea Nr. 8/1974 (legea apelor) care reglementează pe baze unitare probleme privind conservarea, valorificarea și protecția resurselor de apă în cadrul fiecărui bazin hidrografic, modul coordonat în care trebuie să se realizeze și să se exploateze toate lucrările hidrotehnice necesare folosirii complexe a apelor, apărării contra inundațiilor, satierei și conținutelor de apă în continuă creștere ale

populației și economiei naționale.

Pagubele produse de inundațiile din anii 1970, 1972 și 1975 au demonstrat importanța lucrărilor de regularizare a cursurilor naturale de apă și a canalelor în cadrul ansamblului de lucrări hidrotehnice necesitate de folosirea rațională a resurselor de apă.

### § 2.- Problema regularizării cursurilor de apă

Proiectarea, execuția și întreținerea lucrărilor de regularizare a albiei naturale pun probleme tehnice deosebit de complicate datorită caracterului complex al proceselor de albie determinate de interacțiunea unei multitudini de factori a căror acțiune în timp nu poate fi izolată și în consecință nici măsurată.

Avinđ în vedere cele de mai sus, fundamentarea pe baze științifice a lucrărilor de regularizare este de dată relativ recentă (în trecut aceste lucrări se executa, în general, pe baze empirice).

Cercetările științifice efectuate pe plan mondial ar putea fi grupate în principal în următoarele trei direcții :

- cinematica curentilor lichizi, avind drept obiect studiul curentilor de apă la care mișcarea aluvionilor apare ca un fenomen secundar, ce poate fi neglijat ;

- dinamica aluvionilor la care atenția este concentrată asupra mișcării aluvionilor sub acțiunea curentului lichid;

- studiul proceselor de albie, la care se face sinteza celor două aspecte prezentate mai sus, avind ca obiect determinarea elementelor albiei stabile privită ca rezultat al acțiunii simultane a curentului lichid și a mișcării aluvionilor asupra patului aluvionar.

Dintre aluvioni cele transportate prin tîrire au un rol hotăritor în formarea albiei. Autocarea consideră ca termenul de "tîrire" utilizat în literatura tehnică românească poate crea o imagine falsă asupra modului de deplasare a acestor aluvioni, el sugerând o mișcare de translacție, de alunecare, a particulei aluvionare aflată într-un permanent contact cu patul rigid. În realitate o astfel de mișcare a aluvionilor nu există deplasarea particulei făcindu-se mai mult prin rotație și relativ puțin prin translacție. În mișcarea de rotație, datorită neregularităților particulei aluvionare și a patului, este posibil ca particula să facă mici salturi pierzind temporar contactul cu patul rigid.

Este cunoscut faptul că în general un curs natural

de apă are în plan un traseu sinuos, caracterizat de existența a numeroase curbe, în timp ce un canal artificial se execută cu lungimi mari de sectoare rectilinii.

Curbarea firelor de lichid componente ale curentului are loc și la confluența curentilor, la despartirea riuului în brațe, la ocolirea diferențelor obstacole naturale sau construcțiilor hidrotehnice. Deși în general aceste fenomene sunt considerate locale, este de menționat că această localizare are un caracter convențional deoarece cercetările experimentale indică faptul că la sfîrșitul unei curbe nu se refac distribuția vitezelor caracteristică sectorului rectiliniu /Z-1/, ci pentru aceasta este necesară încă o porțiune rectilinie destul de lungă, aproximativ de același ordin cu lățimea albiei.

Având în vedere cele de mai sus este exagerat de a afirma că în cazul albiilor naturale, spre deosebire de cazul canalelor artificiale, mișcarea rectilinie a curentilor se întâlnește rar, iar mișcarea în curbe are, în consecință, o importanță practică încontestabilă. Studiul științific al acestui fenomen este însă deosebit de dificil. Pentru a sublinia acest lucru cunoscutul om de știință francez Saint-Venant a afirmat chiar că studiul mișcării lichidului în curbe este un mijloc de a ajunge la disparare /P-5/, afirmație care își păstrează în parte valabilitatea și în prezent. Particularitatea esențială a mișcării lichidelor în curbe o constituie apariția unei curgeri secundare într-un plan radial, care compusă cu curgerea longitudinală principală dă o curgere elicoidală. Circulația transversală a lichidului provoacă o redistribuire a vitezelor longitudinale, comparativ cu curgerea pe secție rectilinii, datorită faptului că particulele lichide antrenate în aceasta circulație poseda cantități de mișcare diferite de cele ale straturilor pe care le străbat. Sub efectul forței centrifuge apare și o denivelare a suprafeței apei în sens radial ceea ce conduce la o schimbare pe porțiuni și a pantelor longitudinale. Redistribuirea pe lățime și adâncime a vitezelor conduce la creșterea pierderilor de sarcină în curbe odată cu aceasta schimbându-se și caracteristicile de turbulentă. Așa ar spăra, în primă aproximatie, fenomenul în cazul albiilor cu pat fix. În cazul albiilor cu pat mobil problema se complică simțitor prin faptul că schimbarea cimpului de viteze în curbe conduce inevitabil la schimbarea capacitații de transport a curentului, la redistribuirea aluviunilor pe secțiunea vie a curentului. Se produce astfel o schimbare a condițiilor de deformare a

albiei în curbe care are ca urmare schimbarea secțiunii transversale a acesteia. Schimbarea geometriei albiei produce la rîndul ei o schimbare a cîmpului de viteze ; prin interacțiunea dintre curent și albia deformabilă se produce astfel complicatul proces de formare a albiei. În acest fenomen deosebit de complex obținerea unor rezultate teoretice este posibilă numai în condițiile acceptării ideii necesității unor ipoteze simplificatoare, care să exprime esența fenomenului. Pe această cale s-a mers în cadrul tezei, îninindu-se rezultate finale avînd o concordanță acceptabilă cu determinările experimentale, rezultate care se pot folosi în practică.

De asemenea, complexitatea fenomenului face ca, în momentul actual să nu fie posibilă elaborarea unor metode sau criterii unice, care să prindă toate aspectele acestui fenomen complex, ci metodele sau criteriile existente au caracterul unor condiții necesare dar nu și suficiente. Dacă se proiectează de exemplu o albie stabila, în prezent, putem folosi metoda analogiei naturale, metoda relațiilor morfometrice, morfometrico-hidraulice, teoria regimului, relații bazate pe achilibrul limită al particulelor de fund, indicatori de stabilitate; mai puțin pusă la punct pentru a fi utilizată în proiectare este metoda rezistențelor hidraulice a lui Einstein-Barbarossa. Este necesar ca elementele albiei stabile proiectate să fie calculate cu toate aceste metode care exprimă condiții referitoare la diferite aspecte ale unui aceluiasi fenomen.

În teză se dezvoltă o metodă originală de determinare a elementelor albiei stabile, care nu poate fi inclusă în nici una dintre metodele enunțate anterior. Metoda pornește de la formula debitului solid tîrât sub forma dată de Meyer-Peter și Müller și de la utilizarea efectivă a principiului disiparii minime a energiei curentului enunțat calitativ de Velikanov. Acest principiu al disipării minime a energiei, un principiu variational, a fost utilizat efectiv de prof.dr.doc.S.Hâncu /H-1 și H-2/ la deducerea unor relații privind stabilitatea albiei; stabilitatea locala a albiei este asigurată, conform acestui principiu dacă efortul tangențial de frecare la perete este aproximativ egal cu de 10 ori efectul tangențial critic.

În teză se utilizează într-un alt mod acest principiu variational, elaborîndu-se o metodă detaliată de determinare a elementelor albiei stabile care a fost verificata prin experimente proprii pe model și prin măsurători efectuate de alții cer-

cetători pe modele și în natură. Metoda propusa, în teza, consideră că albia stabila este aceea care la anumit debit lichid transportă un debit solid tîrât maxim. Luind în considerare în primul rînd debitul solid tîrât metoda conduce, asemenea celorlalte metode, la condiții necesare, dar nu și suficiente de stabilitate, rezultatele obținute trebuind să fie verificate și prin celelalte metode; în final este de dorit a se efectua și încercări pe modele hidraulice care să confirme rezultatele teoretice.

In ceea ce privește aplicarea metodelor variaționale, în rezolvarea problemei hidrotehnice, ele sunt destul de slab utilizate pe plan național. În afara de prof.dr.doc.S.Hâncu, care a utilizat aceste metode și în rezolvarea altor probleme /H-1 și H-2/ se menționează și ciclul de lucrări /A-1,A-2,A-3,A-4 și A-5/ la elaborarea cărora am participat în calitate de coautoare.

### § 3.- Utilitatea și obiectul tezei

In urma unei activități de aproape două decenii, desfășurată în legătura cu execuția, întreținerea și proiectarea lucrărilor de regularizare, am ajuns la concluzia că o lucrare care să conțină o tratare aprofundată a unor lături ale acestui subiect, în care să se aducă esențiale contribuții la rezolvarea unor probleme concrete, este deosebit de utilă.

Această concluzie se bazează pe faptul că cercetarea unui vast material bibliografic de specialitate, care a fost posibil a fi consultat, mi-a permis să constat că majoritatea informațiilor sunt așpersate în multe lucrări, unele foarte greu de procurat.

In ceea ce privește lucrările de sinteză ele rar depășesc nivelul unor cursuri studențești, având prin natura lor un caracter general, repetind noțiunile clasice de bază necesare a fi cunoscute, dar insuficiente pentru rezolvarea unor probleme speciale, de o dificultate sporită cum sunt cele care apar în anumite situații reale pe care le au de rezolvat proiectanții lucrărilor de regularizare.

Teza de față caută să remedieze parțial această situație prin aceea că dezvoltă o serie de probleme care interesează în mod nemijlocit proiectantul lucrărilor de specialitate, referitor la fiecare problemă fiind date și o scurta și critică sinteză bibliografică.

Din necesitatea încadrării într-un număr limitat de pagini nu se vor expune zici în mod detaliat oricare dintre capitol-

lor și al paragrafelor, indicind la fiecare contribuțiiile aduse, deoarece acest lucru se va face în capitolul VII intitulat "Concluzii".

In cadrul acestui paragraf introductiv se va face o prezentare generală a obiectului tezei.

Contribuțiiile originale cuprinse în teză se referă la următoarele patru probleme, care fac obiectul a patru capitoare:

- cinematica curentilor cu față liberă pe secțiunile în aliniament;

- cinematica curentilor cu față lioeră pe secțiunile în curba;

- stabilitatea alioiei la eroziune pe secțiunile în aliniament;

- stabilitatea alioiei la eroziune pe secțiunile în curbă.

Alegerea acestor patru probleme nu a fost întâmplăpare, ci ele au fost sugerate de realizarea în cadrul Catedrei de CHIF a unor contracte de colaborare cu producția pe teme de regularizare, unde s-a răspuns, în termen scurt, problemelor puse de proiectanți. În acest scop s-a utilizat metoda modelării hidraulice, metodele teoretice de rezolvare a problemelor speciale menționate în contractele de cercetare nefiind suficient de clare.

Ulterior, într-un interval de timp mult mai lung, prin consultarea intensă a bibliografiei, prin adoptarea unor ipoteze simplificatoare și schematizări ale fenomenelor, a devenit posibilă o generalizare pe plan teoretic a rezultatelor obținute și elaborarea unor metode utilizabile în proiectare.

Toate propunerile originale făcute au fost minuțios verificate atât cu rezultate experimentale proprii cât mai ales cu rezultatele obținute în laborator sau în natură de alți cercetători.

In ceea ce privește cinematica curentilor cu față liberă pe secțiunile în aliniament problema principală constă în determinarea distribuției de viteze pe secțiunea vie a curentului. Dacă în ceea ce privește distribuția vitezelor pe înălțime, în aproximativă mișcările plane există relații relativ numeroase, în ceea ce privește distribuția pe lățime asemenea relații nu sunt cunoscute.

In cadrul respectivului capitol se face o minuțioasă verificare a aplicabilității relațiilor cunoscute în condițiile cursurilor naturale de apă utilizând în principal date din carnetele de măsuratori existente în arhiva Institutului de meteo-

rologie și hidrologie, filiala Timișoara, pentru râurile Timiș și Bega. Existând posibilitatea de îmbunătățiri relațiile cunoscute, în teză se propun relații originale de repartiție a vitezei bazate pe principiul variational al puterii disipate minime la un debit constant dat, dezvoltându-se unele considerații teoretice publicate în câteva lucrări, dintre care pentru problema tratată în teza cea mai importantă este lucrarea /A-4/.

Intrucât relațiile inițiale sunt stabilite pentru o secțiune vie de formă dreptunghiulară se va indica modul de adoptare a lor pentru a fi aplicate în cazul unei albi naturale. Relațiile propuse sunt verificate într-un paragraf special consacrat acestei probleme. Calitatea relațiilor se apreciază prin calcului a doi indicatori statistici caracteristici : abaterea medie relativă și abaterea medie patratică. . . .

. . . În cadrul următorului capitol se tratează cinematica curgerii pe sectoarele în curba.

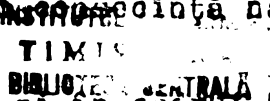
Problemele fundamentale care se pun sunt pe de o parte determinarea reliefului suprafetei libere, variabilă pe sectoarele în curba de la secțiune la secțiune, iar pe de altă parte determinarea distribuției vitezelor în cursa longitudinală și radială.

Cinematica curentilor în curbe are un caracter complex, unaniș recunoscut, întrucât peste mișcarea longitudinală principală apare o mișcare secundară circulatorie, în planul radial.

În teză se propune o schematizare a evoluției nivelurilor în axa longitudinală a curbei, o metodă de calcul, prin direcție finite, a diferențelor transversale și un algoritm cu program de calcul automat pentru determinarea distribuției vitezelor <sup>Propunerile sunt</sup> bazate în esență pe considerarea redistribuirii continue a vitezelor longitudinale sub efectul circulației transversale, distribuția inițială fiind tocmai cea obținută prin rezolvarea primei probleme referitoare la cinematica în aliniament. În felul acesta capitolul al III-lea apare ca ~~un capitol~~ o secință naturală a capitolului al II-lea.

Rezultatele teoretice se verifică și în cadrul capitolului al III-lea, în diferite condiții, folosind rezultate experimentale proprii și rezultate ale altor cercetători.

Aceste două capitole ale tezei trătesc aspectele cinematice ale curgerii, deși au un evident caracter aplicativ și vor sta în continuare la baza clasaorării unor metode privind stabilitatea la eroziune, au în același timp un caracter funda-



mental. Rezultatele obținute aici se pot folosi și la rezolvarea altor probleme cum sunt cele puse de proiectarea construcțiilor de captare, stabilirea legităților de meandrare ale albiei, proiectarea litorârilor de traversare, elaborarea unor procedee de îmbunătățire a condițiilor de navigație, dimensionarea lucrărilor de protecție a malurilor etc.

In cadrul capitolului referitor la stabilitatea albiilor în aliniament se consideră că factor preponderent transportul aluvianilor tărîte și se dau metode de rezolvare a patru probleme tipice : două dintre ele fiind probleme de proiectare, iar celelalte două, probleme de prognoza. Metoda de rezolvare este fundamentată pe principiul energiei disipate minime, a cărui primă utilizare în domeniul dinamicii albiilor naturale este atribuită lui M.A. Velicanov. În lucrare s-a utilizat însă forma echivalentă sub care acest principiu a fost formulat de prof.dr.doc.S. Hându. Acest principiu permite obținerea unei relații suplimentare între mărimele esențiale ce intervin în fenomen, care se adaugă la cele două relații uzuale (ecuația debitului lichid și ecuația debitului solid tărît).

Metodica propusă a fost aplicată la calculul elementelor albiei stabile pe rîul Jiu în zona Rovinari. Datele necesare calculului s-au extras din articolele care au apărut în revista "Hidrotehnica" în legătură cu această amenajare. Important a fost faptul că în această zonă s-au făcut măsurători înainte și după executarea lucrărilor de regularizare ceea ce permite să se tragă concluzii corecte.

De asemenea metoda a fost verificată cu datele obținute pe modelul sectorului de rîu Argeș.

In aceea ce privește creșterea capacitatii de eroziune a unui curent pe sectoarele în curbă comparativ cu sectoarele rectilinii la același debit, respectiv la aceeași viteză medie, ea a fost evaluată cantitativ cu ajutorul unui coeficient. Acest coefficient, supraunitar, notat  $\alpha$  este definit ca raport a două viteze medii ambele corespunzînd momentului de inițiere a procesului de eroziune :

-  $v_{eroz.rect}$  este viteză medie la care încep să apară eroziunile pe sectorul rectiliniu calculată prin împărțirea debitului aferent la secțiunea vie a curentului pe acest sector ;

-  $v_{eroz.curb}$  este viteză medie la care încep să apară eroziuni pe sectorul în curbă, calculată prin împărțirea debitului aferent la secțiunea vie a curentului pe sectorul rectiliniu.

Conform indicațiilor din /H-1/, secțiunea vie a curentului în curbă este aproximativ egală cu secțiunea vie a curentului în aliniament la un debit dat. Se preferă utilizarea secțiunii vie a curentului pe sectorul în aliniament drept mărime de referință deoarece ea se determină mult mai ușor.

În urma acestor considerente rezultă că problema fundamentală a evaluării creșterii capacitatei de eroziune pe sectorul în curbă este exprimată prin scăderea vitezei de eroziune a curentului în aliniament, scădere care se realizează prin împărțirea cu un coeficient supra unitar, denumit din acest motiv și coeficient de reducere a vitezei de eroziune. Prin aceasta se fac utilizabile datele care există referitor la viteza de eroziune în aliniament și pentru determinarea vitezei de eroziune în curbe, condiționat de cunoașterea valorii coeficientului de reducere  $\alpha$ .

Metoda de calcul a coeficientului  $\alpha$  constituie obiectul unui paragraf, ideea de bază fiind aceea a descompunerii coeficientului  $\alpha$  într-un produs de factori, fiecare reflectând o anumită latură a fenomenului creșterii capacitatei de eroziune în curbe. Metoda propusă va fi și în acest caz verificată prin încercări pe model.

Un capitol al tezei are drept obiect prezentarea legilor de similaritate care au stat la baza efectuarii cercetărilor prin modelare și prezentarea modelului unui sector al râului Argeș construit în cadrul laboratorului Catedrei CHIF a Institutului politehnic "Traian Vuia" Timișoara.

În cadrul acestui capitol este justificată alegerea scării modelului, modul de realizare a rezistențelor hidraulice pe model, modul de efectuare a măsurătorilor și sunt prezentate un număr de 12 fotografii privind ansamblul modelului, detalii de execuție, detalii privind cinematica curenților și aluvioniile.

În ultimul capitol sunt prezentate rezumativ conținutul fiecarui paragraf și contribuțiile proprii aduse în rezolvarea problemelor tratate.

x

x x

In încheierea acestui capitol introductiv, mulțumesc tuturor celor care m-au ajutat la elaborarea prezentei teze și în mod special conducerii institutului, conducerii catedrei, conducătorului științific și colectivului catedrei de C.H.I.F.

## Capitolul II

### CONTRIBUTII LA CINEMATICA CURGERII PE SECTOARELE IN ALINIAMENT

#### 1. Repartizarea vitezei pe verticală

##### § 1-1 Relații recomandate în literatura de specialitate

Problema repartiției vitezei după verticală în cașale de secțiune dreptunghiulară și trapezoidală, ca și în albiile rîurilor a fost mult studiată atât din punct de vedere teoretic cît și din punct de vedere experimental fără a fi complet echipată.

In cele ce urmează se prezintă pe scurt, relațiile referitoare la sectoare în aliniament cu secțiunea transversală aproximativ simetrică și fundul plat.

Relațiile recomandate de literatura de specialitate pot fi grupate în următoarele trei categorii : relații de tip parabolic, de tip eliptic și de tip logaritmico.

a.- Relațiile de tip parabolic sunt reprezentate caracteristic de aşa numita "lege la 1/7" recomandată în lucrarea /H-1 p.18/ :

$$\frac{\bar{U}}{U_{\max}} = \left( \frac{z}{h} \right)^{\frac{1}{n}} \quad (\text{II-1-1-1})$$

în care :

$\bar{U}$ , este viteza medie temporală corespunzătoare distanței z de la fundul albiei ;

$U_{\max}$ , este viteza maximă (medie temporală) în aceeași verticală în care s-a determinat și  $\bar{U}$ ; se consideră că viteza maximă se realizează la suprafața apei ( $z = h$ ) ;

n, un exponent care în cele mai multe cazuri are valoarea 7,

O indicație privind variația exponentului "n" este dată de cercetările experimentale minuțioase efectuate de Nikuradze /S-1 p.538-540/ în domeniul  $4 \cdot 10^3 \leq Re \leq 3,2 \cdot 10^6$  în cazul conductelor. Experiențele au indicat o slabă dependență a exponentului "n" de numărul Reynolds (Re). În cazul albiilor în locul diametrului se recomandă a se lua de patru ori raza hidraulică a secțiunii vii a curentului în calculul numărului Re și funcție de acesta următoarele valori "n" obținute sunt date în tabela Nr. II-1-1-1.

Tabela Nr. II-1-1-1

$Re$ în $10^3$	4	100	3240
n	6	7	10

Cercetările lui Nikuradze au indicat abateri ale valorilor experimentale de la această lege în zona centrală a conductelor și a canalelor.

In cazul acestei relații de repartiție, prin integrarea legii (II-1-1-1) între limitele  $z = 0$  și  $z = h$ , se obține următoarea legătură între viteza medie notată  $\bar{U}$  și viteza maximă  $\bar{U}_{\max}$  a verticalei respective :

$$\frac{\bar{U}}{\bar{U}_{\max}} = \frac{2n^2}{(n+1)(2n+1)} \quad (\text{II-1-1-2})$$

In tabela Nr. II-1-1-2 este dat raportul  $\bar{U}/\bar{U}_{\max}$  pentru diferite valori ale exponentului "n".

Tabela II-1-1-2

n	6	7	8	9	10
$\bar{U}/\bar{U}_{\max}$	0,791	0,817	0,837	0,852	0,865

Având în vedere importanța poziției vitezei maxime pe verticală este necesar să se face un comentariu care să justifice ipoteza adoptată. Faptul că se acceptă maximul vitezei la suprafață este echivalent, pentru modelul mișcării plane, cu neglijarea frecării între suprafața apei și aerul de deasupra. Deocamdată această frecare este mult mai mică decât cea care se produce la curgerea în lungul peretilor solizi este de așteptat că eroarea făcută prin adoptarea unei astfel de ipoteze să fie mică. Referitor la formulele practice recomandate, pentru cazul rîurilor, se menționează admisibilitatea considerării unei repartiții parabolice cu maximul vitezei la suprafață /P-1 p.256-258/. Cantitativ, în luorarea citată, se apreciază că adâncimea de la suprafață apei pînă la nivelul la care se realizează viteza maximă reprezentă 0,0017 - 0,09 din adâncimea curentului pe verticală respectivă.

Un al doilea factor care influențează coborîrea nivelului la care se realizează viteza maximă se referă la lățimea relativă a cursului de apă (care condiționează și utilizarea modelului plan al curgerii) și anume coborîrea este mai mare la canale înguste decât la cele de lățime mare (care fac obiectul tezei).

O cercetare experimentală concluzionată referitoare la poziția vitezei maxime pe verticală, realizată într-un canal de lățime 40 cm și adâncimi variabile, este redată în luorarea /G-2 fig.14 p.109/ din care s-au făcut reproduceri parțiale în fig. (II-1-1-1).

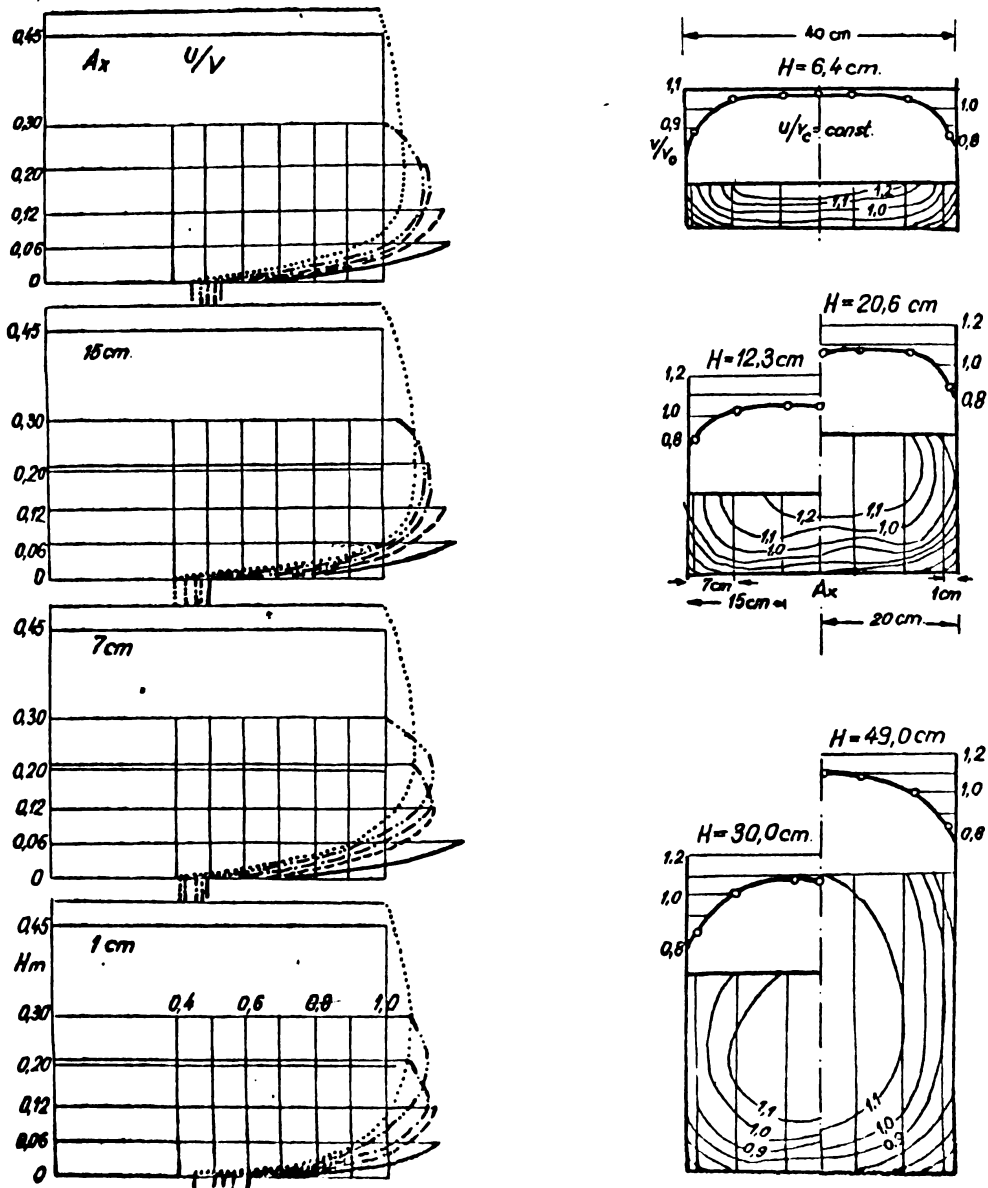


Fig. II-1-1-1. Cimpul vitezelor functie de inaltimea apei intr-un canal dreptunghiular cu rugozitate mare.

In lucrarea /S-5, p.10-11-12/ sunt date distributiile de viteze pentru 100 verticale pe rîul Trotuș la portul hidrometric Tîrgu-Ocna, obținute într-un interval de timp de peste patru ani, acoperind întreaga lățime a rîului și la care adîncimea apei a fost mai mare de 0,8 m. Din cauza spațiului limitat al prezentei teze se reproduc în fig. (II-1-1-2) doar un număr de 36 distribuții de viteze pe verticală.

In fine un al treilea factor de luat în considerare este rugozitatea patului. Efectul rugozității este clar evidențiat în figura (II-1-1-3 a) rodată după /V-2, p.25/ figură care nu mai necesită alte comentarii.

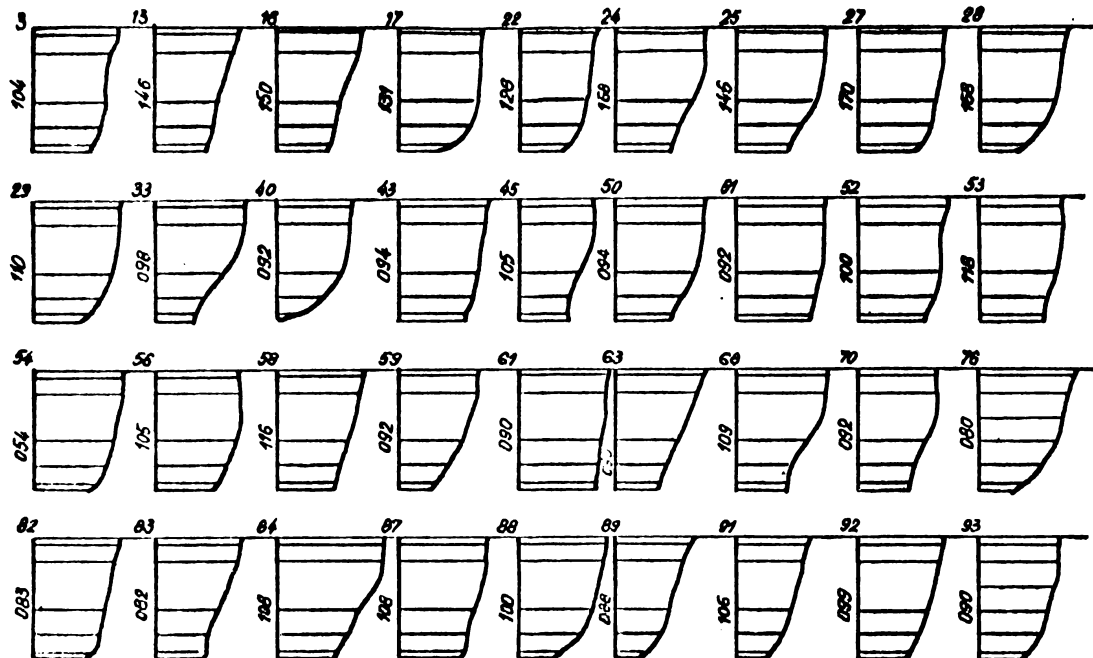


Fig. II.1-1-2  
Epurele vitezelor pentru 36 de verticale pe rîul Trotus, postul hidrometric Tîrgu-Ocna.

Tot după /V-2, p.24-25/ într-un canal larg, rapid și puțin adânc sau într-un canal foarte neted, viteza maximă poate fi deseori găsită la suprafața curentului fig.(II-1-1-3 b) în timp ce într-un canal îngust viteza maximă coboară fig.(II-1-1-3 c).

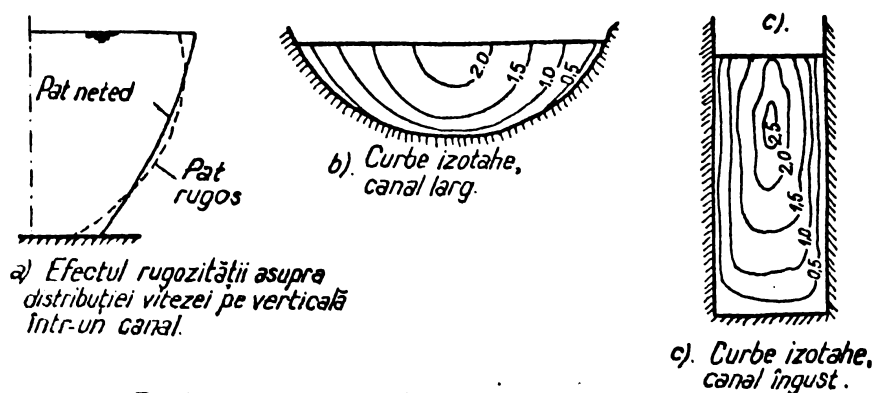
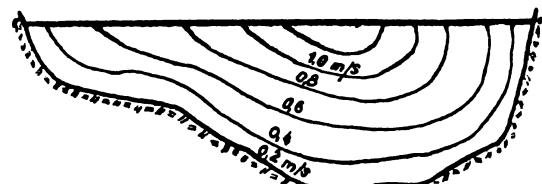
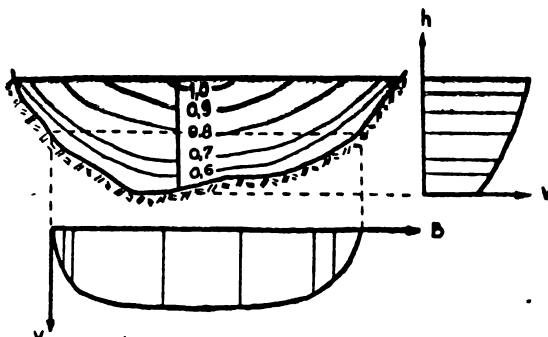


Fig. II.1-1-3 Repartiții de viteză în canale.

Si în cazul albiilor naturale largi viteza maximă se întâlnește adeseori la suprafață. Spre exemplificare se dă figurile (II-1-1-4 a) după /C-1, p.93/ și (II-1-1-4 b) după /O-1, p.51/.



a) Izotabe in profil transversal.



b) Izotabe, repartitia de viteze.

Fig. II.1-1-4. Repartiții de viteze în albi naturale.

b.- Relațiile de tip eliptic sunt în general mai puțin utilizate. Dintre ele se menționează relația propusă de A.V. Caraușev după /A-6/ :

$$\frac{\bar{U}}{U_{\max}} = \sqrt{1 - P(1 - \frac{z}{h})^2} \quad (\text{II-1-1-3})$$

în care parametrul  $P$  are valoarea medie 0,55, iar vitezele maxime de la suprafață sunt legate de viteza medie de pe verticală respectivă prin relația :

$$\bar{U}_{\max} = 1,11 \bar{U} \quad (\text{II-1-1-4})$$

Această ultimă relație se obține prin integrarea lui (II-1-1-3) între limitele  $z = 0$  și  $z = h$ .

Deficiența principală a formulelor de tip parabolic și eliptic referitoare la repartitia pe verticală a vitezelor constă în aceea că ele supraestimează valorile vitezelor de fund (în zona  $z/h < 0,1$ ). Din această cauză utilizarea lor în determinarea vitezelor de fund, este acoperitoare.

c.- Relațiile de tip logaritmic reflectă cel mai bine dintre toate relațiile propuse, caracterul repartitiei vitezelor (determinate pe cale experimentală).

Astfel, preluând rezultatele a 100 determinări experimentale /M-5, p.246/ pentru adâncimi cuprinse între 0,14 m și 12,05 m efectuate de Velinev, s-a constatat că cele mai bune rezultate pe toată înălțimea curentului, cu excepția unei mici zone de la fund, le dă legile de tip logaritmic.

În lucrarea /V-3, vol. II, p.323/ se arată că cel mai bun profil pentru repartitia vitezei este cel logaritmic și în consecință se recomandă utilizarea lui.

De asemenea în /G-3, p.428/ se face observația că, curentul uniform către liberă la numere Froude mici este o astfel de curgere turbulentă, la care repartitia logaritmică a vitezelor este satisfăcută cu ceea mai mare exactitate.

Dintre relațiile logaritmice se menționează :

- relația clasică a lui L.Prandtl /S-1, p.531/ denumită

și "legea universală a deficitului de viteză" :

$$\frac{\bar{U}_{max} - \bar{U}}{U_*} = \frac{1}{\delta C} \ln \frac{h}{z} \quad (II-1-1-5)$$

respectiv :

$$\frac{\bar{U}_{max} - \bar{U}}{U_*} = 5,75 \lg \frac{h}{z} \quad (II-1-1-5')$$

în care :

$v_*$  =  $\sqrt{gRJ}$  este denumită viteză tensiunii de frecare sau viteză dinamică de frecare și constituie o importantă caracteristică a turbulentei curentului ;

$g$ , accelerarea gravitațională ;

$R$ , raza hidraulică ;

$J$ , panta suprafeței libere a apei, care în cazul albiilor regularizate de secțiune constantă funcționând în regim uniform, este egală și cu panta fundului albiei ;

$\delta C$ , constantă universală, având în general valoarea  $\delta C = 0,4$  ; în unele lucrări este denumită și constanta lui Karman.

Această relație, obținută pe cale semi-empirică, prin considerarea transferului de impuls în cazul curgerii turbulentelor în lungul unui perete plan, prezintă pe lângă o corespondanță bună cu rezultatele experimentale și avantajul simplității ceea ce poate deveni un factor hotăritor în alegerea relației de utilizat în dezvoltări analitice ulterioare.

În ceea ce privește viteză dinamică de frecare, în cazul canalelor sau ai albiilor largi, se poate înlocui raza hidraulică cu adâncimea medie  $H$  obținindu-se astfel relația de calcul a acestei mărimi sub forma :

$$U_* = \sqrt{g H J} \quad (II-1-1-6)$$

După lucrarea /G-1, p.67/ pe rîul Turuncik din U.R.S.S. s-au obținut pentru  $v_*$  valori cuprinse între 1 cm/s și 5 cm/s, iar pe rîul Udji din Japonia  $v_* = 4,5$  cm/s.

După lucrarea /I-1, p.513-523/ în canalul Sosui din Japonia la regimul de curgere corespunzător adâncimii medii  $H = 180$  cm și  $Re = 1,2 \cdot 10^6$  s-a obținut pentru viteză dinamică valoarea 5,4 cm/s.

Studii asupra majorității rîurilor din Cehoslovacia /R-1, p.310-339/ la care panta  $J$  a avut valori de ordinul  $10^{-3}$ , au condus la valori pentru  $v_*$  cuprinse între 6,4 cm/s și 11,8 cm/s.

După cum am amintit anterior, viteză dinamică  $v_*$  constituie o importantă caracteristică a turbulentei curentului. Astfel în /F-1, p.1630-1644/, comparindu-se rezultatele obținute în la-

borator cu datele măsurătorilor pe cursuri naturale, se constată că la aceleasi valori ale vitezei dinamice pulsatiile turbulente apar apropiate ca mărime în condiții destul de diferite ale curgerii ca și pentru diferite rugozități ale patului. Din prelucrarea acestor rezultate s-a găsit că o importantă caracterizare a începutului punerii în mișcare a aluvionilor se poate da cu ajutorul unei viteze dinamice "critice";

- relația clasică a lui T.Karman /S-1,p.530/ este de asemenei o "lege universală a deficitului de viteză" pusă sub forma :

$$\frac{U_{\max} - U}{U_*} = - \frac{1}{K} \left[ \ln \left( 1 - \sqrt{1 - \frac{z}{h}} \right) + \sqrt{1 - \frac{z}{h}} \right] \quad (\text{IL-1-1-7})$$

în care constanta lui Karman are valoarea determinată experimental  $K = 0,36$ . Relația lui Karman, obținută de asemenea pe cale semiempirică prin considerente de similitudine pentru curgerea turbulentă în lungul unui perete plan, este bine verificată de rezultatele experimentale, fiind însă mai puțin simplă decât relația lui Prandtl se pretează mai puțin la prelucrări analitice.

Cele două relații logaritmice prezentate se utilizează atât pentru curgeri în canale și albi regularizate cît și în cazul conductelor.

Privind utilizarea relațiilor de distribuție a vitezei pe verticală enumerate pînă aici trebuie făcute următoarele două observații esențiale :

a.- relațiile presupun o curgere plană, care se realizează în general în secțiunile de aliniament ale canalelor prismatice și albiilor regularizate. Este evident că în cazul canalelor și albiilor relativ largi de care se ocupă teza în mod special, acest model al curentului plan este utilizabil în condiții bune.

După unele cercetări de la sfîrșitul secolului XIX și începutul secolului XX a rezultat concluzia că și într-o albă prismatică rectilinie pot apărea curenti transversali (Stearns în SUA 1883, Max Müller în Germania 1881, Losievskî în Rusia 1890). Totuși aşa cum au arătat măsurările îngrijite ale lui Gibson din Anglia 1909, viteza curentilor transversali în albi rectilini reprezintă maximum 5 % din viteza longitudinală. După unele date mai recente /M-2,p.22/ viteza curentilor transversali la colțurile canalelor dreptunghiulare nu reprezintă decit (0,6 - 2) % din viteza longitudinală, procentele cele mai reduse înregistrându-se în cazul peretilor cu rugozitate mică. Ca atare în sec-

toarele de aliniament s-a neglijat și în lucrare circulația transversală.

După /V-2,p.26-27/ în canale foarte largi măsurătorile au arătat că distribuția vitezei în regiunea centrală este în esență aceeași ca într-un canal dreptunghiular de lățime infinită. Cu alte cuvinte, în aceste condiții malurile canalului practic nu au influență asupra distribuției vitezei în zona centrală și curgerea în această regiune poate fi considerată, în consecință ca bidimensională (plană). Experimente îngrijite au arătat că regiunea centrală are această proprietate în canale dreptunghiulare doar dacă lățimea este mai mare decât de 5-10 ori adâncimea apei în canal, funcție de rugozitatea patului. Cum această condiție este realizată în cadrul canalelor și albiilor regularizate largi, studiate în cadrul tezei, rezultă că adoptarea modelului plan al curgerii este în acest caz pe deplin îndreptățită.

b.- relațiile prezentate au fost elaborate și verificate pentru cazul curgerii în lungul unor pereti hidraulice netezii, respectiv al unor canale și albi cu pereti netezii. Aceste condiții sunt cel mai bine realizate în cazul canalelor și albiilor cu pat fix neerodabil.

Multe studii au fost întreprinse pentru a se constata dacă distribuția vitezelor locale rămîne logaritmicoă și în cazul curentilor rectilinii uniformi pe un pat mobil. După /L-1,p.76/ care se referă la lucrările publicate în Occident, cele mai importante în această direcție au fost cercetările lui V.A.Vanoni (1946), E.Meyer-Peter și R.Müller (1948), T.Tsubaki și Furuya (1951), T.Tsubaki, T.Kawasumi și T.Yasutomi (1953), Y.Iwagaki (1954), H.A.Kinistein și Ning-Chien (1955), A, I.Raudkiri (1953), R.I.Garde și A.S.Paintal (1964) și E.V.Richardson (1965). Aceste studii au arătat că pe albiile erodabile trebuie distinse două tipuri de curgeri :

- curgeri pe fund plat (cu sau fără transport de aluviuni tifite) sau curgeri pe fund cu rifluri ;

- curgeri pe fund cu dune și antidune.

Pentru curgerile de primul tip, vitezele rămîn practice aceleasi atît în timp cît și în spațiu, iar distribuția lor pe verticală este logaritmicoă în raport cu ordinata z care exprimă distanța de la fundul plan :

$$\frac{U}{U^*} = \frac{1}{\delta} \ln \frac{z}{\delta} \quad (\text{III-1-1-8})$$

unde  $\delta$  este un parametru cinetic marginal avind dimensiune de lungime. Pentru eliminarea parametrului marginal se recurge la

viteza maximă obținându-se în final relația (II-1-1-5). Spre deosebire însă de cazul clasic al canalelor cu pat fix funcționând cu apă curată, în cazul patului erodabil se închetează de a mai fi o constantă universală, iar parametrul  $\delta$  închetează de a mai fi independent de condițiile curgerii. Ambii parametri depind de caracteristicile lichidului și ale aluviunilor de diferite tipuri (tărîte și în suspensie), de condițiile curgerii, iar în cazul în care curgerea este însoțită de deformații ale fundului și de înălțimea și lungimea de undă a riflurilor. Deși studiile întreprinse în această direcție sunt numeroase ele nu au condus încă la concluzii certe, utilizabile în practică. Totuși se pot da unele indicații și anume :

- "constantă universală" se variază de la valoarea 0,15 pînă la valori supraunitare, aproximativ invers proporțional cu numărul Froude stelat :  $Fr_* = \frac{V^*}{\sqrt{(S^2-1)gd}}$  depinzînd și de parametrul de formă  $\Delta/\lambda$  a ondulațiilor fundului, în care :
  - $S$  este densitatea fazei solide (aluviuni) și  $S'$  a fazei lichide ;
  - $d$  este diametrul mediu al aluviunilor constitutive a patului ;
  - $\Delta$  înălțimea riflurilor și a danelor ;
  - $\lambda$  este distanța medie între două creste consecutive (lungime de undă).
- parametrul marginal  $\delta$ , care poate servi la caracterizarea rugozității fundului, variază aproximativ direct proporțional cu numărul Froude stelat, cu numărul Froude al curentului și cu parametrul de formă  $\Delta/\lambda$  ai ondulațiilor fundului.

In ceea ce privește curgerile pe fund ou dune și antidune, vitezele locale variază în spațiu, în lungul curentului de la o verticală la alta (după poziția relativă a verticalei față de creste și adâncuri). Dacă în cazul danelor distribuția vitezelor (medii temporale în spațiu poate fi aproximată cu o lege logaritmicoă de distribuție, în ceea ce privește antidunele nici măcar această aproximare nu mai poate fi făcută.

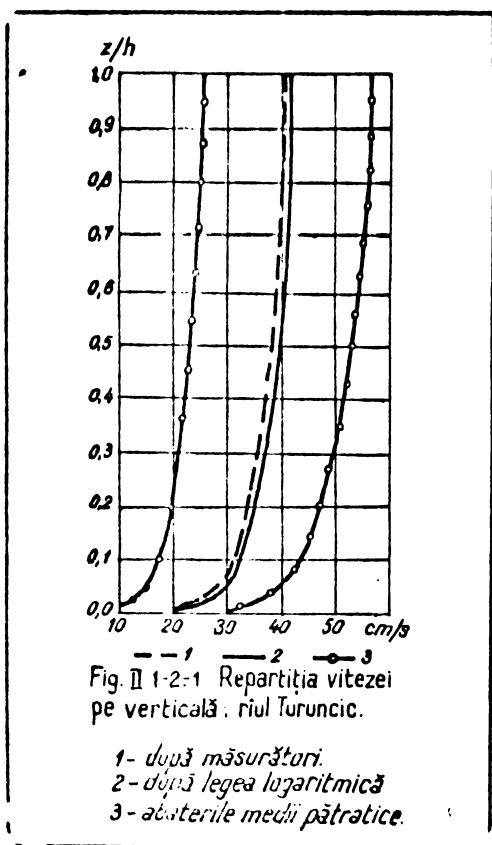
In cadrul tezei se aduc contribuții la cinematica curgerii în albiile ou fundul plat.

### § 1.2. Relație propusă pentru lungimea de amestec

Obiectul prezentului paragraf îl constituie obținerea unei relații originale pentru lungimea de amestec, care să permită stabilirea unei relații originale, mai apropiată de realitate a distribuției vitezei pe verticală.

a.- Necesitatea unei noi relații de distribuție a vitezei pe verticală

Necesitatea obținerii unei noi relații pentru sechoarele în aliniament ale albiilor regularizate și ale canalelor largi, rezultă din compararea unor rezultate experimentale cu relațiile teoretice anterior prezentate, care pînă în evidență o diferență relativ mică, dar sistematică între ele. Astfel în lucrarea /G-1, p. 66/ este dat un grafic care ilustrează afirmația anterioară, graficul fiind întocmit pe baza măsurătorilor efectuate de respectivul autor (Grimvald) pe rîul Turuncic în cursul anilor 1966-1971 (Fig. II-1-2-1). S-au efectuat 60 ședințe de măsurare a vitezelor cu ajutorul micromoriștilor, măsurările făcîndu-se în 10 puncte echidistante pe fiecare verticală. Durata măsurărilor a fost 300 secunde. În aceeași figură s-a trasa graficul dat de formula lui Prandtl (II-1-1-5) constatîndu-se că există o diferență de același semn între valoările celor două curbe.



In cadrul unui contract de ceroetare s-a construit modelul unui sector al rîului Arges, modelul fiind amplasat în cadrul laboratorului Catedrei de construcții hidrotehnice și îmbunătățiri fun- ciare a Facultății de construcții din Institutul politehnic "Traian Vuia" Timișoara. Pe sechoarele rec-

tilinii ale acestui model s-au efectuat determinări experimen- tale ale repartiției vitezelor pe fiecare verticală în sase puncte. Comparate cu relațiile teoretice de tip logaritmico (II-1-1-5) și (II-1-1-7) se constată existența unor abateri sistematice (fig. II-1-2-2). Se menționează că modelul de repre- zentare comparativă a rezultatelor teoretice și experimentale adoptat pentru modelul de la Arges este diferit de cel adoptat în /G-1/ pentru rîul Turuncic și anume: la Arges comparația s-a făcut pornindu-se de la aceeași viteză medie pe verticală a curentului, respectiv de la un același debit. De aici a rezul- tat că este principal imposibil să se obțină o diferență de

semen constant între curba teoretică și cea experimentală : în

în timp ce unele puncte experimentale se vor situa de o parte a curbei teoretice a lui Prandtl, în mod obligatoriu celelalte puncte se vor situa de ceeață parte a acestei curbe astfel încât viteza medie să rămână neschimbată. Ca o concluzie generală, din această comparație se observă că vitezele reale spre suprafață sunt mai mici decât cele teoretice date de relația Prandtl, iar

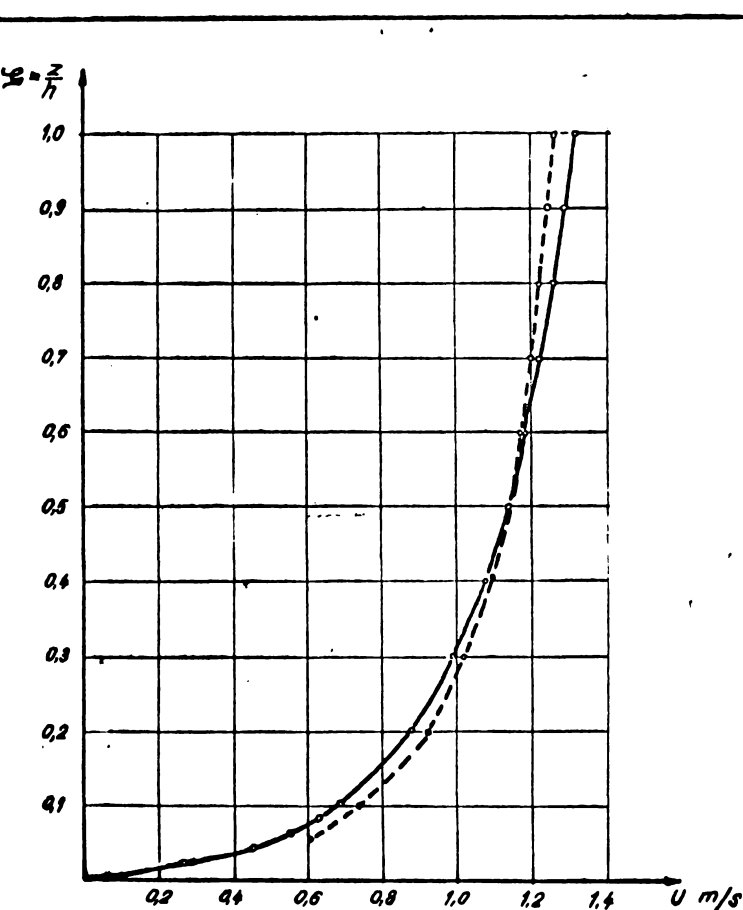


Fig. II-1-2-2 Repartiția vitezei pe verticală (model Argeș)  
---1. după măsurători.  
— 2. după legea logaritmice.

spre fund sunt puțin mai mari. De aceea aici, prin abatere sistematică între curba teoretică și cea experimentală se înțeleg foarte multe diferențe.

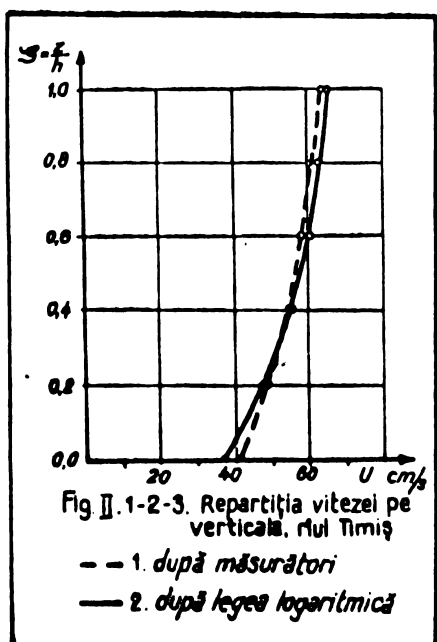


Fig. II-1-2-3. Repartiția vitezei pe verticală, Mui Timiș  
---1. după măsurători  
— 2. după legea logaritmice

In fine în figura II-1-2-3 sunt reprezentate comparativ distribuțiile de viteze determinate pe cale experimentală și teoretică; datele experimentale au fost obținute din arhiva Institutului de meteorologie și hidrologie filiala Timișoara și se referă la rîul Timiș în secțiunea 2.1.4. Lugoj.

Concluzia unică la care conduce aceste trei exemple reprezentative arătate anterior este aceea că în cazul canalelor și albiilor regularizate largi există o abateră

sistematică, în același sens, între rezultatele măsurătorilor și cele teoretice, abatere relativ mică. Existența acestei abateri justifică încercarea de a stabili o nouă relație pentru repartiția vitezei pe verticală, mai exactă și care urmează a fi folosită ca bază de pornire pentru cinematica curgerii în secțiunile curbe.

b.- Modelul curgerii

Așa cum este indicat și în /H-2, p.88-89/ pentru a depăsi dificultățile cauzate de existența suprafeței libere (orizontale) în determinarea legii de repartiție a vitezelor, se consideră că secțiunea vie a curentului este echivalentă cu jumătate din aceea a unui curent fără față liberă. În cazul modelului plan adoptat, în primă instanță, în cazul canalelor și albiilor relativ largi, aceasta revine la echivalența indicată în Fig. II-1-2-4.

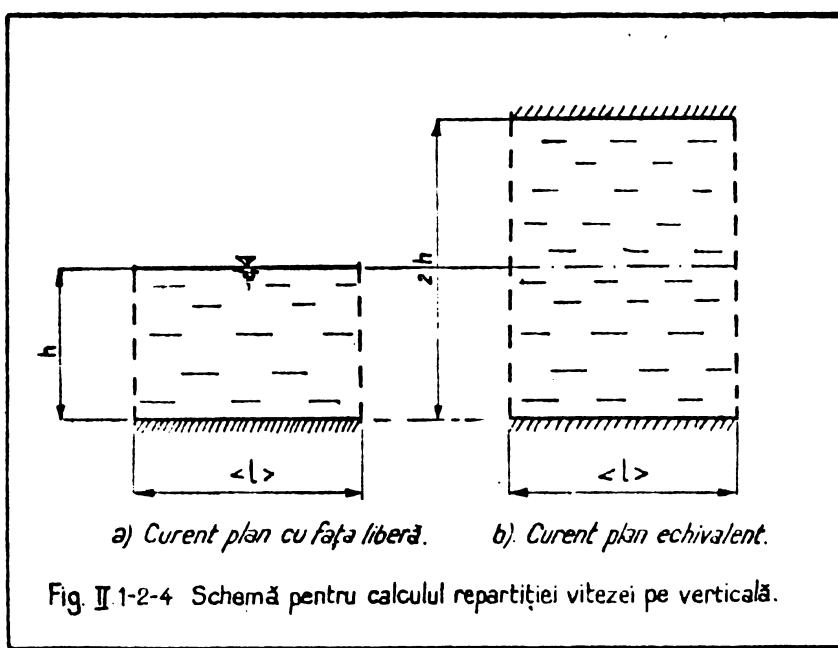


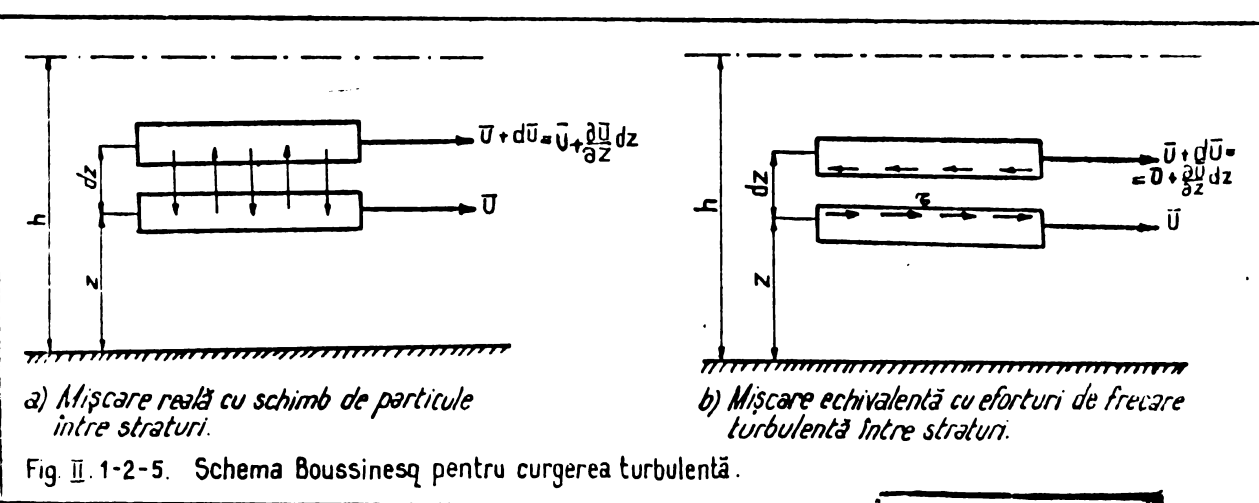
Fig. II-1-2-4 Schemă pentru calculul repartiției vitezei pe verticală.

Repartiția vitezei, pentru curentul echivalent, ar trebui principal să fie obținută pe cale teoretică prin integrarea sistemului de ecuații Reynolds care reprezintă modelul matematic al curgerii turbulentă, sistem alcătuit din trei ecuații scalare de bi-

lanț de impuls ale mișcării mediate temporal (ecuațiile de mișcare) și o ecuație de bilanț al masei (ecuația de continuitate). Din păcate acest sistem de ecuații redat în tratatele de hidraulică și mecanica fluidelor nu este un sistem închis, el conținând un număr de 10 necunoscute și 4 ecuații independente. Acest ultim considerent a făcut ca, în scopul obținerii unor soluții utilizabile în tehnică să se adopte căi mixte, parțial bazate pe teorie și parțial pe rezultate empirice, cunoscute sub numele de "teorii semiempirice ale turbulentei". După cum

este cunoscut, atât teoria semiempirică a lui Prandtl care a condus la relația (II-1-1-5) cît și teoria semiempirică a lui Karman care a condus la relația (II-1-1-7) consideră curenti în lungul unui singur perete plan (Fig. II-1-2-4 a). În cele ce urmează se va utiliza modelul din (fig. II-1-2-4 b) pentru a se ține cont și de influența celui de al doilea perete; influența este mică deci calitativ de același ordin de mărime și de același sens cu diferența între rezultatele teoretice și experimentale anterioare menționată.

În ceea ce privește modelul curgerii turbulente, necesar sorierii lucrului mecanic al tensiunilor de frecare, s-a adoptat modelul utilizat pentru prima dată de către Boussinesq /0-3, p.108-110/. În esență acest model înlătuiește curgerea reală schematică în (Fig. II-1-2-5 a) conform căreia între două straturi vecine de lichid există un peragent schimb de particule (difuzie turbulentă) dar nu există eforturi tangențiale turbulente, ou una echivalentă din punct de vedere dinamic prezentată în (Fig. II-1-2-5 b) conform căreia între două straturi vecine de lichid nu mai există schimb de particule dar există eforturi de frecare turbulentă (denumite uneori din această cauză și "aparente")



#### c.- Tensiunile de frecare

În timp ce în mișcarea laminară tensiunile de frecare sunt exlusiv de natură viscoasă (moleculară), exprimate analitic prin relația generalizată a lui Newton, în mișcarea turbulentă apariția vitezelor pulsatorii instantanee generează prin mediere temporală termeni suplimentari, puși în evidență de caracterul neliniar al ecuațiilor fundamentale Navier-Stokes. Acești termeni suplimentari, expresie analitică a fenomenului fizic al difuziei turbulentă exercitată asupra mișcării mediate temporal o

INSTITUTUL POLITEHNIC  
TIMIȘOARA  
BIBLIOTECĂ CENTRALĂ

influență de același sens cu cea a vîscozității (molecularare) de aceea au fost denumite tensiuni turbulente (tensiuni aparente). Pentru a evita acest aspect, ecuațiile Reynolds ale bilanțului de impuls se scriu uneori sub forma /M-6/ :

$$\rho \frac{\partial \bar{U}_i}{\partial t} + \rho \bar{U}_k \frac{\partial \bar{U}_i}{\partial x_k} = \rho \bar{X}_i \frac{\partial \bar{p}}{\partial x_i} + \frac{\partial}{\partial x_k} \left( \eta \frac{\partial \bar{U}_i}{\partial x_k} - \rho \bar{U}'_i \bar{U}'_k \right) \quad (\text{II-1-2-1})$$

tensiuni viscoase      tensiuni turbulente

Notatiile fiind uzuale și ecuațiile Reynolds bine cunoscute nu se mai insistă asupra semnificației literelor din această relație.

Particularizând sistemul Reynolds pentru un curent plan paralel în regim permanent (în sens strict ovaș-permanent datorită fluctuațiilor turbulente) cu axa  $x_3$  orientată perpendicular pe frontieră solidă și cu axa  $x_1$  orientată longitudinal, ecuația (II-1-2-1) se reduce la :

$$\frac{\partial}{\partial x_3} \left( \eta \frac{\partial \bar{U}_1}{\partial x_3} - \rho \bar{U}'_1 \bar{U}'_3 \right) = 0 \quad (\text{II-1-2-2})$$

In scrierea ecuației s-a neglijat componenta longitudinală a gravitației  $x_1$  deoarece curgerea se produce pe un pat aproape orizontal și s-a considerat gradientul de presiune nul. Nouația astfel scrisă exprimă faptul că componenta longitudinală a impulsului este constantă după direcția normală la perete și în consecință și tensiunea rezultantă de frecare va fi constantă după direcția respectivă :

$$\bar{Z}(x_3) = \eta \frac{\partial \bar{U}_1}{\partial x_3} - \rho \bar{U}'_1 \bar{U}'_3 = \bar{Z}_0 = \text{constant} \quad (\text{II-1-2-3})$$

în care  $\bar{Z}_0$  este tensiunea de frecare la perete ( $x_3 = 0$ ).

Această concluzie se găsește și în teoria semiempirică elaborată de Ludwig Prandtl.

Dacă se modifică dintre ipotezele considerate cea a anularii gradientului de presiune, considerindu-se curgerea din (Fig. II-1-2-4 b) prima ecuație a sistemului Reynolds va conduce la :

$$\frac{\partial \bar{p}}{\partial x_1} = \frac{\partial}{\partial x_3} \left( \eta \frac{\partial \bar{U}_1}{\partial x_3} - \rho \bar{U}'_1 \bar{U}'_3 \right) \quad (\text{II-1-2-4})$$

Oea de a treia ecuație a sistemului va avea forma :

$$\frac{\partial \bar{p}}{\partial x_3} = - \rho \frac{\partial \bar{U}'_3^2}{\partial x_3} + X_3; \quad (X_3 \equiv g) \quad (\text{II-1-2-5})$$

Prin integrarea acestei ecuații în raport cu  $x_3$  între limitele 0 și  $x_3$  :

$$\bar{p} + \rho \bar{U}'_3^2 = \bar{p}_0 + x_3 g_{\text{mediu}} \quad (\text{II-1-2-6})$$

Având în vedere omogenitatea mișcării temporale în planul  $x_3$  și constantă în raport cu deplasarea în lungul curentului ( $\frac{\partial \bar{U}'_3^2}{\partial x_1} = 0$ ), din derivarea ultimei relații parțiale în raport

cu  $x_1$  se obține :

$$\frac{\partial \bar{P}}{\partial x_1} = \frac{\partial \bar{P}_0}{\partial x_1} = \gamma J = \text{constantă în lungul curentului (II-1-2-7)}$$

Combinând acum relațiile (II-1-2-4) și (II-1-2-7), se poate efectua și în acest caz integrarea în raport cu  $x_3$  între limitele 0 și  $x_3$ , și se obține :

$$\bar{\tau} = \gamma \frac{\partial \bar{U}_1}{\partial x_3} - \rho \bar{U}_1' \bar{U}_3' = \gamma J x_3 + C \quad (\text{II-1-2-8})$$

unde  $C$  este o constantă de integrare. Pentru  $x_3 = 0$ , tensiunea la perete fiind notată  $\bar{\tau}_0$ , rezultă imediat :

$$\bar{\tau} = \gamma J x_3 + \bar{\tau}_0 \quad (\text{II-1-2-9})$$

Pe de altă parte datorită simetriei rezultă că în axa curentului ( $x_3 = h$ ) tensiunea de frecare trebuie să fie nulă, adică :

$$\bar{\tau}_0 = -\gamma J h \quad (\text{II-1-2-10})$$

Din eliminarea lui  $\gamma J$  între ultimele două relații se obține legea de variație a tensiunii de frecare pe înălțimea curentului :

$$\bar{\tau} = \bar{\tau}_0 \left( 1 - \frac{x_3}{h} \right) \quad (\text{II-1-2-11})$$

Această concluzie se găsește și în teoria semiempirică elaborată de Theodor von Karman.

Se observă cu ușurință că pentru valori  $x_3 < h$ ,  $\bar{\tau} \approx \bar{\tau}_0$ , deci și în acest caz există un strat lîngă peretele canalului în care tensiunea de frecare este practic constantă.

In urma obținerii celor două legi de variație a tensiunii de frecare, la care s-a ajuns, se pune în mod firesc întrebarea care dintre ele să fie adoptată în continuare. Din modul în care au fost deduse rezultă că legea de variație liniară Karman a avut la bază o ipoteză generală relativă la gradientul de presiune, în timp ce legea de variație Prandtl a fost dedusă pentru o valoare particulară a acestui gradient. Cele de mai sus ar reprezenta un argument în favoarea adoptării legii de variație liniară.

Un argument decisiv în favoarea adoptării legii de variație liniară este dat de utilizarea principiului disipației minime la un debit dat (respectiv a unui debit maxim la o disipație dată) principiu enunțat calitativ, în cazul curentilor cu față liberă, de către Velicanov și valorificat pentru obținerea unor relații cantitative în lucrările /H-1/ și /H-2/ în cazul curentilor cu față liberă ca și în lucrările /A-1/ și /A-2/ în cazul curentilor sub presiune.

Considerind /A-2/ efortul de frecare între straturile elementare de fluid corespunzător unui regim de curgere urbi

rar (laminar turbulent) se poate scrie expresia lucrului mecanic în unitatea de timp (puterea) al acestui efort, în mișcarea plană, pe unitatea de lungime a curentului :

$$P = 2 \int_0^h \int \frac{dU_1}{dx_3} dx_3 \quad (\text{II-1-2-12})$$

în timp ce debitul este dat de relația :

$$Q = 2 \int_0^h U_1 dx_3 \quad (\text{II-1-2-13})$$

Scriind ecuația lui Euler pentru funcționala  $P - \lambda Q$  în care funcția necunoscută este  $U_1$ , iar variabila independentă  $x_3$ , ecuația care corespunde principiului variational enunțat se obține :

$$\lambda + \frac{d}{dx_3} \left( \frac{P}{2} \right) = 0 \quad (\text{II-1-2-14})$$

Prin integrare în raport cu  $x_3$  și folosind aceleasi condiții de margine ca în cazul anterior se obține legea de variație liniară (II-1-2-11) care a fost adoptată semiempiric de Karman.

Din motivele expuse mai sus s-a adoptat în continuare în teză variația liniară a efortului de frecare pe înălțimea curentului, variație care independent de expresia legii tensiunii de frecare (diferită în cazul regimului laminar și al regimului turbulent) conduce la satisfacerea principiului variational enunțat.

#### d.- Considerații privind lungimea de amestec

Concepțul lungimii de amestec, notată  $\ell$ , a fost introdus de către L. Prandtl în anul 1925 în cadrul teoriei semiempirice a turbulentei bazată pe transferul după verticală a impulsului longitudinal.

De asemenei în teoria semiempirică a lui Taylor bazată pe transferul după verticală al vîrtejurilor, s-a preluat conceptul lungimii de amestec.

Lungimea de amestec este concepută ca o mărime care reprezintă drumul pe care particula fluidă poate fi considerată că există ca o unitate de sine stătătoare din punct de vedere mecanic. Pentru ea, Prandtl a considerat formula :

$$\ell = \delta \cdot z \quad (\text{II-1-2-15})$$

în care :

$\delta \approx 0,40$  este o constantă universală adimensională, determinată experimental ; într-o comunicare /A-5/ susținută la Seminarul Național de hidraulică aplicată, Timișoara noiembrie 1973 (care urmează să apară în revista "Studii și cercetări de mecanică aplicată") am arătat natura statistică a acestei constante universale ;

$z$  - distanța punctului în care se calculează lungimea de amestec de la peretele rigid, considerindu-se cazul unui curent plan de înălțime infinită, în lungul unui singur perete plan.

Lungimea de amestec poate fi considerată analoagă bine cunoscutului "drum liber" al moleculelor din teoria cinetico-moleculară a gazelor și a "lungimii de penetrare" introdusă de R.A.Bagnold în 1951 în studiul fenomenelor aluvionare care au loc pe râuri și canale, ca o măsură scalară a interacțiunii dintre surgereea fluidă și particulele aluvionare /H-3, p.432/.

În concordanță cu modelul adoptat, în care curentul plan are o înălțime finită și egală cu  $2h$ , s-a căutat să se aducă o contribuție prin aceea că s-a introdus și efectul celui de al doilea perete asupra lungimii de amestec.

O problemă similară s-a pus atunci când a apărut problema utilizării relației lui Prandtl la profilul de formă circulară, unde s-a propus considerarea unei expresii de forma :

$$\ell = \alpha y f\left(\frac{z}{R}\right) \quad (\text{II-1-2-16})$$

în care funcția  $f\left(\frac{z}{R}\right)$  urmează tocmai să exprime influența peretelui solid circular. Funcția  $f\left(\frac{z}{R}\right)$  este evident că trebuie să satisfacă următoarea condiție la limită :

$$\lim_{z \rightarrow 0} f\left(\frac{z}{R}\right) = 1, \text{ respectiv } f\left(\frac{z}{R}\right) \approx 1 \text{ pentru } \frac{z}{R} \ll 1 \quad (\text{II-1-2-17})$$

ceea ce exprimă fizic faptul că în zona din imediata apropiere a unui perete, influența celuilalt perete este neglijabilă.

În cazul unui canal de înălțime  $2h$ , similar modelului adoptat în teză, în lucrările /C-2/ și /T-1/ se analizează influența legii adoptate pentru lungimea de amestec asupra mișcării turbulentă din stratul de lubrifiant pentru următoarele expresii :

- variația trigonometrică :  $\ell = \frac{2\alpha z}{\pi} \sin \frac{\pi z}{2h}$  (II-1-2-18)

- variație parabolică :  $\ell = \alpha z \left(1 - \frac{z}{2h}\right)$

O relație de un alt tip a fost adoptată de Satkevici A. /S-2/ :

$$\ell = \alpha z \sqrt{1 - \frac{z}{h}} \quad (\text{II-1-2-19})$$

Rete de menționat că toate aceste expresii au fost alese întâmplător, fără nici o justificare logică sau fizică.

În lucrarea /C-2/ se dă pentru lungimea de amestec o expresie care poate fi considerată ca generalizând toate expresiile anterioare, având aspectul unei serii de puteri :

$$l = \alpha y + \alpha' y^2 + \alpha'' y^3 + \dots \quad (\text{II-1-2-20})$$

Din păcate această generalizare este doar formală, practică neutilizabilă deoarece nu se dă nici o indicație privind modul de determinare al coeficienților seriei de puteri.

În încheierea acestor scurte considerații referitoare la lungimea de amestec se mai semnalizează că experimental /S-1, p. 544/ I. Nikuradze a obținut în cazul conduitelor netede și rûgoase, la numere Reynolds mai mari decât  $10^5$  o lege de variație după o parabolă de gradul patru :

$$\frac{l}{R} = 0,14 - 0,08 \left(1 - \frac{z}{R}\right) - 0,06 \left(1 - \frac{z}{R}\right)^4 \quad (\text{II-1-2-21})$$

Pentru  $z/R$  mic, adică în apropierea frontierei solide se poate utiliza relația aproximativă :

$$\frac{l}{R} \approx 0,4 \frac{z}{R} \left(1 - \frac{z}{R}\right) \quad (\text{II-1-2-22})$$

În (Fig. II-1-2-6) au fost reprezentate grafic legile de

variație men-  
cionate evi-  
dențindu-se  
faptul că pen-  
tru distanțe  
relativ mici de  
pe perete ele con-  
duc la valori  
sensibil egale  
pentru lungi-  
mea de amestec  
(aceasta fiind  
zona cea mai  
importantă pen-  
tru disiparea  
energiei prin  
frecare). La  
distanțe rela-

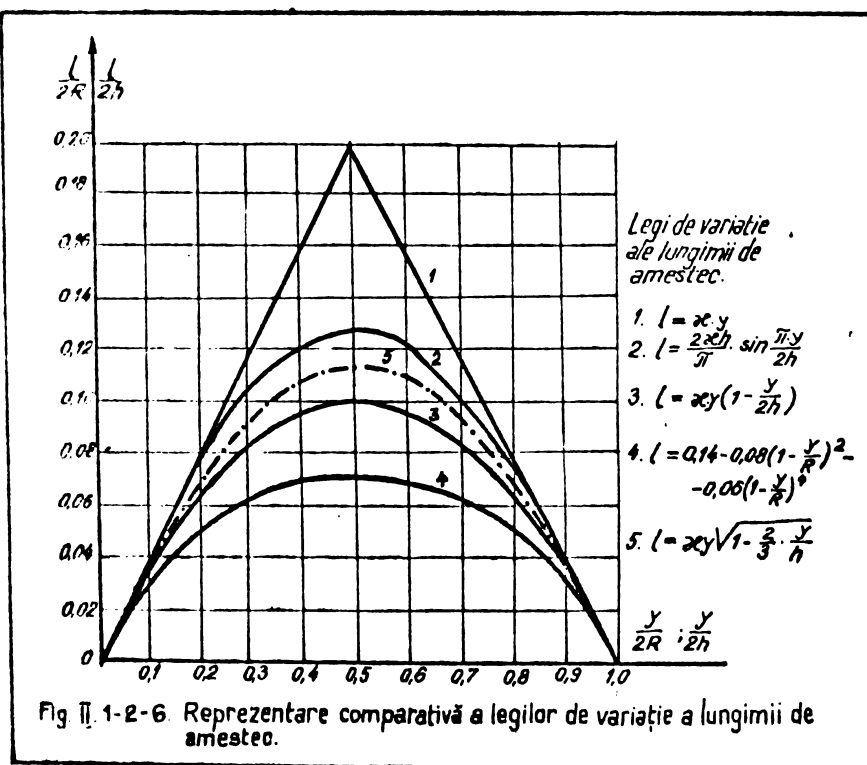


Fig. II-1-2-6. Reprezentare comparativă a legilor de variație a lungimii de amestec.

tiv mari de la perete ele conduc la valori care se deosebesc esențial una de alta.

În lucrările /C-2/ și /T-1/ analizîndu-se influența pe care o are relația adoptată pentru lungimea de amestec asupra distribuției vitezei pentru o mișcare de tip Couette, se ajunge la concluzia că această influență nu este importantă.

e.- O formulă originală pentru lungimea de amestec

În continuare se încearcă să se obțină o formulă pentru lungimea de amestec care să conțină influența celui de al

doilea perete și care, față de celelalte formule propuse, să aibă o fundamentare ratională.

In lucrările /A-1/ și /A-3/ s-a demonstrat că în cazul regimului laminar de curgere a lichidelor newtoniene, repartitia parabolică a vitezei conduce pentru un debit dat la o energie disipată minimă. Este firesc a încerca utilizarea unor astfel de condiții de extrem, denumite și principii de tip variational și în cazul curentilor turbulenti, în lucrarea /S-3/ fiind numerate mai multe încercări de acest fel. Se semnalează în special /M-8, p. 185-195/ și /R-2/ în care, pe baza postulării unor condiții de extrem, se deduce repartitia de viteze în regimul turbulent, considerindu-se :

- drept distribuție stabilă a fluotuațiilor (de forma oscilațiilor liniare de instabilitate) acea distribuție care realizează maximul disipației (în esență disipație moleculară viscoasă în straturile de lîngă perete) și
- că energia cinetică a fluotuațiilor este preluată din energia mișcării medii.

In cadrul tezei, condiția de extrem se va pune direct asupra mărimilor medii.

In relațiile ce se vor scrie pentru regimul turbulent presupus complet dezvoltat se operează cu mărimi mediate temporale, avînd semnificație fizică bine definită și cărora operația de mediere le conferă un caracter determinist.

Deși există fluotuații aleatoare ale mărimilor instanțane de la valorile medii temporale, s-a demonstrat cu ajutorul anemometriei cu fir cald că aceste fluotuații sunt relativ mici /S-3, p. 29/.

Aceste ultime două considerente (valori medii cu caracter determinist, fluotuații aleatoare relativ mici) au permis stabilirea unor legi relativ la mărimile medii temporale, legi verificabile experimental.

Se pornește de la scrierea energiei mecanice disipate în cadrul modelului descris la punctul b) al prezentului paragraf. Dacă între straturile de lichid acționează efortul unitar de frecare turbulentă notat  $\bar{\tau}$ , atunci pe suprafața de contact dintre straturi de arie  $S$  va acționa o forță rezultantă de frecare turbulentă  $\bar{\tau} S$ .

Pe de altă parte deplasarea relativă între cele două straturi în unitatea de timp va fi egală cu diferența dintre vitezele celor două straturi adică cu  $\frac{\partial \bar{U}}{\partial z} dz$

Având în vedere că  $\frac{\partial \bar{U}}{\partial x} = \frac{\partial \bar{U}}{\partial y} = 0$  datorită unor proprietăți introduse prin modul în care a fost definită mișcarea rezultată că  $\frac{\partial \bar{U}}{\partial z} = \frac{d\bar{U}}{dz}$ . Rezultă că energia pierdută prin frecare turbulentă (în realitate datorită difuziei turbulentă) într-un interval arbitrar de timp va fi egală cu lucrul mecanic al eforturilor unitare turbulentă efectuat în același interval de timp la deplasarea relativă a straturilor.

Analitic, pentru canalul de înălțime  $2h$  și lățime unitară, acest lucru mecanic în unitatea de timp, notat  $P$  va fi :

$$P = 2 \int_0^h \frac{d\bar{U}}{dz} dz = 2 \int_0^h \rho l^2 \left| \frac{du}{dz} \right| \left( \frac{d\bar{U}}{dz} \right)^2 dz \quad (\text{II-1-2-23})$$

În timp ce debitul corespondent va fi :

$$Q = 2 \int_0^h \bar{U} dz \quad (\text{II-1-2-24})$$

Se formulează, acum, următorul principiu variational :

distribuția vitezelor în regimul turbulent se realizează astfel încât la un debit dat, puterea mecanică dissipată prin frecare turbulentă să fie minimă. Acest principiu poate fi reformulat pe baza principiului general al reciprocității valabil în cazul problemelor de extrem condiționat și astfel : distribuția vitezelor în regimul turbulent se realizează astfel încât la o dissipatie dată a energiei mecanice să corespundă un debit maxim.

Se menționează că valabilitatea acestui principiu a fost demonstrată în lucrarea /A-4/ pentru currentul de înălțime infinită în lungul unui singur perete plan (în care caz coda legătura clonowă exprimată de debit) deoarece în cazul menționat pe această cale s-a obținut  $\bar{U} = C_1 \ln z + C_2$  (care în final, după determinarea constantelor de integrare a condus la legea logaritmică a lui Prandtl).

Condiția de extrem condiționat enunțată se pune analitic prin scrierea ecuației diferențiale Euler pentru funcționala  $H = P - \lambda Q$  sau funcția necunoscută  $u$  și variabila independentă  $z$  :

$$\lambda + \frac{d}{dz} \left[ 3\rho l^2 \left( \frac{d\bar{U}}{dz} \right)^2 \right] = 0 \Rightarrow \lambda z + 3\rho l^2 \left( \frac{d\bar{U}}{dz} \right)^2 = C \quad (\text{II-1-2-25})$$

în care  $C$  este constanta de integrare.

Se observă că în această ecuație pe lângă funcția necunoscută  $\bar{U}$  nu este cunoscută nici funcția  $l$  a lungimii de amestec. Pentru a ieși din acest impas și să merge mai departe se va porni de la legea universală a vitezelor a lui Prandtl (care reprezintă soluția exactă în cazul curgerii în lungul unui singur perete plan și care este aproximativ verificată de rezulta-

tele experimentale :

$$\frac{\bar{U}_{max} - \bar{U}}{V_*} = \frac{1}{\partial z} \ln \frac{h}{z} \Rightarrow \frac{d\bar{U}}{dz} = \frac{V_*}{\partial z h} \quad (II-1-2-26)$$

Inlocuind expresia derivatei în relația (II-1-2-25) se obține (după efectuarea operațiilor respective) următoarea expresie intermedieră a lungimii de amestec, valabilă în intervalul  $0 \leq z \leq h$ :

$$l = \partial z \sqrt{\frac{C - \lambda z}{3 \beta V_*^2}} \quad (II-1-2-27)$$

Punând condiția ca în punctul  $z = h$  lungimea de amestec să aibă o valoare maximă se determină valoarea constantei de integrare:

$$\left. \frac{dl}{dz} \right|_{z=h} = 0 \Rightarrow C = \frac{3\lambda h}{2} \quad (II-1-2-28)$$

Cu aceasta, lungimea de amestec se poate exprima prin:

$$l = \frac{\partial z}{V_*} \sqrt{\frac{3h}{2\beta} \left( 1 - \frac{2}{3} \frac{z}{h} \right)} \quad (II-1-2-29)$$

In expresia de mai sus a rămas nedeterminată valoarea multiplicatorului  $\lambda$ . El se va deduce din condiția ca pentru  $z$  foarte mic, lungimea de amestec să coincidă aproximativ cu cea a lui Prandtl corespunzătoare unui singur perete plan. Din această condiție se obține pentru multiplicatorul  $\lambda$ :

$$\lambda = \frac{2\beta V_*^2}{h} \quad (II-1-2-30)$$

acea ce conduce la următoarea formulă finală pentru lungimea de amestec:

$$l = \partial z \sqrt{1 - \frac{2}{3} \frac{z}{h}} \quad (II-1-2-31)$$

In expresia de mai sus influența celui de al doilea perete (peretele depărtat) este exprimată prin funcția radială în timp ce efectul primului perete este exprimat de  $\partial z$ .

In concordanță cu intuiția, a rezultat și pe cale analitică faptul că al doilea perete contribue la mășorarea lungimii de amestec, această reducere crescând de la valoarea zero la peretele cel mai apropiat ( $z = 0$ ), pînă la o valoare maximă la mijlocul distanței dintre cei doi pereti ( $z = h$ ).

Pentru  $z = h$  se obține lungimea de amestec maximă care are expresia:

$$l_{max}(z=h) = \frac{\partial z h}{\sqrt{3}} \approx 0,23 h \quad (II-1-2-32)$$

Rezultă că cel de al doilea perete a redus lungimea de amestec maximă de la  $0,4 h$ , cît este în cazul unui singur perete (Prandtl) pînă la  $0,23 h$  în cazul a doi pereti.

Avînd în vedere rezultatele experimentale ale lui Nikuradze în cazul conductelor la care secțiunea vie era complet

mărginită de o frontieră solidă, unde lungimea maximă de amestec fusese redusă de la  $0,4 R$  (Prandtl) la  $0,14 R$ , rezultatul obținut în cazul canalelor pare a fi foarte bun canalul cu doi pereti reprezentând o situație intermediară din punct de vedere al frontierei solide între curgerea în lungul unei singur perete (Prandtl) și într-o secțiune complet închisă (Nikuradze).

Reprezentarea grafică a variației lungimii de amestec în raport cu  $z$  este dată în (figura II-1-2-6) pe care se constată o foarte bună încadrare între curbele considerate de alții cercetători.

Pe baza relației obținută pentru lungimea de amestec se poate trece la rezolvarea problemei principale care constă în obținerea unei relații originale pentru distribuția vitezei pe verticală, lege care să fie mai bine verificată în cazul canalelor și al albiilor largi decât relațiile recomandate în prezent în literatura de specialitate.

### § 1-3. Relație propusă pentru repartitia vitezei pe verticală

#### a.- Deducerea relației

Pentru deducerea relației se folosesc următoarele patru formule prezentate și utilizate și pe parcursul paragrafului precedent :

- legea de variație pe verticală a efortului de frecare turbulentă a lui Karman, care a primit în cadrul tezei o nouă fundamentare :

$$\tau = \tau_0 (1 - \frac{z}{h}) \quad (\text{II-1-3-1})$$

- legea frecăriri turbulente a lui Prandtl bazată pe transferul de impuls :

$$\tau = \rho h^2 \left| \frac{d\bar{U}}{dz} \right| \frac{d\bar{U}}{dz} \quad (\text{II-1-3-2})$$

- legea de variație pe verticală a lungimii de amestec stabilită în teză :

$$l = \lambda z \sqrt{1 - \frac{2}{3} \frac{z}{h}} \quad (\text{II-1-3-3})$$

- relația de definire a vitezei dinamice de frecare :

$$V_x = \sqrt{\frac{\tau_0}{S}} \quad (\text{II-1-3-4})$$

Din aceste patru relații se pot elimina următoarele trei mărimi :  $\tau_0$ ,  $\tau$  și  $h$  și înținând cont de faptul că în domeniul studiat ( $0 < z \leq h$ ) există relația  $\left| \frac{d\bar{U}}{dz} \right| + \left| \frac{d\bar{U}}{dz} \right| > 0$ , prin calculele algebrice obișnuite se ajunge la următoarea ecuație diferențială ordină de ordinul întâi cu variabile separabile :

$$\frac{d\bar{U}}{dz} = \frac{V_x}{\lambda z} \sqrt{\frac{3(h-z)}{3h-2z}} \quad (\text{II-1-3-5})$$

In vederea integrării s-a făcut la început substituția :  $\frac{3h-3z}{3h-2z} = x \Rightarrow z = \frac{3h(x-1)}{2x-3}$ ;  $dz = \frac{-3h}{(2x-3)^2} dx$  (II-1-3-6)

In noua variabilă  $x$  ecuația diferențială devine :  
 $d\bar{U} = -\frac{U_*}{\partial e} \frac{\sqrt{x}}{(x-1)(2x-3)} dx$  (II-1-3-7)

Descompunind în fracții simple problema integrării se reduce la efectuarea a două integrale binome care se încadrează într-unul din cele trei cazuri de integrabilitate ale lui Cebîsev :

$$d\bar{U} = \frac{U_*}{\partial e} \left( \frac{\sqrt{x}}{x-1} - \frac{2\sqrt{x}}{2x-3} \right) dx \quad (\text{II-1-3-8})$$

Prin integrare nedefinită, notând cu  $C$  constanta de integrare :

$$\bar{U} = -\frac{U_*}{\partial e} \left[ \ln \frac{1+\sqrt{x}}{1-\sqrt{x}} - \sqrt{\frac{3}{2}} \ln \frac{\sqrt{\frac{3}{2}} + \sqrt{x}}{\sqrt{\frac{3}{2}} - \sqrt{x}} \right] + C \quad (\text{II-1-3-9})$$

și prin revenire la variabila inițială se obține :

$$\bar{U} = -\frac{U_*}{\partial e} \left[ \ln \frac{1+\sqrt{\frac{3(h-z)}{3h-2z}}}{1-\sqrt{\frac{3(h-z)}{3h-2z}}} - \sqrt{\frac{3}{2}} \ln \frac{\sqrt{\frac{3}{2}} + \sqrt{\frac{3(h-z)}{3h-2z}}}{\sqrt{\frac{3}{2}} - \sqrt{\frac{3(h-z)}{3h-2z}}} \right] + C \quad (\text{II-1-3-10})$$

Constanta de integrare se determină ca și în relațiile Prandtl sau Karman, făcind uz de viteza maximă, corespunzătoare valorii  $y = h$ . Se obține imediat  $C = \bar{U}_{\max}$ .

Rezultatul obținut se pretează cu ușurință a fi scris sub forma unei legi a deficitului de viteză :

$$\frac{\bar{U}_{\max} - \bar{U}}{U_*} = \frac{1}{\partial e} \left[ \ln \frac{1 + \sqrt{\frac{3(h-z)}{3h-2z}}}{-\sqrt{\frac{3(h-z)}{3h-2z}}} - \sqrt{\frac{3}{2}} \ln \frac{\sqrt{\frac{3}{2}} + \sqrt{\frac{3(h-z)}{3h-2z}}}{\sqrt{\frac{3}{2}} - \sqrt{\frac{3(h-z)}{3h-2z}}} \right] \quad (\text{II-1-3-11})$$

Această formă a legii deficitului prezintă dezavantajul că este relativ complicată și în consecință nu se pretează a fi folosită cu ușurință în dezvoltările matematice ulterioare, referitoare la sectoarele curbe de rîuri regularizate și canale largi. În consecință, utilizând unele reguli de calcul aproximativ, relația la care s-a ajuns va fi prelucrată în mod suplimentar :

$$\frac{\bar{U}_{\max} - \bar{U}}{U_*} = \frac{1}{\partial e} \left\{ \ln \frac{\left[ 1 - \sqrt{\frac{3(h-z)}{3h-2z}} \right]^2}{z} - \sqrt{\frac{3}{2}} \ln \frac{\left[ \sqrt{\frac{3}{2}} + \sqrt{\frac{3(h-z)}{3h-2z}} \right]^2}{\frac{3h}{2(3h-2z)}} \right\} \quad (\text{II-1-3-12})$$

Punind în evidență raportul  $z/h$  (notat pentru precizare cu  $S$ ) care apare atât în relația Prandtl cît și în cea a lui Karman :

$$\frac{\bar{U}_{\max} - \bar{U}}{U_*} = \frac{1}{\partial e} \left\{ \ln \frac{1}{S} + \ln \left[ \sqrt{3-2S} + \sqrt{3(1-S)} \right]^2 - \sqrt{\frac{3}{2}} \ln \left[ \sqrt{3-2S} + \sqrt{\frac{3}{2}\sqrt{3(1-S)}} \right]^2 \right\} \quad (\text{II-1-3-13})$$

Având în vedere formulele de calcul aproximativ :

$$(1+a) \approx 1 + ax \text{ dacă } a \text{ este mic} \quad (II-1-3-14)$$

$$\ln(1-a) \approx -a \text{ dacă } a \text{ este mic}$$

se va scrie legea deficitului sub o formă care să permită utilizarea acestei aproximării :

$$\frac{U_{\max} - U}{U_*} = \frac{1}{2c} \left\{ \ln \frac{1}{S} + 2 \ln \frac{\sqrt{3-2S} + \sqrt{3(1-S)}}{(3-2S)^{1/2} \sqrt{2} \left[ 1 + \sqrt{\frac{2}{3}} \sqrt{\frac{3(1-S)}{3-2S}} \right]^{1/2}} \right\} \quad (II-1-3-15)$$

Aplicând regula de calcul anterior menționată :

$$\frac{U_{\max} - U}{U_*} \approx \frac{1}{2c} \left\{ \ln \frac{1}{S} + 2 \ln \frac{\sqrt{3-2S} + \sqrt{3(1-S)}}{(3-2S)^{1/2} \sqrt{2} \left[ 1 + \sqrt{\frac{3(1-S)}{3-2S}} \right]} \right\} \quad (II-1-3-16)$$

După simplificările care se impun :

$$\frac{U_{\max} - U}{U_*} \approx \frac{1}{2c} \left[ \ln \frac{1}{S} - \left( \sqrt{\frac{3}{2}} - 1 \right) \ln(3-2S) \right] \quad (II-1-3-17)$$

se observă că termenul adițional care apare în relația de mai sus față de relație Prandtl are valourile :

$$z=0 \Rightarrow S=0 \Rightarrow -\left(\sqrt{\frac{3}{2}} - 1\right) \ln 3 \approx -0,24$$

$$z=h \Rightarrow S=1 \Rightarrow -\left(\sqrt{\frac{3}{2}} - 1\right) \ln 1 = 0 \quad (II-1-3-18)$$

Eroarea relativă făcută prin aceste prelucrări este foarte mică deoarece atunci când termenul prelucrat prin simplificare are valoarea maximă el se adună cu un alt termen foarte mare, iar atunci când este nul se adună cu un termen de asemenea nul (în acest al doilea caz valoarea termenului adițional este exactă, prin prelucrările făcute neintroducindu-se nici o eroare).

Rezultă că în continuare se poate utiliza legea deficitului sub forma :

$$\frac{U_{\max} - U}{U_*} = \frac{1}{2c} \left[ \ln \frac{1}{S} - 0,22 \ln(3-2S) \right] \quad (II-1-3-19)$$

Pentru a putea face în viitor o comparație între formula propusă în teză și celelalte formule recomandate în literatură de specialitate, se transcriu formulele în totalitate introducându-se variabila adimensională  $S = \frac{z}{h}$ :

- relația parabolică la puterea unu pe șapte :

$$\frac{U}{U_{\max}} = S^{\frac{7}{9}}$$

- relația de tip eliptic :

$$\frac{U}{U_{\max}} = \sqrt{1 - 0,55(1-S)^2}$$

- relația de tip logaritmic :

$$\text{Prandtl : } \frac{U_{\max} - U}{U_*} = -\frac{1}{2c} \ln S \quad (II-1-3-20)$$

$$\text{Karman : } \frac{U_{\max} - U}{U_*} = -\frac{1}{K} \left[ \ln(1 - \sqrt{1-S}) + \sqrt{1-S} \right]$$

$$\text{Teză: } \frac{\bar{U}_{\max} - \bar{U}}{U_*} = -\frac{1}{\delta e} \left[ \ln \frac{1 - \sqrt{\frac{3(1-\xi)}{3-2\xi}}}{1 + \sqrt{\frac{3(1-\xi)}{3-2\xi}}} - \sqrt{\frac{3}{2}} \ln \frac{\sqrt{\frac{3}{2}} - \sqrt{\frac{3(1-\xi)}{3-2\xi}}}{\sqrt{\frac{3}{2}} + \sqrt{\frac{3(1-\xi)}{3-2\xi}}} \right]$$

$$\text{Teză, simplificată: } \frac{\bar{U}_{\max} - \bar{U}}{U_*} = -\frac{1}{\delta e} [\ln \xi + 0,22(3-2\xi)]$$

Relațiile de tip logaritmico (Prandtl, Karman și din teză) sunt reprezentate în figura II-1-3-1. În aceeași figură sunt reprezentate unele înregistrări experimentale după Grinvald și din experiențe proprii care, după cum se observă, sunt mult mai apropiate de relația propusă în teză.

#### b.- Determinarea legăturii între viteza medie și viteza maximă

Legătura între viteza medie a verticalei respective  $\bar{V}$  și viteza maximă  $\bar{U}_{\max}$  se determină, pentru relația simplificată, prin exprimarea debitului pe unitatea de lățime a curentului plan  $q$  în două moduri diferite :

- cu ajutorul vitezei medii :

$$q = h \bar{v} \quad (\text{II-1-3-21})$$

- prin integrarea distribuției de viteze :

$$q = \int_0^h u dz = h \int_0^1 [\bar{U}_{\max} + \frac{U_*}{\delta e} \ln \xi + 0,22 \frac{U_*}{\delta e} \ln(3-2\xi)] d\xi \quad (\text{II-1-3-22})$$

După efectuarea integralei se obține :

$$q = h \left[ \bar{U}_{\max} - \frac{U_*}{\delta e} + 0,22 \times 0,64 \frac{U_*}{\delta e} \right] = h \left[ \bar{U}_{\max} - 0,86 \frac{U_*}{\delta e} \right] \quad (\text{II-1-3-23})$$

În efectuarea integralelor apare o integrală generalizată, la care integrantul devine infinit pentru una dintre limite, integrală care este însă convergentă astfel că nu ridică probleme deosebite deoarece :

$$\lim_{\xi \rightarrow 0} \xi \ln \xi = \lim_{\xi \rightarrow 0} \frac{\ln \xi}{\frac{1}{\xi}} = \lim_{\xi \rightarrow 0} \frac{-\frac{1}{\xi^2}}{-\frac{1}{\xi^2}} = \lim_{\xi \rightarrow 0} (-\xi) = 0 \quad (\text{II-1-3-24})$$

Prin egalarea celor două expresii obținute pentru debit, după simplificarea cu  $h$ , se obține relația căutată :

$$\bar{V} = \bar{U}_{\max} - 0,86 \frac{U_*}{\delta e} \quad (\text{II-1-3-25})$$

Deoarece prin modul de definire a vitezei de frecare rezultă :

$$U_* = \sqrt{\frac{\tau_0}{\rho}} = \sqrt{\frac{g R J}{\rho}} = \sqrt{g R J} \quad (\text{II-1-3-26})$$

iar din relația lui Chezy scrisă pentru viteza medie a curentului :

$$U = C \sqrt{R J} = \bar{V} \quad (\text{II-1-3-27})$$

se poate obține următoarea relație între viteza de frecare și viteza medie :

$$U_* = \frac{\sqrt{g}}{C} \bar{V} \quad (\text{II-1-3-28})$$

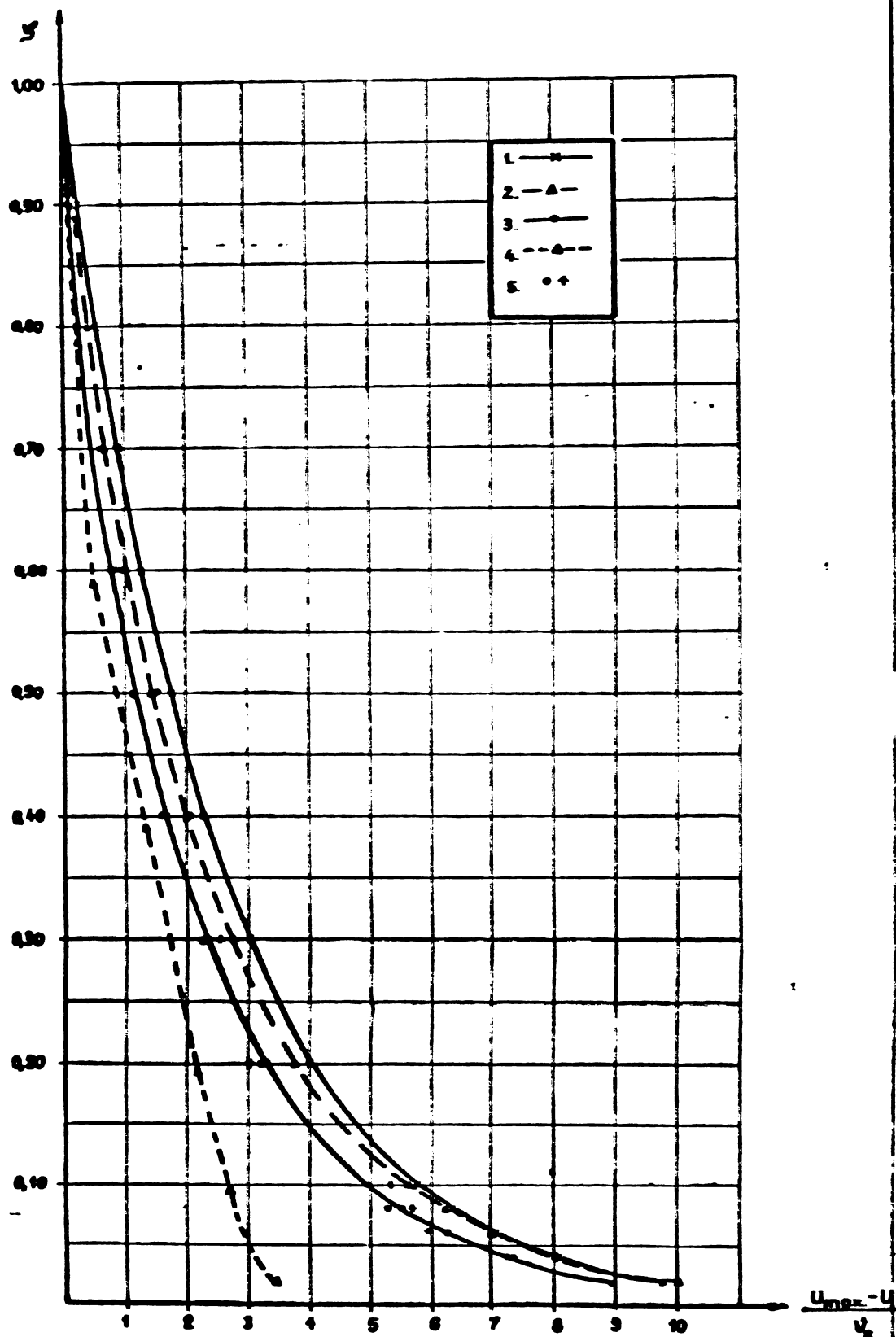


Fig. II.1-3-1 Reprezentarea legii deficitului de viteză după

1 ecuația propusă de Prandtl;

2 ecuația propusă de von Karman;

3 ecuația propusă în 1926;

4 după Grinvald;

5 date experimentale proprii.

Această ultimă relație permite să exprime legătura dintre viteza medie și maximă a unei curbe sub forma :

$$\bar{U}_{\max} = \bar{U} + 0.86 \frac{\sqrt{q}}{\partial C} \quad \bar{U} = \left(1 + 2 \frac{\sqrt{q}}{C}\right) \bar{U} \quad (\text{II-1-3-29})$$

Pentru a avea o verificare asupra corectitudinii importanței relației care leagă viteza maximă de viteza medie, s-a obținut această legătură și prin integrarea distribuției de viteze dată de formula neșimplificată obținută în cadrul tezei, integrare care să fie făcută cu ajutorul formulei de integrare aproximativă a lui Simpson, cu patru intervale. Aproximând funcția de integrat pe intervale cu polinoame de gradul doi și neceasitând o diviziune a intervalului de integrare în 2 n intervale parțiale egale, această metodă este considerată a fi una dintre cele mai precise metode de integrare aproximativă. Demonstrația formulei Simpson și gradul ei de precizie sunt expuse în lucrarea /N-1, p. 498/, formula finală care se folosește fiind :

$$\int_a^b f(x) dx \approx \frac{(b-a)}{6n} \left\{ f(a) + f(b) + 4 \left[ f(x_1) + f(x_3) + \dots + f(x_{2n-1}) \right] + 2 \left[ f(x_2) + f(x_{2n-2}) \right] \right\} \quad (\text{II-1-3-30})$$

Să va nota :

$$\frac{\bar{U}_{\max} - \bar{U}}{U_*} = f(\xi) = -\frac{1}{\partial C} \left[ \ln \frac{1 - \sqrt{\frac{3(1-\xi)}{3-2\xi}}}{1 + \sqrt{\frac{3(1-\xi)}{3-2\xi}}} - \sqrt{\frac{3}{2}} \ln \frac{\sqrt{\frac{3}{2}} - \sqrt{\frac{3(1-\xi)}{3-2\xi}}}{\sqrt{\frac{3}{2}} + \sqrt{\frac{3(1-\xi)}{3-2\xi}}} \right] \quad (\text{II-1-3-31})$$

Cu această notație se obține imediat :

$$\frac{\bar{U}_{\max} - \bar{U}}{U_*} = f(\xi) \Rightarrow \bar{U} = \bar{U}_{\max} - U_* f(\xi) \quad (\text{II-1-3-32})$$

Pentru determinarea legăturii dintre viteza medie și viteza maximă se integrează relația de mai sus :

$$\int_0^h \bar{U} dh = \bar{U} h = \bar{U}_{\max} h - U_* h \int_0^h f(\xi) d\xi \Rightarrow$$

$$\bar{U}_{\max} = \bar{U} \left[ 1 + \frac{U_*}{\bar{U}} \int_0^h f(\xi) d\xi \right] = \bar{U} \left[ 1 + \frac{\sqrt{q}}{C} \int_0^h f(\xi) d\xi \right] \quad (\text{II-1-3-33})$$

Integrala care apare în relația (II-1-3-33) s-a efectuat utilizând formula Simpson, împărțind intervalul de integrat în douăzeci subintervale parțiale egale  $\Delta\xi = 0,05$  și făcând aproximarea suplimentară  $\xi_0 = 0 = 0,001$  necesitară de faptul că integrantul  $f(\xi)$  devine infinit pentru valoarea  $\xi_0 = 0$ . Această aproximare este în concordanță și cu evoluția fizică reală a fenomenului conform căreia legea logaritmică este valabilă pînă în imediata apropiere a peretelui, dar nu și strict la perete.

Calculurile numerice sunt cuprinse rezumativ în tabela Nr. II-1-3-1.

TABLIERE CALCULUI FUNCȚIEI  $\mathfrak{Z}(\xi)$  și  $f^2(\xi)$

Tabelă Nr. II-1-2-1

- 37 -

$\xi$	$\ln \frac{1 + \sqrt{\frac{3(1-\xi)}{2-\xi}}}{1 - \sqrt{\frac{3(1-\xi)}{2-\xi}}}$	$\sqrt{\frac{3}{2}} \ell_1 \frac{\sqrt{\frac{3}{2}} + \sqrt{\frac{3(1-\xi)}{2-\xi}}}{\sqrt{\frac{3}{2}} - \sqrt{\frac{3(1-\xi)}{2-\xi}}}$	$\ln \frac{1 + \sqrt{\frac{3(1-\xi)}{2-\xi}}}{1 - \sqrt{\frac{3(1-\xi)}{2-\xi}}} - \sqrt{\frac{3}{2}} \ell_1 \frac{\sqrt{\frac{3}{2}} + \sqrt{\frac{3(1-\xi)}{2-\xi}}}{\sqrt{\frac{3}{2}} - \sqrt{\frac{3(1-\xi)}{2-\xi}}}$	$f(\xi) = \frac{J_{m+n}-U}{2x}$	$f^2(\xi)$
0,001	9,37287	2,80668	6,56619	16,4155	269,4686
0,01	7,08650	2,79761	4,28889	10,7222	114,9656
0,05	5,43792	2,75658	2,68134	6,7034	44,9356
0,10	4,70036	2,70322	1,99714	4,9929	24,9291
0,15	4,24847	2,64741	1,60106	4,0027	16,0216
0,20	3,91167	2,58884	1,32283	3,3571	10,9369
0,25	3,63682	2,52714	1,10968	2,7742	7,6962
0,30	3,40001	2,46218	0,93789	2,5446	5,4971
0,35	3,18813	2,39337	0,79476	1,9869	3,9478
0,40	2,99320	2,32040	0,67280	1,6820	2,8291
0,45	2,80974	2,24246	0,56728	1,4182	2,0113
0,50	2,63395	2,15893	0,47502	1,1876	1,4104
0,55	2,46240	2,06888	0,39352	0,9838	0,9677
0,60	2,29263	1,97120	0,32143	0,8036	0,6458
0,65	2,12127	1,86415	0,25712	0,6128	0,3755
0,70	1,94591	1,74576	0,20015	0,5004	0,2504
0,75	1,76277	1,61293	0,14984	0,3746	0,1403
0,80	1,56681	1,46099	0,10582	0,2646	0,0700
0,85	1,35027	1,28227	0,06800	0,1700	0,0289
0,90	1,09861	1,05187	0,03574	0,0919	0,0084
0,95	0,77516	0,76222	0,01294	0,0224	0,0010
1,00	0,00000	0,00000	0,00000	0,0000	0,0000

Cu datele din această tabelă :

$$f(S_0) = 16,4155 ; f(S_{20}) = 0,0000 ;$$

$$f(S_1) + f(S_3) + \dots + f(S_{19}) = 18,8877 ;$$

$$f(S_2) + f(S_4) + \dots + f(S_{18}) = 15,1146 ;$$

$$\int_0^S f(S) dS = \frac{1}{60} (16,4155 + 4 \times 18,8877 + 2 \times 15,1146) = 2,037 \quad (\text{II-1-3-34})$$

Astfel, legătura între viteza medie și viteza maximă prin această metodă devine :

$$\bar{U}_{\max} = \left( 1 - 2,037 \frac{\sqrt{g}}{C} \right) \bar{v} \quad (\text{II-1-3-35})$$

Numărul de cifre cu care s-a luorat a fost suficient pentru a asigura trei zecimale exacte.

Se constată că față de relația (II-1-3-29) diferența este neglijabilă deoarece termenul  $\sqrt{g}/C$  nu depășește decât cu totul excepțional valoarea 0,1 (fiind în mod usual în jur de 0,05). Astfel diferența dintre cele două formule este de cel mult 0,3 %. În continuare se va adopta relația (II-1-3-29) deoarece în metoda Simpson s-au anulat valorile foarte mari din intervalul 0,000 la 0,001.

Deoarece la canale largi și râuri regularizate coeficientul de rezistență hidraulică C variază între valorile C = 15 și C = 60 se obține :

$$C=15 \implies \bar{U}_{\max} = 1,451 \bar{v} \quad (\text{II-1-3-36})$$

$$C=60 \implies \bar{U}_{\max} = 1,104 \bar{v}$$

Relațiile obținute concordă foarte bine cu indicațiile existente în literatură referitoare la legătura care există între viteza medie și viteza maximă.

În lucrarea /C-1, p.96/ referitoare la măsurările hidrologice care se fac pe cursurile de apă se menționează că sunt cazuri în care nu se poate măsura decât viteza la suprafață  $\bar{U}_s$ . În asemenea situații calculul vitezei medii se face cu ajutorul formulei :

$$\bar{v} = k \bar{U}_s \quad (\text{II-1-3-37})$$

în care k este un coeficient ce se determină experimental și care variază în mod obișnuit între 0,7 și 0,9. În calculul preliminar se admite uneori k = 0,85.

În cazul de față  $\bar{U}_s = \bar{U}_{\max}$ .

Prelucrând relația de mai sus rezultă :

$$k=0,7 \implies \bar{U}_{\max} = 1,43 \bar{v}$$

$$k=0,9 \implies \bar{U}_{\max} = 1,11 \bar{v} \quad (\text{II-1-3-38})$$

Se constată că aceste relații empirice sunt într-o foarte bună concordanță cu cele stabilite teoretic în lucrare (II-1-3-36).

După N.V.Boldakov, citat din lucrarea /M-7, p.92/ variația coeficientului  $k$  cu caracterul albiei este conformă tabelului II-1-3-2 care confirmă valabilitatea relației (II-1-3-36).

Valorile coeficientului  $k$

Tabela II-1-3-2

Caracteristicile cursului de apă	$k$
Albie normală	0,90
Albie strangulată sau torrent de dimensiuni mijlocii	0,87
Torrent violent	0,80
Luncă cu vegetație slabă	0,80
Luncă cu vegetație puternică	0,70

O altă confirmare a justitiei relației obținute pentru legea de distribuție a vitezei o constituie comparația cu rezultatele obținute de prof.dr.doc.ing.Dorin Pavel în lucrarea /P-1,p.257/ în care se indică următoarea relație practică între viteza medie și viteza de suprafață (care este considerată viteza maximă) :

$$\bar{U} = \bar{U}_{\max} - k \sqrt{h J} ; \quad k = \frac{20}{3} \approx 6,66 \quad \text{pentru canale largi (II-1-3-39)}$$

Din formula (II-1-3-29) se poate obține o relație de aceeași structură :

$$\bar{U}_{\max} = \bar{U} + 0,86 \frac{\sqrt{q}}{2e C} C \sqrt{R J} = \bar{U} + 6,64 \sqrt{R J} \quad (\text{II-1-3-40})$$

diferența corespunzătoare termenului adițional fiind de aproximativ 0,3 %.

In cazul canalelor largi  $R = h$  și în consecință :

$$\bar{U} = \bar{U}_{\max} - 6,64 \sqrt{h J} \quad (\text{II-1-3-41})$$

relație care practic coincide cu relația prof.Dorin Pavel.

#### c.- Determinarea factorului de corecție "β" al verticalei

In dezvoltările ulterioare va apărea necesitatea de a calcula integrala  $\int_0^h \bar{U}^2 dz$ . Această integrală se poate ușor exprima dacă este cunoscut factorul de corecție  $\beta$  definit astăndator factorului de corecție din relația lui Bernoulli pentru curenti cu secțiuni finite în mișcarea nepermanentă /M-1,p.161/

$$\beta = \frac{\int_0^h \bar{U}^2 dz}{\bar{U}^2 h} \quad (\text{II-1-3-42})$$

In scopul calculului acestui coefficient, din relațiile (II-1-3-32) și (II-1-3-29) se deduce :

$$\bar{U} = \left[ \frac{\bar{U}_{\max}}{\bar{U}} - \frac{\bar{U}_1}{\bar{U}} f(\xi) \right] \bar{V} = \left[ 1 + 2,00 \frac{\sqrt{q}}{C} - \frac{\sqrt{q}}{C} f(\xi) \right] \bar{V} \quad (\text{II-1-3-43})$$

$$\bar{U}^2 = \bar{V}^2 \left[ \left( 1 + 2,00 \frac{\sqrt{q}}{C} \right)^2 - 2 \frac{\sqrt{q}}{C} \left( 1 + 2,00 \frac{\sqrt{q}}{C} \right) f(\xi) + \frac{q}{C^2} f^2(\xi) \right]$$

Determinarea coeficientului  $\beta$  al verticalei se va face, ca și în cazul stabilirii legăturii dintre viteza medie și viteza maximă, prin cele două metode :

- prin integrarea aproximativă (Simpson) a formulei ne-simplificate ;

- prin integrarea formulicii simplificate.

În cazul utilizării metodei Simpson, s-au calculat valorile funcției  $f^2(\xi)$  care au fost trecute în ultima coloană a tabelei Nr. II-1-3-1. S-a menținut și aici diviziunea intervalului în douăzeci de subintervale partiiale egale, ca și aproximarea  $\xi_0 = 0 \approx 0,001$

$$\int_0^h U^2 dz = \bar{U}^2 h \left[ \left( 1 - 2,00 \frac{\sqrt{q}}{C} \right)^2 - 2 \frac{\sqrt{q}}{C} \left( 1 - 2,00 \frac{\sqrt{q}}{C} \right) \int_0^1 f(\xi) d\xi + \frac{q}{C^2} \int_0^1 f^2(\xi) d\xi \right] \quad (\text{II-1-3-44})$$

Prima integrală a mai fost folosită în cadrul punctului a) al acostui paragraf, unde s-a adoptat în final :

$$\int_0^1 f(\xi) d\xi \approx 2,00$$

În ceea ce privește cea de-a doua integrală, din datele inscrise în tabela Nr. II-1-3-1 au rezultat valorile :

$$f^2(\xi_0) = 269,4686; \quad f^2(\xi_{20}) = 0,0000;$$

$$f^2(\xi_1) + f^2(\xi_2) + \dots + f^2(\xi_{19}) = 75,7430; \quad (\text{II-1-3-45})$$

$$f^2(\xi_2) + f^2(\xi_4) + \dots + f^2(\xi_{18}) = 46,2774;$$

$$\int_0^1 f^2(\xi) d\xi = \frac{1}{60} (269,4686 + 4 \times 75,7430 + 2 \times 46,2774) = 11,0833$$

Ca urmare, în cazul utilizării formulei Simpson valoarea coeficientului de corecție  $\beta$  este :

$$\beta = 1 - 4,6225 \frac{q}{C^2} + 11,0833 \frac{q}{C^2} = 1 + 6,4608 \frac{q}{C^2} \quad (\text{II-1-3-45})$$

În cazul utilizării formulei simplificate, funcția  $f(\xi)$  are valoarea :

$$f(\xi) = -\frac{1}{2\xi} [\ln \xi + 0,22 \ln(3-2\xi)] = -2,5 \ln \xi - 0,55 \ln(3-2\xi) \quad (\text{II-1-3-47})$$

$$f^2(\xi) = 6,25 \ln^2 \xi + 2,75 \ln \xi \ln(3-2\xi) + 0,3025 \ln^2(3-2\xi)$$

Având în vedere următoarele integrale /G-4, p.217/ :

$$\int_0^1 \ln^2 \xi d\xi = 2 \quad (\text{II-1-3-48})$$

$$\int_0^1 \ln(3-2\xi) d\xi = \frac{3}{2} \ln 3 - 3 \ln 3 + 2 = 0,5146$$

Decarce integrala în care apar cei doi logaritmi nu se poate integra sub formă finită cu ajutorul funcțiilor elementare ca s-a prelucrat în modul următor :

$$\begin{aligned} \int_0^1 \ln \xi \ln(3-2\xi) d\xi &= \int_0^1 \ln \xi \left[ \ln 3 + \ln \left( 1 - \frac{2\xi}{3} \right) \right] d\xi \approx \\ &\approx \int_0^1 \ln \xi \left[ \ln 3 - \frac{2\xi}{3} + \frac{1}{2} \left( \frac{2\xi}{3} \right)^2 - \frac{1}{3} \left( \frac{2\xi}{3} \right)^3 + \frac{1}{4} \left( \frac{2\xi}{3} \right)^4 - \frac{1}{5} \left( \frac{2\xi}{3} \right)^5 + \frac{1}{6} \left( \frac{2\xi}{3} \right)^6 \right] d\xi \end{aligned} \quad (\text{II-1-3-49})$$

Numărul mare de termeni păstrat în dezvoltarea lui  $\ln \left( 1 - \frac{2\xi}{3} \right)$  asigură o eroare neglijabilă.

Decarece se poate scrie formula de integrare :

$$\int_0^1 \left(\frac{2s}{3}\right)^k \ln s ds = \left(\frac{2}{3}\right)^k \int_0^1 s^k \ln s ds = \\ = \left(\frac{2}{3}\right)^k \left[ \frac{s^{k+1}}{k+1} \ln s \Big|_0^1 - \frac{1}{k+1} \int s^k ds \right] = - \left(\frac{2}{3}\right)^k \frac{1}{(k+1)^2} \quad (\text{II-1-3-50})$$

se obtine, după calculul algebric elementar :

$$\int_0^1 \ln s \ln(3-2s) ds = -\ln 3 + \frac{2}{3} \frac{1}{2^2} + \frac{1}{2} \left(\frac{2}{3}\right)^2 \frac{1}{3^2} + \frac{1}{3} \left(\frac{2}{3}\right)^3 \frac{1}{4^2} + \frac{1}{4} \left(\frac{2}{3}\right)^4 \frac{1}{5^2} + \\ + \frac{1}{5} \left(\frac{2}{3}\right)^5 \frac{1}{6^2} + \frac{1}{6} \left(\frac{2}{3}\right)^6 \frac{1}{7^2} = -1,0986 + 0,2005 = -0,8981 \quad (\text{II-1-3-51})$$

Astfel pe această cale se obține din relația (II-1-3-

$$47) : \int_0^1 f(s) ds = 12,50 - 2,75 \times 0,8981 + 0,3025 \times 0,5146 = 10,1859 \quad (\text{II-1-3-52})$$

valoare care introdusă în (II-1-3-44) conduce la :

$$\beta = 1 - 4,6225 \frac{g}{C^2} + 10,1859 \frac{g}{C^2} = 1 + 5,5634 \frac{g}{C^2} \quad (\text{II-1-3-53})$$

Având în vedere că raportul  $g/C^2$  este mai mic decât 0,01 rezultă oă diferență între valoarea coeficientului  $\beta$  calculat cu cele 2 metode este în mod ușor sub 0,5 %. Se va adopta în continuare o valoare medie :

$$\beta \approx 1 + 6 \frac{g}{C^2} \quad (\text{II-1-3-54})$$

d.- Verificarea formulei propusă pentru distribuția vitezei pe verticală

Formula propusă în teză, în cadrul prezentului paragraf pentru distribuția vitezei pe verticală :

$$\frac{U_{\max} - U}{U_*} = f(s) = -\frac{1}{2s} \left[ \ln \frac{1 - \sqrt{\frac{3(4-s)}{3-2s}}}{1 + \sqrt{\frac{3(4-s)}{3-2s}}} - \sqrt{\frac{3}{2}} \ln \frac{\sqrt{\frac{3}{2}} - \sqrt{\frac{3(4-s)}{3-2s}}}{\sqrt{\frac{3}{2}} + \sqrt{\frac{3(4-s)}{3-2s}}} \right] \quad (\text{II-1-3-20})$$

împreună cu relația dintre viteza maximă și viteza medie a verticalei :

$$U_{\max} = \left(1 - 2 \frac{g}{C^2}\right) \bar{U} \quad (\text{II-1-3-29})$$

au fost verificate prin intermediul unor măsurători în natură pe rîul Timiș și pe canalul Bega, puse la dispoziție de Institutul de meteorologie și hidrologic, filiala Timișoara, prin date din lucrarea /B-4, p.17/ ca și prin măsurători proprii efectuate pe modelul seectorului rîului Arges, model executat în cadrul unui contract de cercetare cu I.S.P.H. București și la care am fost responsabilă de contract.

In tabela Nr.II-1-3-3 sunt extrase datele necesare din carnetul de măsurători cu indicativul Ban 2.1.4 pe anii 1960 și 1970 de la stația hidrometrică Lugoj de pe rîul Timiș. Acest tabel cuprinde distribuția vitezei pe verticală Nr.III măsurată de zece ori într-un an specific secotos (1960) și de zece

ori într-un an specific ploios (1970).

Tabela Nr. II-1-3-4 conține prelucrarea comparativă a datelor din măsurători și datelor obținute pe cale teoretică, pe de o parte prin utilizarea legii de distribuție a lui Prandtl iar pe de altă parte prin utilizarea legii de distribuție propusă în teză. Drept indicatori statistici s-au considerat valoarea medie a abaterii și abaterea medie pătratică. Ambii indicaitori sunt favorabili formulei propusă în cadrul tezei sporul de precizie fiind pentru valoarea medie a abaterii de la -1,39 % în cazul utilizării formulei Prandtl la -1,11 % în cazul utilizării formulei propusă în cadrul tezei, iar în cazul abaterii medii pătratice de la 5,66 % în cazul utilizării formulei Prandtl la 4,15 % în cazul utilizării formulei propusă în cadrul tezei. Repartitia pe verticală a vitezei  $\bar{U}$  și a raportului  $\bar{U}/\bar{V}$  sunt reprezentate în figurile II-1-3-2 și II-1-3-3 pentru ape mici respectiv pentru ape mari. Din tabele și reprezentări se observă că abaterile sunt mai mari la ape mari (figura II-1-3-3).

In tabela Nr. II-1-3-5 sunt extrase datele necesare prelucrărilor din carnetele de măsurători cu indicativul Ban.1.1.3 pe anul 1966 la postul hidrometric Balinț de pe rîul Bega. În secțiunea de măsurători s-au considerat distribuțiile de viteză pe 10 verticale măsurate la 16 februarie și 15-23 aprilie 1966 (anul 1966 fiind considerat an reprezentativ ploios în Banat).

Tabela II-1-3-6 conține prelucrarea comparativă a datelor în aceeași manieră în care a fost făcută și pentru rîul Timiș, prin calculul valorilor medii a abaterii între valorile măsurate și cele rezultate din aplicarea formulei lui Prandtl pe de o parte și cele calculate cu formula propusă în teză pe de altă parte. De asemenea s-a calculat în ambele cazuri abaterea medie pătratică. Se constată că în cazul rîului Bega, ambii indicatori statistici sunt de asemenea mai buni în cazul distribuției propusă în teză decât în cazul distribuției lui Prandtl, sporul de precizie fiind de la -0,82 % la -0,47 % în cazul valorii medii a abaterii, respectiv de la 9,30 % la 7,24 % în cazul abaterii medii pătratice. Reprezentările respective sunt date în figurile II-1-3-4 și II-1-3-5.

In tabela Nr. II-1-3-7 au fost trecute datele măsurătorilor efectuate pe modelul sectorului de rîu Argeș referitoare la distribuția vitezelor pe un număr de cîte cinci verticale în secțiunile 0-0, P.1 și în șapte verticale din secțiunea P.1c8, toate secțiunile fiind situate pe sectoare în aliniament ale modelului.

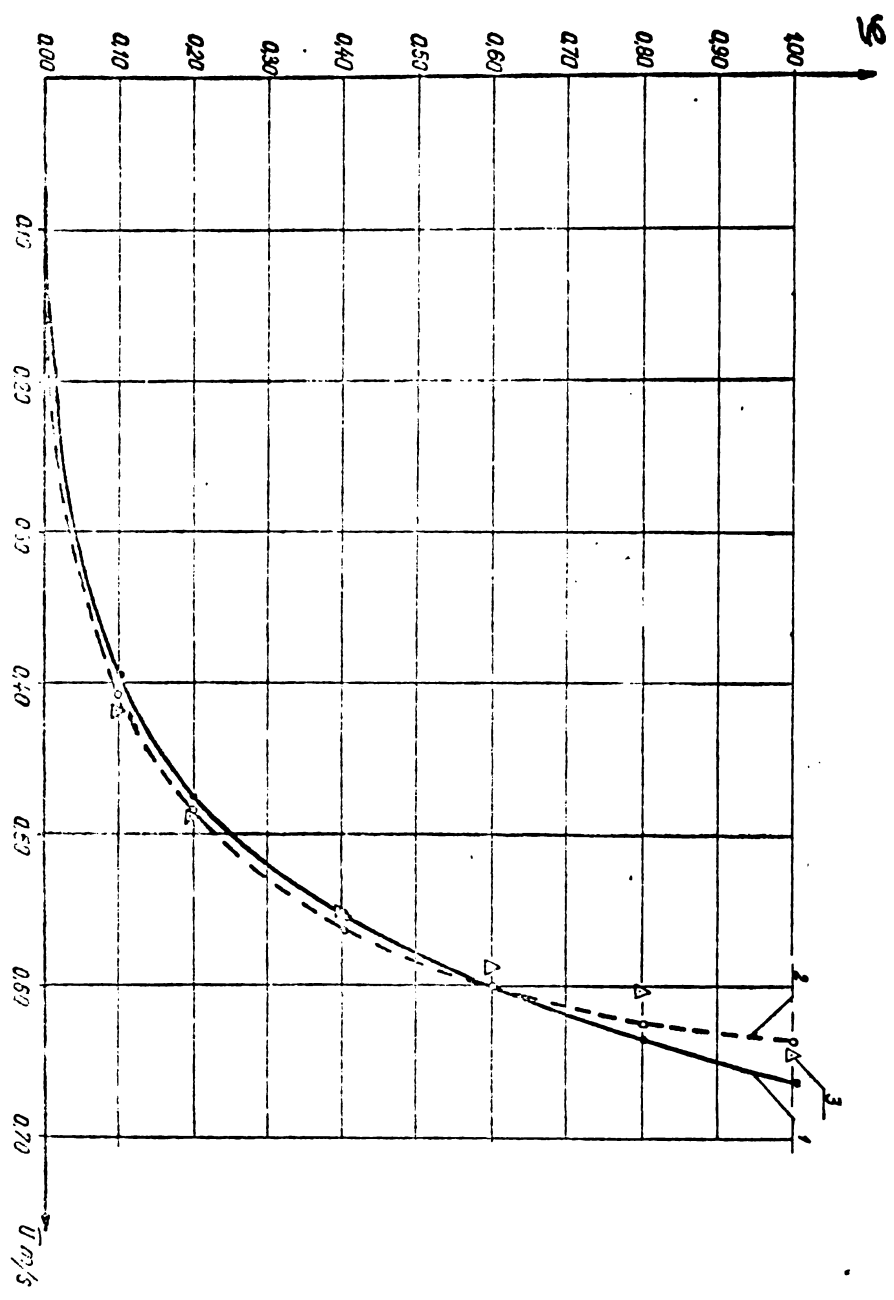
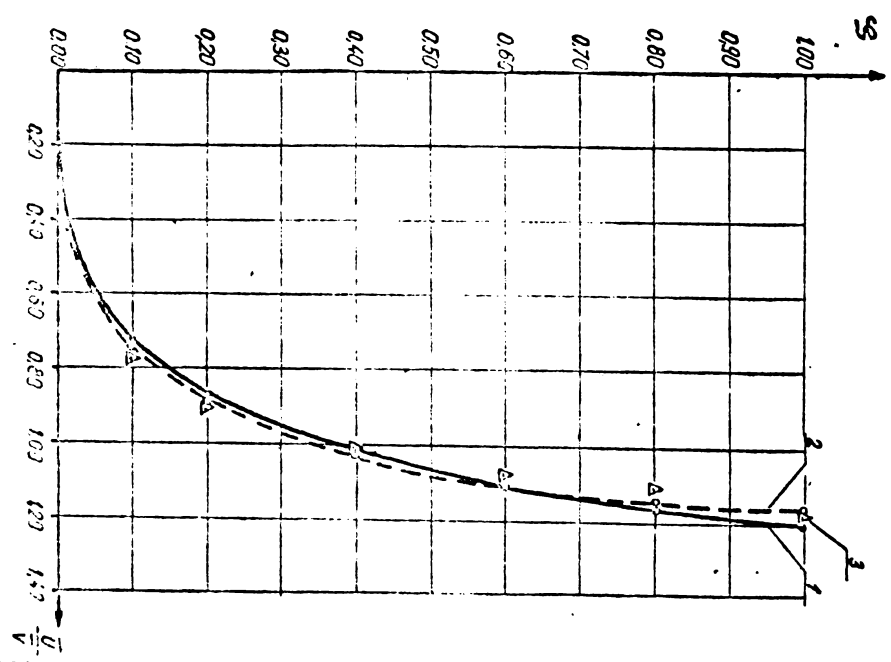


Fig. II-3-2 Relația pe verticală a vitezei ( $\bar{U}$ ) și variația raportului  $\bar{U}/\bar{V}$  pe rîul Tîmăș la apă mici:

- 1) Următoarele lui Prandtl,
- 2) Următoarele logaritmice în treptă;

Δ și triunghiuri întăritări.



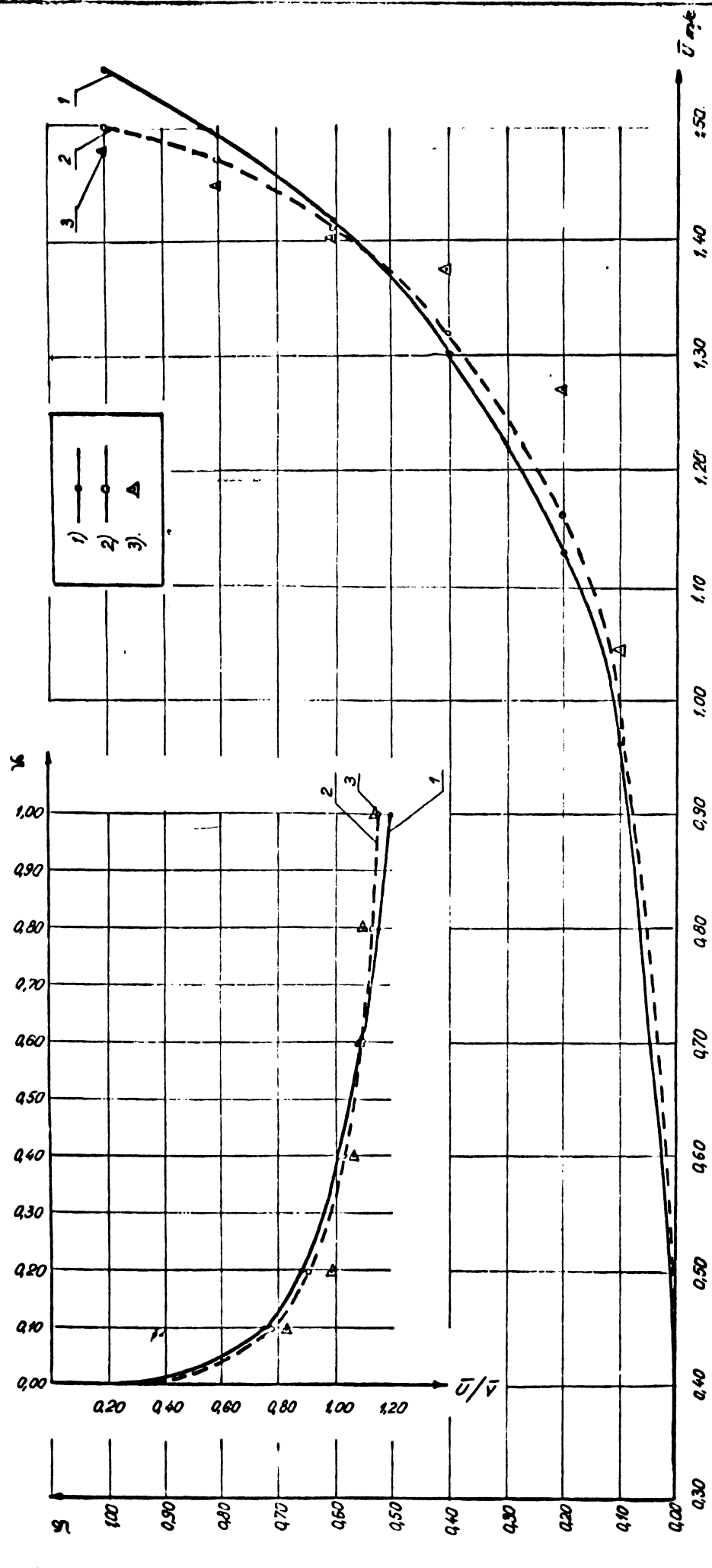


Fig. II.1.5-3 Repartiția pe verticală a vitezei ( $U$ ) și variația raportului  $\bar{U}/\bar{V}$  pe rîul Timiș la ape mari:

- 1) după formula lui Prandtl;
- 2) după formula propusă în teză;
- 3) înregistrări din măsurători.

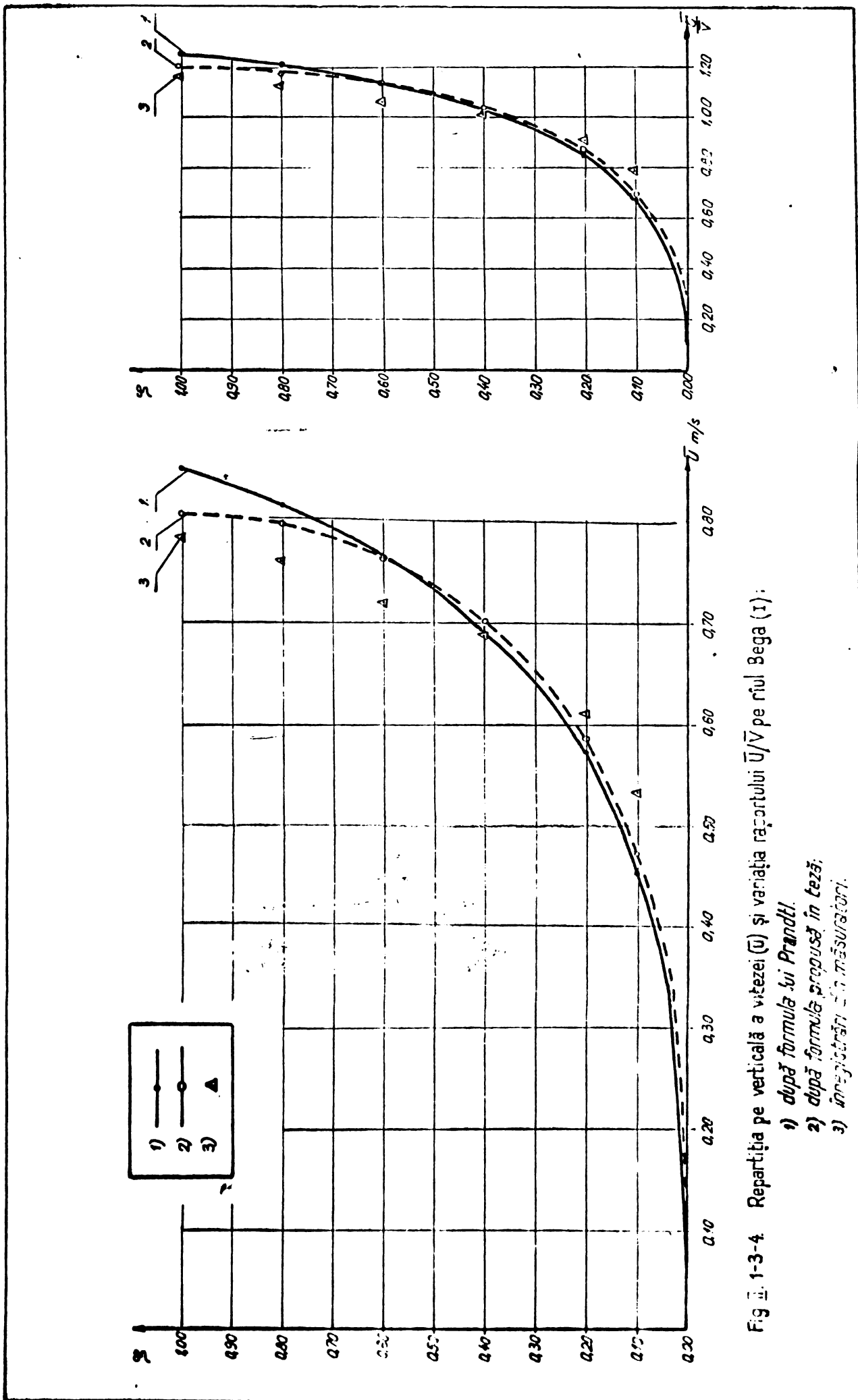


Fig. 1-3-4. Repartitia pe verticală a vitezei ( $\bar{U}$ ) și variația raportului  $\bar{U}/\bar{V}$  pe rîul Bega (I).

- 1) după formula lui Prandtl.
- 2) după formula propusă în teză;
- 3) înregistrările din proiectul de lucru.

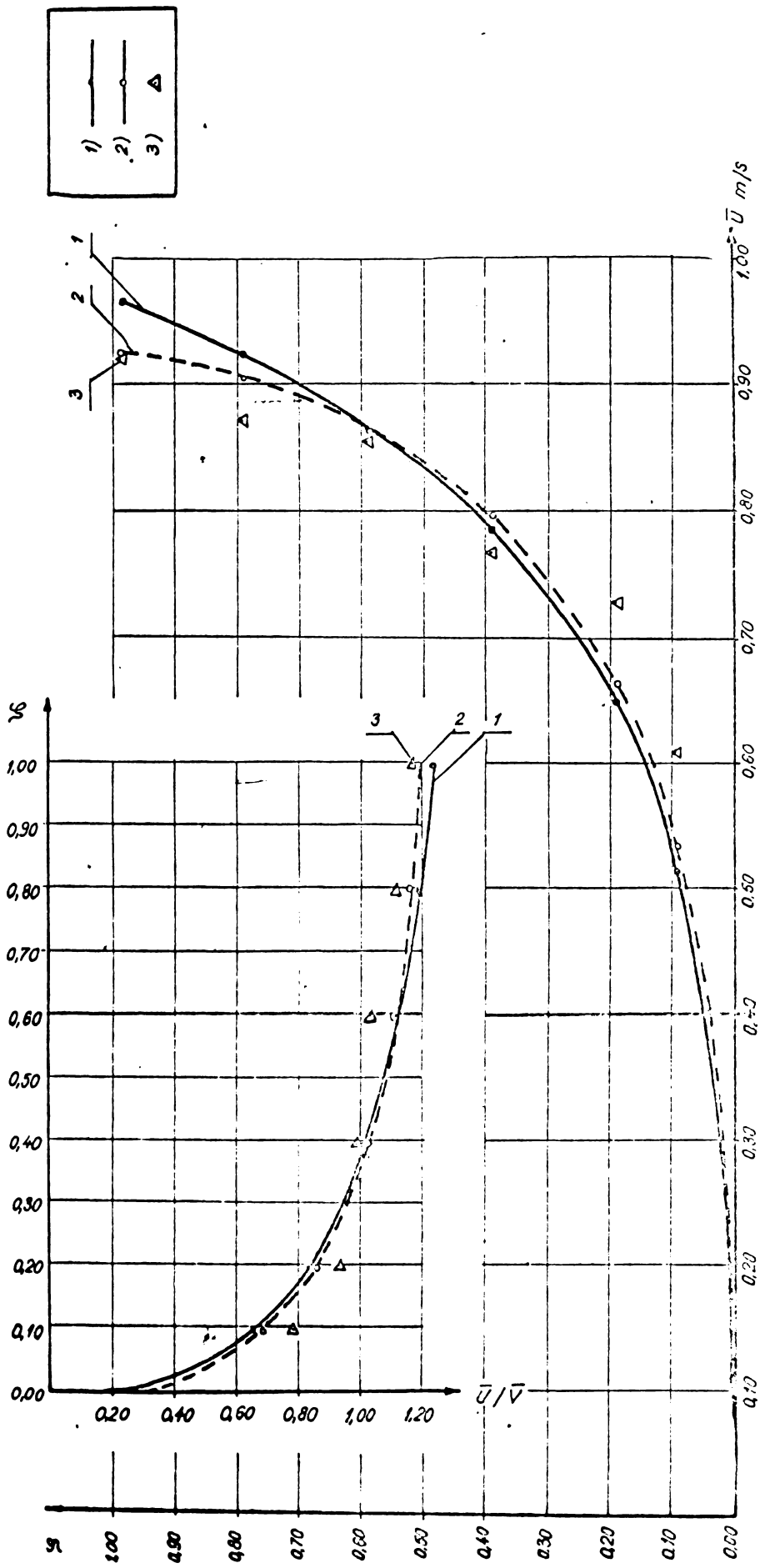


Fig. 1-3-5 Repartitia pe varfuri a vitezei ( $\bar{U}$ ) si variatia raportului  $\bar{U}/\bar{V}$  pe riu Bega(II):

- 1)  $\sigma_{\bar{U}} = \sqrt{\rho_{\bar{U}}/\rho_{\bar{V}}}$
- 2)  $\sigma_{\bar{U}} = \sqrt{\rho_{\bar{U}}/\rho_{\bar{V}}}$
- 3)  $\sigma_{\bar{U}} = \sqrt{\rho_{\bar{U}}/\rho_{\bar{V}}}$

- 7 -

Tabela Nr. II-1-3-8 conține calculul indicatorilor statistici. Se constată că în acest caz (în care albă are o formă trapezoidală, regulată, ceea ce nu a fost decât aproximativ realizat în cazul râurilor Timiș și Bega) indicatorii statistici arată un semnificativ avantaj de partea distribuției propusă în teză comparativ cu distribuția lui Prandtl, mai ales în ceea ce privește abaterea medie pătratică : valoarea medie a abaterii a scăzut de la  $+0,85\%$  (Prandtl) la  $+0,32\%$  (teză), iar abaterea medie pătratică de la  $4,14\%$  Prandtl la  $0,98\%$  (teză). Si reprezentarea grafică dată în figura II-1-3-6 arată drept avantajoasă formula propusă în teză.

În fine în tabela Nr. II-1-3-9 și II-1-3-10 sînt extrase datele necesare din lucrarea /B-4, p.17/ conținînd măsurători de viteză efectuate în şase verticale a unei secțiuni transversale pe un rîu din U.R.S.S., ca și prelucrările statistice respective. În acest caz valoarea medie a abaterii a rezultat de  $-1,87\%$  cînd s-a aplicat formula lui Prandtl și de  $+0,14\%$  în cazul formulei propuse în teză, în timp ce abaterea medie pătratică a rezultat de  $4,05\%$  în cazul formulei Prandtl și de  $2,86\%$  în cazul formulei propuse.

Calculînd în final o valoare medie a celor doi indicatori statistici rezultă următoarele valori mediate :

- pentru valoarea medie a abaterii  $-0,81\%$  cu formula Prandtl, respectiv  $-0,28\%$  cu formula propusă în teză,
- pentru abaterea medie pătratică  $5,79\%$  cu formula Prandtl, respectiv  $3,81\%$  cu formula propusă în teză.

Este de remarcat faptul că în cazul albilor naturale repartiția vitezelor dedusă pentru cazul ideal al unui curent plan infinit în lungul unui perete plan (Prandtl), respectiv al unui curent plan între doi pereti plan-paraleli situați la distanță finită (teză) este perturbată de neregularitățile albiei. Se observă însă că prin medierea pe un număr suficient de mare de cazuri aceste perturbații, care pot fi considerate aleatoare, pentru problema în studiu, se compensează reciproc ceea ce explică valorile foarte mici obținute în final pentru valoarea medie a abaterii. În schimb această compensare nu are loc în cazul abaterii medii pătratice de aceea acest indicativ exprimă mai bine împrăștirea rezultatelor față de formulele teoretice. Se constată din cifrele de mai sus că distribuția propusă în teză este semnificativ mai bună decât distribuția lui Prandtl. Așa cum s-a arătat și în (II.1-1-2) relativ la necesitatea stabilirii unei

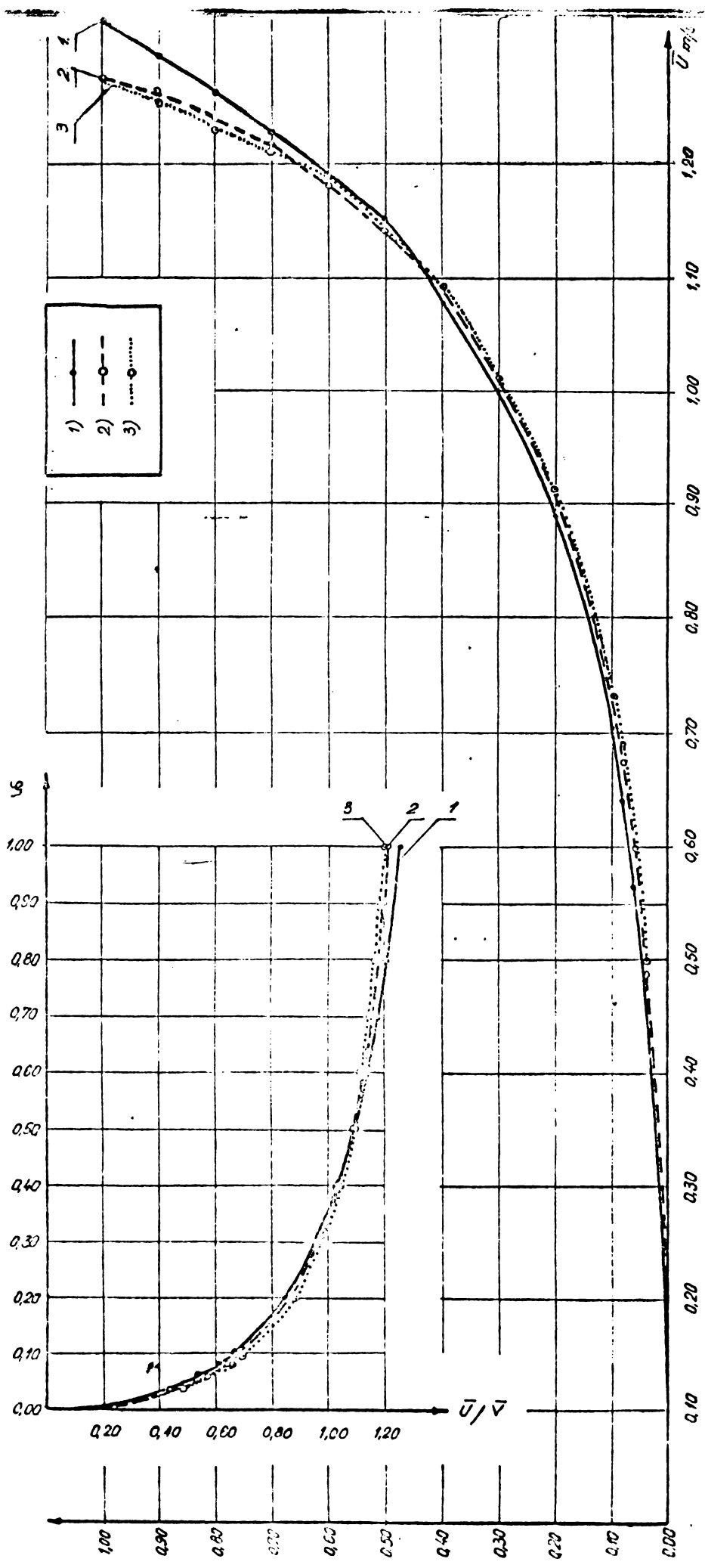


Fig. II.1-3-6. Repartiția pe verticală a vitezei ( $U_z$ ) și variația raportului  $\bar{U}'/\bar{V}'$  pe modelul sectořului de riu Arges:

- 1) Rîză řumună a Prejellii;
- 2) Rîză řumună a Cernăuți;
- 3) Rîză řumună a Cernăuți.

noi relații de distribuție, formula lui Prandtl dă viteze sistematice mai mari la suprafață și sistematice mai mici la fund decât cele măsurate în natură (la aceeași viteză medie). Formula propusă în teză corectează întrucâtva această deficiență, ea oglindind mai fidel evoluția fenomenului. Comparăriile făcute arată că formula Prandtl este pe de plin folosibilă în primă aproximație, iar în cazul în care se cere o precizie sporită este indicat să se utilizeze formula propusă în teză.

În cadrul acestui paragraf s-a făcut și o comparație între valoarea vitezei maxime și valoarea vitezei medii pentru aceeași verticală, obținute prin măsurători și pe cale teoretică prin utilizarea formulei propusă în cadrul tezei :

$$\frac{\bar{U}_{\max}}{\bar{U}} = 1 - 2 \frac{\sqrt{g}}{C} \quad (\text{II-1-3-29'})$$

În tabela Nr. II-1-3-11 referitoare la rîul Timiș, s-a găsit pentru valoarea medie a abaterii  $+0,09\%$ , iar pentru abaterea medie pătratică  $6,50\%$ .

În tabela Nr. II-1-3-12 referitoare la rîul Bega, s-a obținut pentru valoarea medie a abaterii  $+2,94\%$ , iar pentru abaterea medie pătratică  $9,05\%$ .

În tabela Nr. II-1-3-13 referitoare la modelul sectorului de rîu Argeș a rezultat pentru valoarea medie a abaterii  $+0,07\%$  iar pentru abaterea medie pătratică  $6,12\%$ .

În fine, în tabela Nr. II-1-3-14 sunt înscrise datele referitoare la un rîu din U.R.S.S., rezultând pentru valoarea medie a abaterii  $-3,83\%$  și pentru abaterea medie pătratică  $6,50\%$ .

Calculind și în acest caz valorile medii ale acestor indicatori statistici s-a obținut :

- pentru valoarea medie a abaterii  $-0,18\%$  ;
- pentru abaterea medie pătratică  $7,04\%$ .

Se constată că și aici, ca și în cazul distribuției vitezei pe verticală apar abateri datorită, în primul rînd, neregularităților albiei, a căror pondere în cazul valorii medii a abaterii se aduce prin mediere ceea ce explică prin compensarea reciprocă. În cazul abaterii medii pătratice valoarea obținută indică o oarecare împărătie a rezultatelor, acest indice ne mai permitând compensarea reciprocă.

Reprezentarea grafică comparativă sub forma legii deficitului de viteză este dată în figura II-1-3-8. În această figură sunt reprezentate atât legile teoretice (a lui Prandtl și cea din teză) cât și rezultatele măsurătorilor prelucrate în teză (de pe Timiș, Bega, sectorul modelat al Argeșului și după /B-4/).

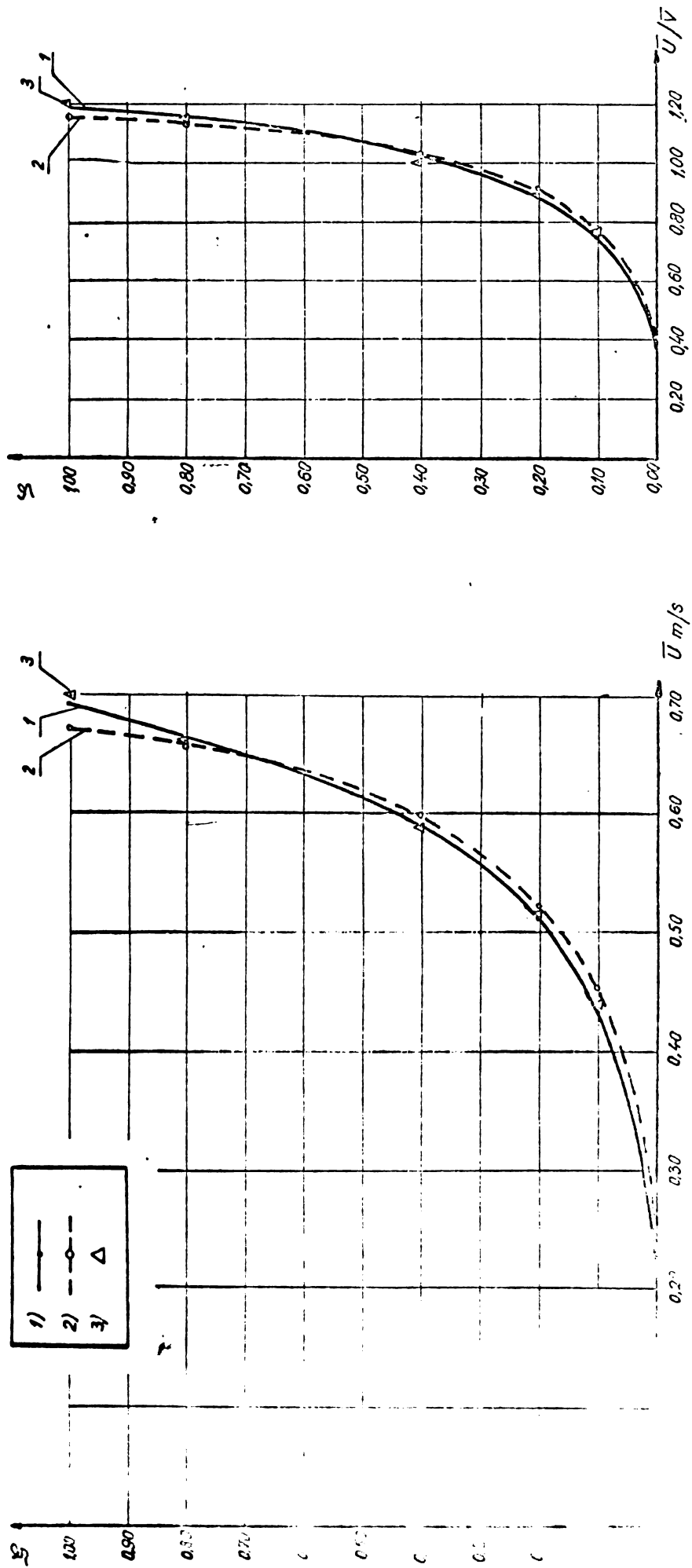


Fig. 1. Variation of efficiency ( $\eta$ ) and head ( $H$ ) with the ratio of discharge to free surface velocity  $\bar{U}/\bar{V}$  [B-4].

Fig. 1. Variation of efficiency ( $\eta$ ) and head ( $H$ ) with the ratio of discharge to free surface velocity  $\bar{U}/\bar{V}$  [B-4].

sau din literatura de specialitate :

- după Rao și Chandrasekhar /G-1,p.66/ pentru  $v_* h/\gamma =$   
 $= 18000 - 30800$  ;
- după Fidman /F-1,p.1630/ pentru  $v_* h/\gamma = 1010$  ;
- după Elata și Iopen /G-1,p.66/ pentru  $v_* h/\gamma = 2850$ .

Din aceasta reprezentare grafică, în coordinate semilogaritmice care utilizează relația de distribuție a vitezei sub formă de încitului de viteză, se constată că cercetările efectuate pe modele mici, caracterizate printr-o valoare relativ mică a numărului  $Re_* = \frac{v_* h}{\gamma}$  cum sunt cele efectuate din Fidman (9) sau Elata și Iopen (10), dau o concordanță mai bună cu relația lui Arndt în vreme ce masurările efectuate pe modele la scară mare (6), sau direct în natură (3-4-5-7) dau o concordanță mai bună cu relația propusă în teză.

Să remarcă în special concordanța relației propuse cu rezultatele (5) care au fost obținute prin prelucrarea statistică a unui mare număr de masurări efectuate pe râurile din URSS.

În încheierea paragrafului se menționează că studiul referitor la repartiția vitezei pe verticală a fost făcut cu scopul de :

- a stabili indicatori statistici care să permită aprecia gradul de aproximativitate facut prin utilizarea relațiilor din literatură;
- a da o relație proprie care să reflecte mai bine distribuția vitezelor pe verticală în cazul specific al apelor naturale ;
- a dispune astfel de o bază solidă, temeinică, verificată, cu rezultate experimentale care să permită abordarea în continuare a altor probleme în cadrul tezei unde repartiția vitezei pe verticală apare ca un element inițial cunoscut. În această categorie intră în special problema cinematicii curentilor pe secțiunile în curba și problema stabilității apelor pe secțiunile în curbă.

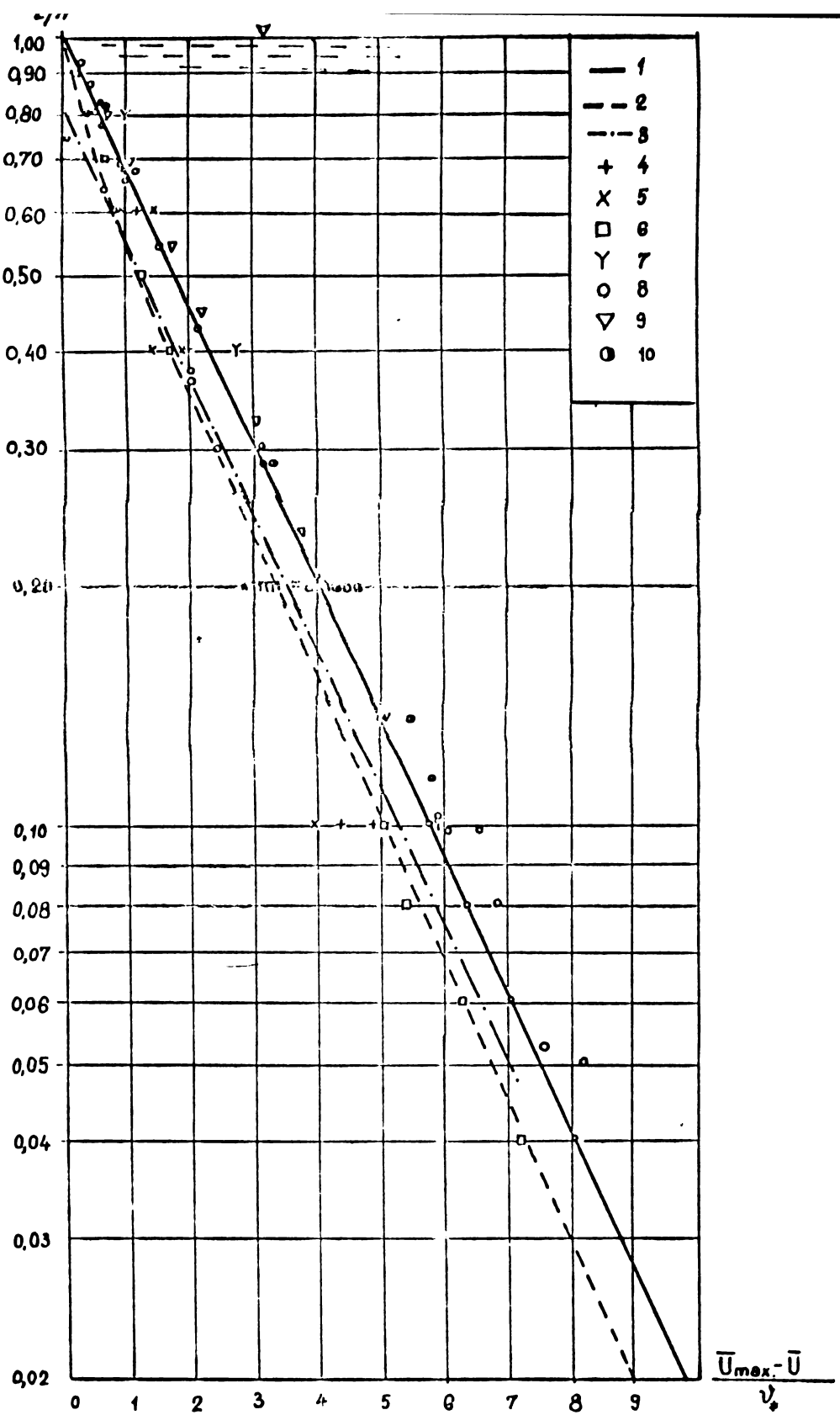


Fig. II.1-3-8 Reprezentare grafică comparativă privind legea deficitului de viteză.

1. teoretic după relația lui Prandtl;
2. teoretic după relația propusă în tază;
3. măsurători în natură efectuate pe râurile din U.R.S.S. [G.1-p.66];
4. măsurători pe rîul Timiș prelucrare după [I.4.a],  $V_f \cdot h/f = 96000 \div 452000$ ;
5. măsurători pe rîul Zăga prelucrare după [I.4.c],  $V_f \cdot h/f = 28000 \div 42000$ ;
6. măsurători pe modelul sectorului de rîu Arges;  $V_f \cdot h/f = 8980$ ;
7. măsurători prelucrate după [B.4-p.17],  $V_f \cdot h/f = 62800$ ;
8. măsurători după Rao și Chaudrasekhar [G.1-p.66],  $V_f \cdot h/f = 18000 \div 30000$ ;
9. măsurători după [F.1-p.102] și [F.2-p.103].

MASURATORI DE VITRZE PE VERTICALA PE RIUL TIUIS

$\langle \bar{u} \rangle = \langle \bar{v} \rangle = 1 \text{ m/s}$  ;  $\langle h \rangle = 1 \text{ m}$

Tabela II-1-3-3

Inregistrari de pe rîul Tiuis-statia Lugoj-Ban.2.1.4(cerete de măsurători) anul 1960 (ape mari):vert. III									
1-S	Nr.5 23.III.	Nr.6 30.IV.	Nr.7 27.V.	Nr.8 31.V.	Nr.10 11.VI.	Nr.11 13.VI.	Nr.12 25.VI.	Nr.13 26.VIII.	Nr.15 15.X.
supr	0,806	0,598	0,522	0,627	0,603	0,962	0,457	0,605..	0,492
0,2	0,743	0,530	0,492	0,596	0,580	0,845	0,442	0,588	0,470
0,4	0,697	0,518	0,449	0,581	0,569	0,889	0,429	0,572	0,727
0,6	0,642	0,480	0,424	0,525	0,533	0,863	0,414	0,567	0,702
0,8	0,580	0,332	0,363	0,480	0,487	0,820	0,368	0,522	0,656
fund	0,506	0,393	0,284	0,322	0,392	0,594	0,335	0,497	0,587
$\bar{v}_{\text{m}}$	0,650	0,469	0,416	0,529	0,515	0,820	0,403	0,549	0,511
h	2,70	3,50	2,60	3,40	2,25	2,95..	2,20	2,73	2,70
Inregistrari de pe rîul Tiuis-statia Lugoj-Ban.2.1.4(cerete de măsurători) anul 1970 (ape mari):vert. III									
1-S	Nr.1 8.I.	Nr.4 11.II.	Nr.5 14.II.	Nr.6 16.II.	Nr.10 29.III.	Nr.12 10.IV.	Nr.14 13.IV.	Nr.16 25.V.	Nr.18 6.VI.
supr	0,988	1,279	1,003	1,670	1,328	1,499	1,914	2,119	1,414
0,2	0,973	1,182	0,980	1,349	1,328	1,414	1,855	2,119	1,393
0,4	0,967	1,182	0,954	1,414	1,317	1,414	1,855	2,102	1,328
0,6	0,954	1,134	0,961	1,414	1,182	1,414	1,855	2,087	1,307
0,8	0,851	1,064	0,946	1,328	1,055	1,393	1,748	1,592	1,307
fund	0,680	0,577	0,612	0,754	1,098	1,250	1,592	1,370	1,064
$\bar{v}_{\text{m}}$	0,913	1,041	0,923	1,232	1,118	1,390	1,605	1,830	1,285
h	6,13	5,37	6,06	6,53	4,84	5,03	5,20	7,00	6,45
									6,86
									60,38
									6,04

TABEL COMPARATIV PRIVIND REPARTITIA VITEZELOR PE VERTICALA pe rîul Timiș

$\langle \bar{U} \rangle = \langle \bar{V} \rangle = 1 \text{ m/s}$ ;  $\alpha = 37^\circ \text{ m}^{1/2}/\text{s}$ ; (ape mici 1960)

Tabela II-1-3-4

$\xi$	$\bar{U}$	$\frac{\bar{U}}{\bar{V}}$	$\frac{\bar{U}_P}{\bar{V}}$	$\Delta = \frac{\bar{U}_P - \bar{U}}{\bar{V}}$	După formula lui Prandtl		După formula propusă în teză	
					$\frac{\Delta}{\bar{V}} \cdot 100$	$(\frac{\Delta}{\bar{V}} \cdot 100)^2$	$\frac{\bar{U}_T}{\bar{V}}$	$\Delta = \frac{\bar{U}_T - \bar{U}}{\bar{V}}$
0,10	0,419	0,771	0,725	-0,046	-5,97	35,60	0,747	-0,024
0,20	0,487	0,895	0,871	-0,024	-2,68	7,20	0,889	-0,006
0,40	0,553	1,018	1,017	-0,001	-0,98	0,97	1,032	+0,014
0,60	0,586	1,080	1,104	+0,024	+2,22	4,92	1,102	+0,022
0,80	0,601	1,105	1,165	+0,050	+5,43	29,50	1,147	+0,042
1,00	0,643	1,180	1,212	+0,032	+2,71	7,32	1,169	-0,011
					$\Sigma$	+0,73	85,51	
					$\Sigma$	+2,48	31,45	
$\langle u \rangle = \langle v \rangle = 1 \text{ m/s}$ ; $\alpha = 41^\circ \text{ m}^{1/2}/\text{s}$ ; (ape mari 1970)								
$\xi$	$\bar{U}$	$\frac{\bar{U}}{\bar{V}}$	$\frac{\bar{U}_P}{\bar{V}}$	$\Delta = \frac{\bar{U}_P - \bar{U}}{\bar{V}}$	$\frac{\Delta}{\bar{V}} \cdot 100$	$(\frac{\Delta}{\bar{V}} \cdot 100)^2$	$\frac{\bar{U}_T}{\bar{V}}$	$\Delta = \frac{\bar{U}_T - \bar{U}}{\bar{V}}$
0,10	1,045	0,826	0,752	-0,074	-8,96	80,30	0,772	-0,054
0,20	1,274	0,994	0,883	-0,111	-11,18	124,20	0,900	-0,094
0,40	1,379	1,073	1,015	-0,053	-5,41	29,20	1,029	-0,044
0,60	1,452	1,092	1,094	+0,002	+0,18	0,03	1,092	0,000
0,80	1,409	1,099	1,149	+0,050	+4,56	20,70	1,133	+0,034
1,00	1,472	1,151	1,191	+0,049	+3,47	12,10	1,153	+0,002
					$\Sigma$	-17,34	265,53	
					$\Sigma$	-15,83	153,33	

$\bar{U}_P$  = viteza calculată după relația Prandtl;  $\bar{U}_T$  = viteza calculată cu relația propusă în teză  
 Valoarea medie a abaterii  $(\frac{\bar{U}_P - \bar{U}}{\bar{U}}) \cdot 100\%$  respectiv  $(\frac{\bar{U}_T - \bar{U}}{\bar{U}}) \cdot 100\%$ . Abaterea medie patrată  $(\frac{\bar{U}_P - \bar{U}}{\bar{U}})^2$  respectiv  $(\frac{\bar{U}_T - \bar{U}}{\bar{U}})^2$  este de  $46\%$ .

MASURATORI DIN VITREZE FE VERTICALA pe riu Begă

$$\langle \bar{U} \rangle = \langle \bar{V} \rangle = 1 \text{ m/s} ; \langle h \rangle = 1 \text{ m}$$

Tabela II-1-3-5

4-5	Inregistrări de pe riu Begă-dosul Balint-Bag. 1.1.3(carnete de măsurători) pe anul 1966 (datalog)										$\frac{1}{n} \sum \bar{U}$
	Carnet Nr. 3-16 februarie 1966 - tip I.S.C.H.(completat)- $\bar{U} = 11,6 \text{ m/s}$ ; B = 31,00 m	V.I	V.II	V.IV	V.V	V.VII	V.X	V.XII	V.XIII	V.XIV	
supr	0,502	0,991	1,220	0,520	0,907	0,679	0,865	1,123	0,409	0,593	7,809
0,2	0,441	0,986	1,205	0,520	0,904	0,657	0,790	1,120	0,395	0,590	7,608
0,4	0,400	0,939	1,145	0,520	0,868	0,577	0,720	1,045	0,385	0,578	7,167
0,6	0,382	0,920	1,060	0,468	0,858	0,565	0,665	0,985	0,375	0,568	6,846
0,8	0,260	0,805	1,028	0,438	0,803	0,502	0,603	0,900	0,237	0,473	6,109
fund	0,247	0,750	0,780	0,242	0,725	0,443	0,600	0,935	0,200	0,421	5,343
$\bar{V}_{\text{m}}$	0,372	0,905	1,058	0,450	0,858	0,563	0,658	0,975	0,370	0,562	6,781
h	0,40	0,58	0,72	0,65	0,86	0,55	0,50	0,40	0,27	0,32	5,25
III)	Carnet Nr. 6-15-1966 - dosul Balint-Bag. 1.1.3(carnete de măsurători) pe anul 1966 - ISCH	V.I	V.III	V.VII	V.X	V.LX	V.I	Carnet Nr. 8-23-1966 - dosul Balint-Bag. 1.1.3(carnete de măsurători) pe anul 1966 - ISCH	V.IX	V.XI	$\frac{1}{n} \sum \bar{U}$
4-8	V.I	V.III	V.VII	V.X	V.LX	V.I	V.I	V.IV	V.IV	V.IX	$\frac{1}{n} \sum \bar{U}$
supr	0,889	1,102	1,204	0,851	1,101	0,697	1,050	0,802	0,702	0,752	9,150
0,2	0,820	1,064	1,170	0,831	0,991	0,675	0,957	0,752	0,683	0,736	8,679
0,4	0,794	1,041	1,064	0,800	0,807	0,665	0,752	0,714	0,652	0,730	8,019
0,6	0,720	0,997	1,062	0,762	0,794	0,595	0,674	0,673	0,641	0,725	7,643
0,8	0,676	0,991	1,032	0,743	0,689	0,524	0,657	0,615	0,602	0,723	7,252
fund	0,505	0,800	0,888	0,604	0,638	0,482	0,502	0,500	0,544	0,582	6,045
$\bar{V}_{\text{m}}$	0,716	0,966	1,060	0,753	0,840	0,584	0,726	0,662	0,639	0,701	7,647
h	0,72	1,27	0,87	0,60	0,55	0,50	0,64	0,58	0,57	0,58	6,98

TABEL COMPARATIV PRINJIND REPARTITIA VIEZELOR PE VERTICALA pe rîul Bega

I -  $\bar{U} = \langle \bar{v} \rangle = 1 \text{ m/s}$ ;  $\sigma = 30,4 \text{ m}^{1/2}/\text{s}$ 

Tabela II-1-3-6

$\xi$	$\frac{\bar{U}}{U}$	$\frac{\bar{U}}{V}$	$\frac{\bar{U}_P}{U}$	$\Delta = \frac{\bar{U}_P - \bar{U}}{U}$	$\frac{\Delta}{\frac{V}{U}} \cdot 100$	$\left(\frac{\Delta}{\frac{V}{U}} - 100\right)^2$	$\frac{\bar{U}_T}{U}$	$\Delta = \frac{\bar{U}_T - \bar{U}}{U}$	$\frac{\Delta}{\frac{V}{U}} \cdot 100$	$\left(\frac{\Delta}{\frac{V}{U}} - 100\right)^2$
0,10	0,534	0,788	0,666	-0,122	-15,50	240,0	0,692	-0,096	-12,20	149,00
0,20	0,611	0,902	0,843	-0,059	-6,54	42,70	0,865	-0,037	-4,10	16,80
0,40	0,685	1,010	1,021	+0,019	+0,99	0,98	1,039	+0,029	+2,87	8,22
0,60	0,717	1,058	1,126	+0,068	+6,43	41,40	1,124	0,066	+6,25	39,00
0,80	0,761	1,121	1,201	+0,080	+7,14	51,00	1,179	0,058	+5,17	26,70
1,00	0,781	1,152	1,257	+0,105	+9,12	83,20	1,206	0,054	+4,68	21,90
					$\sum +1,64$	459,28			$\sum +2,67$	261,62

II -  $\langle u \rangle = \langle v \rangle = 1 \text{ m/s}$ ;  $\sigma = 30,4 \text{ m}^{1/2}/\text{s}$ 

$\xi$	Valori măsurate	Dupa formula lui Prandtl	Dupa formula propusă în teză	
$\frac{\bar{U}}{U}$	$\frac{\bar{U}}{V}$	$\Delta = \frac{\bar{U}_P - \bar{U}}{U}$	$\frac{\Delta}{\frac{V}{U}} \cdot 100$	
0,10	0,605	0,791	-0,125	
0,20	0,725	0,948	-0,105	
0,40	0,764	1,000	+0,021	
0,60	0,802	1,049	+0,077	
0,80	0,868	1,135	+0,056	
1,00	0,915	1,196	+0,051	
		$\sum -6,53$	491,20	
			$\sum -5,47$	315,30

$\bar{U}_P$  = viteza calculată cu relația Prandtl;  $\bar{U}_T$  = viteza calculată cu relația propusă în teză;  
 Valoarea medie a abatrimențelor  $(\frac{\bar{U}_P - \bar{U}}{\bar{U}}) = -0,82\%$  respectiv  $(\frac{\bar{U}_T - \bar{U}}{\bar{U}}) = -0,47\%$

Abaterea medie patraticea  $\sqrt{(\frac{\bar{U}_P - \bar{U}}{\bar{U}})^2} = 9,30\%$  respectiv  $\sqrt{(\frac{\bar{U}_T - \bar{U}}{\bar{U}})^2} = 7,24\%$

$\langle \bar{U} \rangle = \langle \bar{V} \rangle = 1 \text{ m/s}$ ;  $\langle h \rangle = 1 \text{ cm}$

MASURATORI DE VITESZE PE VERTICALA la modelul sectorului de riu Arges

Tabela II-1-3-7

Sect	Sect 0-0 : b = 170 cm ; h = 10,76 cm		Sect 0-0 : b = 65 cm ; h = 10,76 cm		Sect 0-0 : b = 35 cm ; h = 10,76 cm		Sect 0-0 : b = 60 cm ; h = 10,76 cm		Sect 0-0 : b = 85 cm ; h = 10,76 cm	
	$\bar{U}$	$\bar{U}/\bar{U}_{max}$	$\bar{U}$	$\bar{U}/\bar{U}_{max}$	$\bar{U}$	$\bar{U}/\bar{U}_{max}$	$\bar{U}$	$\bar{U}/\bar{U}_{max}$	$\bar{U}$	$\bar{U}/\bar{U}_{max}$
0,04	-	-	-	-	-	-	-	-	-	-
0,05	-	-	-	-	-	-	-	-	-	-
0,08	0,69	0,522	0,70	0,511	0,69	0,490	0,58	0,415	0,51	0,380
0,10	-	-	-	-	-	-	-	-	-	-
0,20	1,05	0,800	1,03	0,751	1,01	0,720	1,07	0,770	1,05	0,789
0,30	1,15	0,878	1,14	0,852	1,10	0,785	1,14	0,820	1,15	0,869
0,40	1,24	0,945	1,24	0,905	1,19	0,850	1,21	0,870	1,25	0,945
0,50	1,26	0,960	1,26	0,920	1,25	0,893	1,24	0,892	1,27	0,960
0,60	1,28	0,975	1,27	0,930	1,31	0,938	1,28	0,917	1,32	0,998
0,70	1,29	0,985	1,30	0,947	1,33	0,950	1,29	0,928	1,32	0,998
0,80	1,31	0,997	1,32	0,962	1,35	0,962	1,32	0,950	1,31	0,990
0,90	1,31	0,998	1,35	0,984	1,38	0,985	1,36	0,975	1,32	0,998
1,00	1,31	1,000	1,37	1,000	1,40	1,000	1,39	1,000	1,33	1,030
$\bar{V}_{max}$	1,18	0,892	1,19	0,868	1,19	0,850	1,15	0,826	1,18	0,890
$h$	10,50		10,40		10,40		10,40		10,70	
$\bar{U}_{max}$	1,312		1,370		1,40		1,391		1,326	

continuare tabela II-1-3-7

Sect.P.1 ; b = 170 cm ; h = 9,65 cm

V 2	V 3	V 4	V 5	V 6	V 7
Y <sub>s</sub> = 65 cm	Y <sub>s</sub> = 40 cm	Y <sub>s</sub> = 15 cm	Y <sub>d</sub> = 10 cm	Y <sub>d</sub> = 35 cm	Y <sub>d</sub> = 60 cm
U	U/U <sub>max</sub>	U	U/U <sub>max</sub>	U	U/U <sub>max</sub>
0,04	-	0,49	0,330	-	-
0,06	-	-	0,61	0,414	-
0,08	-	-	-	-	-
0,10	0,76	0,545	-	-	-
0,20	,97	0,775	1,00	0,678	1,03
0,30	,15	0,830	1,18	0,800	1,20
0,40	,22	0,880	1,27	0,851	1,27
0,50	,27	0,918	1,33	0,901	1,32
0,60	,33	0,960	1,39	0,940	1,36
0,70	1,30	0,940	1,42	0,961	1,39
0,80	1,33	0,962	1,45	0,982	1,41
0,90	1,36	0,980	1,46	0,989	1,44
1,00	1,39	1,000	1,48	1,000	1,48
1,10	1,19	0,850	1,23	0,835	1,24
1,20	9,30	9,60	9,90	10,10	9,80
1,30	1,334	1,475	1,475	1,432	1,450
					1,420

cont. re tabela II-1-3-7

S	SCT.103 ; b = 232 cm ; h = 12,1 cm		V 2		V 3		V 4		V 5		V 6	
	Y <sub>s</sub> = 84 cm	Y <sub>s</sub> = 59 cm	Y <sub>s</sub> = 59 cm	Y <sub>s</sub> = 34 cm	Y <sub>s</sub> = 34 cm	Y <sub>d</sub> = 9 cm	Y <sub>d</sub> = 9 cm	Y <sub>d</sub> = 16 cm				
	U	U/U <sub>max</sub>	U	U/U <sub>max</sub>	U	U/U <sub>max</sub>	U	U/U <sub>max</sub>	U	U/U <sub>max</sub>	U	U/U <sub>max</sub>
0,04	-	-	0,47	0,476	0,47	0,448	-	-	0,513	0,59	-	-
0,06	0,58	0,592	-	-	-	-	0,59	-	-	-	0,59	0,590
0,08	-	-	-	-	-	-	-	-	-	-	-	-
0,10	-	-	-	-	-	-	-	-	-	-	-	-
0,20	0,70	0,715	0,70	0,715	0,66	0,636	0,71	0,618	0,79	0,79	0,676	0,676
0,30	0,74	0,758	0,73	0,748	0,71	0,682	0,86	0,747	0,82	0,82	0,700	0,700
0,40	0,78	0,798	0,79	0,803	0,79	0,760	0,94	0,816	0,88	0,88	0,751	0,751
0,50	0,82	0,838	0,87	0,888	0,87	0,838	1,02	0,886	0,93	0,93	0,838	0,838
0,60	0,88	0,900	0,89	0,908	0,91	0,874	1,04	0,902	1,03	0,880	1,03	0,880
0,70	0,93	0,949	0,96	0,980	0,94	0,904	1,06	0,921	1,09	0,930	1,09	0,930
0,80	0,96	0,980	0,96	0,980	0,98	0,942	1,09	0,949	1,12	0,956	1,12	0,956
0,90	0,97	0,990	0,97	0,989	1,02	0,981	1,12	0,989	1,15	0,930	1,15	0,930
1,00	0,98	1,000	0,98	1,000	1,04	1,000	1,15	1,000	1,17	1,000	1,17	1,000
V <sub>u</sub>	0,81	0,825	0,80	0,815	0,79	0,759	0,90	0,732	0,84	0,718	12,1	12,1
U <sub>max</sub>	12,2		12,1		12,0		12,3		1,152	1,170		
	0,93		0,98		1,04							

continuare tabela II-1-3-7

$\xi$	V 7		V 8		$\bar{u}$	$\bar{u}/\bar{u}_{\max}$	Sumeale	Val. medii experimentale
	$y_d = 41 \text{ cm}$	$y_d = 66 \text{ cm}$	$\bar{u}$	$\bar{u}/\bar{u}_{\max}$				
0,04	-	-	-	-	2,48	2,014	0,496	0,403
0,06	-	-	-	-	3,58	2,905	0,596	0,484
0,08	-	-	-	-	2,08	1,523	0,690	0,508
0,10	0,70	0,592	0,70	0,735	2,93	2,402	0,730	0,600
0,20	0,76	0,645	0,80	0,840	16,54	13,012	0,919	0,723
0,30	0,82	0,696	0,82	0,862	18,26	14,292	1,014	0,794
0,40	0,91	0,771	0,87	0,915	19,63	15,374	1,090	0,854
0,50	1,00	0,850	0,93	0,980	20,57	16,180	1,142	0,899
0,60	1,03	0,875	0,92	0,970	21,24	16,682	1,180	0,927
0,70	1,10	0,930	0,92	0,970	21,72	17,073	1,207	0,948
0,80	1,11	0,940	0,92	0,970	22,09	17,362	1,227	0,965
0,90	1,14	0,968	0,94	0,990	22,51	17,724	1,250	0,985
1,00	1,13	1,000	0,95	1,000	22,89	18,000	1,272	1,000
	0,67	0,738	0,83	0,872	19,06	14,927	1,058	0,829
	12,20		12,10		195,70		10,87	
	1,13		0,95		22,887		1,271	

TABEL COMPARATIV PRIN REPARTITIA VITESZELOR PE VERTICALA la modelul sectorului de riu Anes

$\langle \bar{U} \rangle = \langle \bar{V} \rangle = 1 \text{ m/s}$  ;  $c = 30,6 \text{ m}^{1/2}/\text{s}$

Tabela II-1-3-8

S	Experimentat		Dupa formula lui Prandtl		Dupa formula propusa in teza	
	$\bar{U}$	$\frac{\bar{U}}{\bar{V}}$	$\frac{\bar{U}_p}{\bar{V}}$	$\Delta = \frac{\bar{U}_p - \bar{U}}{\bar{U}}$	$\frac{-\Delta}{V} \cdot 100$	$\frac{-\Delta}{V} \cdot 100$
0,04	0,496	0,469	0,432	-0,037	-7,89	62,20
0,06	0,596	0,564	0,537	-0,027	-4,80	22,90
0,08	0,690	0,651	0,629	-0,042	-6,45	41,60
0,10	0,730	0,690	0,658	-0,022	-3,19	10,20
0,20	0,919	0,869	0,814	-0,025	-2,88	8,30
0,30	1,014	0,961	0,919	-0,049	-1,25	1,56
0,40	1,090	1,030	1,021	-0,039	-0,87	0,76
0,50	1,142	1,080	1,095	+0,015	+1,39	1,94
0,60	1,180	1,114	1,125	+0,011	+0,99	0,98
0,70	1,207	1,140	1,164	+0,024	+2,11	4,44
0,80	1,227	1,160	1,199	+0,039	+3,36	11,30
0,90	1,250	1,181	1,228	+0,047	+3,98	15,80
1,00	1,272	1,202	1,256	+0,054	+4,49	20,15
$\sum$		+11,01	202,13			$\Sigma$
						+4,16
						11,58

$\bar{U}_p$  = viteza calculata cu relatie Prandtl ;  $\bar{U}_T$  = viteza calculata cu relatie propusa in teza ;

$$\text{Valoarea medie a abatorilor} \left( \frac{\bar{U}_p - \bar{U}}{\bar{U}} \right) = +0,85\% \text{ respectiv} \left( \frac{\bar{U}_T - \bar{U}}{\bar{U}} \right) = +0,32\%.$$

$$\text{Abaterea medie pătratica} \left[ \left( \frac{\bar{U}_p - \bar{U}}{\bar{U}} \right)^2 - \left( \frac{\bar{U}_T - \bar{U}}{\bar{U}} \right)^2 \right] = 4,14\% \text{ respectiv} 6 \left( \frac{\bar{U}_T - \bar{U}}{\bar{U}} \right)^2 = 0,98\%$$

MASURATORI DE VITESZE PE VERTICALA pe un rîu din U.R.S.S.

$$\langle \bar{\pi} \rangle = \langle \bar{\sigma} \rangle = 1 \text{ m/s} \quad ; \quad \langle h \rangle = 1 \text{ m}$$

Tabela II-1-3-9

Valorile vitezelor în verticale							Valori mediate	
1-5	v 1	v 2	v 3	v 4	v 5	v 6	$\sum \bar{u}$	$1/6 \sum \bar{u}$
supr.	0,444	0,934	0,844	0,803	0,642	0,558	4,225	0,704
0,2	0,420	0,881	0,813	0,724	0,606	0,528	3,972	0,662
0,6	0,382	0,754	0,713	0,621	0,542	0,463	3,475	0,579
0,8	0,363	0,658	0,647	0,552	0,461	0,411	3,092	0,515
fund	0,291	0,559	0,553	0,479	0,404	0,337	2,623	0,437
$\bar{v}_m$	0,387	0,750	0,727	0,619	0,541	0,469	3,484	0,580
h	1,70	2,40	2,05	1,70	1,42	1,61	10,88	1,81

$$<\bar{v}> = <\bar{v}_x> = 1 \text{ m/s} ; \quad \sigma = 40 \frac{1}{\sqrt{s}}$$

Tabela II-1-3-10

S	Valori măsurate			După formula lui Prandtl			După formula propusă în teză			
	$\bar{U}$	$\frac{\bar{U}}{v}$	$\frac{\bar{U}^2}{v^2}$	$\Delta = \frac{\bar{U}_P - \bar{U}}{v}$	$\frac{\Delta}{v} \cdot 100$	$\left( \frac{\Delta}{v} \right) \cdot 100^2$	$\frac{\bar{U}_T}{v}$	$\Delta = \frac{\bar{U}_T - \bar{U}}{v}$	$\frac{\Delta}{v} \cdot 100$	$\left( \frac{\Delta}{v} \right) \cdot 100^2$
5,10	0,437	0,754	0,745	-0,009	-1,19	1,42	0,766	+0,012	+1,59	2,54
5,20	0,515	0,888	0,881	-0,007	-0,79	0,62	0,897	+0,009	+1,01	1,03
5,40	0,579	1,000	1,016	+0,016	+1,66	2,56	1,030	+0,030	+3,00	9,00
5,80	0,652	1,141	1,053	-0,038	-7,72	59,60	1,150	-0,005	-0,44	0,19
1,00	0,704	1,211	1,196	-0,015	-1,24	1,54	1,157	-0,054	-4,46	19,90
						$\Sigma$	+0,70			53,56

$\bar{U}_p$  = viteza calculată cu relație Prandtl ;  $\bar{U}_T$  = viteza calculată cu relația propusă în teză ;  
Val. ned. a abaterii  $(\frac{\bar{U}_p - \bar{U}}{\bar{U}}) = -18\%$  respectiv  $(\frac{\bar{U}_T - \bar{U}}{\bar{U}}) = 4,05\%$   Abaterea medie patraticește  $(\frac{\bar{U}_T - \bar{U}}{\bar{U}}) = 2,86\%$

TABEL COMPARATIV PRIVIND VITEZA MAXIMA pe rîul Timis

$$\langle \bar{U}_{max} \rangle = \langle \bar{V} \rangle = 1 \text{ m/s}$$

Tabela II-1-3-11

Ver- ti- ca- la	Car- net măs. Nr.	Din măsurători			Calcu- lat $\frac{\bar{U}_{maxT}}{\bar{U}}$	$\Delta = \frac{\bar{U}_{maxT} - \bar{U}_{max}}{\bar{U}}$	$\frac{\Delta}{100}$	$\left( \frac{\Delta}{100} \right)^2$
		$\bar{U}_{max}$	$\bar{V}$	$\frac{\bar{U}_{max}}{\bar{V}}$				
1960								
III	5	0,806	0,650	1,240	1,169	-0,071	+5,72	32,70
	6	0,558	0,469	1,190	1,169	-0,021	-1,76	3,11
	7	0,522	0,416	1,254	1,169	-0,085	-6,78	46,00
	8	0,627	0,529	1,185	1,169	-0,016	-1,35	1,83
	10	0,603	0,515	1,170	1,169	-0,001	-0,08	0,01
	11	0,962	0,820	1,171	1,169	-0,002	-0,17	0,03
	12	0,457	0,403	1,135	1,169	+0,034	+2,99	8,99
	13	0,605	0,549	1,093	1,169	+0,066	+5,97	35,75
	15	0,795	0,652	1,220	1,169	-0,051	-4,18	17,50
	16	0,492	0,440	1,120	1,169	+0,049	+4,37	19,20
$\sum$						-6,71	165,12	

Ver- ti- ca- la	Car- net măs. Nr.	Din măsurători			Calcu- lat $\frac{\bar{U}_{maxT}}{\bar{U}}$	$\Delta = \frac{\bar{U}_{maxT} - \bar{U}_{max}}{\bar{U}}$	$\frac{\Delta}{100}$	$\left( \frac{\Delta}{100} \right)^2$
		$\bar{U}_{max}$	$\bar{V}$	$\frac{\bar{U}_{max}}{\bar{V}}$				
1970								
III	1	0,988	0,913	1,081	1,153	+0,072	+8,65	44,30
	4	1,279	1,041	1,257	1,153	-0,104	-8,28	68,40
	5	1,003	0,923	1,039	1,153	+0,064	+5,87	34,60
	6	1,670	1,232	1,353	1,153	-0,200	-14,75	218,00
	10	1,328	1,118	1,188	1,153	-0,035	-2,94	8,68
	12	1,499	1,390	1,076	1,153	+0,077	+7,16	51,20
	14	1,914	1,605	1,192	1,153	+0,039	-3,27	10,70
	16	2,119	1,830	1,154	1,153	+0,001	+0,09	0,01
	18	1,414	1,285	1,101	1,153	+0,052	+4,72	22,30
	24	1,504	1,480	1,016	1,153	+0,137	+13,45	181,00
$\sum$						+8,52	639,19	

Valoarea medie a abaterii  $M\left(\frac{\bar{U}_{maxT} - \bar{U}_{max}}{\bar{U}_{max}}\right) = +0,09\%$ .

Abaterea medie pătratică  $\delta\left(\frac{\bar{U}_{maxT} - \bar{U}_{max}}{\bar{U}_{max}}\right) = 6,50\%$ .

**TABEL COMPARATIV PRIVIND VITEZA MAXIMA pe rîul Bega**

$$\langle \bar{U}_{max} \rangle = \langle \bar{v} \rangle = 1 \text{ m/s}$$

Tabela II-1-3-12

Car. det măs. Nr.	Ver- ticoa la V	Din măsurători (I)			Calou- lat $\frac{\bar{U}_{max}}{\bar{v}}$	$\Delta = \frac{\bar{U}_{max} - \bar{U}_r}{\bar{v}}$	$\frac{\Delta}{U_{max}} \cdot 100$	$\left( \frac{\Delta}{U_{max}} \cdot 100 \right)^2$
		$\bar{U}_{max}$	$\bar{v}$	$\frac{\bar{U}_{max}}{\bar{v}}$				
3	I	0,502	0,372	1,350	1,206	-0,144	-10,65	113,00
	II	0,991	0,905	1,095	1,206	+0,111	+10,10	102,50
	IV	1,220	1,058	1,153	1,206	+0,053	+4,59	21,20
	V	0,520	0,460	1,130	1,206	+0,076	+6,72	45,30
	VII	0,907	0,858	1,058	1,206	+0,148	+13,97	195,00
	X	0,679	0,563	1,205	1,206	+0,001	+0,08	0,01
	XI	0,865	0,658	1,313	1,206	-0,107	-8,15	66,30
	XII	1,123	0,975	1,152	1,206	+0,054	+4,68	21,80
	XIII	0,409	0,370	1,105	1,206	+0,101	+9,15	83,60
	XIV	0,593	0,562	1,055	1,206	+0,151	+14,30	204,00
$\sum$							+44,79	852,71

Car. det măs. Nr.	Ver- ticoa la V	Din măsurători (II)			Calcu- lat $\frac{\bar{U}_{max}}{\bar{v}}$	$\Delta = \frac{\bar{U}_{max} - \bar{U}_r}{\bar{v}}$	$\frac{\Delta}{U_{max}} \cdot 100$	$\left( \frac{\Delta}{U_{max}} \cdot 100 \right)^2$
		$\bar{U}_{max}$	$\bar{v}$	$\frac{\bar{U}_{max}}{\bar{v}}$				
6	I	0,889	0,716	1,241	1,206	-0,035	-2,82	7,95
	III	1,102	0,966	1,140	1,206	+0,066	+5,78	33,50
	VII	1,204	1,060	1,135	1,206	+0,071	+6,25	39,10
	IX	0,851	0,753	1,130	1,206	+0,076	+6,72	45,20
	X	1,101	0,840	1,311	1,206	-0,105	-8,01	64,10
	I	0,697	0,584	1,192	1,206	+0,014	+1,17	1,38
	II	1,050	0,726	1,442	1,206	-0,236	-16,38	268,00
	IV	0,802	0,662	1,212	1,206	-0,006	-0,49	0,25
	IX	0,702	0,639	1,090	1,206	+0,106	+9,64	92,80
	XI	0,752	0,701	1,074	1,206	+0,132	+12,27	151,00
$\sum$							+14,13	703,28

Valoarea medie a abaterii  $M \left( \frac{\bar{U}_{max} - \bar{U}_r}{\bar{U}_{max}} \right) = 2,94\%$

Abaterea medie pătrată  $\sigma^2 \left( \frac{\bar{U}_{max} - \bar{U}_r}{\bar{U}_{max}} \right) = 9,05\%$

TABEL COMPARATIV PRIVIND VITEZA MAXIMA pe modelul sectorului de rîu Argeș

$$\langle \bar{U}_{max} \rangle = \langle \bar{v} \rangle = 1 \text{ m/s}$$

Tabelă II-1-3-13

Sector	Verti- oala V	Valori experiment.			Calou- lat $\frac{\bar{U}_{max,T}}{\bar{U}}$	$\Delta = \frac{\bar{U}_{max,T} - \bar{U}_{max}}{\bar{U}}$	$\frac{\Delta}{\bar{U}_{max}} \cdot 100$	$\left( \frac{\Delta}{\bar{U}_{max}} \right)^2$
		$\bar{U}_{max}$	$\bar{v}$	$\frac{\bar{U}_{max}}{\bar{v}}$				
0-0	2	1,31	1,18	1,110	1,205	+0,095	+8,55	73,20
	5	1,37	1,19	1,151	1,205	+0,054	+4,88	23,80
	6	1,40	1,19	1,176	1,205	+0,029	+2,46	5,08
	7	1,39	1,15	1,208	1,205	-0,003	-0,25	0,06
	8	1,33	1,18	1,128	1,205	+0,077	+6,83	46,60
P.1.	2	1,38	1,19	1,160	1,205	+0,045	+3,88	15,10
	3	1,48	1,23	1,202	1,205	+0,003	+0,25	0,06
	4	1,48	1,24	1,192	1,205	+0,013	+1,09	1,19
	5	1,43	1,22	1,171	1,205	+0,034	+2,90	8,41
	6	1,45	1,22	1,189	1,205	+0,016	+1,35	1,82
	7	1,42	1,23	1,153	1,205	+0,052	+4,51	20,30
	8	1,42	1,23	1,153	1,205	+0,052	+4,51	20,30
108	2	0,98	0,81	1,209	1,205	-0,004	-0,33	0,11
	3	0,98	0,80	1,223	1,205	-0,018	-1,47	2,17
	4	1,04	0,79	1,317	1,205	-0,112	-8,50	72,20
	5	1,15	0,90	1,278	1,205	-0,073	-5,72	32,70
	6	1,17	0,84	1,392	1,205	-0,187	-13,41	180,00
	7	1,18	0,87	1,357	1,205	-0,152	-11,20	125,00
	8	0,95	0,83	1,144	1,205	+0,061	+5,33	28,30
						$\sum +1,15$	$637,10$	

Valoarea medie a abaterii  $M \left( \frac{\bar{U}_{max,T} - \bar{U}_{max}}{\bar{U}_{max}} \right) = 0,07\%$

Abaterea medie pătratică  $\delta \left( \frac{\bar{U}_{max,T} - \bar{U}_{max}}{\bar{U}_{max}} \right) = 6,12\%$

TABEL COMPARATIV PRIVIND VITEZA MAXIMA la un rîu din URSS

$$\langle \bar{U}_{max} \rangle = \langle \bar{v} \rangle = 1 \text{ m/s}$$

Tabelă II-1-3-14

Verti- oala	Din măsurători			Calou- lat $\frac{\bar{U}_{max,T}}{\bar{U}}$	$\Delta = \frac{\bar{U}_{max,T} - \bar{U}_{max}}{\bar{U}}$	$\frac{\Delta}{\bar{U}_{max}} \cdot 100$	$\left( \frac{\Delta}{\bar{U}_{max}} \right)^2$
	$\bar{U}_{max}$	$\bar{v}$	$\frac{\bar{U}_{max}}{\bar{v}}$				
V 1	0,444	0,387	1,141	1,157	+0,016	+1,40	1,96
V 2	0,934	0,750	1,242	1,157	-0,085	-6,84	46,80
V 3	0,844	0,727	1,160	1,157	-0,003	-0,26	0,07
V 4	0,803	0,610	1,318	1,157	-0,161	-12,21	149,00
V 5	0,642	0,541	1,184	1,157	-0,027	-2,28	5,20
V 6	0,558	0,469	1,190	1,157	-0,033	-2,77	7,70
					$\sum -22,96$	$210,73$	

Valoarea medie a abaterii  $M \left( \frac{\bar{U}_{max,T} - \bar{U}_{max}}{\bar{U}_{max}} \right) = -3,83\%$

Abaterea medie pătratică  $\delta \left( \frac{\bar{U}_{max,T} - \bar{U}_{max}}{\bar{U}_{max}} \right) = 6,50\%$

$$\langle \bar{U} \rangle = \langle \bar{U}_{\max} \rangle = \langle \bar{V} \rangle = \langle \bar{V}_* \rangle = 1 \text{ m/s} ; \langle h \rangle = 1 \text{ m} ; \langle \gamma \rangle = 1 \text{ m}^2/\text{s}$$

TABEL PRIVIND LEGEA UNIVERSALA A DEFICITULUI DE VITEZA

Tabela II-1-3-15

$\frac{\bar{U}}{U_{\max}}$	Curs de rîu natural Timiș	Curs de rîu regul. Bega	Sector de rîu modelat (Argeș)	Rîu din URSS
$\bar{U}$	$\frac{\bar{U}_{\max}-\bar{U}}{U_*}$	$\bar{U}$	$\frac{\bar{U}_{\max}-\bar{U}}{U_*}$	$\bar{U}$
1960	1970	1966 (ape mici)	1966 (ape mari)	
0,04	-	-	-	
0,06	-	-	-	
0,08	-	-	-	
0,10	0,419	4,87	1,045	0,496
0,20	0,487	3,39	1,274	0,596
0,30	-	-	-	5,38
0,40	0,553	1,96	1,379	0,605
0,50	-	-	-	0,730
0,60	0,586	1,24	1,402	2,41
0,70	-	-	-	0,919
0,80	0,601	0,91	1,409	1,014
0,90	-	-	-	2,39
1,00	0,643	0,00	1,472	1,91
$\bar{U}_{\max}$	0,643	1,472	0,781	1,63
$V$	0,544	1,232	0,781	0,579
$V*$	0,046	0,098	0,00	2,75
$V_{*b/2}$	96.000	452.000	0,00	0,915
			0,00	0,00
			1,272	0,704
			1,058	0,58
			0,1032	0,0454
			8.930	62.800

## S 2. Repartiția vitezei pe lățime

In vederea rezolvării problemei principale, referitoare la cinematica curentului pe seotoarele în curbă ale cursurilor de apă, este necesar în prealabil să se stabilească modul în care vitezele medii pe verticală, notate  $V$ , variază pe lățimea  $B$  a albiei, în seotoarele rectilinii ale acelorași cursuri.

Intr-adevăr, după cum va rezulta din paragrafele următoare, pentru precizarea prin calcul a cinematicii curentului pe seotoarele în curbă, se va indica un procedeu interativ, care permite rezolvarea problemei din aproape în aproape, de la secțiune la secțiune (în sensul de curgere). Este evident că prezintă o mare importanță cunoașterea cît mai corectă a distribuției vitezei în secțiunea de unde se începe calculul.

In cadrul tezei se au în vedere seotoarele curbe care urmează unor seotoare rectilinii suficient de lungi, astfel încât se consideră că în secțiunea de la care se începe calculul repartiția vitezei este aceea corespunzătoare unui sector rectiliniu. Dacă în paragraful anterior s-a studiat repartiția vitezelor punctuale în direcție verticală, în cadrul acestui paragraf se studiază repartiția vitezei medii pe verticală în direcție orizontală, pe lățimea albiei.

In mod uzual, în cazul albiilor largi, în primul rînd se definește lățimea secțiunii vii ca fiind lățimea albiei la oglinda apei și se notează cu  $B$ . Se definește apoi o înălțime medie, echivalentă notată  $h_e$ , denumită în /V-2, p.23/ și "înălțimea hidraulică" rezultată prin împărțirea secțiunii vii a currentului la lățimea  $B$  a secțiunii la oglinda apei. Cu alte cuvinte, într-o primă aproximatie se echivalează secțiunea transversală reală cu o secțiune dreptunghiulară. Se va adopta și în teză, în primă aproximatie acest model de schematizare, deoarece în acest fel se poate stabili pe o bază unitară, logică, atât distribuția vitezei după direcția verticală cît și distribuția vitezei după direcția orizontală.

Apar în mod natural următoarele etape obligatorii în stabilirea unei relații pentru distribuția vitezelor după orizontală :

a.- stabilirea pe baze raționale a unei legi de repartitione pe orizontală pentru secțiunea dreptunghiulară echivalentă;

b.- adaptarea acestei relații pentru secțiunile regulate, reale ale albiilor ;

TIMISOARA  
BIBLIOTECĂ CENTRALĂ

c.- verificarea în practică a relației propuse!

a.- Formula propusă pentru repartitia vitezei pe  
lățimea albiei

In stabilirea unei legi de repartiție pe orizontală se pleacă tot de la luorarea /A-2/ în care s-a tratat repartiția vitezei pentru un curent plan între două plane paralele situate la distanță finită. Se menționează că aceeași luorare a stat și la baza determinării repartiției vitezei după direcția orizontală. Spre deosebire însă de cazul anterior, acum cei doi peretei care delimită curentul au poziția verticală, distanța între ei fiind egală cu lățimea B a albiei. Preluînd rezultatele prezentate detaliat la paragraful anterior, rezultă imediat următoarea relație care dă distribuția vitezei în direcția orizontală :

$$\text{tala : } \frac{U_{max} - U}{U_*} = \frac{1}{2e} \left[ \ln \frac{1 - \sqrt{\frac{3(1-\eta)}{3-2\eta}}}{1 + \sqrt{\frac{3(1-\eta)}{3-2\eta}}} - \sqrt{\frac{3}{2}} \ln \frac{\sqrt{\frac{3}{2}} - \sqrt{\frac{3(1-\eta)}{3-2\eta}}}{\sqrt{\frac{3}{2}} + \sqrt{\frac{3(1-\eta)}{3-2\eta}}} \right] = f(\eta) \quad (\text{II-2-1'})$$

Apare ca avantajos faptul că funcția  $f(\eta)$  este identică cu funcția  $f(S)$  utilizată pentru distribuția vitezei pe verticală, iar valorile respectivei funcții au fost calculate din sume în sutime în intervalul de variație  $\eta \in (0,1)$ . Pentru prezentarea rezumativă a valorilor funcției  $f(\eta)$  este valabil tabelul II-1-3-1.

In figura II-2-1 este prezentată schematizarea adoptată pentru secțiunea transversală și cu precizarea variabilei adimensionale  $\eta = 1 - \frac{2x}{5}$

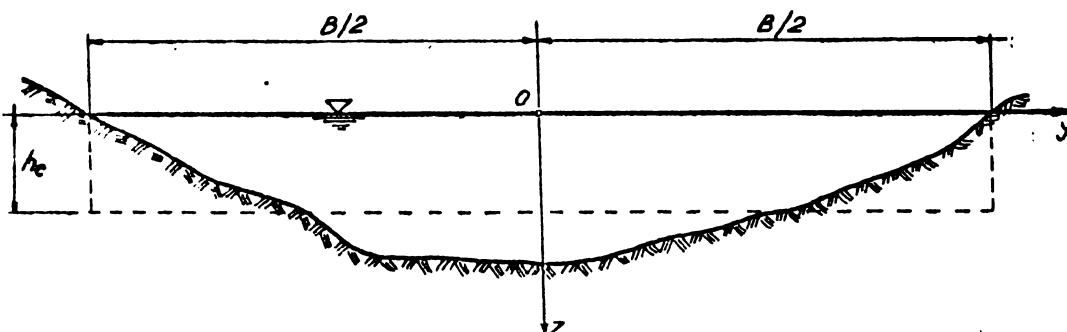


Fig. II-2-1 Schematizarea secțiunii transversale adoptată pentru precizarea variabilei adimensionale  $\frac{\gamma - 1 - \frac{2\gamma}{B}}{B}$

( II-2-2)

Integrind relația de mai sus pe adâncimea  $h_e$ , după simplificarea cu  $h_e$  ea devine :

$$\frac{\bar{V}_{\max} - \bar{V}}{V_*} = -\frac{1}{2\ell} \left[ \ln \frac{1 - \sqrt{\frac{3(1-\eta)}{3-2\eta}}}{1 + \sqrt{\frac{3(1-\eta)}{3-2\eta}}} - \sqrt{\frac{3}{2}} \ln \frac{\sqrt{\frac{3}{2}} - \sqrt{\frac{3(1-\eta)}{3-2\eta}}}{\sqrt{\frac{3}{2}} + \sqrt{\frac{3(1-\eta)}{3-2\eta}}} \right] = f(\eta) \quad (\text{II-2-1})$$

în care :

$\bar{V}_{\max}$  este viteza corespunzătoare verticaliei axiale și

$\bar{V}$  – viteza corespunzătoare unei verticale curente.

Prin integrare pe lățimea  $B$ , după efectuarea operațiilor elementare se obține relația între viteza verticaliei axiale notată cu  $\bar{V}_{\max}$  și viteza medie a curentului  $v = Q/S$  și anume :

$$\bar{V}_{\max} = (1 + 2 \frac{\sqrt{g}}{C}) v \quad (\text{II-2-3})$$

Cu ajutorul acestei relații legea de distribuție a vitezelor medii verticale, după orizontală, poate fi pusă și sub forma convenabilă :

$$\frac{\bar{v}}{v} = 1 + \frac{\sqrt{g}}{C} [2 - f(\eta)] \quad (\text{II-2-4})$$

Din combinarea repartiției pe orizontală cu repartiția pe verticală rezultă că într-un punct oarecare al secțiunii dreptunghiulare viteza este dată de relația :

$$\frac{\bar{U}(5\eta)}{v} = \left[ 1 + 2 \frac{\sqrt{g}}{C} - \frac{\sqrt{g}}{C} f(5) \right] \left[ 1 + 2 \frac{\sqrt{g}}{C} - \frac{\sqrt{g}}{C} f(\eta) \right] \quad (\text{II-2-5})$$

De asemenea mai rezultă că la oglinda apei repartiția vitezei se face după relația :

$$\frac{\bar{U}(1,\eta)}{v} = \left( 1 + 2 \frac{\sqrt{g}}{C} \right) \left[ 1 + 2 \frac{\sqrt{g}}{C} - \frac{\sqrt{g}}{C} f(\eta) \right] \quad (\text{II-2-6})$$

In fine, rezultă că viteza cea mai mare din secțiunea se obține la suprafață în axul secțiunii ( $y = 0$ ,  $z = 0$ ) și are expresia :

$$\frac{\bar{U}(1,1)}{v} = \left( 1 + 2 \frac{\sqrt{g}}{C} \right)^2 \quad (\text{II-2-7})$$

In tabela Nr. II-2-1 este dată o comparație între distribuția teoretică a vitezei medii verticale pe lățimea unui canal de secțiune dreptunghiulară cu măsurătorile publicate în lucrarea /G-2, p.156/. Prin preluorarea acestor date s-au calculat următorii indicatori statistici :

- valoarea medie a erorii relative  $M\left(\frac{\bar{v}_T - v}{v}\right) = -0,88\%$

- abaterea medie pătratică  $\sigma\left(\frac{\bar{v}_T - v}{v}\right) = 3,10\%$

După cum se observă acești indicatori arată o foarte bună apropiere a rezultatelor teoretice obținute folosind distribuția propusă în teză cu rezultatele experimentale.

In continuare nu se va insista pe verificarea experimentală a acestei relații stabilită pentru secțiunea schematizată (dreptunghiulară) pentru motivul că se urmărește adaptarea și

aplicarea ei pentru cazul albiilor largi care au de obicei o secțiune neregulată, destul de diferită de cea dreptunghiulară.

b.- Adaptarea formulei pentru secțiuni neregulate

In continuare se pune problema modului în care se pot extinde relațiile anterioare în cazul albiilor naturale. In acest scop s-a adoptat următorul mod de lucru : se stabilește secțiunea dreptunghiulară echivalentă cu cea reală avind lățimea  $B$  (egală cu lățimea la oglinda apei) și înălțimea  $h_e$  (egală cu raportul dintre secțiunea vie și lățime).

Viteza în secțiunea dreptunghiulară echivalentă, numită în cele ce urmează viteza echivalentă va fi dată de relația stabilită anterior :

$$\bar{U}_e(\eta, S) = \left[ 1 + 2 \frac{\sqrt{g}}{C} - \frac{\sqrt{g}}{C} f(\eta) \right] \left[ 1 + 2 \frac{\sqrt{g}}{C} - \frac{\sqrt{g}}{C} f(S) \right] U \quad (\text{II-2-8})$$

Prin mediere pe verticală :

$$\bar{U}_e(\eta) = \left[ 1 + 2 \frac{\sqrt{g}}{C} - \frac{\sqrt{g}}{C} f(\eta) \right] U \quad (\text{II-2-9})$$

Admitând, în concordanță cu relația lui Chezy, că viteza medie pe verticală este proporțională cu  $\sqrt{R} = \sqrt{h}$  se poate scrie :

$$\frac{\bar{U}}{\sqrt{h}} = \frac{\bar{U}_e}{\sqrt{h_e}} \Rightarrow \bar{U}_e = \bar{U} \frac{\sqrt{h_e}}{\sqrt{h}} \quad (\text{II-2-10})$$

în care  $\bar{U}$  este viteza medie reală pe verticala respectivă de adâncime  $h'$ .

După o primă cercetare a concordanței între rezultatele teoretice și măsurători s-a ajuns la concluzia că în ultima relație nu trebuie considerată doar verticala respectivă, ci au influență și adâncimile în vecinătate, de aceea relația a fost transformată în :

$$\bar{U}_e = \bar{U} \sqrt{\frac{h_e}{h_m}} \quad (\text{II-2-11})$$

în care  $h_m$  este adâncimea medie a verticalei considerate. Practic, în secțiunea transversală de lățime  $B$  au fost considerate verticale la distanță suficient de mică ( $1 - 2$  m). Pentru determinarea adâncimii  $h_i^m$ , a unei verticale notată cu indicele "i", s-a făcut media aritmetică dintre adâncimile  $h_i$  a verticalei considerate și adâncimile  $h_{i-1}$  și  $h_{i+1}$  a celor două verticale vecine :

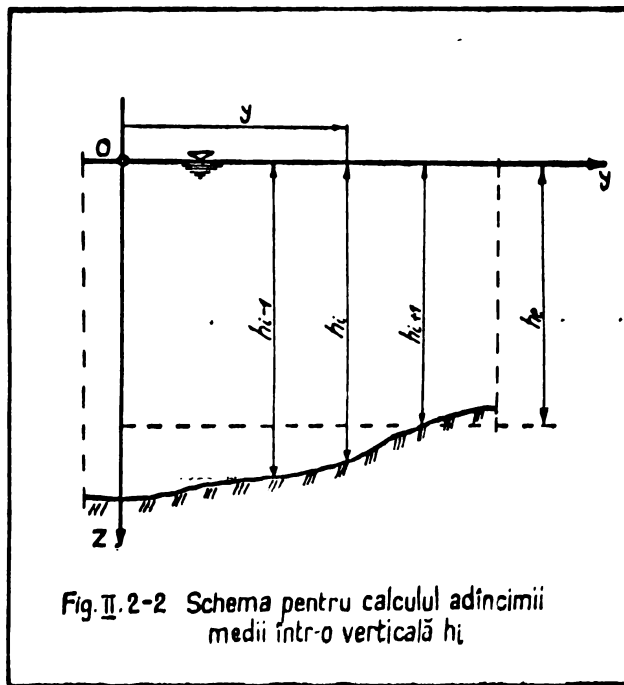
$$h_{i,m} = \frac{h_{i-1} + h_i + h_{i+1}}{3} \quad (\text{II-2-12})$$

Schema de calcul respectivă este prezentată în figura II-2-2.

Cu aceste adaptări, relația propusă a exprima distribuția vitezelor medii verticale pe lățimea  $B$  a albiei capătă

$$\text{forma finală : } \frac{\bar{v}}{v} = \left[ 1 + 2 \frac{\sqrt{g}}{C} - \frac{\sqrt{g}}{C} f(\eta) \right] \sqrt{\frac{h_m}{h_e}}$$

(II-2-13)



#### c.- Verificarea relației propuse pentru repartitia pe orizontală a vitezelor

Pentru verificarea relației propuse s-au utilizat următoarele materiale cuprindând rezultate experimentale :

- măsurători de viteze medii pe verticală la rîul Timiș postul hidrometric Sadova-Veche pentru an caracteristic secetos (1961) și pentru an caracteristic ploios (1966) în Banat ;
- măsurători de viteze medii pe verticală la rîul Bega postul hidrometric Balinț de asemenea pentru an caracteristic secetos (1967) și pentru an caracteristic ploios (1966) în Banat ;
- rezultate experimentale proprii pe modelul hidraulic al unui sektor al rîului Argeș din zona centralei hidroelectrice
- rezultate experimentale publicate în lucrarea /B-4, p. 17/ ;
- rezultate experimentale cuprinse în lucrarea /P-5, fig. 3-3 și 4-7/.

In tabelele Nr.II.2-2 pînă la Nr.II.2-5 au fost însorise datele referitoare la măsurătorile de pe rîul Timiș, postul hidrometric Sadova-Veche care are secțiunea vie liberă (neperturbată de existența altor lucrări) ceea ce a determinat alegerea acestui post. Măsurătorile de viteze s-au făcut pe verticale situate la distanță de 2 m una de alta. S-au obținut următorii indicatori statistici medii :

- valoarea medie a erorii relative  $M\left(\frac{\bar{V}_I - \bar{V}}{\bar{V}}\right) = -0,02\%$
- abaterea medie pătratică  $\sigma\left(\frac{\bar{V}_I - \bar{V}}{\bar{V}}\right) = 5,55\%$

Reprezentarea comparativă a repartiției vitezei medii din verticală pe lățimea albiei este dată în figurile II.2-4; II.2-5; II.2-6; II.2-7 din care se observă că și din indicatorii statistici că legea de variație propusă este destul de bună, iar corecția adoptată  $\sqrt{\frac{h}{h_e}}$  conduce la diferențe mici între calcul și măsurători.

Tabelele Nr. II.2-6 pînă la Nr. II.2-9 cuprind date ale măsurătorilor efectuate pe rîul Bega postul hidrometric Balinț. Măsurările de viteze s-au făcut de asemenea pe verticale situate la distanță de 2 m una de alta în secțiune de scurgere liberă. Au rezultat următorii indicatori statistici medii :

- valoarea medie a erorii relative  $M\left(\frac{\bar{V}_I - \bar{V}}{\bar{V}}\right) = -0,53\%$
- abaterea medie pătratică  $\sigma\left(\frac{\bar{V}_I - \bar{V}}{\bar{V}}\right) = 3,39\%$

Reprezentările comparative ale repartiției vitezelor medii din verticale pe lățimea albiei sunt date în figurile II.2-8, II.2-9, II.2-10 și II.2-11 construite pentru rîul Bega după aceeași manieră ca pentru rîul Timiș. Si din aceste reprezentări se poate deduce concluzia că formula propusă în teză este bună.

Tabelele Nr. II.2-10 pînă la Nr. II.2-13 conțin date de măsurători proprii efectuate pe sectoarele rectilinii ale modelului unui sector al rîului Argeș, model realizat în cadrul laboratorului Catedrei de construcții hidrotehnice și îmbunătățiri fizice a Institutului politehnic "Traian Vuia" Timișoara. Măsurările de viteze s-au făcut pe verticale situate la distanță de 0,25 m una de alta. Valorile medii ale indicatorilor statistici obținuți sunt următoarele :

- valoarea medie a erorii relative  $M\left(\frac{\bar{V}_I - \bar{V}}{\bar{V}}\right) = +0,3\%$
- abaterea medie pătratică  $\sigma\left(\frac{\bar{V}_I - \bar{V}}{\bar{V}}\right) = 7,06\%$

Reprezentările comparative ale repartiției vitezelor medii din verticale pe lățimea modelului sunt redate în figurile II.2-12, II.2-13, II.2-14 și II.2-15 și se observă că în cazul acesta (model cu fund plat) corecția adoptată nu are influență mare decît la taluze.

În tabela Nr. II-2-14 sunt prezentate și prelucrate datele referitoare la un rîu din URSS, verticalele de măsurători filod iuate din 5 în 5 m. S-a găsit următoarele valori ale indicatorilor statistici :

- valoarea medie a erorii relative  $M\left(\frac{\bar{V}_r - \bar{V}}{\bar{V}}\right) = +0,26\%$
- abaterea medie pătratică  $\delta\left(\frac{\bar{V}_r - \bar{V}}{\bar{V}}\right) = 3,63\%$

Reprezentarea respectivă este dată în figura II.2-16 din care se observă foarte bine eficiența pentru cursurile naturale a corecției  $\sqrt{\frac{h_m}{h_e}}$  propusă în teză.

In tabelă Nr.II.2-15 sunt prezentate și preluorate datele referitoare la un canal optim hidraulic de formă trapezoidală studiat în lucrarea /P-5/. Verticalele de măsurători au fost luate din 3,5 în 3,5 cm. S-au obținut următoarele valori ale indicatorilor statistici :

- valoarea medie a erorii relative  $M\left(\frac{\bar{V}_r - \bar{V}}{\bar{V}}\right) = -0,56\%$
- abaterea medie pătratică  $\delta\left(\frac{\bar{V}_r - \bar{V}}{\bar{V}}\right) = 6,30\%$

Reprezentarea respectivă este dată în figura II.2-17 și arată că în cazul unui canal experimental cu secțiune trapezoidală corecția propusă în teză este eficientă.

Făcând media generală a valorilor indicatorilor statistici rezultă :

- valoarea medie a erorii relative  $M\left(\frac{\bar{V}_r - \bar{V}}{\bar{V}}\right) = -0,10\%$
- abaterea medie pătratică  $\delta\left(\frac{\bar{V}_r - \bar{V}}{\bar{V}}\right) = 5,19\%$

După cum se observă valoarea medie aritmetică a erorii relative este foarte mică, ceea ce explică prin faptul că în această situație unele abateri fiind pozitive și altele abateri fiind negative, în final se realizează o compensare a abaterilor. Precizia formulei este dată în special de al doilea indicator și poate fi considerată bună pentru acest domeniu.

De asemenea se constată că abaterile valorilor măsurate de cele teoretice sunt mai mari în spre maluri, unde înălțimea apei este mai mică și unde, probabil influența factorilor locali este mai mare.

Se mai menționează că în preluorările statistice s-a considerat de la început o concordanță perfectă între măsurători și teorie în punctele de contact între albie și curentul lichid, unde, datorită condiției de aderență viteza curentului s-a considerat egală cu zero.

Legea stabilită pentru repartiția vitezelor medii verticale după orizontală verificată bine de rezultatele experimentale urmează să fie folosită la rezolvarea cinematicii curentului în sectoarele curbe.

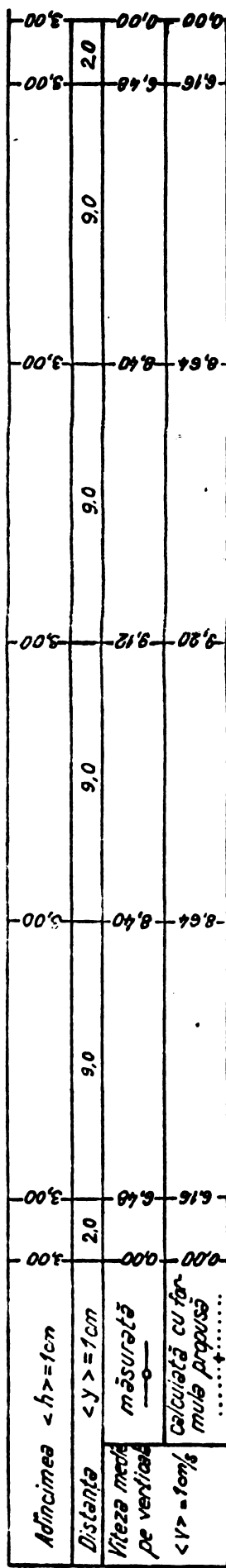
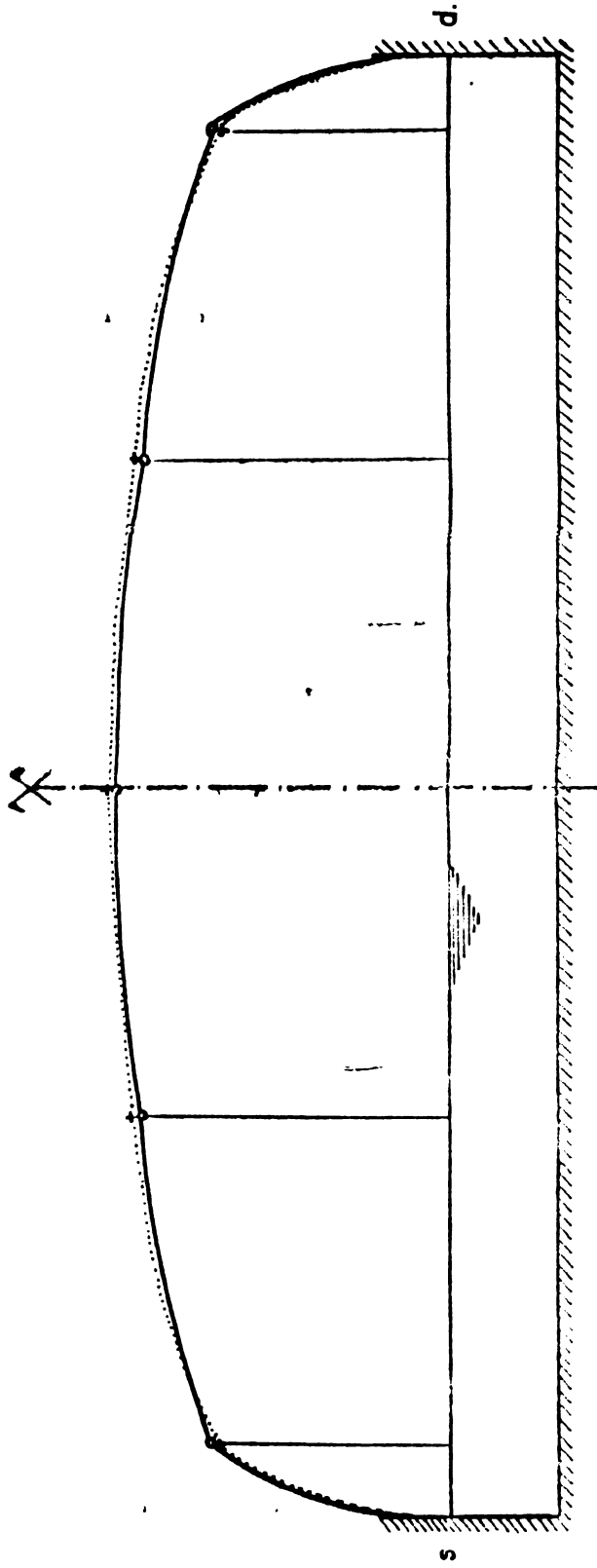


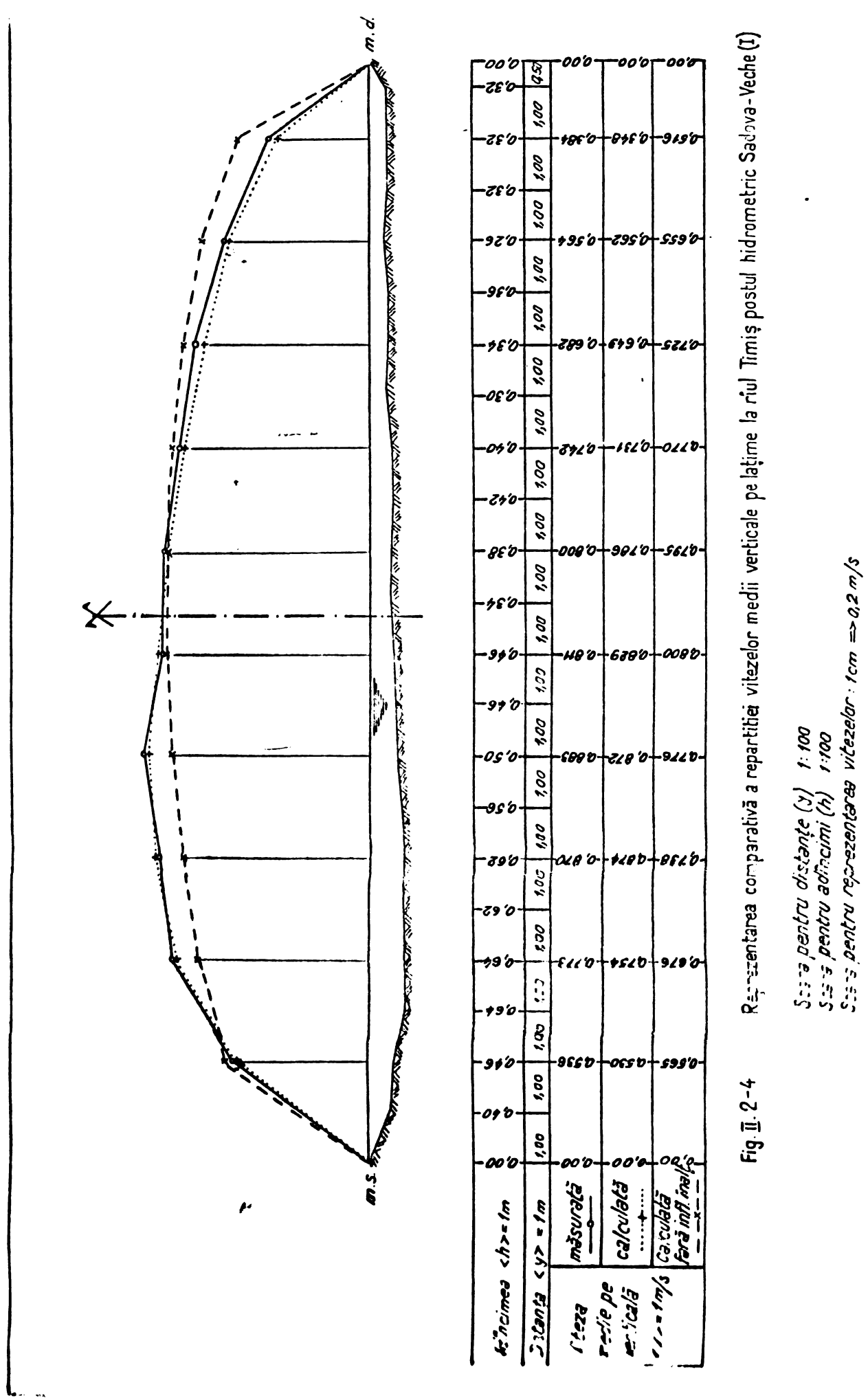
Fig. II. 2-3 Reprezentarea comparativă a repartiției medii verticale pe lățime într-un canal experimental de secțiune dreptunghiulară (măsurători după Gonciarov)

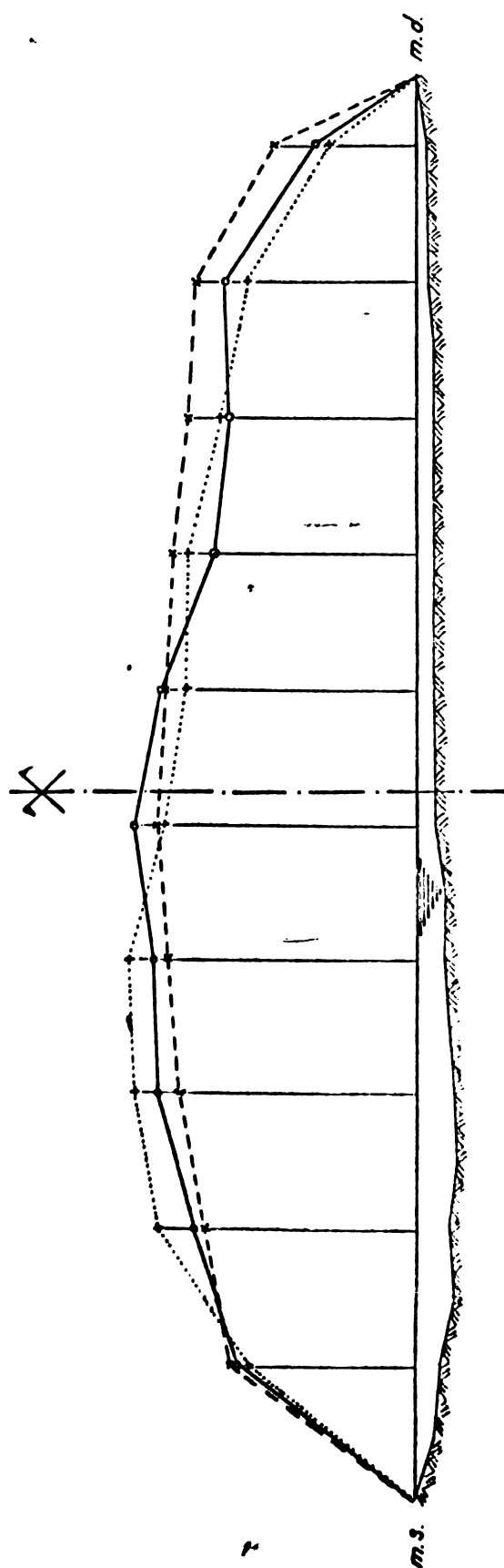
(Formulă propusă a fost aplicată fără corecție având în vedere secțiunea dreptunghiulară)

Scara pentru distanțe (y) 1:2

Scara pentru adâncimi (h) 1:2

Scara pentru reprezentarea vitezelor:  $1\text{cm} \Rightarrow 2\text{cm/s}$ .





Reprezentarea comparativă a repartiției vitezelor medii verticale pe lățime la râul Timiș  
 Postul hidrometric Sadova - Vechie (II)  
 Scara pentru distanțe (y) 1:100  
 Scara pentru adâncimi (h) 1:100  
 Scara pentru reprezentarea vitezelor : 1 cm  $\Rightarrow$  3,2 m/s

Fig. II. 2-5

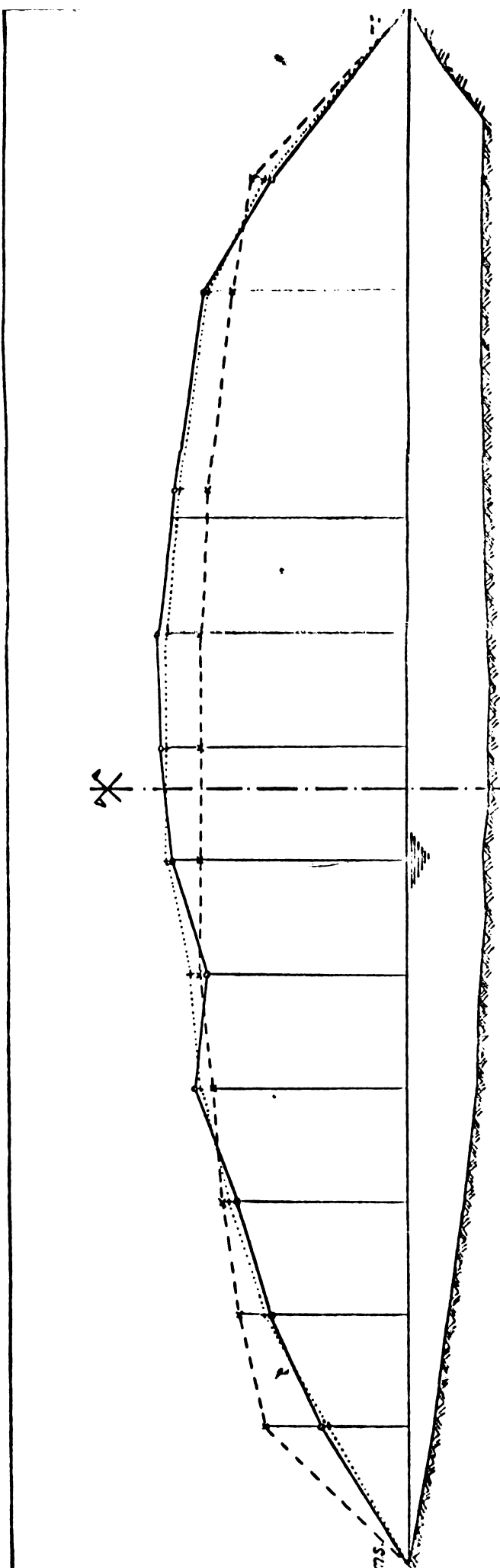
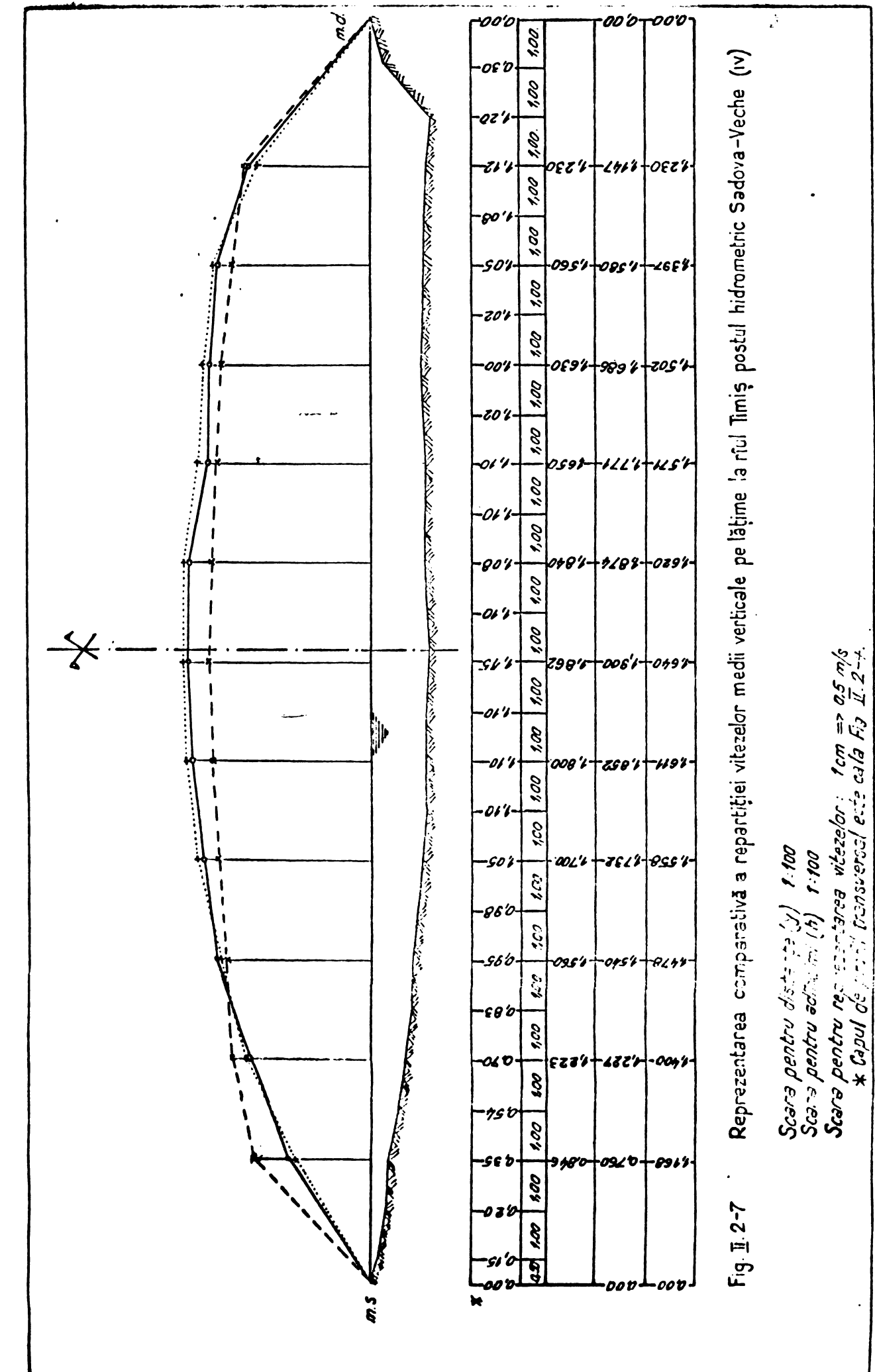


Fig. II.2-6 Reprezentarea comparativă a repartiției vitezelor medii verticale pe latitudine la rîul Tîmîș, postul hidrometric Sadova-Vechie [III]

*Scara pentru desenante (fig.) 1:100.*

**Scara pentru adincimi (h) 1:100**

**Seară** pentru reprezentările de la 22/23 ianuarie → 0.5 m/s.  
**\* Casu'** de eroare înregistrat la 23/18 ianuarie → 2.4 m/s Fig. II-2-4.



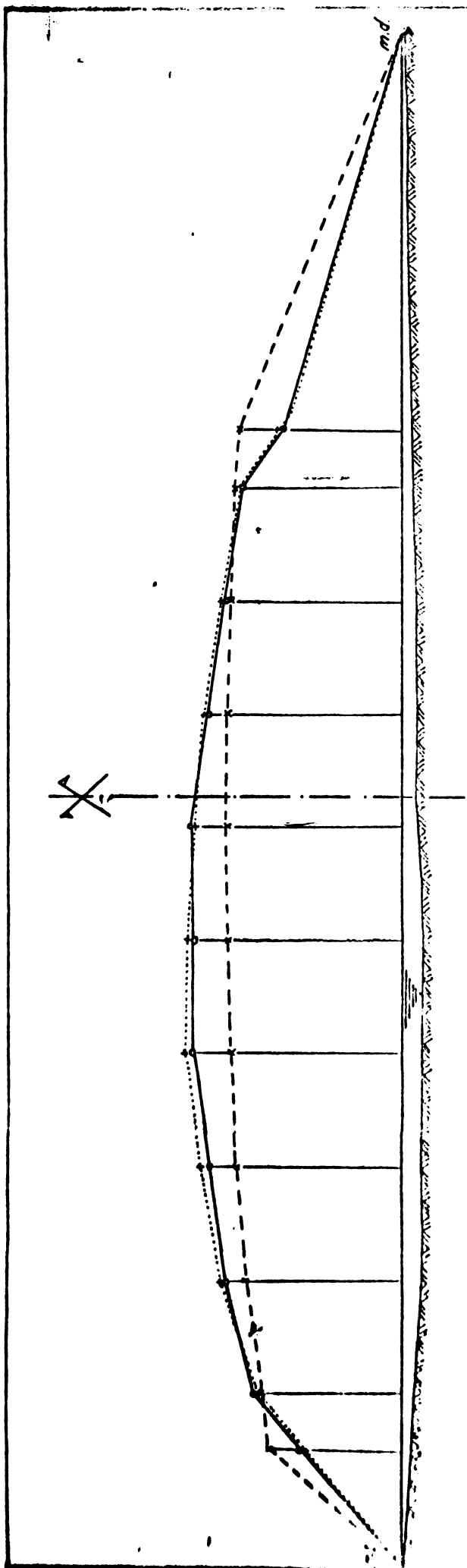
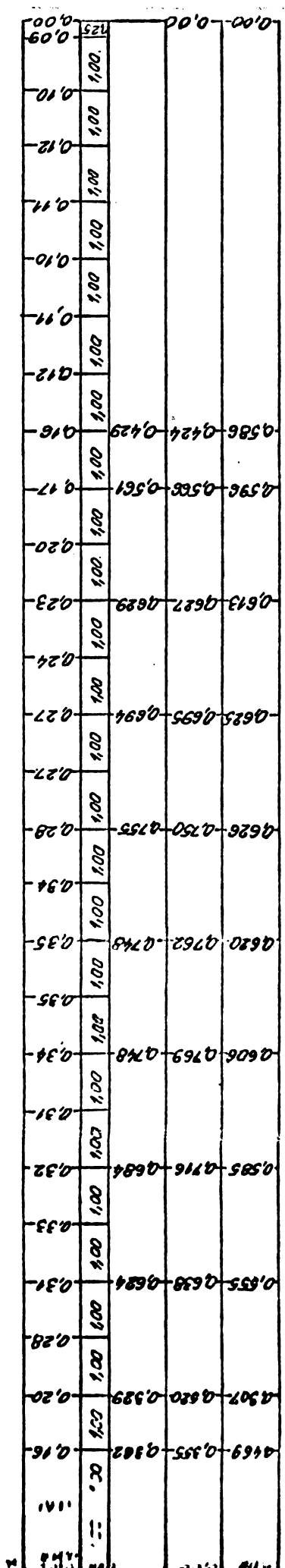


Fig. II.2-8.

Reprezentare comparativă a repartiției vitezelor medii verticale pe lățime la rîul Bega postul hidrometric Balinț (I)

Scara pentru înălțime (z) 1:100  
Scara pentru întindere (h) 1:100

Scara pentru diferențe de viteze (v) 1:100  
\* Capătul de cale transversal este la  $A_9 \Rightarrow 0.2 \text{ m/s}$ .



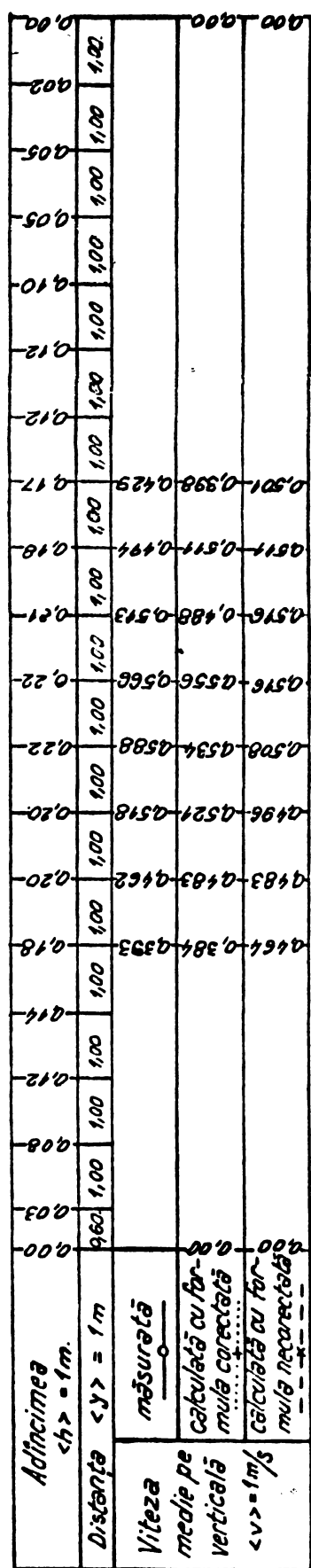
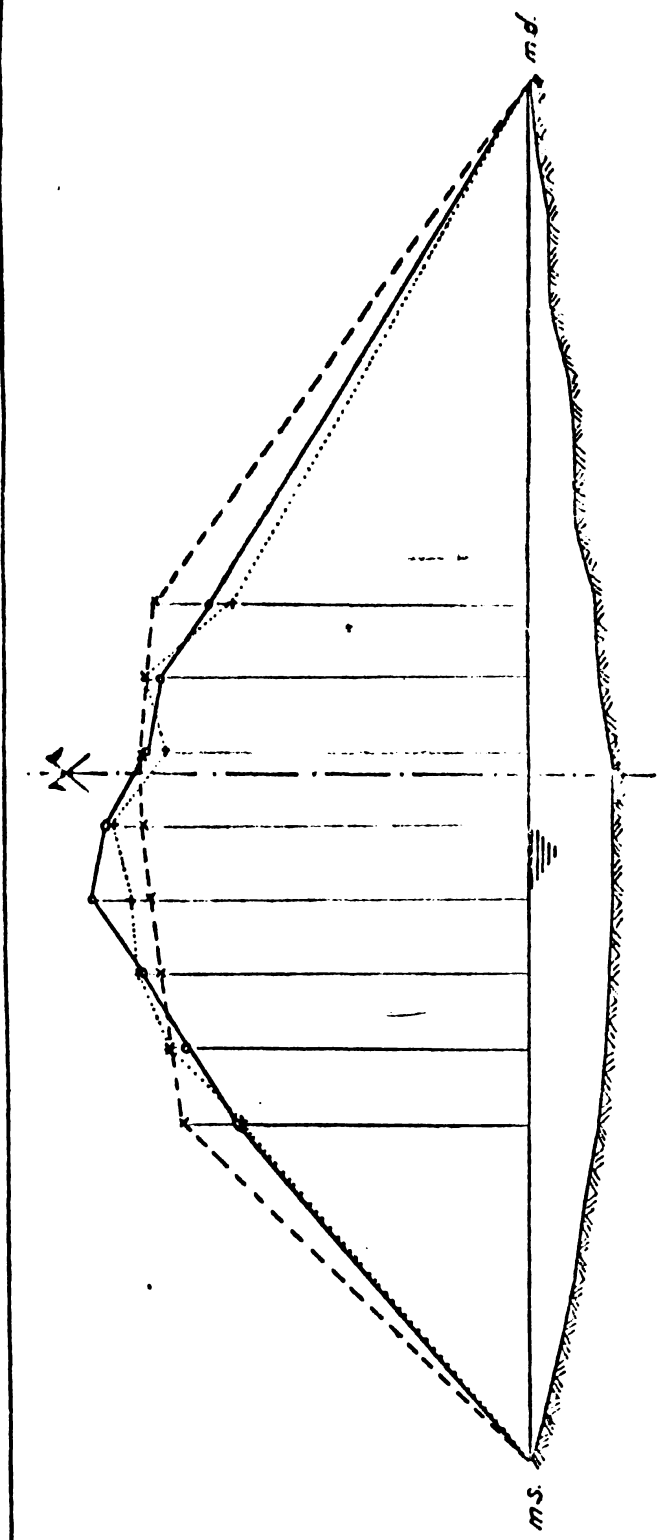


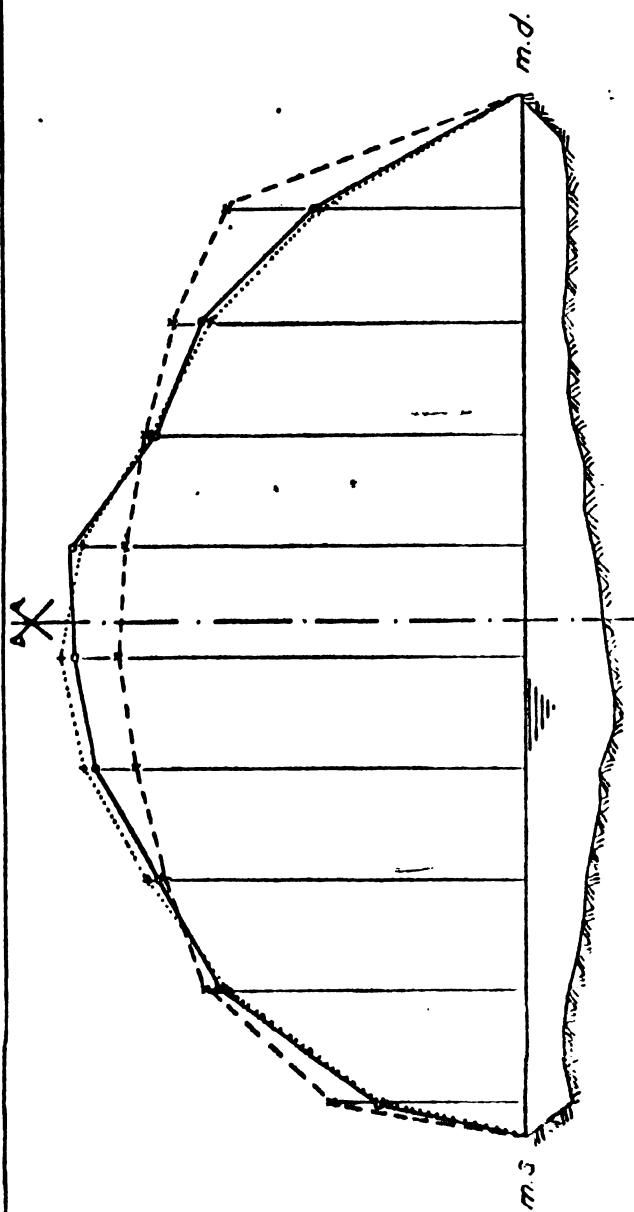
Fig. II.2 - 9 Reprezentarea comparativă a repartiției vitezelor medii verticale pe lățime la rîul Bega

postul hidrometric Balint (I)

Scara pentru distanțe (y) 1:100

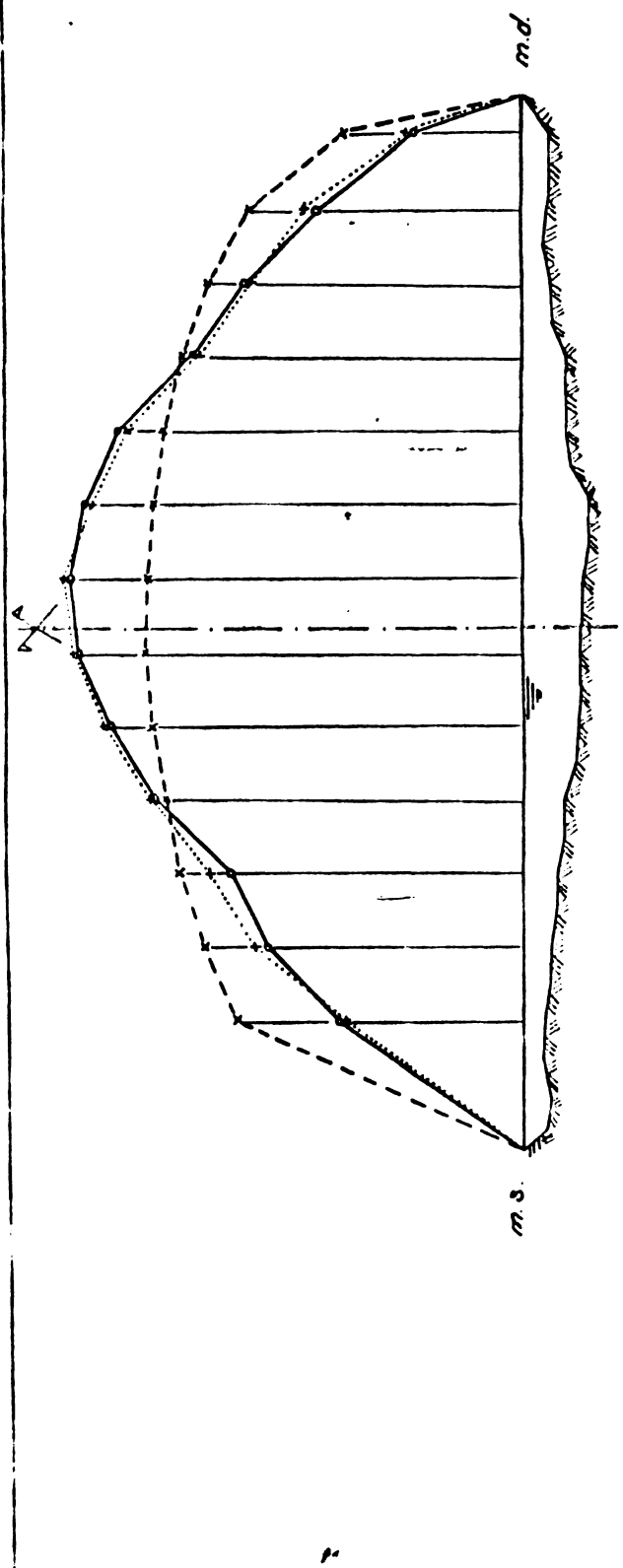
Scara pentru vînturi (h) 1:20

Scara pentru reprezentarea vitezelor: 1cm  $\Rightarrow 0,9 m/s$



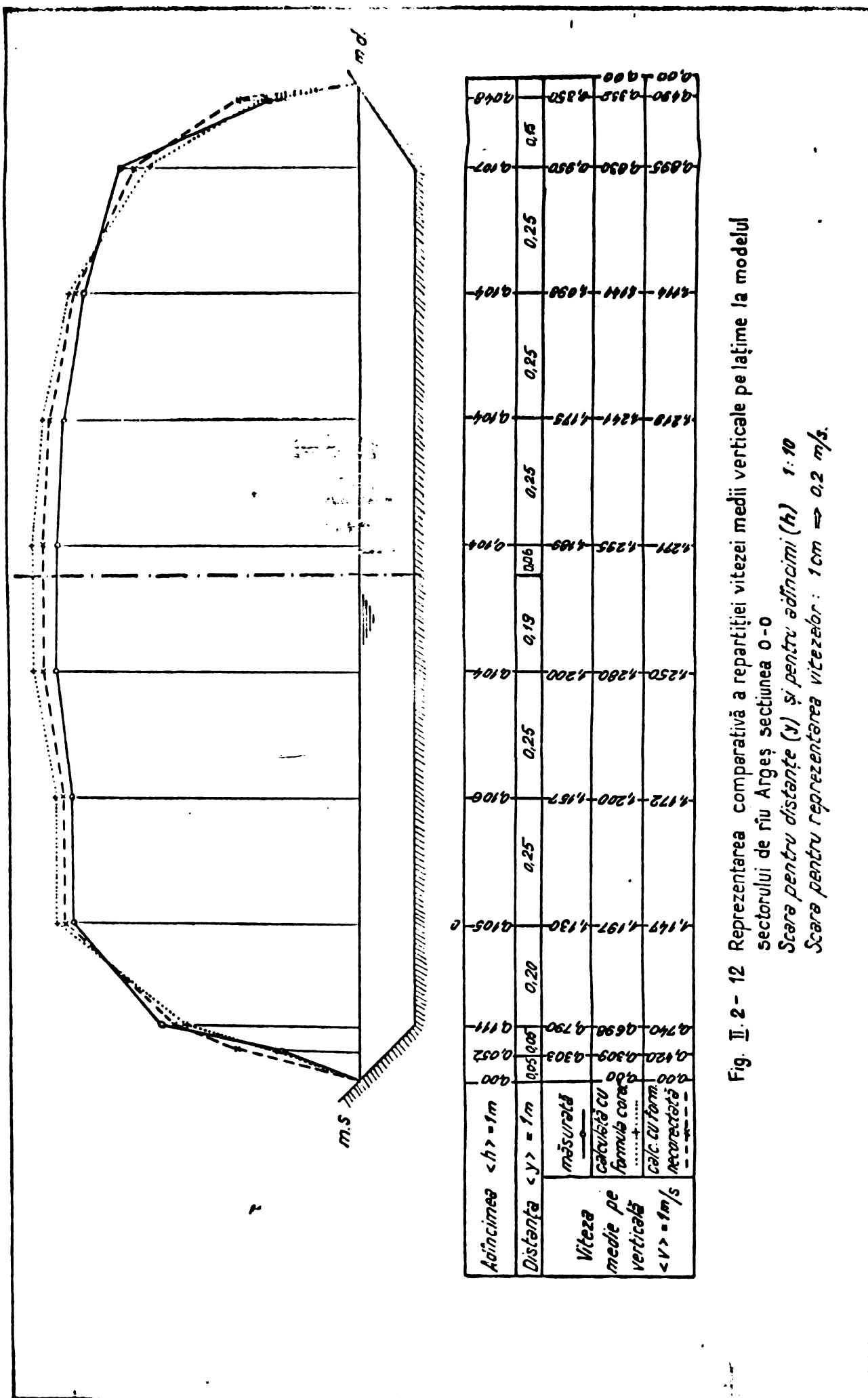
Adâncimea $\langle h \rangle = 1\text{ m}$	Distanță $\langle y \rangle = 1\text{ m}$	Viteza medie pe verticală $\langle v \rangle = 1\text{ m/s}$
m.s.	m.s.	
căciu	căciu	
mult	mult	
căciu	căciu	
mult	mult	
0,00	0,00	0,00
0,05	0,05	0,05
0,10	0,10	0,10
0,15	0,15	0,15
0,20	0,20	0,20
0,25	0,25	0,25
0,30	0,30	0,30
0,35	0,35	0,35
0,40	0,40	0,40
0,45	0,45	0,45
0,50	0,50	0,50
0,55	0,55	0,55
0,60	0,60	0,60
0,65	0,65	0,65
0,70	0,70	0,70
0,75	0,75	0,75
0,80	0,80	0,80
0,85	0,85	0,85
0,90	0,90	0,90
0,95	0,95	0,95
1,00	1,00	1,00
1,05	1,05	1,05
1,10	1,10	1,10
1,15	1,15	1,15
1,20	1,20	1,20
1,25	1,25	1,25
1,30	1,30	1,30
1,35	1,35	1,35
1,40	1,40	1,40
1,45	1,45	1,45
1,50	1,50	1,50
1,55	1,55	1,55
1,60	1,60	1,60
1,65	1,65	1,65
1,70	1,70	1,70
1,75	1,75	1,75
1,80	1,80	1,80
1,85	1,85	1,85
1,90	1,90	1,90
1,95	1,95	1,95
2,00	2,00	2,00

Fig. I 2-3 Reprezentarea comparativă a repartiției vitezelor medii verticale pe lățime la riu!  
 Begă postul hidrometric Balint (III)  
 Scara pentru distanțe (y) 1:200  
 Scara pentru adâncimi (h) 1:50  
 Scara pentru reprezentarea vitezelor: 1 cm  $\Rightarrow 0,2\text{ m/s}$



Adâncimea $\langle h \rangle = 1m$	Distanță $\langle y \rangle = 1m$	măsurată
0,00	0,00	0,00
0,18	0,18	0,18
0,36	0,36	0,36
0,54	0,54	0,54
0,72	0,72	0,72
0,90	0,90	0,90
1,08	1,08	1,08
1,26	1,26	1,26
1,44	1,44	1,44
1,62	1,62	1,62
1,80	1,80	1,80
1,98	1,98	1,98
2,16	2,16	2,16
2,34	2,34	2,34
2,52	2,52	2,52
2,70	2,70	2,70
2,88	2,88	2,88
3,06	3,06	3,06
3,24	3,24	3,24
3,42	3,42	3,42
3,60	3,60	3,60
3,78	3,78	3,78
3,96	3,96	3,96
4,14	4,14	4,14
4,32	4,32	4,32
4,50	4,50	4,50
4,68	4,68	4,68
4,86	4,86	4,86
5,04	5,04	5,04
5,22	5,22	5,22
5,40	5,40	5,40
5,58	5,58	5,58
5,76	5,76	5,76
5,94	5,94	5,94
6,12	6,12	6,12
6,30	6,30	6,30
6,48	6,48	6,48
6,66	6,66	6,66
6,84	6,84	6,84
7,02	7,02	7,02
7,20	7,20	7,20
7,38	7,38	7,38
7,56	7,56	7,56
7,74	7,74	7,74
7,92	7,92	7,92
8,10	8,10	8,10
8,28	8,28	8,28
8,46	8,46	8,46
8,64	8,64	8,64
8,82	8,82	8,82
9,00	9,00	9,00
9,18	9,18	9,18
9,36	9,36	9,36
9,54	9,54	9,54
9,72	9,72	9,72
9,90	9,90	9,90
10,08	10,08	10,08
10,26	10,26	10,26
10,44	10,44	10,44
10,62	10,62	10,62
10,80	10,80	10,80
10,98	10,98	10,98
11,16	11,16	11,16
11,34	11,34	11,34
11,52	11,52	11,52
11,70	11,70	11,70
11,88	11,88	11,88
12,06	12,06	12,06
12,24	12,24	12,24
12,42	12,42	12,42
12,60	12,60	12,60
12,78	12,78	12,78
12,96	12,96	12,96
13,14	13,14	13,14
13,32	13,32	13,32
13,50	13,50	13,50
13,68	13,68	13,68
13,86	13,86	13,86
14,04	14,04	14,04
14,22	14,22	14,22
14,40	14,40	14,40
14,58	14,58	14,58
14,76	14,76	14,76
14,94	14,94	14,94
15,12	15,12	15,12
15,30	15,30	15,30
15,48	15,48	15,48
15,66	15,66	15,66
15,84	15,84	15,84
16,02	16,02	16,02
16,20	16,20	16,20
16,38	16,38	16,38
16,56	16,56	16,56
16,74	16,74	16,74
16,92	16,92	16,92
17,10	17,10	17,10
17,28	17,28	17,28
17,46	17,46	17,46
17,64	17,64	17,64
17,82	17,82	17,82
18,00	18,00	18,00

Fig. II. 2-11 Reprezentarea comparativă a repartiției vitezelor medii verticale pe lățime la rîul Begă postul hidrometric Balinți (IV)  
Scara pentru distanțe (y) 1:200  
Scara pentru adâncimi (h) 1:50  
Scara pentru reprezentarea vitezelor: 1cm  $\rightarrow$  0,2 m/s.



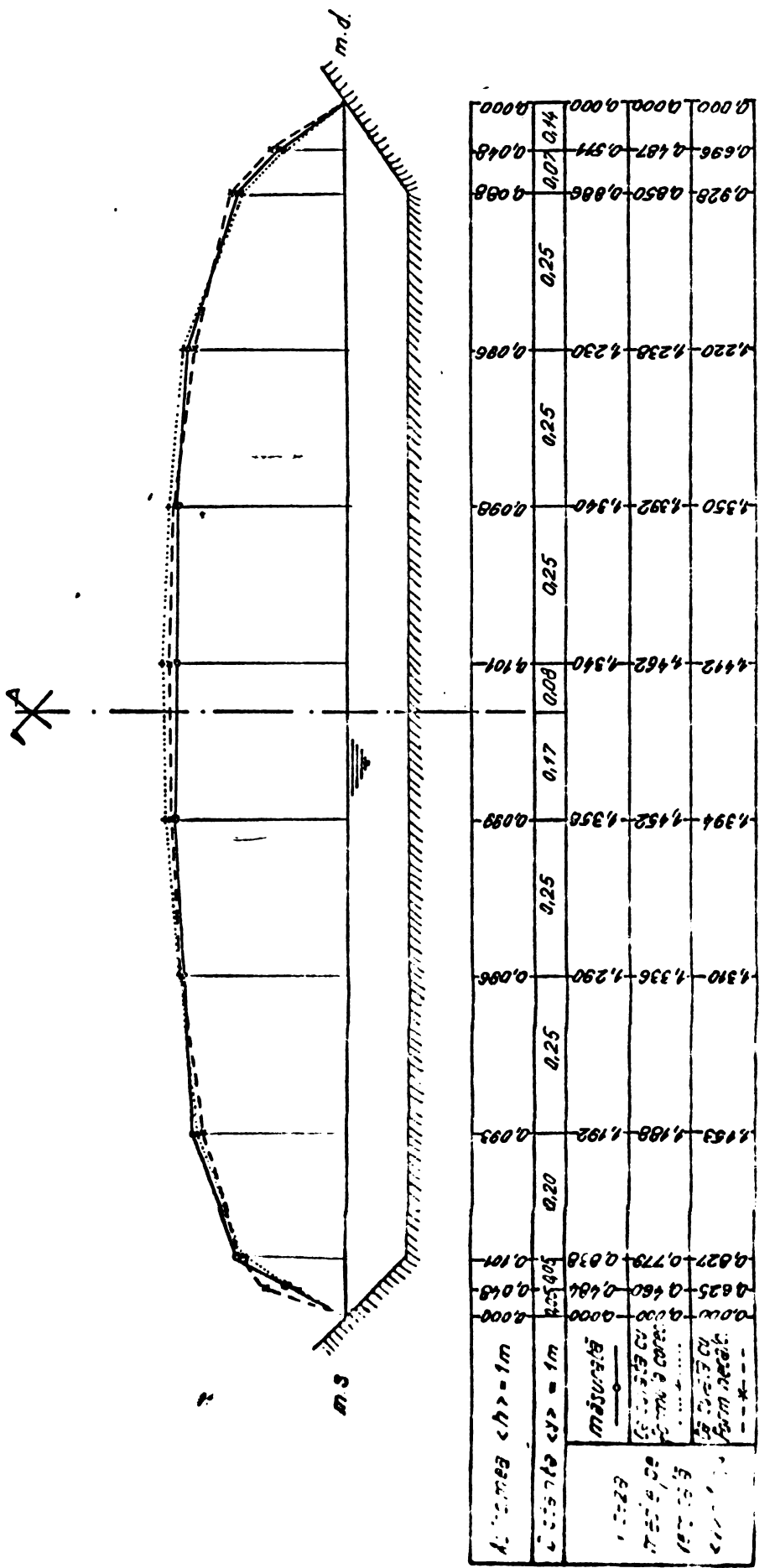


Fig. II.2-13 Reprezentarea în planimetria și reperitie a vitezei măduri verticale pe lățime la modelul sectorului de riu Argeș secțiunea P.1  
Scara în planimetrie (y) și pentru adâncimi (h) 1:10  
Scara pentru reprezentarea vitezelor : 1cm  $\rightarrow$  0.5 m/s.

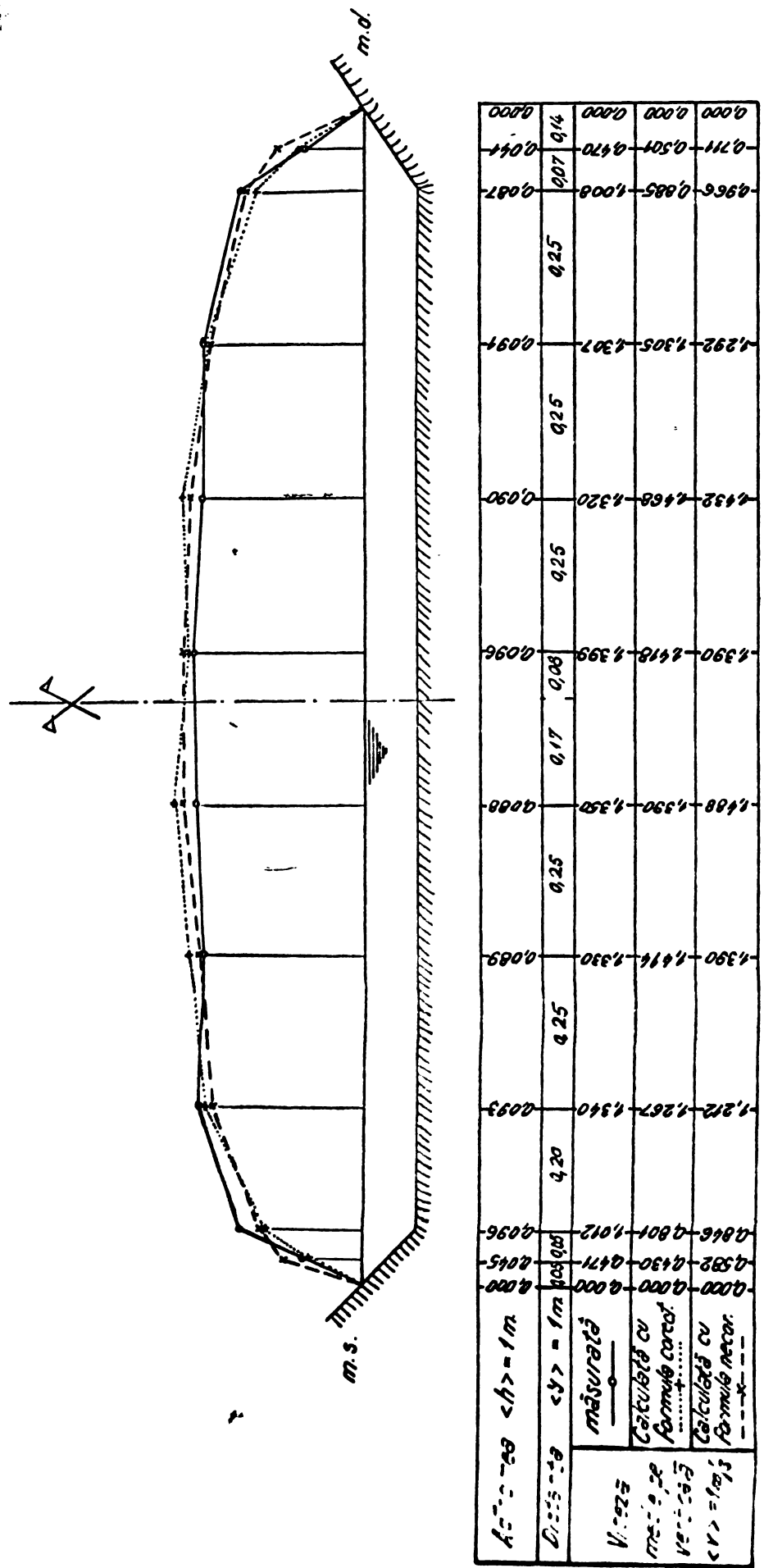
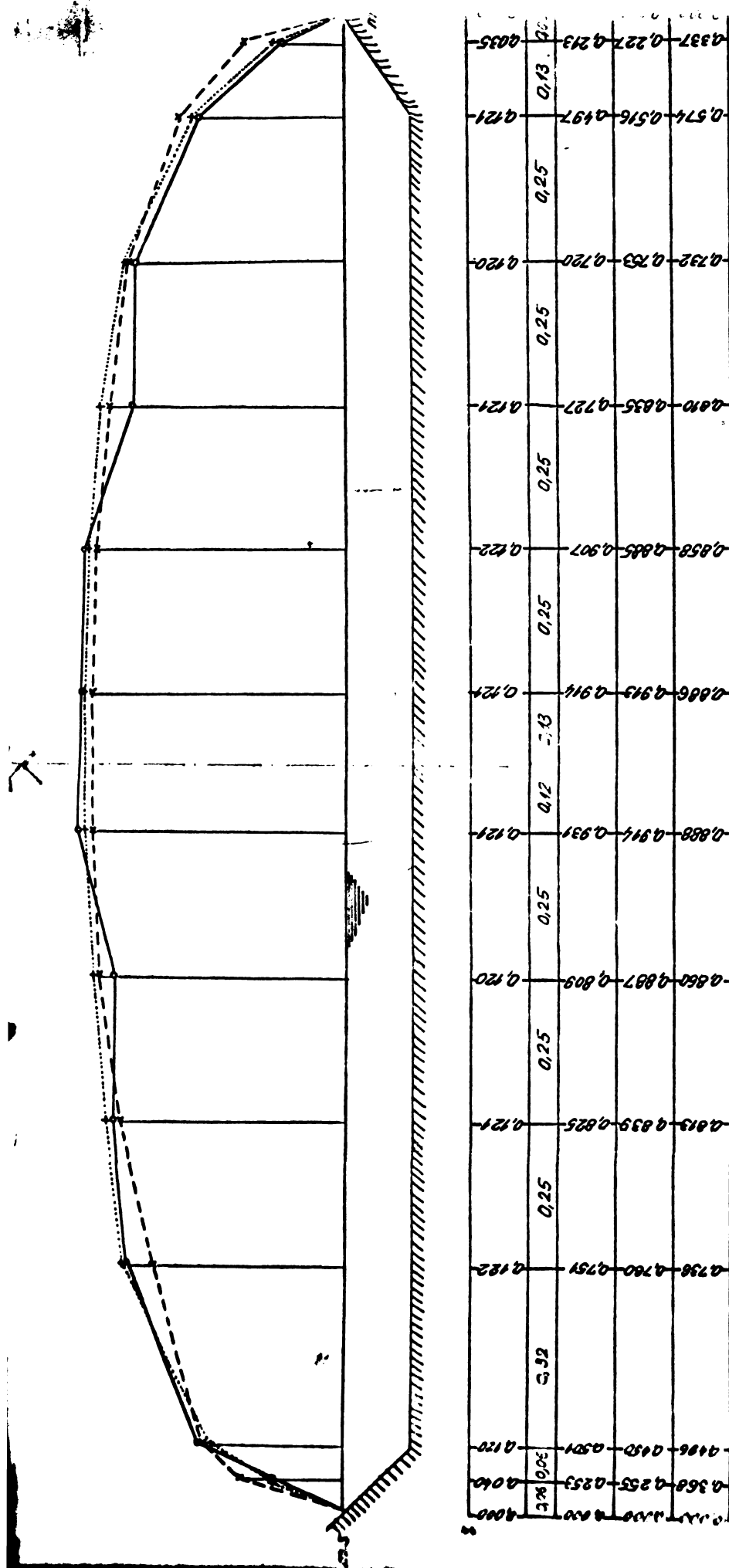
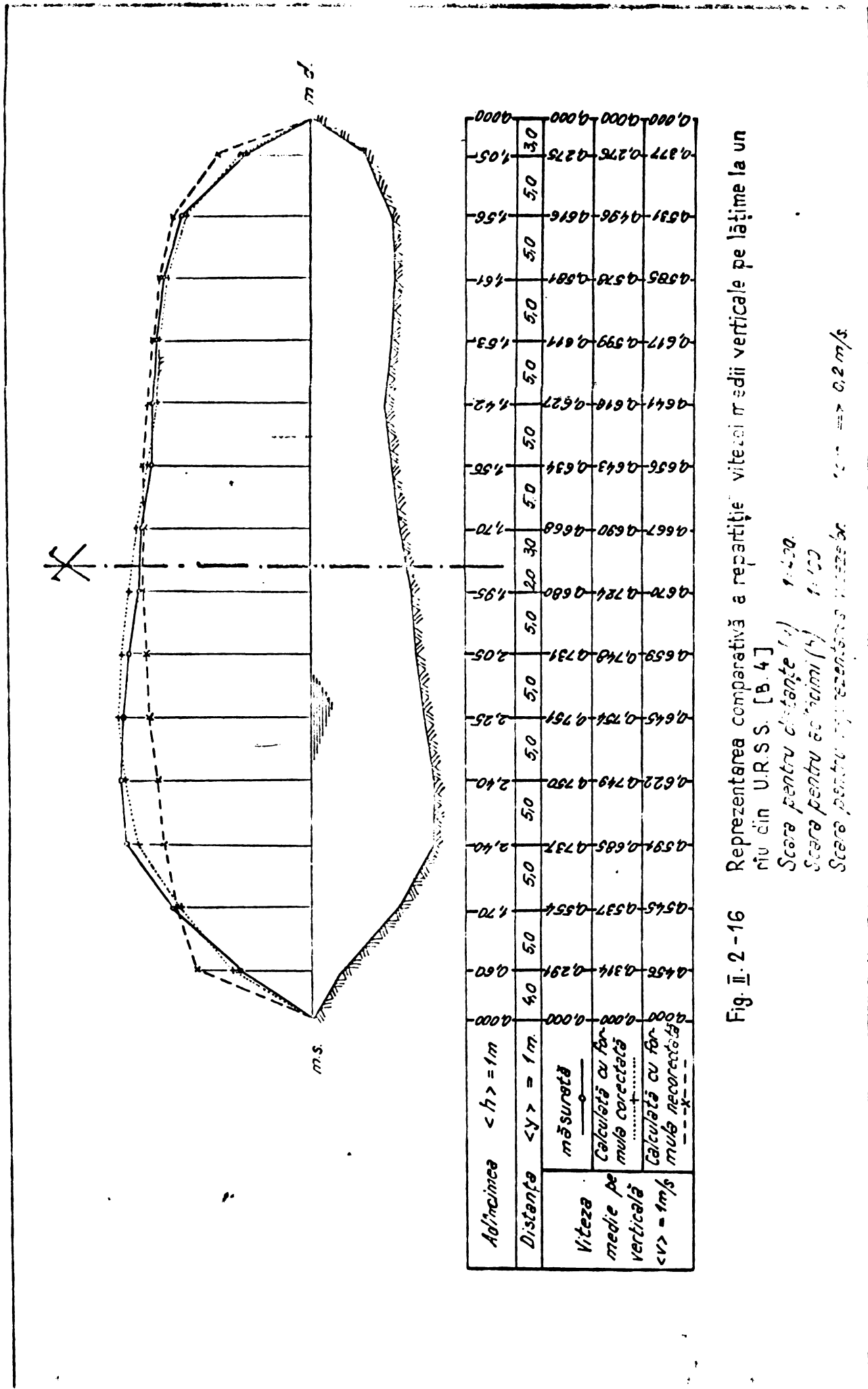


Fig. II. 2-14 Reprezentarea comparațivă a rezanției vitezei medii verticale pe lățime la modelul sectorului de riu Argeș secțiunea P.2  
Scara pentru distanțe (y) și pentru adâncimi (h) 1:10  
Scara pentru reprezentarea vitezelor: 1 cm  $\Rightarrow$  0,5 m/s



**Fig. II.2-15.** Reprezentarea comparativă a repartiziei vitezei medii verticale pe lățime la modelul sectorului de riu Argeș  
secțiunea P. 108.

Sensul direcției și perimetrul secțiunii ( $h = 1:10$ );  
Scara pentru reprezentarea vitezei în:  $1\text{cm} \Rightarrow 0.2 \text{ m/s}$ ;  
x Capul de profil transversal este ca la Fig. II.2-4.



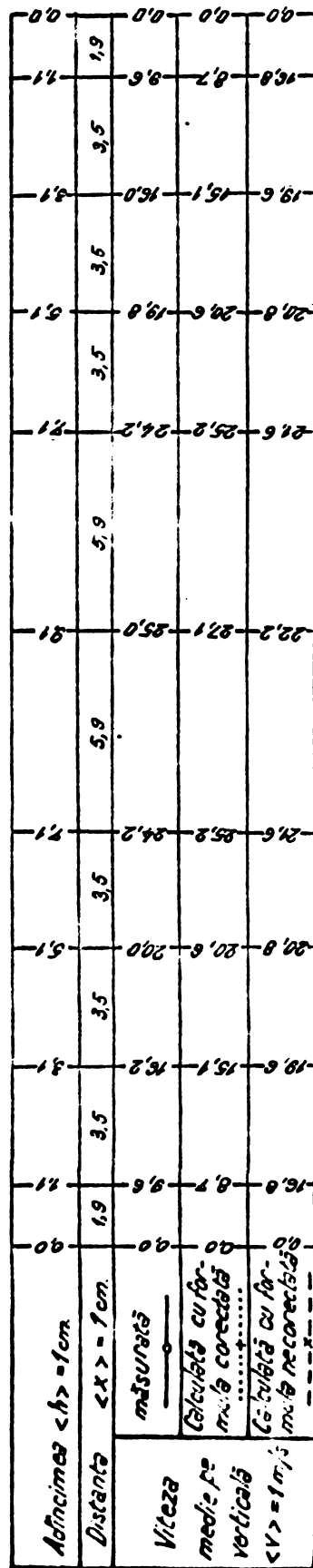
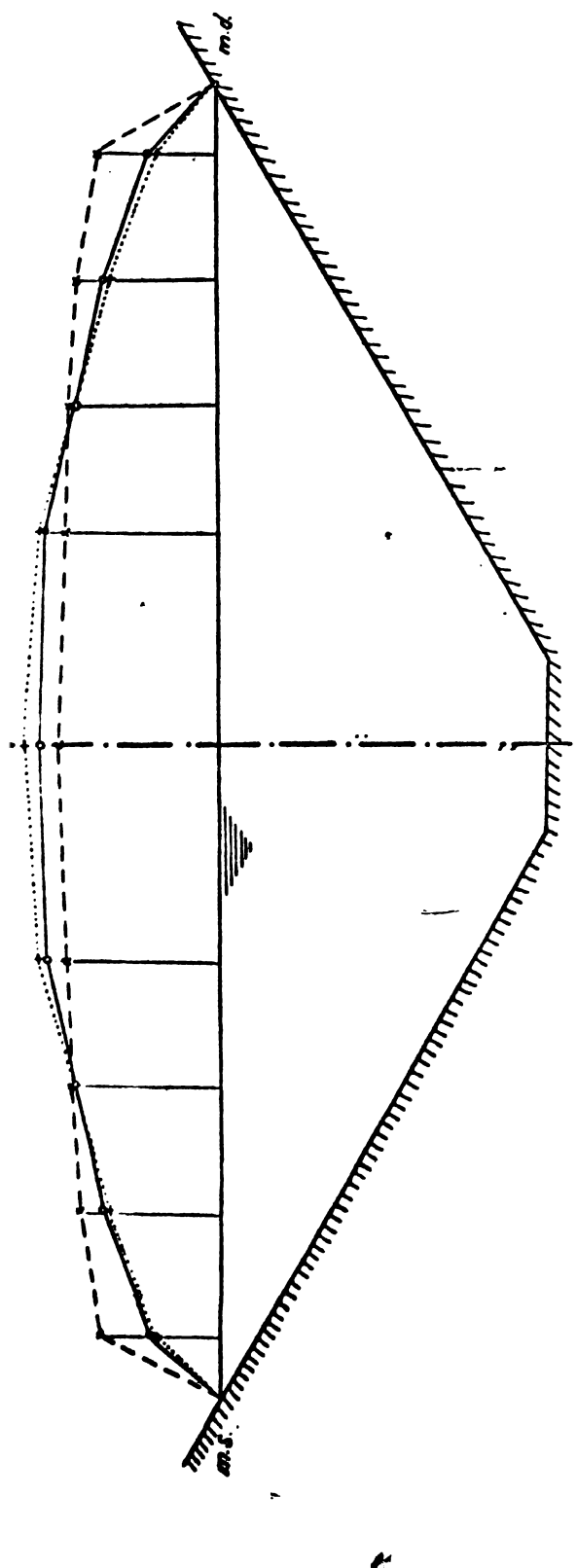


Fig. II 2-17 Reprezentarea comparativă a rezultatelor vitezelor mai mari verticale pe lățime într-un canal experimentat de secțiune trapezoïdală după [P-5]

Scara pentru distanțe (Y) 1:2

Scara pentru adâncimi (h) 1:2

Scara pentru viteze (v) 1:2  
Scara pentru adâncimi (h) 1:2  
Scara pentru viteze (v) 1:2  
Scara pentru adâncimi (h) 1:2  
Scara pentru viteze (v) 1:2

TABELA III-2-1  
VALORELE ERORII RELATIVALE PENTRU  
LITR-UN CIRCUIT TRIANGULAR (măsurători după Gonciarov p.156)

Tabelă III-2-1

$\frac{2 \Psi }{B}$	$\vartheta = 1 - \frac{2 \Psi }{B}$	$f(\vartheta)$	$2 - f(\vartheta)$	$\frac{\sqrt{g}}{C} [2 - f(\vartheta)]$	$\frac{\bar{V}_r}{\bar{V}} = 1 + \frac{\sqrt{g}}{C} [2 - f(\vartheta)]$	$\bar{V}$ experimental	$\Delta \frac{\bar{V}}{V}$	$\Delta \frac{\bar{V}}{V} / 100$	$(\Delta \frac{\bar{V}}{V})^2$
0,30	1,00	0,000	2,000	+0,157	1,15	1,17	+0,01	+0,87	0,75
0,45	0,55	0,984	1,015	0,030	1,03	1,03	+0,03	+2,56	8,13
0,90	0,10	4,993	-2,993	-0,234	0,77	0,81	-0,04	-4,94	24,40
1,00	0,00				0,00	0,24	0,000	0,00	0,00
<u>de repto</u>									
0,45	0,55	1,418	+0,582	+0,046	1,05	1,05	0,00	0,00	0,00
0,90	0,10	4,993	-2,993	-0,234	0,77	0,81	-0,04	-4,94	24,40
1,00	0,00						0,00	0,00	0,00
<u><math>\sum</math></u>									
								-6,15	57,74

$$\text{Valoarea medie a erorii relative } M\left(\frac{\bar{V}_r - \bar{V}}{\bar{V}}\right) = -0,88 \%$$

$$\text{Varianța medie patratnică } \hat{G}\left(\frac{\bar{V}_r - \bar{V}}{\bar{V}}\right) = 3,10 \%$$

TABELA COMPARATIVĂ ÎNVIEDĂ ÎNTRĂNIREA VENITULOR ARIEIL VERTICALĂ PE LĂPTE LA RÂUL

$\langle Y \rangle = \langle h \rangle = 1 \text{ m}$ ;  $B = 21,5 \text{ m}$ ;  $C = 30,4 \text{ m}^{1/2}/\text{s}$ ,  $h_e = 0,42 \text{ m}$ ;  $v = 0,666 \text{ m/s}$

Tabela II-2-2

$y$	$2 y $	$\frac{2 y }{B}$	$p = 1 - \frac{2 y }{B}$	$f(p)$	$2 - f(p)$	$\frac{f(p)}{C}[2 - f(p)]$	$1 + \frac{ y }{C}[2 - f(p)]$	$h_i$	$h_m$	$\frac{h_m}{h_e}$	$\frac{\bar{V}_T}{V}$	$\frac{\bar{V}}{\bar{V}_T}$	$\Delta \frac{\bar{V}}{V}$	$\frac{\Delta \frac{\bar{V}}{V}}{100}$	$\left( \frac{A - \frac{\bar{V}}{V}}{\frac{\bar{V}}{V}} \cdot 100 \right)^2$
<u>Prișoara</u>															
0,75	1,50	0,070	0,930	0,054	+1,946	+0,201	1,201	0,46	0,45	1,035	1,247	1,218	+0,029	+2,39	5,68
2,75	5,50	0,256	0,744	0,390	+1,610	+0,166	1,166	0,50	0,53	1,123	1,310	1,324	-0,014	-1,06	1,12
4,75	9,50	0,442	0,558	0,954	+1,045	+0,103	1,103	0,62	0,59	1,185	1,312	1,305	+0,007	+0,53	0,29
5,75	15,5	0,627	0,373	1,021	+0,159	+0,015	1,016	0,64	0,57	1,164	1,182	1,161	+0,021	+1,81	3,27
8,75	17,5	0,814	0,186	3,479	-1,479	-0,152	0,843	0,46	0,37	0,953	0,796	0,805	-1,009	-1,11	1,25
10,75	21,5	1,000	0,000	16,41	-14,413	-1,455	-0,435	0,00	0,00	0,000	0,000	0,000	0,000	0	0
<u>Reapta</u>															
1,25	2,50	0,116	0,884	0,115	+1,885	+0,194	1,194	0,38	0,41	0,987	1,180	1,200	-0,020	-1,67	2,78
3,25	6,50	0,302	0,698	0,506	+1,494	+0,154	1,154	0,40	0,37	0,938	1,082	1,112	-0,030	-2,80	7,28
5,25	10,5	0,488	0,512	1,136	+0,864	+0,089	1,089	0,34	0,33	0,886	0,956	1,023	-0,057	-5,56	31,00
7,25	14,5	0,675	0,325	2,158	-0,158	-0,016	0,984	0,26	0,31	0,858	0,845	0,847	-0,002	-0,24	0,06
9,25	18,5	0,860	0,140	4,170	-2,170	-0,224	0,776	0,32	0,19	0,673	0,522	0,576	-0,054	-9,40	38,20
10,75	21,5	1,000	0,000	15,416	-14,416	-1,485	-0,435	0,00	0,00	0,000	0,000	0,000	0	0	0
$\sum$															
															-17,11 140,93

Velocarea medie a eroarei relative  $M \left( \frac{\bar{V}_T - \bar{V}}{\bar{V}} \right) = -1,43\%$ .

$$\text{Abaterea medie patratică } G \left( \frac{\bar{V}_T - \bar{V}}{\bar{V}} \right) = 3,58\%.$$

TABLET COMPARATEV PRAIVED KETENAT TUA VINEZELOR MEDIU VERTICALE FE LAPTE LA KUL

Timp postul hidrouetric Sădova - Veche (II)

Valoarea medie a erorii relative  $M\left(\frac{\overline{V_T} - \overline{V}}{\overline{V}}\right) = +0,67\%$   
 Abaterea medie patratice  $G\left(\frac{\overline{V_T} - \overline{V}}{\overline{V}}\right) = 10,62\%$

## TABEL COMPARATIV PRIVEND REPARTITIA VITTELOR MEDII VERTICALE LATIE LARVIL

$\langle \bar{y} \rangle = \langle h \rangle \approx 1 \text{ m}$ ;  $B = 27,50 \text{ m}$ ;  $C = 30,4 \text{ m}$ ;  $v = 1,52 \text{ m/s}$

Tabel 11-2-4

$\gamma$	$2 \gamma $	$\frac{2 \gamma }{B}$	$P = 1 - \frac{2 \gamma }{B}$	$f(2)$	$2 - f(2)$	$\frac{f(2)}{C} [2 - f(2)]^{1 + \frac{f(2)}{C} [2 - f(2)]}$	$h_i$	$h_{im}$	$\sqrt{\frac{h_{im}}{h_e}}$	$\frac{\overline{U}_T}{\overline{U}}$	$\frac{\overline{U}}{\overline{U}_T}$	$\Delta \frac{\overline{U}}{\overline{U}_T}$	$\frac{\Delta \frac{\overline{U}}{\overline{U}_T}}{\frac{\overline{U}_T}{\overline{U}}} \cdot 100$
<u>stinga</u>													
1,25	2,50	0,091	0,909	0,080	1,920	0,198	1,198	1,30	1,33	1,146	1,374	1,365	+0,009 +0,66 0,43
2,25	5,50	0,236	0,764	0,342	1,653	0,171	1,171	1,30	1,27	1,370	1,252	1,152	+0,100 +8,68 75,20
3,25	10,50	0,382	0,618	0,743	1,257	0,129	1,128	1,20	1,17	1,072	1,210	1,221	-0,011 -0,90 10,01
4,25	14,50	0,527	0,473	1,303	0,697	0,072	1,072	1,00	0,95	0,965	1,034	0,993	+0,041 +4,13 17,10
5,25	18,50	0,672	0,328	2,138	-0,138	-0,014	0,986	0,64	0,69	0,822	0,810	0,805	+0,005 +0,62 0,38
6,25	22,50	0,818	0,182	3,527	-1,527	-0,157	0,843	0,42	0,35	0,587	0,495	0,500	-0,005 -1,00 1,00
7,25	27,50	1,000	0,000	16,416	-14,416	-1,485	0,485	0,00	0,00	0,000	0,000	0,000	0,00 0,00 0,00
<u>treapta</u>													
0,75	1,50	0,054	0,946	0,036	1,964	0,201	1,201	1,40	1,37	1,160	1,394	1,437	-0,043 -2,99 8,96
2,75	5,50	0,200	0,800	0,265	1,735	0,179	1,179	1,40	1,38	1,168	1,370	1,441	-0,063 -4,37 19,10
4,75	9,50	0,346	0,654	0,631	1,369	0,141	1,141	1,35	1,35	1,150	1,315	1,548	-0,033 -2,45 6,00
3,75	17,50	0,636	0,354	1,897	0,103	0,011	1,011	1,30	1,32	1,138	1,151	1,153	-0,002 -0,17 0,03
10,75	21,50	0,782	0,218	3,101	-1,101	-0,113	0,887	1,30	0,87	0,926	0,812	0,777	+0,035 +4,51 20,30
13,75	27,50	1,000	0,000	16,416	-14,416	-1,485	0,485	0,00	0,00	0,000	0,000	0,000	0,00 0,00 0,00

Valoarea medie a erorii relative M( $\frac{\overline{v_r} - \bar{v}}{\overline{v}}$ ) = +0,52%  
 Abaterea medie pătrată  $\delta(\frac{\overline{v_r} - \bar{v}}{\overline{v}}) = 3,53\%$

TABLET COMPARATIV PRIVIND REPARTITIA VEEZELOR MEDII VERTICALE PE LATITUDINE LA RIUL.

Timpis postul hidrografic Sadova - Veche (IV)

Tabela II-2-5

$$\langle y \rangle = \langle h \rangle = 1 \text{ m} ; B = 25,50 \text{ m} ; C = 30,4 \frac{\text{m}^2}{\text{s}} ; h_0 = 0,83 \text{ m} ; V = 1,36 \text{ m/s}$$

Valoarea medie a erorii relative  $M \left( \frac{\overline{V}_T - \overline{V}}{\overline{V}} \right) = +0,15\%$   
 abaterea medie pătrată  $G \left( \frac{\overline{V}_T - \overline{V}}{\overline{V}} \right) = 4,49\%$

TABEL COMPARATIV PRIN IND REPARTITIA VITEZELOR MEDII VERTICALE PE LATITUDINE LA RUL

-Bega - postul hidrometrico Balint (I)

$\langle y \rangle = \langle h \rangle = 1 \text{ m}$ ;  $B = 27,5 \text{ m}^2$ ;  $C = 40 \text{ m}^{1/2}/\text{s}$ ;  $h_e = 0,21 \text{ m}$ ;  $v = 0,544 \text{ m/s}$

Tabela II-2-6

$y$	$2 y $	$\frac{2 y }{B}$	$2 = 1 - \frac{2 y }{B}$	$f(2)$	$2 - f(2)$	$\frac{\sqrt{g}}{C} [2 - f(2)]^{1 + \frac{\sqrt{g}}{C} [2 - f(2)]}$	$h_i$	$h_{im}$	$\sqrt{\frac{h_{im}}{h_e}}$	$\frac{\bar{v}_i}{v}$	$\frac{\bar{v}_i}{v}$ măsurat	$\Delta \frac{\bar{v}_i}{v}$	$\left[ \frac{\Delta \bar{v}_i}{v} \cdot 100 \right] \left[ \frac{4 \bar{v}_i}{v} \cdot 100 \right]^2$
0,5	1,0	0,036	0,964	0,020	1,980	0,155	1,155	0,28	0,30	1,195	1,379	1,386	-0,007
2,50	5,0	0,181	0,819	0,227	1,773	0,139	1,139	0,35	0,32	1,230	1,400	1,372	+0,028
4,50	9,0	0,326	0,674	0,572	1,428	0,112	1,112	0,34	0,34	1,271	1,413	1,372	+0,041
6,50	13,0	0,471	0,529	1,063	0,932	0,073	1,073	0,32	0,32	1,230	1,318	1,259	+0,059
8,50	17,0	0,616	0,384	1,775	0,225	0,018	1,018	0,31	0,28	1,151	1,171	1,148	+0,023
10,5	21,0	0,761	0,239	2,880	-0,880	0,059	0,931	0,20	0,22	1,025	0,955	0,970	-0,015
11,5	23,0	0,833	0,167	3,744	-1,744	-0,137	0,863	0,16	0,12	0,756	0,653	0,661	-0,003
13,8	27,6	1,000	0,000	16,416	-14,416	-1,130	-0,130	0,00	0,00	0,000	0,000	0,000	0,00
dreapta													
1,50	3,0	0,109	0,891	0,105	1,895	0,148	1,148	0,27	0,26	1,113	1,275	1,274	+0,001
3,50	7,0	0,254	0,746	0,385	1,615	0,126	1,126	0,23	0,22	1,025	1,153	1,158	-0,005
5,50	11,0	0,399	0,601	0,800	1,200	0,094	1,094	0,17	0,19	0,950	1,040	1,030	+0,010
6,50	13,0	0,471	0,529	1,033	0,932	0,073	1,873	0,16	0,11	0,725	0,779	0,789	-0,010
13,8	27,6	1,000	0,000	16,416	-14,416	-1,130	-0,130	0,00	0,00	0,000	0,000	0,000	0,00
$\sum$													
													45,96
													45,96
													45,96

Valoarea medie a erorii relative  $M \left( \frac{\bar{v}_r - \bar{v}}{v} \right) = -0,67\%$

Abaterea medie pătrată  $\delta \left( \frac{\bar{v}_r - \bar{v}}{v} \right) = 1,95\%$

TABLE COMPARATIVE DES PARTIES VERTICALE ET HORIZONTALE DE LA RÉPUBLIQUE

Bega - postul hidrometriei Balint (II)

Table II-2-7

Valoarea medie a scorului relativ  $M \left( \frac{\overline{V_T}}{V} - \frac{\overline{V}}{V} \right) = -1,73\%$

$$\text{Abatagea mäle pättratiča } \delta \left( \frac{\overline{V}_T - \overline{V}}{\overline{V}} \right) = 4,79 \text{ \%}$$

TABEL COMPARATIV PRIN IND REPARTITIA VIEZEZELOR MHD II VERTICALE PE LATURĂ LA RIUL

Bega - postul hidrometric Balint (III)

h = 1 m ; B = 28,00 m<sup>1/2</sup>/s ; h<sub>e</sub> = 0,37 m ; v = 0,90 m/s

Tabela II-2-8

$\frac{y}{B}$	$2 \gamma $	$\frac{\rho y }{B}$	$R = 1 - \frac{2 y }{B}$	$f(R)$	$2 - f(R)$	$\frac{ y }{C} [2 - f(R)]$	$h_i$	$h_{im}$	$\sqrt{\frac{h_{im}}{h_e}}$	$\frac{\bar{v}_i}{v}$	$\frac{\bar{v}_i}{v}$ măsurat	$\Delta \frac{\bar{v}_i}{v}$	$\frac{\Delta \bar{v}_i}{v}$	$\left( \frac{\Delta \bar{v}_i}{v} \right)^2$	
Stînga															
1,0	2,0	0,071	0,929	0,055	1,945	0,200	1,200	0,55	0,50	1,161	1,382	1,333	+0,049	+3,67	13,70
4,0	8,0	0,286	0,714	0,454	1,536	0,158	1,158	0,50	0,48	1,140	1,320	1,280	+0,040	+3,13	9,79
7,0	14,0	0,500	0,500	1,188	0,812	0,084	1,084	0,40	0,40	1,040	1,129	1,093	+0,036	+3,29	10,81
10,0	20,0	0,714	0,286	2,456	-0,455	-0,047	0,953	0,30	0,33	0,945	0,901	0,915	-0,014	-1,53	2,34
13,0	26,0	0,928	0,072	6,035	-4,005	-0,412	0,588	0,30	0,20	0,736	0,432	0,441	-0,009	-2,04	4,16
14,0	28,0	1,000	0,000	16,416	-14,416	-0,485	0,00	0,00	0,00	0,000	0,000	0,000	0,000	0,000	0,00
dreapta															
2,0	4,0	0,143	0,857	0,157	1,843	0,190	1,190	0,45	0,45	1,105	1,316	1,340	-0,024	-1,79	3,21
5,0	10,0	0,357	0,643	0,654	1,336	1,137	1,137	0,35	0,35	0,970	1,105	1,102	+0,003	+0,27	0,07
8,0	16,0	0,571	0,429	1,525	0,475	0,049	1,049	0,25	0,30	0,901	0,946	0,967	-0,021	-2,17	4,73
11,0	22,0	0,785	0,215	3,134	-1,134	-0,117	0,883	0,30	0,18	0,698	0,617	0,628	-0,011	-1,75	3,07
14,0	28,0	1,000	0,000	16,416	-14,416	-0,485	0,00	0,00	0,00	0,000	0,000	0,000	0,000	0,000	0,00
								$\sum$	+1,08	51,88					

Valoarea medie a erorii relative  $M\left(\frac{\bar{v}_i - \bar{v}}{\bar{v}}\right) = +0,10\%$ Abaterea medie pătrată  $\bar{G}\left(\frac{\bar{v}_i - \bar{v}}{\bar{v}}\right) = 2,28\%$

TABEL COMPARATIV PRIVIND REPARTITIA VITRIZELOR LEDII VERTICALE PE LATITUDINE

Bega - postul hidrometric Ballint (IV)

$$\langle y \rangle = \langle h \rangle = 1 \text{ m} ; B = 28,50 \text{ m} ; C = 30,4 \frac{\text{m}^1/2}{\text{s}} ; h_0 = 0,27 \text{ m} ; v = 0,850 \frac{\text{m}}{\text{s}}$$

Tabela II-2-9

$\gamma$	$2 y $	$\frac{2 y }{B}$	$\varrho = 1 - \frac{2 y }{B}$	$f(2)$	$2-f(2)$	$\frac{[g]}{C} [2-f(2)] + \frac{[g]}{C} [2-f(2)]$	$h_i$	$h_{im}$	$\sqrt{\frac{h_{im}}{h_e}}$	$\frac{U_r}{v_r}$	$\frac{-U_r}{v_r}$	$\Delta \frac{U_r}{v_r}$	$\frac{4 \frac{U_r}{v_r} 100}{\frac{U_r}{v_r}}$	$\left(\frac{4 \frac{U_r}{v_r} 100}{\frac{U_r}{v_r}}\right)^2$
0,75	1,50	0,053	0,947	0,035	1,965	0,202	1,202	0,39	0,38	1,187	1,425	+0,004	+0,28	0,08
2,75	5,50	0,193	0,807	0,250	1,750	0,181	1,181	0,36	0,34	1,122	1,324	+0,004	+0,30	0,06
4,75	9,50	0,333	0,657	0,592	1,408	0,145	1,145	0,27	0,29	1,035	1,183	+0,015	+1,28	1,65
6,75	13,50	0,474	0,526	1,079	0,921	0,095	1,095	0,23	0,23	0,922	1,010	-0,052	-0,042	-3,98
8,75	17,50	0,613	0,387	1,757	0,243	0,024	1,024	0,19	0,19	0,849	0,861	+0,038	+4,62	21,30
10,75	21,5	0,755	0,245	2,823	-0,823	-0,085	0,915	0,14	0,11	0,638	0,584	-0,097	-1,18	1,45
14,25	28,5	1,000	0,000	16,416	-14,416	-1,485	-0,485	0,00	0,00	0,000	0,000	0,000	0,000	0,00
<u>dread tra</u>														
1,25	2,50	0,088	0,912	0,076	1,924	0,198	1,198	0,40	0,41	1,221	1,462	+0,014	+0,97	0,91
3,25	6,50	0,228	0,772	0,324	1,676	0,173	1,173	0,43	0,37	1,170	1,372	-0,013	-0,94	0,86
5,25	10,50	0,369	0,631	0,702	1,298	0,134	1,134	0,28	0,33	1,107	1,256	-0,024	-1,87	3,51
7,25	14,50	0,509	0,491	1,228	0,772	0,079	1,079	0,28	0,25	0,962	1,038	1,050	-0,012	-1,14
9,25	18,50	0,649	0,351	1,980	0,020	0,002	1,002	0,18	0,21	0,881	0,883	-0,009	-1,01	1,01
11,25	22,5	0,790	0,210	3,190	-1,190	-0,123	0,877	0,16	0,17	0,794	0,695	+0,010	+1,46	2,15
13,25	26,5	0,930	0,070	6,122	-4,122	-0,425	0,575	0,18	0,11	0,638	0,367	+0,013	+3,67	13,50
14,25	28,5	1,20	0,000	16,416	-14,416	-1,485	-0,485	0,00	0,00	0,000	0,000	0,000	0,000	0,00
<u><math>\sum</math></u>														
Valoare medie a erorii relative M $\left( \frac{U_r}{v_r} - \frac{U_r}{v_r} \right) = +0,16\%$														
Abaterea medie pătrată $\theta \left( \frac{U_r}{v_r} - \frac{U_r}{v_r} \right) = 4,55\%$														
<u><math>\sum</math></u> +2,46														
63,72														

TABEL COMPARATIV PRININD REPARTITIA VITEZELOR MEDIIL VERTICALE PE LATITUDE LA MODULUL

SECTORULUI DE RUM ARGEŞ - Secţiunea 0-0.

Tabelă II-2-10

$\gamma$	$2 \gamma $	$\frac{2 \gamma }{B}$	$\rho = 1 - \frac{2 \gamma }{B}$	$f(\rho)$	$2 - f(\rho)$	$\frac{\sqrt{\rho}}{\rho} [2 - f(\rho)] + \frac{\sqrt{\rho}}{\rho^2} f'(2)$	$h_i$	$h_{im}$	$\sqrt{\frac{h_{im}}{h_e}}$	$\frac{\bar{v}_r}{v}$	$\frac{\bar{v}_r}{v}$ măsurat	$\Delta \frac{\bar{v}_r}{v}$	$\frac{\Delta \bar{v}_r}{v} \cdot 100$	$\left[ \frac{\Delta \bar{v}_r}{v} \right]^2$	
stînga															
0,19	0,38	0,192	0,808	0,248	+1,752	+0,179	+1,179	0,104	0,105	1,026	1,209	1,130	+0,079	+7,00	
0,44	0,88	0,444	0,556	0,961	+1,039	0,106	1,106	0,106	0,105	1,026	1,132	1,090	+0,042	+3,85	
0,59	1,38	0,504	0,496	1,206	+0,794	0,081	1,081	0,105	0,107	1,033	1,129	1,065	+0,064	+6,01	
0,89	1,78	0,898	0,102	4,946	-2,945	-5,302	0,698	0,111	0,089	0,943	0,658	0,745	-0,087	-11,67	
0,96	1,92	0,969	0,031	7,899	-5,899	-5,604	0,395	0,052	0,054	0,736	0,292	0,236	+0,006	+2,10	
0,99	1,98	1,000	0,000	16,416	-14,416	-1,478	-0,478	0,000	0,000	0,000	0,000	0,000	0,000	0,00	
dreapta															
0,06	0,12	0,061	0,939	0,041	+1,959	0,200	1,200	0,104	0,104	1,020	1,222	1,120	+0,102	+9,11	
0,31	0,62	0,313	0,687	0,537	+1,463	0,150	1,150	0,104	0,104	1,020	1,172	1,140	+0,062	+5,58	
0,56	1,12	0,566	0,434	1,499	+0,501	0,051	1,051	0,104	0,105	1,026	1,078	1,030	+0,048	+4,66	
0,81	1,62	0,818	0,182	3,527	-1,527	-0,156	0,844	0,107	0,086	0,927	0,782	0,895	-0,113	-12,62	
0,95	1,90	0,960	0,040	7,259	-5,259	-0,538	0,462	0,048	0,052	0,721	0,332	0,330	+0,002	+0,61	
0,99	1,98	1,000	0,000	16,416	-14,416	-1,478	-0,478	0,000	0,000	0,000	0,000	0,000	0,000	0,00	
											$\sum$	+14,52	535,02		

Valoarea medie a erorii relative  $M \left( \frac{\bar{v}_r - v}{v} \right) = +1,22\%$ .

Abaterea medie păriatică  $G \left( \frac{\bar{v}_r - v}{v} \right) = 6,98\%$ .

**TABEL COMPARATIV PRIN REPARTEREA VITREZILOR MEDII VERTICALE PE LATITUZ LA MODEULUI SECTORULUI**

**Tabela II-2-11**

Valoarea medie a erorii relative  $M \left( \frac{\bar{V}_r - \bar{V}}{\bar{V}} \right) = +0,19\%$

$$\text{Abaterea medie patratice } \bar{G} \left( \frac{\overline{V_r} - \overline{V}}{\overline{V}} \right) = 5,12 \%$$

TABLE COMPARATIV PRININD REPARTITIA VITEZELOR MEDIU VERTICALE PE LATIME LA MODULUL

SECTORULUI DE RIU-ARGES , sectiunea P.2

$\langle y \rangle = \langle h \rangle = 1 \text{ m} ; B = 1,92 \text{ m} ; C = 30,6 \text{ m}^{1/2}/\text{s} ; h_e = 0,087 \text{ m} ; v = 1,255 \text{ m/s}$

Tabela II-2-12

$\frac{y}{h}$	$\frac{2 y }{B}$	$\frac{2 y }{B}$	$\frac{2 - \frac{2 y }{B}}{B}$	$f(v)$	$2 - f(v) \frac{ y }{C} [2 - \frac{2 y }{B}]$	$h_i$	$h_{im}$	$\sqrt{\frac{h_{im}}{h_e}}$	$\frac{v_i}{v}$	$\frac{\bar{v}_i}{v}$	$\Delta \frac{\bar{v}_i}{v}$	$\frac{\Delta \frac{\bar{v}_i}{v}}{2} 100$	$\left( \frac{\Delta \frac{\bar{v}_i}{v}}{2} 100 \right)^2$	
stînga														
0,17	0,34	0,177	0,823	0,199	1,801	0,185	1,185	0,091	1,020	1,210	1,075	+0,135	+12,5%	
0,42	0,84	0,437	0,553	0,935	1,065	0,109	1,109	0,089	0,090	1,018	1,128	1,060	+0,058	+5,41
0,67	1,34	0,698	0,302	2,319	-0,319	-0,033	0,957	0,093	0,093	1,034	1,002	1,058	-0,055	-5,12
0,87	1,74	0,907	0,093	5,186	-3,135	-0,326	0,674	0,096	0,078	0,945	0,637	0,906	-0,169	-20,95
0,92	1,84	0,953	0,042	7,243	-5,243	-0,533	0,454	0,045	0,047	0,735	0,342	0,375	-0,033	-3,80
0,95	1,92	1,000	0,000	16,416	-14,416	-1,478	0,000	0,000	0,000	0,000	0,000	0,000	0,000	0,00
dreapta														
0,08	0,15	0,083	0,917	0,069	1,931	0,197	1,107	0,096	0,091	1,020	1,130	1,114	+0,016	+1,43
0,33	0,66	0,344	0,656	0,625	1,375	0,141	1,141	0,090	0,092	1,028	1,170	1,051	+0,119	+11,31
0,58	1,16	0,604	0,396	1,705	0,295	0,030	1,030	0,091	0,089	1,010	1,040	1,041	-0,001	-0,96
0,83	1,66	0,865	0,135	4,260	-2,250	-0,231	0,769	0,037	0,073	0,915	0,704	0,802	-0,098	-12,22
0,90	1,80	0,938	0,052	6,227	-4,224	-0,434	0,566	0,041	0,043	0,704	0,399	0,373	+0,025	+5,59
0,96	1,92	1,000	0,000	16,416	-14,416	-1,478	0,000	0,000	0,000	0,000	0,000	0,000	0,000	0,00
										$\sum$	-19,57	1077,41		

Valoarea medie a erorii relative  $M \left( \frac{\bar{V}_T - \bar{V}}{V} \right) = -0,89\%$

Abaterea medie patraticea  $( \frac{\bar{V}_T - \bar{V}}{V} )^2 = 9,90\%$

TABLEAU COMPARATIV PRIVIND REPARTITIA VITEZELOR MEDII VERTICALE PE LATITUDINE LA MODULUL SECTORULUI

DE RIU ARGES, sect. taurae 103

$\Delta y = \Delta h = 1$   $\Delta B = 2,62$   $\Delta C = 3\sigma, 6$   $\Delta t/2/s = 0,114$   $\Delta v = 0,742$  m/s

Valcarea medie a eroziiei relative M  $\left( \frac{\overline{V_r}}{\overline{U}} - \frac{\overline{U}}{\overline{U}} \right) = +0,95\%$   
 Abaterea medie de la media păstrată G  $\left( \frac{\overline{V_r}}{\overline{U}} - \overline{G} \right) =$

TABEL COMPARATIV PRIVIND REPARTITIA VITEZELOR MEDIIL VERTICALE PE LATIME LA UN RIU

DIN U.R.S.S. /B-4/

$\langle y \rangle = \langle h \rangle = 1m$ ;  $B = 72,00 \text{ m}$ ;  $C = 40 \text{ m}^{1/2}/\text{s}$ ;  $h_e = 1,62 \text{ m}$ ;  $v = 0,58 \text{ m/s}$

Tabela II-2-14

$y$	$2 y $	$\frac{2 y }{B}$	$\rho = 1 - \frac{2 y }{B}$	$f(\rho)$	$2 - f(\rho)$	$\frac{ y }{C} [2 - f(y)]$	$1 + \frac{ y }{C} [2 - f(y)]$	$h_i$	$h_{im}$	$\sqrt{\frac{h_{im}}{h_e}}$	$\frac{\bar{v}_r}{v}$	$\frac{\bar{v}}{v}$	$\Delta \frac{\bar{v}}{v}$	$\frac{\Delta \frac{\bar{v}}{v}}{100} \left[ \frac{\Delta \frac{\bar{v}}{v}}{B} \cdot 100 \right]^2$
Stringa														
2,0	4,0	0,056	0,944	0,038	1,962	0,154	1,154	1,95	1,90	1,082	1,250	1,171	+0,079	+6,74 45,40
7,0	14,0	0,195	0,805	0,254	1,746	0,137	1,137	2,05	2,08	1,133	1,290	1,260	+0,030	+2,42 5,84
12,0	24,0	0,333	0,667	0,590	1,410	0,111	1,111	2,25	2,23	1,170	1,300	1,293	+0,057	+0,54 0,29
17,0	34,0	0,472	0,528	1,070	0,930	0,073	1,073	2,40	2,35	1,202	1,291	1,293	-0,002	-0,15 0,02
22,0	44,0	0,610	0,390	1,740	0,260	0,020	1,020	2,40	2,17	1,160	1,181	1,271	-0,090	-7,07 50,00
27,0	54,0	0,750	0,250	2,774	-0,061	0,939	1,70	1,57	0,985	0,925	0,955	-0,030	-3,14 9,85	
32,0	64,0	0,889	0,111	4,736	-2,736	-0,214	0,786	0,60	0,77	0,590	0,541	0,501	+0,040	+7,99 63,80
36,0	72,0	1,000	0,000	16,416	-14,416	-1,130	-0,130	0,00	0,00	0,000	0,000	0,000	0,00	0,00
dresptă														
3,0	6,0	0,083	0,917	0,069	1,931	0,151	1,151	1,70	1,73	1,032	1,190	1,152	+0,038	+3,30 10,85
8,0	16,0	0,222	0,778	0,311	1,689	0,132	1,132	1,55	1,56	0,980	1,110	1,093	+0,017	+1,55 2,42
13,0	26,0	0,361	0,639	0,676	1,324	0,104	1,104	1,42	1,50	0,961	1,062	1,081	-0,019	-1,75 3,08
18,0	36,0	0,500	0,500	1,183	0,812	0,054	1,064	1,53	1,52	0,970	1,032	1,052	-0,020	-1,90 3,61
23,0	46,0	0,639	0,361	1,915	0,584	0,057	1,007	1,61	1,57	0,985	0,994	1,001	-0,007	-0,70 0,49
28,0	56,0	0,778	0,222	3,077	-1,077	-0,034	0,916	1,56	1,41	0,934	0,855	0,889	-0,034	-3,82 14,59
33,0	65,0	0,917	0,033	5,455	-4,455	-0,350	0,650	1,05	0,87	0,731	0,475	0,474	+0,001	+0,21 0,04
36,0	72,0	1,000	0,000	15,416	-14,416	-1,130	-0,130	0,00	0,00	0,000	0,000	0,000	0,00	0,00

Vă sareă medie și eroare relativă  $(\frac{\bar{v}_r - v}{v}) = +0,26\%$   
 Abaterea medie pătrată  $\beta (\frac{\bar{v}_r - v}{v}) = 3,74\%$

TABEL COMPARATIV PRIN REPARTITIA VITESZELOR IN EDII VERTICALE PE LATICE DUPA /P-5/

$\langle y \rangle = \langle h \rangle = 1 \text{ cm} ; B = 36,6 \text{ cm} ; C = 56 \text{ cm}^{1/2}/\text{s} ; h_0 = 5,2 \text{ cm}$

$y$	$2 \gamma $	$\frac{2 \gamma }{B}$	$2 - \frac{2 \gamma }{B}$	$f(2)$	$2 - f(2)$	$\sqrt{g[2 - f(2)]}$	$h$	$\frac{h_m}{h_e}$	$\frac{\bar{v}_T}{v}$	$\frac{\bar{v}_T}{v_{misure}}$	$\Delta \frac{\bar{v}}{v}$	$\Delta \frac{\bar{v}}{v} \cdot 100 \left( \frac{A - \bar{v}}{\bar{v}} \cdot 100 \right)^2$
0,00	0,00	0,000	1,000	0,000	2,000	0,112	1,112	9,1	7,77	1,22	1,355	1,250 +0,105 +8,40 70,56
5,90	11,80	0,323	0,677	0,564	1,434	0,080	1,080	7,1	7,10	1,17	1,762	1,212 +0,052 +4,30 20,49
9,40	18,80	0,514	0,486	0,250	1,250	0,750	0,042	1,042	5,1	5,10	0,99	1,031 1,030 +0,031 +3,10 9,61
12,9	25,80	0,706	0,294	2,393	-0,592	-0,022	0,978	3,1	3,10	0,77	0,753	0,810 -0,057 -7,04 49,56
16,4	32,80	0,896	0,104	4,895	-2,899	-0,162	0,838	1,1	1,40	0,52	0,436	0,450 -0,044 -9,17 84,09
18,3	36,60	1,000	0,000	1,6,416-14,418	-0,808	0,192	0,0	0,00	0,00	0,00	0,000	0,000 0,000 0,00 0,00
<b>decapata</b>												
5,90	11,80	0,323	0,677	0,564	1,436	0,080	1,080	7,1	7,10	1,17	1,262	1,200 +0,062 +5,17 26,27
9,40	18,80	0,514	0,486	0,250	0,750	0,042	1,042	5,1	5,10	0,99	1,031	0,990 +0,041 +4,14 17,14
12,9	25,80	0,706	0,294	2,392	-0,392	-0,022	0,978	3,1	3,10	0,77	0,753	0,800 -0,047 -5,87 34,46
16,4	32,80	0,896	0,104	4,899	-2,899	-0,162	0,838	1,1	1,40	0,52	0,436	0,480 -0,044 -9,17 84,09
18,3	36,60	1,000	0,000	16,416-14,418	-0,808	0,192	0,0	0,00	0,00	0,00	0,000	0,000 0,000 0,00 0,00
<b><math>\sum</math></b>												
												<b>-6,14 396,73</b>

$$\text{Caloarea medie a erorii relative } M \left( \frac{\bar{v}_T}{v} - \bar{v} \right) = -0,56 \%$$

$$\text{Abaterea medie pătrată } \delta \left( \frac{\bar{v}_T}{v} - \bar{v} \right) = 6,30 \%$$

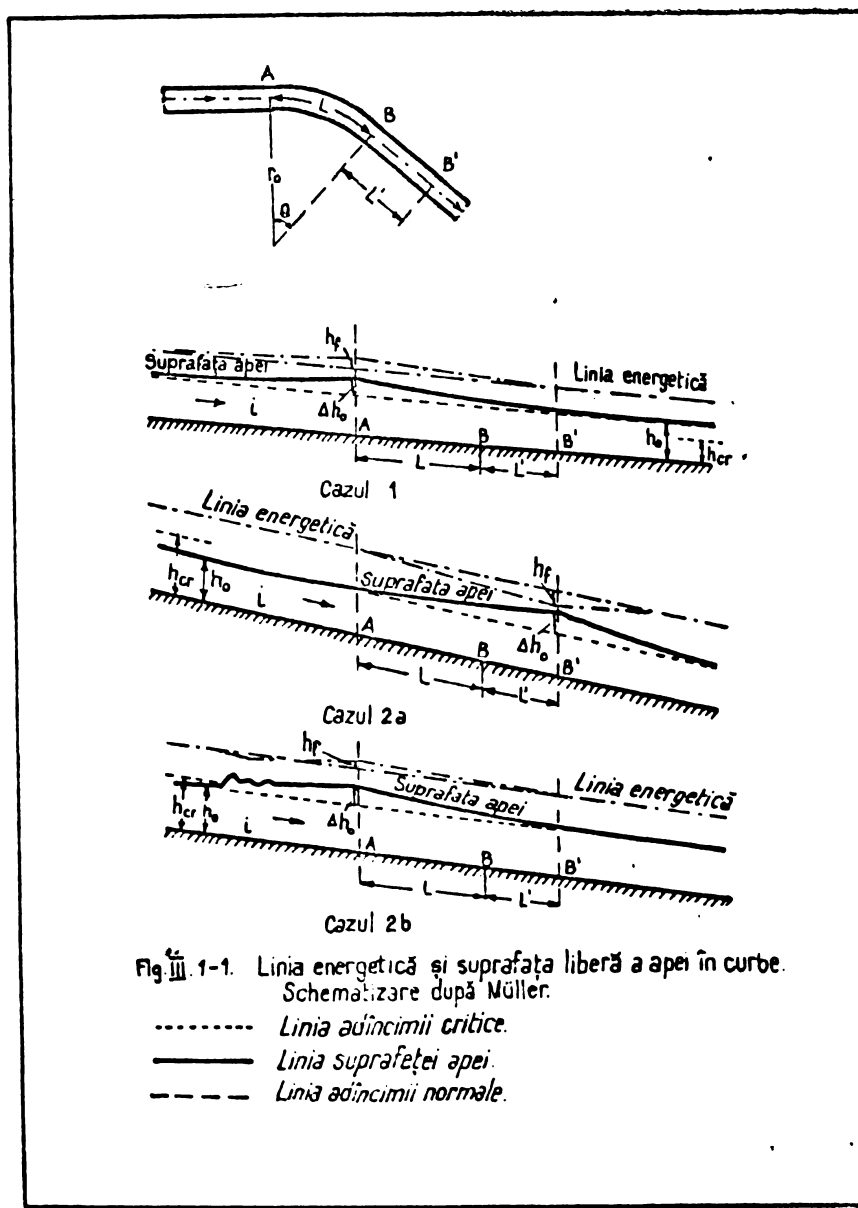
### Capitolul III

#### CONTRIBUTII LA CINEMATICA CURGERII PE SECTOARELE IN CURBA

##### S 1.- Denivelarea longitudinală a suprafeței libere a apei pe sectoarele în curbă

Denivelarea suprafeței libere a apei pe sectoarele în curbă ale canalelor și albiilor se produce atât în direcție longitudinală cît și în direcție transversală (radială). În esență această denivelare se dătorește acțiunii forței centrifuge care încotează în general mișcarea unui mobil (respectiv a curentului de apă) pe o traiectorie curbă.

În direcție longitudinală linia energetică și linia piezometrică (identică cu curba suprafeței libere) într-un canal cu curbură uniformă (arc de cero) sunt indicate după Müller /M-12/ în figura III.1-1



Gazul 1 corespunde regimului lent de curgere (subcritic). În absența curbei, curgerea s-ar produce cu adâncimea normală  $h_0$ , corespunzătoare regimului uniform. Prin introducerea curbei, linia energetică este ridicată în secțiunea de început a curbei cu o cantitate suplimentară  $h_f$ , datorită diminuării pierderilor energetice în zona amonte, diminuare la rîndul ei datorită unui efect de remuu al curbei. Datorită acestui remuu, adâncimea apei crește treptat în zona din amonte de curbă, ceea ce face ca viteza medie a curentului să scadă treptat și în consecință pierderile de energie (proportionale cu pătratul vitezei medii) scad în această zonă din amonte. Cea mai mare parte a acestei energii suplimentare este disipată pe lungimea curbei, iar restul este disipată pe o zonă aval de curbă a cărei lungime a fost notată cu  $L'$ . La capătul acestei zone aval se regăsește pentru curent energia specifică caracteristică regimului uniform. Rezultă, că o consecință, că în zona amonte de curbă pantă liniei energetice este mai mică decât cea corespunzătoare regimului uniform, în vreme ce, pe lungimea curbei (în special) și în zona aval de curbă pantă liniei energetice este mai mare decât cea corespunzătoare regimului uniform.

Această evoluție a liniei energetice în direcție longitudinală este în conexiune cu evoluția liniei piezometricice (curba suprafeței libere). Existenta energiei suplimentare  $h_f$  în secțiunea de început a curbei va fi însotită de creșterea  $\Delta h_0$  a adâncimii apei, creștere care trebuie să depășească valoarea energiei specifice suplimentare  $h_f$ .

Având în vedere expresia energiei specifice a secțiunii în regim uniform :

$$E_{A0} = h_0 + \frac{V_0^2}{2g} = h_0 + \frac{Q^2}{2g} \frac{1}{S_0^2} \quad (\text{III-1-1})$$

se poate stabili următoarea relație între energia suplimentară  $h_f$  și creșterea nivelului apei  $\Delta h_0$  în secțiunea de început a curbei :

$$(A) \quad \Delta E_{A0} = h_f = \Delta h_0 + \Delta \left( \frac{V_0^2}{2g} \right) = \Delta h_0 - \frac{Q^2}{2g} \frac{B_0}{S_0^2} > 0 \quad (\text{III-1-2})$$

Această suprafață a niveluluiapei arată că prezența unei curbe într-un canal, în cazul regimului lent, conduce la un efect de remuu, în zona amonte cu efect maxim la începutul curbei (punctul A), efect similar cu acela al unui prag sau baraj. Calculul curbei de remuu în zona amonte se face dinspre aval spre amonte, începînd din punctul A, unde adâncimea curentului este  $h_0 + \Delta h_0$  și tinde asimptotic spre amonte la adâncimea normală  $h_0$  caracteristică regimului uniform de curgere.

Cazul al doilea din figura III.1-1 corespunde unui regim de curgere rapidă în canal. În acest caz linia energetică și suprafața apei rămân cele corespunzătoare regimului uniform de curgere pînă la începutul curbei (punctul A). Pe sectorul în curbă pierderea de energie este superioară celei care se produce în sectorul rectiliniu de aceea la sfîrșizul curbei (punctul B) și chiar într-o zonă vecină aval (de lungime  $L'$ ) linia energetică coboară sub cea corespunzătoare regimului uniform cu o cantitate  $h_f$ . Din acest punct pierderile de energie trebuie să devină mai mici decît în regim uniform, astfel ca linia energetică să tindă asimptotic spre amonte la cea corespunzătoare regimului uniform. Această diminuare a pierderilor energetice nu este posibilă decît printr-o diminuare a vitezei medii la curentului, respectiv o ridicare a nivelului apei începînd din punctul A și o creștere a adîncimii apei pînă la valoarea maximă  $\Delta h_o$  în punctul B' :

$$(B) \quad \Delta E_{\text{do}} = h_f = \Delta h_o - \frac{Q^2}{2g} \frac{B_o}{S_o^3} < 0 \quad (\text{III.1-3})$$

Sînt posibile în acest caz două situații distincte :

a.- dacă  $h_o + \Delta h_o < h_{cr}$ , deci adîncimea apei rămîne mai mică decît adîncimea critică, creșterea se va face lent printr-o curbă de remuu ;

b.- dacă  $h_o < h_{cr}$ , dar  $h_o + \Delta h_o > h_{cr}$  atunci creșterea se va produce printr-un salt hidraulic ondulat, care face ca energia suplimentară  $h_f$  și suprînălțarea maximă să se producă în secțiunea A de la începutul curbei.

Ambele situații sunt ilustrate în figura III.1-1. Avînd în vedere că în teză se studiază albiile largi, cazul fundamental îl constituie cazul 1, corespunzător regimului lent de mișcare, dar se pot întîlni și cazurile 2a și 2b.

Evoluția adîncimii apei în sectoarele curbe ale canalelor și albiilor prezentată este confirmată și de studiile experimentale ale altor cercetători : Altunin S.T., Shuckry A., Rozowski I.L., Muramoto I.A., Gonciarov V.N., Poletaev I.B., etc., ale căror lucrări sunt citate în cadrul bibliografiei. Se reproduce în teză un exemplu caracteristic de evoluție a nivelurilor în curbă, ales dintre rezultatele experimentale ale lui Rozowski I.L. în figura III.1-2.

În ceea ce privește denivelarea  $\Delta h_o$  din sectoarele curbe se vor expune sumar două dintre cele mai utilizate relații folosite pentru aprecierea ei :

a.- relația lui Boussinesq, preluorâtă de Altunin S.T.;

b.- relația lui Müller, preluorâtă de prof.dr.ing.Radu A. Pop.

a.- Relația lui Boussinesq pentru calculul adâncimii medii în curbă  $h_0$ /P-6,p.145/ își are originea în cercetările experimentale efectuate de către Du Buat în 1779. Considerind mișcarea lichidului în curbă ca o reflectare succesivă a curentului de peretele albiei, el a obținut formula pierderii de sarcină în curbă sub următoarea formă :

$$h = 0,0123 V^2 \sum (\sin^2 \varphi) \quad (\text{III.1-4})$$

în care :

$V$  este viteza medie a curentului ;

$\varphi$  - unghiul de incidentă și reflectie.

Pe baza acelorași experiențe ale lui Du Buat, Navier a dedus o formulă pentru pierderea de sarcină care nu mai conține  $\sum (\sin^2 \varphi)$ , introducind în schimb lungimea arcului de curbă  $L$ :

$$h = (0,0039 + 0,001867) \frac{L}{r^2} \frac{V^2}{2g} \quad (\text{III.1-5})$$

In continuare Saint-Venant a pus formula sub o formă specifică pentru calculul conductelor :

$$h = 0,096 \frac{L}{r} \sqrt{\frac{d}{r}} \frac{V^2}{2g} \quad (\text{III.1-6})$$

unde  $d$  este diametrul conductei, iar  $r$  raza de curbură a axei.

Cercetări experimentale referitoare la pierderea de sarcină în curbe a efectuat și Weisbach. Pentru coturile de secțiune dreptunghiulară, care întorc curentul la unghi drept, formula dată de el este :

$$h = [0,124 + 3,104 \left( \frac{B}{2r} \right)^{3,5}] \frac{V^2}{2g} \quad (\text{III.1-7})$$

In formulele citate pînă aici s-a ținut cont doar de lungimea curentului sau de diametrul conductei, fără a se considera forma secțiunii transversale a albiei sau a curentului de lichid. Un sir de alți cercetători, între care Hagen, Dupuit, Darcy și alții s-au îndoit de valorile mari ale rezistențelor, obținute cu aceste formule. Chiar Weisbach a remarcat o scădere a pierderii de sarcină la conductele de diametru mare.

Atenția cercetătorilor a fost concentrată și spre studiul cauzelor rezistenței la schimbarea direcției de mișcare a curentilor. Boussinesq consideră că rezistența la schimbarea de direcție se dătoresc loviturii de berbec care se produce ca urmare a impactului curentului de peretele exterior și provoacă astfel contractarea secțiunii transversale. Asemănător lui Du Buat, însușind rezistența pe lungimea tuturor arcelor curbei, Boussinesq a obținut următoarea formulă :

$$h = \left( \frac{1}{m} - 1 \right) \frac{V^2}{2g} \quad (\text{III.1-8})$$

în care  $m$  este coeficientul de contracție al secțiunii trans-

versale. Ulterior această formulă a fost îmbunătățită de Boussinesq înlocuind /D-1, p.73/ formula Saint-Venant cu aproximăriile  $L/r = L/h_c$  și  $D/r$  cu  $B/r$  unde  $h_c$  este adânoimea medie în curbă.

Ca urmare pierderea de sarcină suplimentară, datorită curburii, pe unitatea de lungime, este :

$$I_1 = \frac{0,096}{2g h_c} \sqrt{\frac{B}{r}} v^2 \quad (\text{III.1-9})$$

În același timp, panta hidraulică pentru un sector rectiliniu de aceeași secțiune este (după Chezy) :

$$I_e = \frac{v^2}{C^2 h_c} \quad (\text{III.1-10})$$

Rezultă că panta hidraulică totală  $I_o$ , într-o albie curbă este :

$$I_o = I_1 + I_e = \frac{v^2}{h_c} \left( \frac{1}{C^2} + \frac{0,096}{2g} \sqrt{\frac{B}{r}} \right) \quad (\text{III.1-11})$$

S-a constatat că la ape mari în cazul rîurilor sau în canale cu pat rigid studiate în laborator, panta hidraulică în curbă ( $I_o$ ) și în aliniament ( $I$ ) sunt aproape egale. Cum aceasta este situația care interesează cel mai mult în practică, se poate scrie :

$$\frac{v^2}{C^2 h} = \frac{v^2}{C^2 h_c} \left( 1 + 0,048 \frac{C^2}{g} \sqrt{\frac{B}{r}} \right) \quad (\text{III.1-12})$$

După simplificări evidente se obține relația :

$$h_c = h \left( 1 + 6 \sqrt{\frac{B}{r}} \right) \text{ unde } 6 = 0,048 \frac{C^2}{g} \quad (\text{III.1-13})$$

Se menționează că pentru niveluri de ape mari și valori ale coeficientului de rugozitate  $n$  bine alese, formula poate da rezultate bune. Pe baza unor observații și măsurători din natură au fost precizate valorile coeficientului  $6$  de către Altunin S.T./A-7/ și sunt date în tabela Nr. III.1-1.

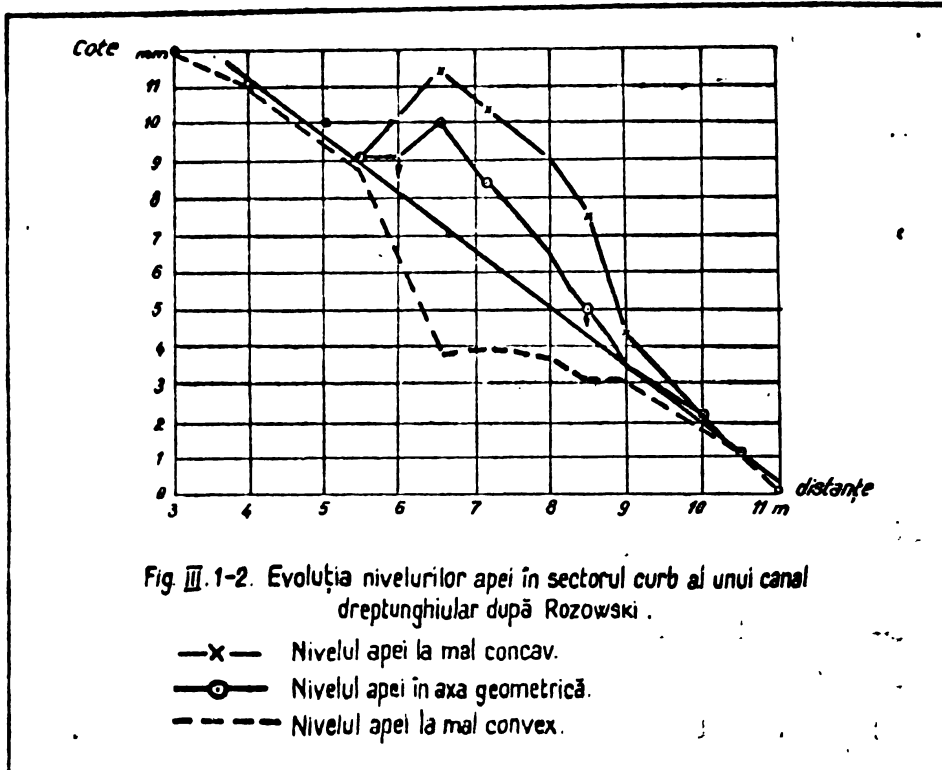
Tabelă Nr. III.1-1

$r/B$	6	5	4	3	2	1,5
6	0,60	0,60	0,65	0,75	0,85	2,0

Experiențele de laborator efectuate pe modele de canale trapezoïdale cu unghiuri de întoarcere ale curentului de  $20^\circ$ ,  $45^\circ$ ,  $70^\circ$  și  $90^\circ$  și cu inclinări ale taluzelor de  $1:0$ ;  $1:1$ ;  $1:2$  și  $1:3$  au confirmat valorile coeficientilor din tabela Nr. III.1-1.

b.- Relația lui Müller /m-12/ preluată de Rau ... op /P-7/ dă denivelarea suplimentară între capetele curbei, rezultând din sporul de pantă necesar, față de pantă în aliniament, pentru transportarea aceluiasi debit (cu păstrarea neschimbătă a celorlalte caracteristici ale albiei) :

$$\Delta Z_c = \frac{\alpha (1 - \cos \theta_{\max}) v^2}{2g} = 0,051 \alpha (1 - \cos \theta_{\max}) v^2 \quad (\text{III.1-14})$$



în care :

$\alpha$  este coeficient care se determină pe cale experimentală ; în lipsa unor determinări se adoptă valoarea  $\alpha = 1$  ;

$\theta_{\max}$  – unghiul de întoarceră al curentului ;  
 $v$  – viteza medie a curentului pe sectorul rectiliniu al albiei.

Notând cu  $L_0$  lungimea curbei și exprimând pe  $\theta_{\max}$  în grade sexagesimale :

$$L_c = 2\pi \frac{\theta_{\max}}{360^\circ} r_0 = 0,0175 \theta_{\max} r_0 \quad (\text{III.1-15})$$

în care  $r_0$  este raza de curbură a axului curbei.

Se poate scrie expresia pantei pe sectorul în curbă :

$$\begin{aligned} I_c &= I + \frac{\Delta Z_c}{L_c} = I + \frac{0,051\alpha(1-\cos\theta_{\max})v^2}{0,0175\theta_{\max}r_0} = \\ &= \left[ 1 + \frac{2,91\alpha(1-\cos\theta_{\max})k^2 h^{4/3}}{\theta_{\max}r_0} \right] I \quad (\text{III.1-16}) \end{aligned}$$

Se introduce factorul de curbă  $\phi$  prin următoarea notație de definiție :

$$\phi = 1 + \frac{2,91\alpha(1-\cos\theta_{\max})k^2 h^{4/3}}{\theta_{\max}r_0} \quad (\text{III.1-17})$$

în care  $k$  este coeficientul de viteză, egal cu inversul coeficientului de rugozitate  $n$ . În domeniul regularizărilor de riuri recurgindu-se de preferință la relația de viteză Manning în care se înlocuiește raza hidraulică cu înălțimea medie  $h$

(în cazul albiilor largi), pornind de la relația Chézy se poate deduce cu ușurință următoarea expresie, frecvent utilizată, a vitezei medii :

$$v = C\sqrt{RI} = \frac{1}{n} h^{2/3} I^{1/2} = k' h^{2/3} I^{1/2} \quad (\text{III.1-18})$$

Relația de mai sus justifică definiția adoptată pentru factorul de curbă.

Se mai menționează relația lui A. Strickler pentru definirea coeficientului de viteză  $k$  direct în funcție de aluviu-nile constitutive ale patului :

$$k = \frac{21}{d_r^{1/6}} \quad (\text{III.1-19})$$

în care  $d_r$  este diametrul de aluviu-ni reprezentative pentru rugozitatea albiei. Notând cu  $d_{50}$  și  $d_{90}$  diametrul ochiului sitelor prin care trece 50%, respectiv 90% din aluviu-nile fundului albiei, diametrul reprezentativ satisfacă inegalitățile :

$$d_{50} < d_r < d_{90} \quad (\text{III.1-20})$$

și în lipsa altor indicații se poate lua aproximativ :

$$d_r \approx 0,75 d_{90} \quad (\text{III.1-21})$$

La aluviu-nile practic omogene ale fundului sau la albi pavate,  $d_r$  se poate echivala cu diametrul  $d_m$  al aluviu-nilor fundului, respectiv al aluviu-nilor din stratul pavant. Existența radicalului de ordinul şase în relația (III.1-19) face ca rezultatele să fie corespunzătoare chiar în cazul unei aprecieri mai puțin exactă a diametrului reprezentativ  $d_r$ .

Se mai face observația că dacă în relația de definiție a factorului de curbă se ia  $\theta_{\max} = 0$  se obține o nedeterminare de tip zero pe zero. Nedeterminarea se poate ridica prin aplicarea teoremei lui L'Hôpital, obținându-se valoarea corectă

$$\lim_{\theta_{\max} \rightarrow 0} \phi = 1 \quad (\text{III.1-22})$$

În urma unor preluorări a relațiilor de mai sus /P-7/ se ajunge la concluzia că în cazul cînd în curbă se modifică cîte un singur element caracteristic al albiei, această modificare respectă una dintre relațiile :

$$\begin{aligned} I_c &= \phi I \\ B_c &= \phi^{1/2} B \\ h_c &= \phi^{1/3} h \\ k_c &= \phi^{1/2} k \end{aligned} \quad (\text{III.1-23})$$

În ipoteza modificării concomitente a mai multor elemente caracteristice ale albiei relația generală exprimănd egalitatea capacitatății de debit pe sectorul în curbă și în aliniament este :

$$k_c B_c h_c^{6/5} I_c^{1/2} = \phi^{1/2} k B h^{6/5} I^{1/2} \quad (\text{III.1-24})$$

In această relație simplificindu-se elementele constante se obține relația căutată între elementele care s-au modificat. În cadrul tezei, în această capitol s-au considerat curbe la care  $I_{5/3}^0 = I^{1/2}$ ,  $B_{5/3}^0 = B$  și  $k_0 = k$  de unde :

$$h_c^{5/3} = \phi^{1/2} h^{5/3} \implies h_c = \phi^{3/10} h \quad (\text{III.1-23'})$$

ceea ce corespunde cu relația respectivă din (III.1-23).

Pentru rezolvarea problemei distribuției vitezelor în curbe, din cele prezentate în cadrul prezentului paragraf, s-a extras și adoptat (în conformitate cu rezultatele experimentale) următoarea variație schematizată a adâncimilor apei în axul geometric al curbei, valabilă pentru cazul curentilor în regim lent :

- creșterea adâncimii începe într-o secțiune transversală din aliniament, situată la distanța  $B/2$  amonte de începutul curbei ;

- adâncimea medie în curbă  $h_c$  s-a calculat cu formula Boussinesq - Altunin și Müller, adaptată de R. Pop ; s-a considerat că ea este atinsă în secțiunea radială  $\theta_1 = \frac{\theta_{\text{lim}}}{k}$  aval de începutul curbei. În ceea ce privește valoarea lui  $k$  s-a adoptat  $k = 4$  ;

- în secțiunea de început a curbei, adâncimea apei este semi-suma adâncimilor din aliniament și din secțiunea radială  $\theta_1$  ;

- în curbă panta longitudinală este aceeași cu cea din sectorul amonte. Aceasta se referă la porțiunea de curbă dintre secțiunea  $\theta_1$  și pînă în secțiunea  $\theta_{n-1}$ , prima secțiune amonte de sfîrșitul curbei :

$$\theta_n = \theta_{\text{max}} ; \quad \theta_{n-1} = \theta_{\text{max}} - (n-1) \frac{\theta_{\text{lim}}}{k} \quad (\text{III.1-25})$$

- într-o secțiune transversală situată aval de sfîrșitul curbei, la distanța  $B/2$ , scăderea adâncimii apei se termină, aici regăsindu-se adâncimea caracteristică sectorului în aliniament ;

- în secțiunea ce reprezintă sfîrșitul curbei, adâncimea apei este semisuma adâncimilor din secțiunea  $\theta_{n-1}$  și din aliniament.

Această schematizare este prezentată în figura III.1-3

Datorită existenței unei adâncimi medii în curbă mai mari decît în aliniament rezultă că viteza medie în curbă va fi mai mică decît în aliniament (dacă lățimea secțiunii este neschimbată). Datorită însă pierderilor suplimentare care apar

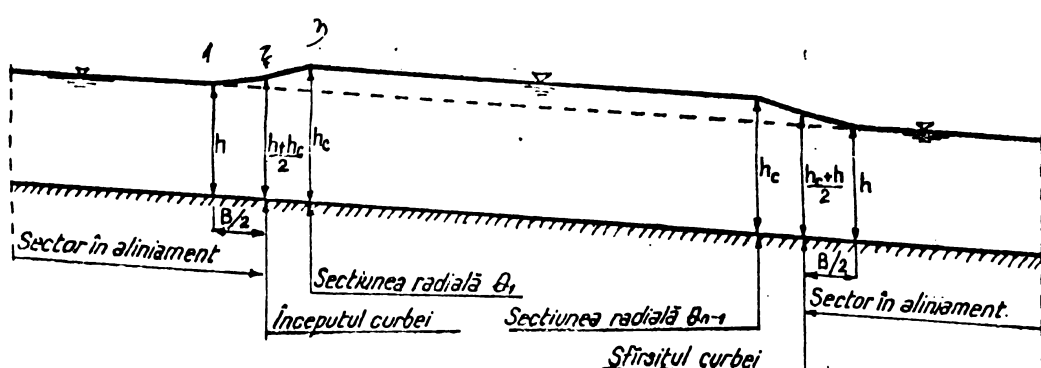
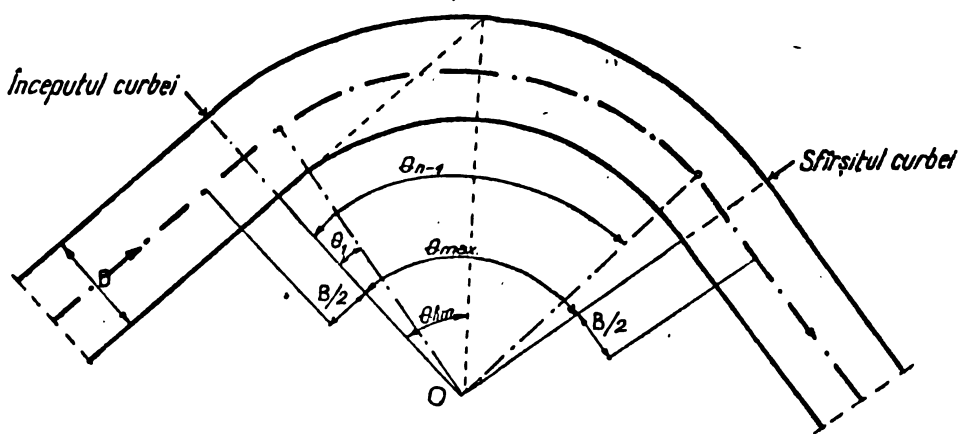


Fig. III.1-3. Schematizarea variației nivelului apei în axul geometric al curbei.

pe sectoarele în curbă comparativ cu sectoarele în aliniament, pierderi datorate curbării firilor de curenț și pierderi datorate variației secțiunii vii (în evoluția albiilor  $B_0 < B$ ), într-o primă aproximatie se poate considera că suma lor este egală cu pierderea de energie în aliniament. Această ipoteză, adoptată de Boussinesq, justifică din punct de vedere energetic și schematizarea adoptată în teză.

Experiența lui Rozowski, prezentată în figura III-1-2 verifică satisfăcător această ipoteză.

In figura III.1-4 se prezintă variația nivelului apei în axul geometric al modelului sectorului de rîu Arges, unde se constată de asemenea o verificare satisfăcătoare și o justificare a ipotezei adoptate.

In acest caz, adâncimea apei în aliniament, în ax, a fost de  $h = 8,4$  cm, în vreme ce adâncimea medie în curbă în ax a fost de  $h_0 = 10,3$  cm. Aplicând relația de calcul a lui Boussinesq se

$$\text{obtine : } h_c = h \left(1 + G \sqrt{\frac{B}{r}}\right) = 13,1 \text{ cm}$$

Cu relația lui Müller - R.Pop se obtine :

$$h_c = \phi^{3/5} h = 9,65 \text{ cm}$$

In tabela Nr. III.1-2 sunt date abaterile măsurătorilor de la calculul teoretic efectuat cu cele două formule prezente anterior.

Tabela III.1-2

	Cu relația		Din date experimen-tale	Diferențe			
	Boussinesq	Müller		$\Delta_B$	%	$\Delta_M$	%
$h_c/h$	1,56	1,15	1,23	+0,33	+26,8	-0,08	-6,5

Din tabel, ca și din figura III.1-4, se deduce aceeași concluzie a justăței ipotezii adoptate.

Calculul diferențelor între valorile teoretice și măsuratoare permite să se tragă concluzia că în acest caz relația lui Müller - R.Pop dă rezultate mai bune (-6,5 %) decât relația lui Boussinesq (+26,8 %) ceea ce era de așteptat având în vedere precizarea din literatura de specialitate conform căreia această ultimă relație se recomandă la niveluri mari de apă.

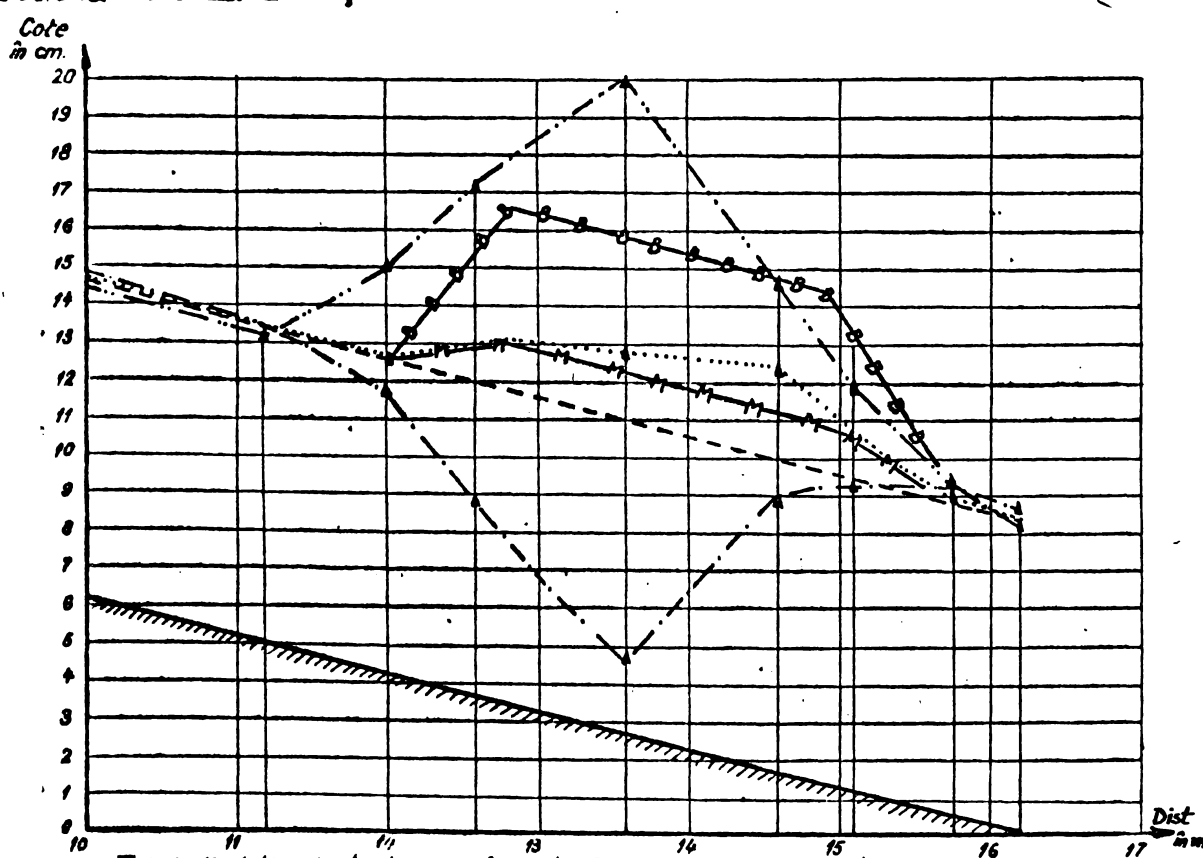


Fig. III.1-4 Evoluția nivelurilor apelor în curba P1-P125 de pe modelul sectorului de riu Argeș  
 --- regim normal în axul curbei; ..... Δ - niveluri măsurate în axul curbei;  
 -·- M - niveluri după Müller în axul curbei; —— niveluri măsurate la mal drept (convex);  
 -·- B - niveluri după Boussinesq în axul curbei; ..... niveluri măsurate la mal sting (concav);

## § 2.- Denivelarea suprafetei libere a apei pe sectoarele în curbă după directia transversală (radială)

### a.- Calculul denivelării transversale

Denivelarea suprafetei libere în sens transversal are loc pe sectoarele în curbă ale curentilor cu față liberă ca efect al acțiunii forțelor centrifuge care apar totdeauna atunci cind există un corp în mișcare pe o traiectorie curbă.

Pe lîngă forță centrifugă care reprezintă cauza denivelării suprafetei libere în sens transversal, pentru explicarea deplină a acestui fenomen mai trebuie avute în vedere și proprietățile fizice ale lichidelor și în primul rînd proprietatea de fluiditate. La gradientii de viteză aproape nuli care apar în zona dinspre suprafața liberă, atît în mișcarea longitudinală principală cît și în mișcarea transversală secundară, apa nu poate prelua tensiuni tangențiale de frecare viscoasă semnificative și în consecință comportarea suprafetei libere este analoagă celui a unui lichid ideal. În consecință, conform ecuațiilor fundamentale Euler, gradientul presiunii nu va avea direcție verticală, iar suprafetele izobare nu vor fi plane orizontale, ci gradientul presiunii într-un punct va avea direcția rezultantei forței gravitaționale și a forței centrifuge care acționează asupra particulei de lichid (care la limită se identifică cu punctul).

Suprafetele izobare vor fi perpendiculare pe acest gradient al presiunii și deoarece suprafața liberă este o suprafață izobară rezultă că ea se va denivela astfel încît în fiecare punct ai ei să fie respectată condiția de perpendicularitate enunțată. Deoarece forțele centrifuge depind de pătratul vitezelor și invers proporțional de raza de curbură, iar vitezele și razele în secțiunea transversală sunt variabile, rezultă că direcția gradientului presiunii va fi variabilă. Consecință este că suprafetele izobare nu mai sunt plane ci sunt suprafete curbe.

In majoritatea litorârilor se reprezintă aproximativ suprafața liberă în curbă sub forma unui plan înclinat. Figura III.2-1 cuprinde o reprezentare schematizată adaptată după /L-3, p.114/.

Forța centrifugă dirijată orizontal spre malul concav care acționează asupra unei particule de masă dm aflată la suprafața liberă a apei, avînd viteză de curent  $\bar{u}_s$ , este dată de relația :

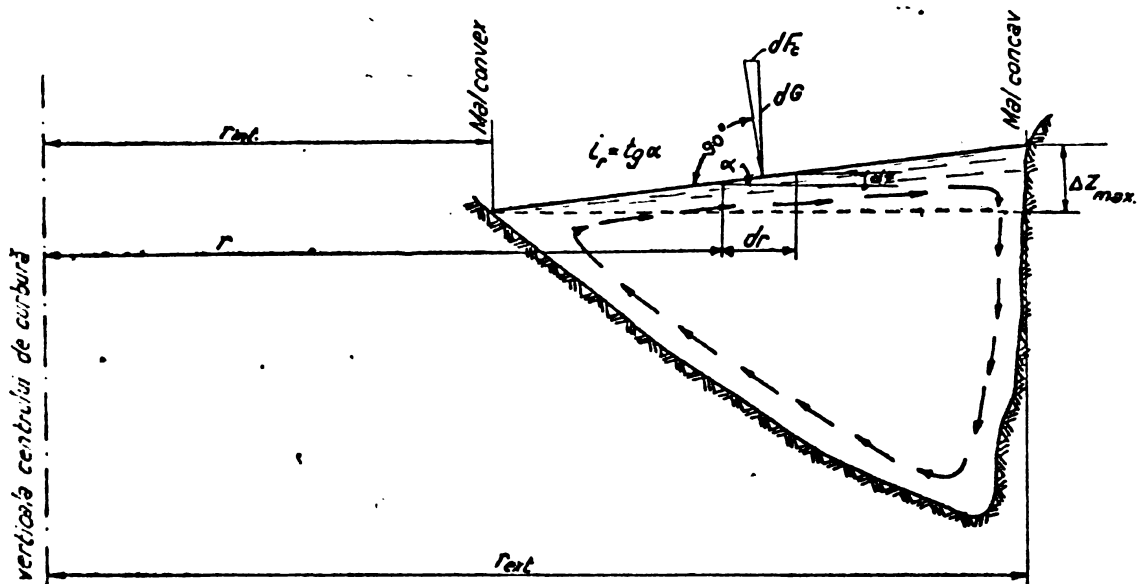


Fig. III. 2-1 Reprezentarea schematică a denivelării suprafeței libere a apei în sectoarele curbe după [L-3]

$$dF_c = \frac{\bar{U}_s^2}{r} dm \quad (\text{III.2-1})$$

în vreme ce greutatea aceleiași particule se exprimă prin :

$$dG = g dm$$

Panta locală a suprafeței libere a apei, se acceptă ca fiind dată de :

$$\tan \alpha = \frac{dz}{dr} = \frac{\bar{U}_s^2}{gr} \quad (\text{III.2-2})$$

Pentru determinarea profilului suprafeței libere sub formă finită este necesară integrarea ecuației diferențiale de mai sus. Această integrală nu se poate însă efectua deoarece nu se cunoaște repartitia vitezei de suprafață  $\bar{U}_s$  în direcția radială  $r$ .

În general pentru a se putea eluciada această dificultate se face o aproximare, înlocuindu-se viteză punctuală  $\bar{U}_s$  printr-o viteză medie de suprafață  $v_s$ . În acest caz, prin integrarea ecuației diferențiale și utilizarea condițiilor la limită se obține ecuația suprafeței libere :

$$z = \frac{v_s^2}{g} \ln \frac{r}{r_{\text{int}}} \quad (\text{III.2-3})$$

Denivelarea totală  $\Delta z_{\text{max}}$  se calculează prin înlocuirea lui  $r$  cu  $r_{\text{ext}}$  în relația de mai sus, obținându-se ţaga numita ecuație a lui Grashof care a fost satisfăcător verificată prin nivelament pe R în :

$$\Delta z_{\text{max}} = \frac{v_s^2}{g} \ln \frac{r_{\text{ext}}}{r_{\text{int}}} = 2,3 \frac{\bar{U}_s^2}{g} \lg \frac{r_{\text{ext}}}{r_{\text{int}}} \quad (\text{III.2-4})$$

Dacă ecuația lui Grashof, care dă denivelarea totală mai poate fi acceptată, deoarece exprimă o mărime globală ce nu

este prea mult afectată de procesul de mediere autoarea consideră că în ceea ce privește variația locală a suprafeței libere, ecuația logaritmică de tipul (III.2-3) poate conduce la erori grosolană, la reprezentări greșite ale fenomenului, inaceptabile chiar pentru acest domeniu al tehnicii.

Intr-adevăr, pe de o parte cercetările experimentale indică în unanimitate că variația vitezelor se schimbă continuu în lungul curbei: în principiu după intrarea în curbă vitezele maxime se apropie de malul convex, pentru ca apoi să se apropie de malul concav. Se redă spre exemplificare, după Shukry A. figura III.2-2, obținută ca urmare a unor cercetări experimentale minuțioase efectuate într-un canal dreptunghiular de lățime 30 cm.

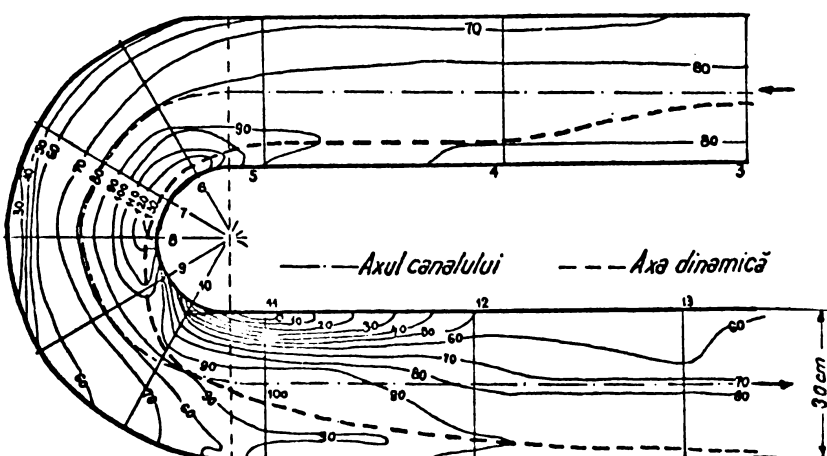


Fig. III.2-2 Repartitia vitezelor într-un canal dreptunghiular după Shukry.

Toți ceilalți cercetători care au fost studiați (Rosenblatt, Zambahidze, Gonciarov, Poletasov etc.) indică în principiu aceeași evoluție a vitezelor maxime, atât pentru maximalele medii ale unei verticale cît și pentru vitezele de suprafață corespunzătoare.

În cadrul cercetărilor efectuate pe modelul unui sector al râului Argeș, model realizat pe platforma Catedrei de la Institutul politehnic Timișoara, s-a constatat că și la albiile rîurilor vitezele maxime de suprafață respectă reguile enunțate pentru canale dreptunghiulare. Reprezentarea cimpului de viteză pe modelul sectorului de rîu Argeș este dată în figura III.2-3, din care rezultă clar că există diferențe mari între vitezele reale de suprafață și o modie a lor.

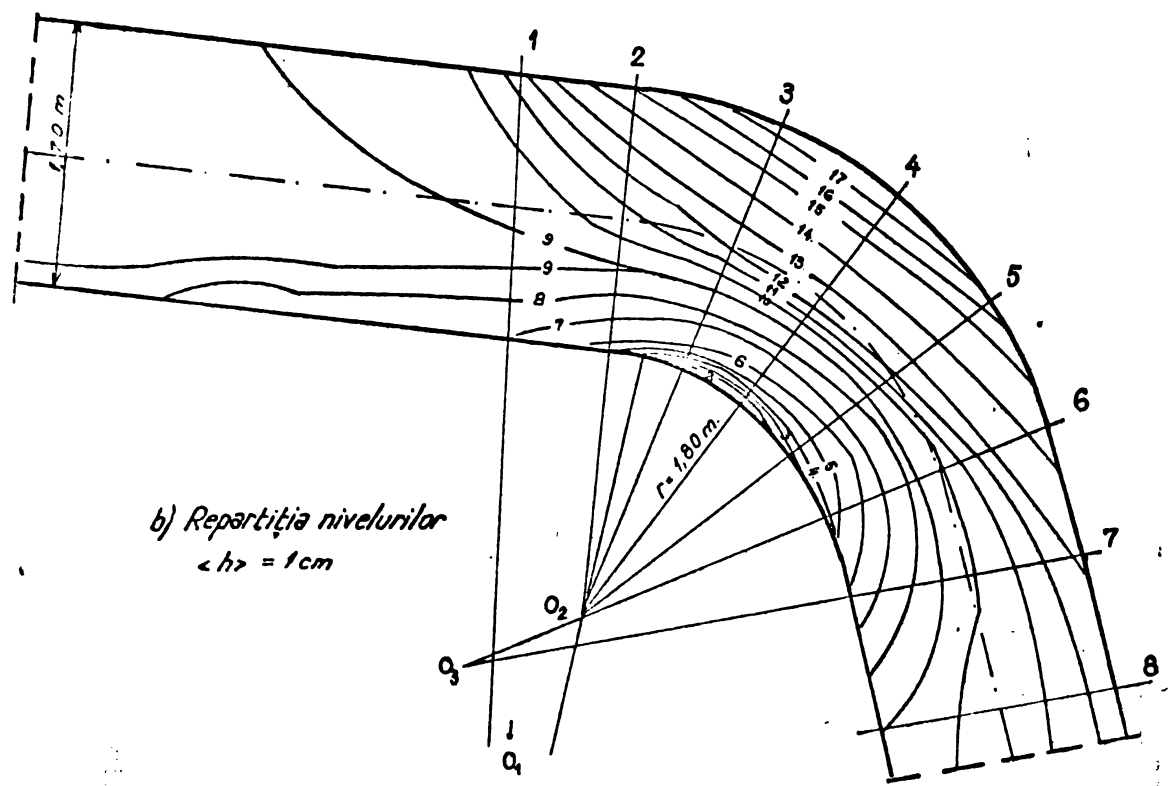
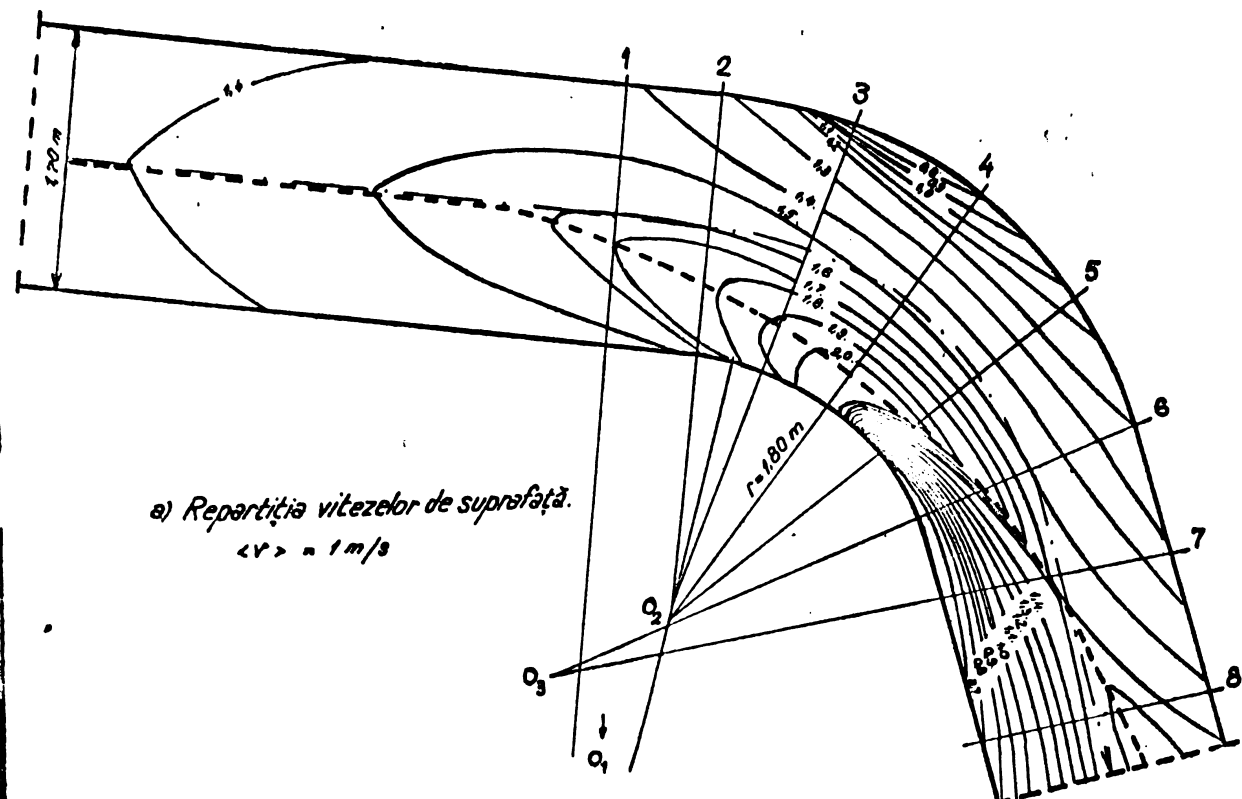


Fig. III. 2-3. Repartitia vitezelor și a nivelurilor în curba  $P_1 - P_{125}$  de pe modelul sectorului de riu Arges.

Pe de altă parte, se poate arăta și teoretic că eroarea făcută prin folosirea ecuației (III.2-3) este inaceptabilă. Astfel, derivând de două ori ecuația suprafeței libere se obțin relațiile :  $\frac{dz}{dr} = \frac{U_s^2}{gr}$ ;  $\frac{d^2z}{dr^2} = -\frac{U_s^2}{gr^2}$  (III.2-5)

Relațiile corecte, respective, obținute prin derivarea relației (III.2-2) sunt :  $\frac{dz}{dr} = \frac{\bar{U}_s}{gr}$ ;  $\frac{d^2z}{dr^2} = \frac{2\bar{U}_s \frac{d\bar{U}_s}{dr} r - \bar{U}_s^2}{gr^2}$  (III.2-6)

După cum se observă, în vreme ce relația aproximativă dă pentru suprafața liberă o curbă convexă (figura III.2-4 a), relația corectă dă curburile variabile, funcție de raportul măriuilor care intervin. Aceasta justifică, după părerea autoarei de căsătorie, exemplu, în cursul /D-1, pg.81/ deși se adoptă aproximarea menționată, suprafața liberă a apei este reprezentată ca în figura III.2-4 b).

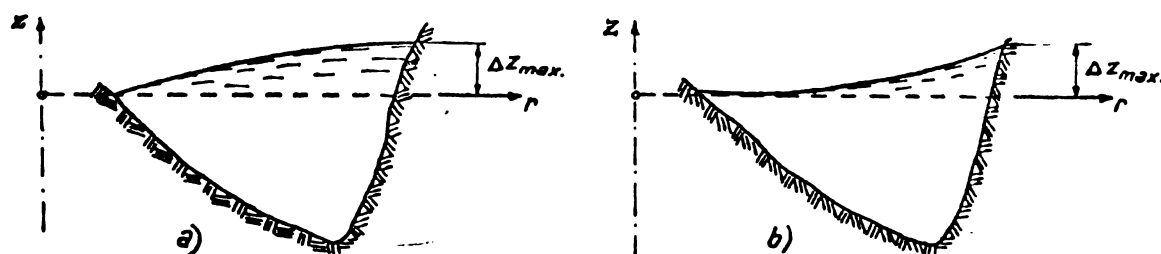


Fig. III.2-4 Reprezentarea suprafeței libere a apei în curbe:  
a) folosind relația aproximativă de calcul;  
b) folosind relația exactă de calcul.

Având în vedere cele de mai sus, în teză nu se acceptă înlocuirea vitezei de suprafață punctuale ( $\bar{U}_s$ ) printr-o viteză de suprafață medie și se lucrează doar cu relația corectă transitorisă, pentru a permite compararea cu rezultatele experimentale, într-o ecuație cu diferențe finite :

$$\Delta z = \frac{\bar{U}_s^2}{gr} \Delta r \quad (\text{III.2-7})$$

Măsurările de viteză se fac la distanțe de centrul de curbură notate cu  $r_i$ , indicile „i” crescînd odată cu depărtarea de centrul de cărbură :

$$\Delta z_{i,i+1} = z_{i+1} - z_i = \frac{\bar{U}_{s,i+1}^2 + \bar{U}_{s,i}^2}{g(r_{i+1} + r_i)} (r_{i+1} - r_i) \quad (\text{III.2-8})$$

b.- Verificarea relației propuse prin date experimentale

Pentru verificarea relației III.2-8 s-au utilizat următoarele materiale cuprinzînd rezultate experimentale :

- măsurători de viteze și niveluri efectuate îngrijit, de Zambahidze, într-un canal de secțiune dreptunghiulară cu lățimea de 56 cm, înălțimea medie a curentului 12,8 cm și curbă de  $180^\circ$ ; datele publicate în /Z-1/, după decesul autorului sunt prezentate în lucrarea respectivă însotite numai de interpretări calitative;

- rezultate experimentale proprii efectuate pe modelul sectorului de râu Argeș model realizat în cadrul catedrei de construcții hidrotehnice și îmbunătățiri funciare a Institutului Politehnic Timișoara, model care s-a remarcat prin variația rezelor de curbură și a lățimilor albiei în cot.

In tabela III.2-1 sunt calculate denivelările transversale înregistrate în canalul experimental de secțiune dreptunghiulară după măsurătorile prezentate în /Z-1, pg. 145/. Măsurările de viteze și niveluri au fost efectuate în cinci verticale situate la 14 cm și 24 cm de ax, precum și în ax. În cadrul preluorărilor secțiunea 4 de la intrarea în curbă a fost eliminată datorită abaterilor mari pe care le prezintă datele experimentale față de cele rezultate din calcul. Aceste abateri mari sunt datorate nivelurilor din verticalele II și III care sunt egale și căderii mari măsurate între verticala III și IV. În celelalte secțiuni au rezultat indicatorii statistici calculați în tabela III.2-1 care variază între limitele :

- valoarea medie a erorii relative :

$$M \left( \frac{\Delta Z_{i_r} - \Delta Z_i}{\Delta Z_i} \right) = +2,90\% \div -0,75\%$$

- abaterea medie pătratică :

$$\bar{\sigma} \left( \frac{\Delta Z_{i_r} - \Delta Z_i}{\Delta Z_i} \right) = 11,46\% \div 2,67\%$$

Media generală a indicatorilor statistici din secțiunile transversale este pentru :

-- valoarea medie a erorii relative :

$$M \left( \frac{\Delta Z_{i_r} - \Delta Z_i}{\Delta Z_i} \right) = +0,91\%$$

- abaterea medie pătratică :

$$\bar{\sigma} \left( \frac{\Delta Z_{i_r} - \Delta Z_i}{\Delta Z_i} \right) = 5,64\%$$

După cum se observă valoarea medie aritmetică a erorii relative este foarte mică ceea ce se explică și în acest caz prin compensarea abaterilor pozitive și negative. Precizia formulei fiind dată de al doilea indicator, poate fi considerată bună.

In figura III.2-5 este prezentat standul experimental al canalului în care s-au făcut măsurătorile de niveluri și viteze /Z-1/.

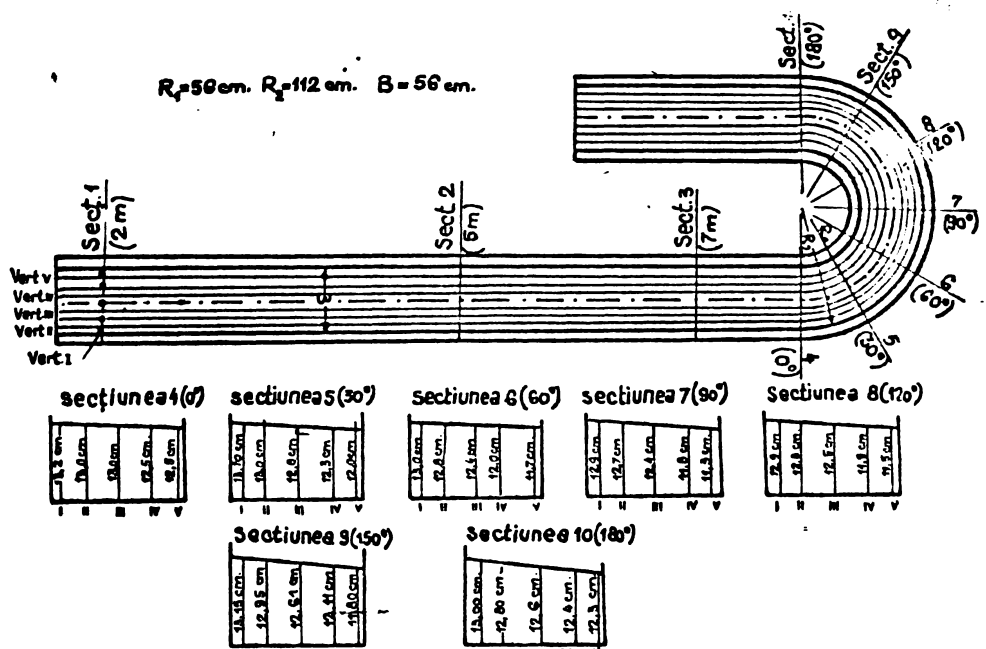


Fig. III.2-5 Situația în plan și secțiunile transversale din curbă cu măsurătorile de niveluri după [2-1]

În tabela III.2-2 sunt calculate denivelările transversale înregistrate pe modelul sectorului de rîu Argeș. Măsurătorile de viteze și niveluri au fost efectuate pe verticală situate la 25 cm depărtare una de alta.

Repartiția vitezelor de suprafață și a nivelurilor respective este dată în figura III.2-3 a și b.

În cadrul prelucrărilor secțiunea 7 (P 126) a fost eliminată deoarece prezintă abateri mari ale elementelor calculate față de cele măsurate, abateri explicaabile prin influența concurbei din aval (care în calcul nu este prinsă. În celelalte secțiuni au rezultat indicații statistice prezente și în tabela III.2-2, care variază între limitele :

- valoarea medie a erorii relative  $M\left(\frac{\Delta Z_i - \bar{Z}_i}{\Delta Z_i}\right) = +4,95\% \div -1,45\%$
- abaterea medie pătratică  $\delta\left(\frac{\Delta Z_i - \bar{Z}_i}{\Delta Z_i}\right) = 12,26\% \div 2,93\%$

Media indicatorilor statistici din secțiunile transversale luate în considerare este pentru :

- valoarea medie a erorii relative  $M\left(\frac{\Delta Z_i - \bar{Z}_i}{\Delta Z_i}\right) = +0,61\%$
- abaterea medie pătratică  $\delta\left(\frac{\Delta Z_i - \bar{Z}_i}{\Delta Z_i}\right) = 6,28\%$

Să în acest caz se observă că valoarea medie aritmetică a erorii relative este mică datorită compensării abaterilor pozitive și negative. Precizia formulei fiind dată de al doilea indicator poate fi considerată bună pentru acest domeniu al tehnicii.

În figura III.2-6 sunt prezentate distribuțiile vitezelor pe verticală în trei secțiuni caracteristice corespunzătoare situației din planul prezentat în figura III.2-3 a și b.

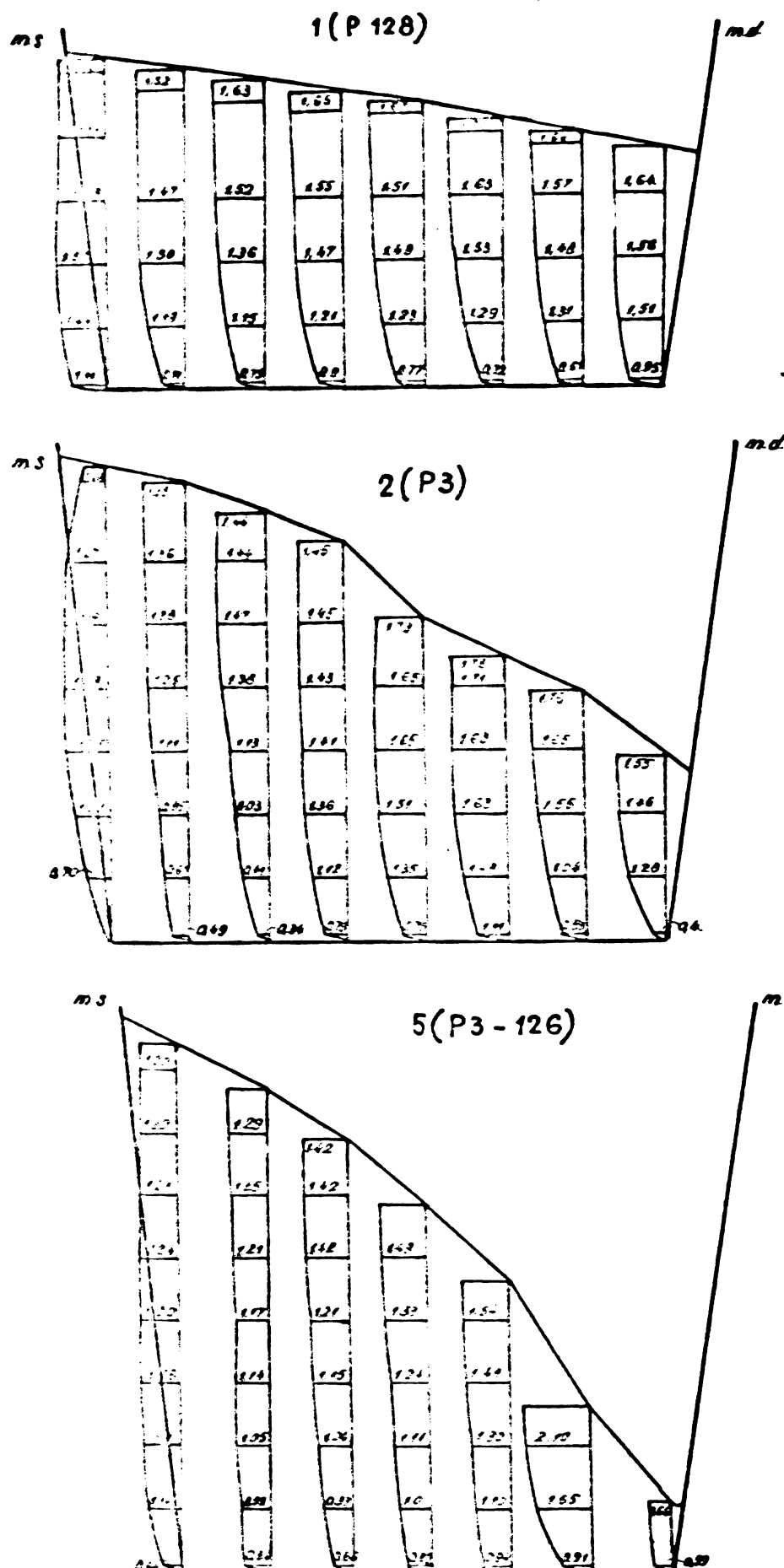


Fig III 2-6. Denivelierea suprafeței libere a apei în curba P1-125.  
a modelului sectorului de riu Argeș: variația nivelerilor în  
secțiuni caracteristice și distribuția vitezei pe verticală.

TABLEL COMPARATIV PENTRU DENSITATELE TRANSVERSALE INTR-UN CANAL  
DE SECȚIUNE DREPTUNGINTULARE (măsurători după Zaubahidze)

$$\langle r_1 \rangle = \langle h_1 \rangle = \langle \Delta z_1 \rangle = 1 \text{ cm} ; \langle \bar{r}_g \rangle = 1 \text{ cm/s}$$

Secțiune	Verticală	R <sub>i</sub>	Date experimentale				Date calculate		
			h <sub>i</sub>	U <sub>g</sub>	U <sub>g</sub> <sup>2</sup>	ΔZ <sub>i</sub>	R <sub>i+1</sub> + R <sub>i</sub>	R <sub>i+1</sub> - R <sub>i</sub>	U <sub>gim</sub> + U <sub>gi</sub>
I	108	-	13,20	38	1444	0,20	206	10	3748
II	98	13,00	48	2304	0,00	182	14	4608	0,361
III	84	13,00	48	2304	0,40	154	14	5003	0,463
IV	70	12,60	52	2704	0,10	150	10	5620	0,440
V	60	12,50	54	2916					

\* Rezultatele din secțiunea 4 nu au fost luate în considerare datorită abaterilor mari înregistrate în secțiunea de început a curbei

Secțiune	Verticală	R <sub>i</sub>	Date experimentale				Date calculate		
			h <sub>i</sub>	U <sub>g</sub>	U <sub>g</sub> <sup>2</sup>	ΔZ <sub>i</sub>	R <sub>i+1</sub> + R <sub>i</sub>	R <sub>i+1</sub> - R <sub>i</sub>	U <sub>gim</sub> + U <sub>gi</sub>
I	108	-	13,10	32	1024	0,10	206	10	2948
II	98	13,00	32	1024	0,20	182	14	2873	0,225
III	84	-	12,80	43	1849	0,50	154	14	4765
IV	70	12,70	54	2916	0,30	130	10	4212	0,329
V	60	12,50	56	1295					

$$\begin{aligned} \text{Valoarea medie a erorii relative } M\left(\frac{\Delta Z_{ir} - \Delta Z_i}{\Delta Z_i}\right) &= +2,90 \% \\ \text{Abaterea medie pătratică } \delta\left(\frac{\Delta Z_{ir} - \Delta Z_i}{\Delta Z_i}\right) &= 11,46 \% \end{aligned}$$

*L*. continuare Tabela III.2.1

Valcarea medie a erorii relative M( $\frac{\Delta \tilde{X}_i - \bar{X}}{\bar{X}}$ ) = 0,00%.

Valoarea medie a erorii relative  $M\left(\frac{\Delta \tilde{x}_{ir} - \Delta \tilde{x}_i}{\Delta \tilde{x}_i}\right) = 6,40\%$

Valcaren's medie a erori relative M( $\frac{\Delta \hat{x}_{fir} - \Delta \hat{x}_i}{\Delta \hat{x}_i}$ ) = + 1,03 %

$$\text{Absterca medie pătratelor} \left( \frac{\Delta x_{ir} - \Delta x_i}{\Delta x_i} \right) = 6.25\%$$

continuare Tabelă III.2-1

Set	Verte sala	r <sub>i</sub>	Date experimentale			Date calculate			$\Delta = \frac{\Delta \bar{z}_{i,T} - \Delta \bar{z}_i}{\Delta \bar{z}_i}$	$\left( \frac{\Delta \bar{z}_{i,T}}{\Delta \bar{z}_i} \right)^2$
			h <sub>i</sub>	$\bar{U}_h^2$	$\bar{U}_h$	$\Delta \bar{z}_i$	r <sub>i+1</sub> + r <sub>i</sub>	r <sub>i+1</sub> - r <sub>i</sub>		
8	I	108	12,90	30	900	0,10	2056	0,102	+0,002	+2,00
	II	98	12,80	21	1156	0,30	182	14	+0,010	+3,33
	III	84	12,50	53	2809	0,60	154	14	-0,015	11,10
	IV	70	11,90	50	3481	0,40	130	10	-0,001	-2,50
	V	60	11,50	44	1600					6,25
									$\Sigma$	0,36
										21,41

Valoarea medie a erorii relative  $M\left(\frac{\Delta \bar{z}_{i,T} - \Delta \bar{z}_i}{\Delta \bar{z}_i}\right) = +0,65\%$ .

Abaterea medie pătrată  $G\left(\frac{\Delta \bar{z}_{i,T} - \Delta \bar{z}_i}{\Delta \bar{z}_i}\right) = 2,67\%$ .

Set	Verte sala	r <sub>i</sub>	Date experimentale			Date calculate			$\Delta = \frac{\Delta \bar{z}_{i,T} - \Delta \bar{z}_i}{\Delta \bar{z}_i}$	$\left( \frac{\Delta \bar{z}_{i,T}}{\Delta \bar{z}_i} \right)^2$
			h <sub>i</sub>	$\bar{U}_h^2$	$\bar{U}_h$	$\Delta \bar{z}_i$	r <sub>i+1</sub> + r <sub>i</sub>	r <sub>i+1</sub> - r <sub>i</sub>		
9	I	108	13,15	42	1764	0,20	2056	10	3880	0,192
	II	98	12,95	46	2116	0,34	182	14	4420	0,346
	III	84	12,61	48	2304	0,50	154	14	5329	0,493
	IV	70	12,11	55	3025	0,31	130	10	3986	0,312
	V	60	11,80	31	961					
									$\Sigma$	-2,99
										21,50

Valoarea medie a erorii relative  $M\left(\frac{\Delta \bar{z}_{i,T} - \Delta \bar{z}_i}{\Delta \bar{z}_i}\right) = -0,75\%$ .

Abaterea medie pătrată  $G\left(\frac{\Delta \bar{z}_{i,T} - \Delta \bar{z}_i}{\Delta \bar{z}_i}\right) = 2,68\%$ .

continuare Tabela III.2-1.

Secți oala	Verti- cala	Date experimentale				Date calculat				$\Delta =$	$\frac{\Delta}{\Delta_{\bar{x}_i}} \cdot 100$ $\left( \frac{\Delta}{\Delta_{\bar{x}_i}} \cdot 100 \right)$
		$r_i$	$h_i$	$\bar{U}_i$	$\bar{U}_i^2$	$\Delta \bar{x}_i$	$r_w + r_i$	$r_w - r_i$	$\bar{U}_{rw} + \bar{U}_{Ai}$		
I	168	13,00	50	2500	0,20	206	10	4021	0,199	-0,001	-0,50 0,25
II	98	12,80	39	1521	0,20	182	14	2610	0,204	+0,004	+2,00 4,00
III	84	12,60	33	1089	0,20	154	14	2113	0,196	-0,004	-2,00 4,00
IV	70	12,40	32	1024	0,10	130	15	1385	0,107	+0,007	+7,00 49,00
V	60	12,30	19	361							
										$\sum$	+5,50 57,25

Valoarea medie a erorii relative  $M\left(\frac{\Delta \bar{x}_{ir} - \Delta \bar{x}_i}{\Delta \bar{x}_i}\right) = +1,62\%$

Abaterea medie patratată,  $\bar{\sigma}^2 \left( \frac{\Delta \bar{x}_{ir} - \Delta \bar{x}_i}{\Delta \bar{x}_i} \right) = 4,36\%$

Media generală a indicatorilor statistici (din secțiunile transversale) :

- Valoarea medie a erorii relative  $M\left(\frac{\Delta \bar{x}_{ir} - \Delta \bar{x}_i}{\Delta \bar{x}_i}\right) = +0,91\%$

- Abaterea medie patratată  $\bar{\sigma}^2 \left( \frac{\Delta \bar{x}_{ir} - \Delta \bar{x}_i}{\Delta \bar{x}_i} \right) = 5,64\%$

TASTI COMPLICATIV PENTRU STAREA DE VELARE TRANSVERSALĂ și LOCALUL SITUAȚIONE DE RIU ARGEȘ

$$S/\Sigma \cap = \langle \frac{g}{\Sigma} \rangle ; \quad \Sigma \cap T = \langle \frac{t}{\Sigma} \rangle = \langle \frac{1}{\Sigma} \rangle = \langle \frac{1}{T} \rangle$$

Výsledná hodnota a její relativní chyba je  
 $\text{Abatence} = \frac{\Delta Z_{\text{fir}} - \Delta Z_{\text{c}}}{\Delta Z_{\text{fir}}} = 10,42\%$

Abaterea medie pătratică  $\bar{G}$  ( $\frac{\Delta Z_{ir} - \Delta Z_{ii}}{\Delta Z_{ir}}$ ) = 10,42 %

Valoarea medie a erorii relative  $\bar{G} = \frac{\Delta Z_{ir}}{\Delta Z_i} = 2,93\%$

$$\text{Assorted acidic patriflora } G \left( \frac{\Delta x_{\text{av}}}{\Delta z_{\text{av}}} \right) = 2,93^{\circ}/\text{。}$$

continuare III-2-2

iect. tico- la	$r_i$	Date experimentale				Date calculate		$\Delta = \frac{\Delta \tilde{Z}_{ir} - 100}{\Delta \tilde{Z}_i} \cdot 100$	$\left( \frac{\Delta \tilde{Z}_{ir}}{\Delta \tilde{Z}_i} - 100 \right)^2$
		$h_i$	$\bar{U}_h$	$\bar{U}_a^2$	$\Delta \tilde{Z}_i$	$r_{ir} + r_i$	$\bar{U}_{A,i} + \bar{U}_{h,i}$		
4	1	1,80	0,020	2,01	4,03	3,85	0,25	8,36	0,053
	2	2,05	0,073	2,08	4,33	0,039	4,35	0,99	0,039
	3	2,30	0,112	1,63	2,56	0,025	4,85	0,25	0,025
	4	2,55	0,137	1,52	2,31	0,018	5,35	0,25	0,25
	5	2,80	0,155	1,38	1,90	0,014	5,85	0,25	0,25
	6	3,05	0,169	1,21	1,46	0,010	6,35	0,25	0,25
	7	3,30	0,179	1,01	1,52	0,005	6,85	0,25	0,25
	8	3,55	0,185	0,85	0,72	0,006	7,35	0,00	0,00
								$\Sigma$	-4,45
								$\Sigma$	130,86

Valoarea medie a erorii relativă  $M\left(\frac{\Delta \tilde{Z}_{ir} - \Delta \tilde{Z}_i}{\Delta \tilde{Z}_i}\right) = -0,63\%$

Abatorul medie pătratică  $b\left(\frac{\Delta \tilde{Z}_{ir} - \Delta \tilde{Z}_i}{\Delta \tilde{Z}_i}\right) = 4,67\%$

5	1	1,80	0,022	0,65	0,43	Date experimentale				$\Delta = \frac{\Delta \tilde{Z}_{ir} - 100}{\Delta \tilde{Z}_i} \cdot 100$
						$h_i$	$\bar{U}_h$	$\bar{U}_a^2$	$\Delta \tilde{Z}_i$	
	2	2,05	0,053	2,10	4,41	0,040	4,35	0,25	5,73	0,040
	3	2,30	0,093	1,54	2,37	0,042	4,85	0,25	4,59	0,024
	4	2,55	0,117	1,49	2,22	0,024	5,35	0,25	4,23	0,020
	5	2,80	0,138	1,42	2,01	0,017	5,85	0,25	3,57	0,016
	6	3,05	0,154	1,29	1,55	0,015	6,35	0,25	2,00	0,015
	7	3,30	0,158	1,20	1,44	0,014	6,85	0,25	3,10	0,03
									$\Sigma$	-8,50
									$\Sigma$	84,13

Valoarea medie a erorii relativă  $M\left(\frac{\Delta \tilde{Z}_{ir} - \Delta \tilde{Z}_i}{\Delta \tilde{Z}_i}\right) = -1,45\%$

Abatorul medie pătratică  $b\left(\frac{\Delta \tilde{Z}_{ir} - \Delta \tilde{Z}_i}{\Delta \tilde{Z}_i}\right) = 4,10\%$

continuare III - 2-2

Sect.	Ver. teca- lo	$r_i$	$h_i$	Date experimentale			Date calculate			$\Delta = \frac{\Delta Z_{ir} - \Delta Z_i}{\Delta Z_i}$	$\frac{\Delta}{\Delta Z_i} 100 \left( \frac{\Delta Z_{ir}}{\Delta Z_i} 100 \right)^2$	
				$\bar{U}_a^2$	$\bar{U}_a$	$\Delta Z_i$	$r_{ir} + r_i$	$r_{ir} - r_i$	$\bar{U}_{ir}^2 + U_{Ai}^2$			
6	1	1,80	0,345	0,50	0,25							
2	2,35	2,354	1,10	1,21			3,35	0,25	1,45			
3	2,30	2,376	1,63	2,65			3,22	4,35	0,25	3,86		
4	2,55	0,102	1,50	2,25			3,26	4,85	0,25	4,90	0,025	
5	2,80	0,125	1,43	2,35			3,21	5,35	0,25	4,30	0,021	
6	3,25	0,140	1,27	1,50			3,17	5,85	0,25	3,57	0,015	-5,88
7	3,20	0,152	1,21	1,35			3,12	5,34	0,25	3,08	0,012	3,00
												$\sum$
												-1,23
												55,20

$$\text{Valoarea medie a erorii relative } M \left( \frac{\Delta Z_{ir} - \Delta Z_i}{\Delta Z_i} \right) = -0,21\%$$

$$\text{Absorția medie fizică } G \left( \frac{\Delta Z_{ir} - \Delta Z_i}{\Delta Z_i} \right) = 3,32\%$$

7	1	2,60	0,073	0,71	0,50							
2	2,85	0,61	1,57	2,78	-0,12	0,45	0,25	3,28	0,15	0,27	+224,5	55,70
3	3,10	0,138	1,49	2,22	0,47	5,95	0,25	5,00	0,21	-0,25	-55,4	356,0
4	3,35	0,115	1,09	1,18	0,08	5,45	0,25	3,40	0,13	0,05	+52,5	390,1
5	3,50	0,140	1,51	2,28	0,24	5,95	0,25	3,46	0,13	-0,11	-45,8	219,0
6	3,23	0,130	1,37	1,87	0,10	7,53	0,33	4,15	0,14	0,24	+24,0	575,0
												$\sum$
												425,8
												1173,51

Sectiunile 7 are cunoscere influențată de curba  
din avan și niveliurile nu corespondă cu calculele

continuare III-2-2

Sectie la	Varico- r	Date experimentale				Date calculate				$\Delta = \frac{\Delta}{\Delta_{i_T}} \cdot 100$	$\left( \frac{\Delta}{\Delta_{i_T}} \cdot 100 \right)^2$
		$h_i$	$\bar{U}_i$	$\bar{U}_i^2$	$\Delta Z_i$	$r_{i+1} + r_i$	$r_{i+1} - r_i$	$\bar{U}_{i+1}^2 + \bar{U}_i^2$	$\Delta Z_{i_T}$		
1	1	15,30	3,074	1,54	2,69	3,005	30,25	5,51	3,005	-2,01	-15,67
	2	15,25	3,085	1,58	2,82	3,004	30,75	0,25	5,71	3,005	+0,01
	3	15,50	3,034	1,70	2,89	3,005	31,25	0,25	5,58	3,005	+25,00
	4	15,75	3,089	1,57	2,79	3,004	31,75	0,25	5,51	3,004	-0,00
	5	15,20	3,023	1,55	2,72	3,004	32,25	0,25	5,38	3,004	-0,00
	6	15,25	3,097	1,53	2,55	3,004	32,75	0,25	4,97	3,004	-0,00
	7	15,50	3,101	1,52	2,31	3,003	33,25	0,25	4,35	3,003	-0,00
	8	15,75	3,104	1,43	2,04					$\Sigma$	+8,33
											953,00

$$\text{Valoarea medie a erorii relative } M \left( \frac{\Delta Z_{i_T} - \Delta Z_i}{\Delta Z_i} \right) = +1,19 \%$$

$$\text{Absoluta medie patratica } \sigma \left( \frac{\Delta Z_{i_T} - \Delta Z_i}{\Delta Z_i} \right) = 12,25 \%$$

### § 3.- Circulația transversală în literatura de specialitate

Cinematica curgerii pe sectoarele în curbă ale canalelor și cursurilor naturale a făcut obiectul a numeroase studii. După date destul de complete și nu prea vechi (1973) prezentate în lucrarea /P-2/ s-au publicat pînă în prezent peste 200 studii importante referitoare la această problemă.

Se pare că fenomenul a fost pentru prima dată cercetat în secolul XVIII de către Du Buat, iar primele experiențe au fost făcute de J.Thomson în 1872, care a dat și o explicație fizică a fenomenului. În aceeași perioadă, primele încercări de a fundamenta teoretic fenomenul circulației transversale a lichidului în curbele curentilor cu față liberă le-a efectuat J. Boussinesq.

Dintre cercetările mai cunoscute se citează de asemenea Navier, Saint-Venant și Weisbach care s-au ocupat de curgerea în curbele conductelor.

De asemenea N.E.Jukovski a studiat fenomenul curgerii apei în curbe.

Conoluiziile acestor studii sunt calitative și pot fi rezumate la următoarele :

- în sectorul rectiliniu al canalului, datorită frecările lichidului de fund se formează fire de vîrtej cu ax orizontal orientată perpendicular pe direcția de curgere ; în sectoarele curbe, datorită faptului că vitezele longitudinale sunt mai mari pe malul convex decît pe malul concav se produce o folinare a firelor de vîrtej. Apar, astfel, forțe de inerție verticale care în mod inevitabil produc apariția circulației transversale, circulație care trebuie să se producă în așa fel încât să egaleze aceste forțe verticale ;

- se consideră în plus ipoteza că pentru curgerea pe sectoarele curbe este valabilă legea ariilor a lui Kepler  $V_r = \text{constant}$ ,  $V$  fiind viteza medie pe verticală și  $r$  raza de curbură a verticalei respective.

Pe de altă parte, dacă apa ar fi un lichid perfect ideal atunci în sectorul curbo ar fi valabilă legea de distribuție de la vîrtejul plan cu axa în centrul de curbură ceea ce conduce la aceeași lege a ariilor.

În studiul /m-9/ în care obiectul principal a fost determinarea domeniului de apă moartă în curbele brusete ale ca-

nalelor de secțiune dreptunghiulară, s-a ajuns la concluzia că distribuția vitezelor poate fi acceptată după legea ariilor. Dindu-se o mare importanță creșterii presiunii pe malul concav în fenomenul apariției circulației transversale, nu s-a ținut seama de neuniformitatea distribuției vitezelor pe verticală. Insuficiența esențială a experiențelor lui Milovici a constat în faptul că la valori relativ mari ale raportului  $B/h_{\max}$  numerele Reynolds au fost mici, iar regimurile erau foarte apropiate celei laminare.

Un studiu important pentru explicarea corectă a fenomenului circulației transversale este /D-2/, în care s-a ajuns la concluzia că intensitatea circulației transversale se găsește în dependență directă de gradul de neuniformitate al distribuției vitezelor după verticală în secțiunea de intrare în sectorul curb și în dependență directă de raza de curbură. De asemenea Dementier a ajuns la concluzia că pentru mișcarea lichidului în curbe, dependența de tipul legii ariilor nu este universală și este de așteptat că distribuția vitezelor longitudinale să fie altă.

În lucrarea /M-10/, plecând de la ecuațiile mișcării turbulente și făcând ipoteza despre valoarea relativ mică a vitezelor radiale ( $w_r$ ) și verticale ( $v_z$ ) în raport cu viteza longitudinală ( $\bar{U}$ ), într-o albie relativ lată ca și ipoteza despre simetria axială a curentului, Maccareev a obținut următoarea ecuație cu derivate parțiale :

$$\frac{\bar{U}^2}{r} = +g I_r - \frac{\partial}{\partial z} \left( \frac{A}{\varrho} \frac{\partial w_r}{\partial z} \right) \quad (\text{III.3-1})$$

unde :

$I_r$  este panta transversală ;

$A$  – coeficient, având dimensiuni de vîscozitate dinamică ;

$\varrho$  – densitatea lichidului ;

$g$  – accelerația gravitațională.

Această ecuație permite de a defini componenta radială a vitezei dacă este cunoscută legea de repartiție a vitezei longitudinale după verticală și panta transversală ; afară de aceasta trebuie făcute ipotezele corespunzătoare referitoare la coeficientul vîscozității turbulente  $A$ .

Utilizarea circulației transversale, artificial creată, la proiectarea construcțiilor de captare și la corectarea albiei se datoră lui Potapov și elevilor săi /P-3/.

Soluția teoretică a problemei circulației transversale

pe sectoarele în curbă a fost dedusă la început fără considerarea forțelor născute pe seama formării pantei transversale. Dependența obținută astfel pentru calculul lui  $w_r$  nu este bine verificată de experiențe /D-3/ și după cum a arătat autorul constituie doar o primă aproximare în rezolvarea problemei. Mai Irziu Potapov a ținut seama de forțele centrifuge și a ajuns la o ecuație de același tip ca și MacCayeev.

Numerouse cercetări experimentale a efectuat M.P.Kojevnikov în canale de secțiune dreptunghiulară ( $B = 80$  cm,  $h = 2-10$  cm și unghiuri de întârziere a curentului pînă la  $180^\circ$  cu  $r_0/B = 1-2$ ) și mai puțin în albii de secțiune triunghiulară /K-1/. În aceste experiențe s-au măsurat vitezele longitudinale, forma suprafeței libere, dar nu s-au făcut măsurători de viteze radiale, viteze care au fost studiate doar pe cale teoretică.

Iușmanov /I-2/ a dat o soluție simplificată considerind forțele care acționează asupra particulei elementare de lichid în direcția radială de forma :

$$dF_r = \left( \frac{U}{r} - \frac{V^2}{r} \right) dm \quad (\text{III.3-2})$$

Termenul din paranteză este totuși accelerata căpătată de particula de lichid în direcție radială, care poate fi exprimată prin intermediul vitezei radiale :

$$a_r = \frac{dW_r}{dt} = \frac{dW_r}{dr} \frac{dr}{dt} = \frac{dW_r}{dr} W_r = \frac{d}{dr} \left( \frac{W_r^2}{2} \right) \quad (\text{III.3-3})$$

Din aceste două relații, utilizând pentru distribuția pe verticală a vitezelor o relație de forma :

$$U = \bar{V} f(\xi); \quad \xi = \frac{z}{h}; \quad z = \text{distanță de la fund} \quad (\text{III.3-4})$$

se poate scrie :

$$\frac{d}{dr} \left( \frac{W_r^2}{2} \right) = \lambda \frac{\bar{V}^2}{r} [f(\xi) - 1] \quad (\text{III.3-5})$$

unde  $\lambda$  este după Kojevnikov un "multiplicator" care ține seama de variația grosimii stratului elementar transversal al curentului în lungul lui  $r$ . După cum se observă, în studiul inițial metoda lui Kojevnikov pleacă de la o schematizare simplă și intuitivă a fenomenului. Totuși, pînă la obținerea dependențelor finale se mai utilizează :

- o ipoteză relativă la constanța legii de distribuție a vitezei medii verticale pe lățimea curentului, această legă fiind dată sub forma :

$$\bar{V} = \frac{C}{\sqrt{r}} \quad C = \text{constantă} \quad (\text{III.3-6})$$

- o ipoteză referitoare la faptul că toate particulele de apă se mișcă în direcție radială în plane orizontale ;

- unele simplificări forțate ale fenomenului.

În acest fel se obține o cunoștință generală determinarea

mărimii vitezelor radiale în primă aproximare după care se trage pe baza unei noi schematizări a fenomenului și a unor procedee artificiale la determinarea componentelor verticale ale vitezei  $v_z$  și se construiesc traectoriile mișcării particulelor de lichid în planul coordonateelor axelor  $r$  și  $z$ , după care se indică modul de a defini viteză radială în a doua aproximare.

Se poate aprecia că metoda lui Kojovnicov pentru calculul circulației transversale este grooasă, ipoteza despre caracterul distribuției vitezelor longitudinale în raport cu lățimea cuprinsă în relația (III.3-6) nu se verifică în cazul general ceea ce rezultă chiar din experiențele autorului citat; în fine se folosesc procedee artificiale a căror justitate nu este verificată experimental.

Experiențe interesante și de mare finețe, făcute într-un canal de secțiune dreptunghiulară de  $B \times h = 30 \times 40$  cm, sănătate prezentă în lucrarea /S-4/. În cadrul experiențelor s-a studiat influența asupra curgerii apei în curbe a următorilor factori:

- numărul Reynolds a variat în limitele  $4 \cdot 10^4 \leq Re \leq 10^5$ ;

- razele relative de curbură în limitele variației  $0,5 \leq r_0/B \leq 3,0$ ;

- lățimile relative  $\beta = B/h$  în limitele variației  $0,835 \leq B/h \leq 1,670$ ;

- unghiiurile de întoarcere a curentului în limitele variației  $0^\circ \leq \theta \leq 180^\circ$ .

Cu ajutorul unor sonde Pitot de construcție specială, sferică, s-au măsurat toate cele 3 componente ale vitezei și s-a calculat "forța mișcării elicoidale" definită ca raport între energia cinetică medie a curentului de lichid în planul axelor  $z$  și  $r$  și energia cinetică generală a curentului.

Au rezultat următoarele concluzii:

- cu creșterea valorilor parametrilor  $Re$ ,  $1/\beta$  și  $r_0/B$ , "forța mișcării elicoidale" scade; creșterea acestei forțe pe lungimea curbei se produce doar pînă la secțiunea ce face un unghi de întoarcere de  $135^\circ$  cu direcția inițială a curentului;

- la raportul  $r_0/B < 2$  se produce desprinderea curentului de peretele convex, punctul de desprindere dopându-se spre aval odată cu creșterea numărului Reynolds;

- coeficientul pierderii de sarcină calculat doar pentru sectorul în curbă scade împroună cu scăderea "forței mișcă-

rui elicoidele";

- repartitia vitezelor longitudinale pe lățimea canalului în secțiunea inclinării maxime a suprafeței libere se supune legii ariilor; la  $r_0/B = 3$  influența curburii devine neglijabilă.

Experiențele bine concepute ale lui Shuckry au prezentat însă două lipsuri esențiale care atrag după ele anumite rezerve în ceea ce privește valabilitatea concluziilor formulate și anume:

- lungimea relativ mică a sectorului rectiliniu amonte ( $l_{am}/B/h = 1$ ,  $l_{am}/h = 13$ );

- existența în sectorul rectiliniu din amonte a unei puternice mișcări elicoidele a curentului datorată condițiilor necorespunzătoare de la intrarea în canal. În unele situații, această circulație inițială de sens opus sensului obisnuit al circulației în curbă a fost atât de puternică încât s-a anihilat doar la sfîrșitul curbei.

Un mare volum de cercetări teoretice și experimentale asupra fenomenului de curgere a lichidului în curbe se datează lui Rozovskii /R-3/ și /R-4/. În final el a obținut o dependență destul de simplă pentru calculul vitezei radiale în domeniul central al curentului, în care se poate neglija influența peretilor laterali ai canalului:

$$\frac{w_r}{V} = \frac{1}{\partial \theta} \frac{h}{r} [F_1(\xi) - \frac{\sqrt{g}}{\partial \theta C} F_4(\xi)]; \quad \xi = \frac{z}{h} \quad (\text{III.3-7})$$

în care  $F_1$  și  $F_4$  sunt funcții date de autor sub formă grafică.

În cadrul cercetărilor experimentale au fost determinate componentele longitudinale și transversale ale vitezei, ultimile prin măsurarea unghiului pe care un fir de mătase (care se orientează după direcția vitezei rezultante) îl face cu tangentei la axa canalului. Cercetările lui Rozowski au urmărit să stabilească și concluzii calitative referitoare la influența asupra circulației transversale a razei de curbură ( $B \leq r_0 \leq 2,5 B$ ), a lățimii relative a curentului ( $5 \leq B/h \leq 25$ ), a rugozității fundului ( $C = 30$  și  $\theta = 60^\circ$ ) și a formei secțiunii transversale. Experiențele au indicat că la creșterea adâncimii pînă la o valoare limită are loc o creștere a circulației transversale, în timp ce o creștere ulterioară a adâncimii conduce la o mică scădere a vitezelor radiale. În ceea ce privește dependența vitezelor radiale de coeficientul de rezistență Chezy ca este

neglijabil de mică.

În lucrarea /A-6/ sunt prezentate interesante cunoșteri teoretice referitoare la circulația transversală în curbe atât în cazul conduitelor cât și al curentilor cu față liberă în albia de secțiune dreptunghiulară și triunghiulară, în cazul considerării unor legi diferite de repartitie a vitezelor longitudinale după verticală. Relațiile teoretice sunt însă insuficiente verificate experimental.

Un apoi la cunoșterea fenomenului curgerii în curbele 1-a adus și Velicanov /V-1/ care a analizat calitativ circulația transversală, a propus o dependență proprie pentru calculul componentelor radiale ale vitezelor și a studiat forma suprafeței libere a curentului pe sectoarele în curbă.

O relație deosebit de simplă pentru distribuția pe verticală a vitezei radiale a fost dată în lucrarea /G-2, p. 149/. Plecind de la ipoteza lichidului ideal, a cărui curgere se face cu conservarea energiei și de la ipoteza că particula lichidă, în mișcarea în curbă are vectorul vîrtej  $\vec{\omega} \neq 0$ , rezultă că ecuația de mișcare Gromeko-Lamb este satisfăcută dacă  $\vec{\omega} \parallel \vec{U}$ . Considerind că în secțiunea axială componenta verticală a vitezei depinde doar de cota  $z$  se obține următoarea expresie (care poate fi considerată doar ca o primă aproximatie) :

$$\frac{w_r}{v} = \frac{\alpha h}{r_0} \left( \frac{2z}{h} - 1 \right) \quad (\text{III.3-8})$$

unde :

$r_0$  este raza de curbură a axei curentului ;

$\alpha$  - constantă care pentru verticala axială ia valori mici la intrarea și ieșirea în curbă și atinge valoarea maximă, egală cu 3 pînă la 5, la distanță unghiulară de începutul curbei egală cu  $(0,3 - 0,5)\pi$ . Constanta  $\alpha$  se va schimba și pe lățimea albiei, deși în lucrarea citată nu se dau indicații asupra modelului concret în care se produce această schimbare. Importantă este concluzia autorului că la o distanță unghiulară de  $(0,7 - 1,0)\pi$  de începutul curbei, vitezele circulației transversale scad pînă la valoarea zero. Din acest motiv, la unghuri de întoarcere a curentului mai mici de  $0,7\pi$  circulația dispare chiar de la ieșirea în sectorul rectiliniu.

În lucrarea /P-5/ se propune, pe baza unor verificări experimentale, că în curbe lungi, pentru două verticale ale aceluiasi curent, să se folosească relația pentru vitezele radiale:

$$\frac{w_{r4}}{w_{r2}} = \sqrt{\frac{r_1}{r_4}} \quad (\text{III.3-9})$$

Se menționează că relația propusă se referă doar la albișii înguste.

Dacă vitezele se referă la doi curenti de lățimi diferențite atunci relația de mai sus devine :

$$\frac{W_{r_1}}{W_{r_2}} = \sqrt{\frac{r_2 \cdot B_1}{r_1 \cdot B_2}} \quad (\text{III.3-10})$$

Se menționează de asemenea experiențele lui Prus-Chański /P-4/ în care, s-a urmărit influența puternică pe care o are o circulație inițială în secțiunea de intrare asupra intensității circulației în curbe și dependența importantă a direcției firelor de curent de la fund de rugozitatea fundului și din numărul lui Reynolds. Este vorba de faptul că unghiul de înclinare  $\alpha$  al firelor de curent de la fund față de tangentă la axa canalului crește cu scăderea numărului Re în canalul neted și de asemenea crește cu scăderea coeficientului Chezy în canalul rugos. Se observă că ultimul rezultat nu coincide cu datele lui Rozowski care a obținut atât la experiențele cu  $C = 60$  cît și în cele cu  $C = 30$  relația unică :

$$tg \alpha = (11,0 \div 11,5) \frac{h}{r} \quad (\text{III.3-11})$$

G. I. Zambahidze /Z-1/, după programul întocmit împreună cu conducătorul său științific Danelia a studiat în detaliu pe cale experimentală influența raportului  $h/B$ , a numărului Re și a rugozității albiei asupra direcției curentilor de fund și de suprafață ; de asemenea a studiat mișcarea curentilor de fund și de suprafață ; de asemenea a studiat mișcarea aluvionilor de fund de diferite dimensiuni și greutăți specifice, în curbele canalelor dreptunghiulare la parametrii  $r_o/B = 1,5$  ;  $\theta = 180^\circ$ ;  $B = 56$  cm.

S-a stabilit că traectoriile curentilor de fund devin mai curbată la creșterea adâncimilor relative și a rugozității albiei și la micșorarea vitezei medii a currentului. În ceea ce privește curentii de suprafață cu creșterea lui  $h/B$  și se deparează tot mai mult de malul concav. În ceea ce privește rezultatele referitoare la influența dimensiunilor și a greutății specifice a aluvionilor (realizate sub formă de bile) s-a stabilit că, cu mărirea diametrului bilelor și a greutății lor specifice traectoriile lor să fie îndreaptă, devenind mai puțin sinuoase. O concluzie importantă este că relativ la creșterea substanțială a vitezei de deplasare a bilelor de diametru mai mic, în curbe în comparație cu viteza lor în porțiunile rectilinii ale canalului.

În lucrările /L-1/ și /L-2/ s-a făcut o analiză a influ-

enței pe care o are asupra neuniformității repartiției vitezelor longitudinale pe lățime parametrul  $\lambda B/h$  ( $\lambda$  fiind coeficientul de rezistență de tip Darcy al albiei). Utilizând rezultatele experimentale pe modele cu aer ca și rezultatele experimentale ale lui Kojevnicov, Shuckry și Rozovski, cercetătorii au stabilit că cu creșterea parametrului indicat neuniformitatea repartiției vitezelor scade la o valoare limită, dependentă de  $r_0/B$  după care rămâne constantă. În ceea ce privește concluzia cercetătorilor privind faptul că repartiția vitezelor cu lățimea poate fi descrisă de o formulă de tipul :

$$V = \frac{C}{r^n} \quad (\text{III.3-12})$$

în care  $n$  este funcție de parametrul  $\lambda B/h$  și variază între limitele 0,5 la 1, această concluzie contravine rezultatelor experimentale ale majorității celorlalți cercetători și nu poate fi luată în considerare. De exemplu, în conformitate cu rezultatele experimentale prezentate în lucrarea /I-3/ exponentul  $n$  din formula de mai sus la curbe strîmte devine negativ. Rezultatul la care au ajuns cei doi cercetători poate fi explicat prin faptul că experiențele s-au făcut doar pentru curbe brûște, cu raport de mici  $r_0/B$ . În asemenea curbe neuniformitatea repartiției vitezelor pe lățimea albiei este determinată mai mult de refacerea ciupului vitezelor la intrarea în curbă și la ieșirea din ea și în mai mică măsură de circulația transversală din curbă.

Un alt aspect nefavorabil îl constituie faptul că la studiul influenței curbei, cei doi cercetători utilizează viteze relative de forma  $\bar{V}_{\text{curb}}/v$  ( $\bar{V}_{\text{curb}}$  = viteza medie pe verticală în curbă,  $v$  = viteza medie pe întreaga secțiune) în timp ce ceilalți cercetători utilizează viteze relative de forma  $V_{\text{curb}}/V_{\text{aln}}$  ( $V_{\text{aln}}$  = viteza medie pe verticală în aliniament). Considerarea raportelor  $\bar{V}_{\text{curb}}/v$  nu evidențează modul specific în care epura vitezelor este deformată în curbă.

O importantă lucrare în cadrul căreia s-au făcut de asemenea experiențe deosebit de îngrijite, utilizîndu-se tuburi Pitot sferice aparținere cercetătorului japonez Y. Muramoto /M-11/. S-au măsurat toate cele trei componente ale vitezei în canalet de secțiune dreptunghiulară ( $B = 50$  cm,  $h = 5,17 - 5,45$  cm) cu curbură  $r_0/B = 1,5 - 3$ , după care s-au calculat cele trei componente ale vîrtejului în coordonate cilindrice :

$$\omega_r = \frac{\partial w_r}{\partial z} - \frac{\partial v_z}{\partial r}$$

$$\omega_r = \frac{1}{r} \frac{\partial v_z}{\partial \theta} - \frac{\partial v_\theta}{\partial z} \quad (III.3-13)$$

$$\omega_z = \frac{1}{r} \frac{\partial(rv_\theta)}{\partial r} - \frac{1}{r} \frac{\partial v_r}{\partial \theta}$$

Caraotul variaieei componentelor  $\omega_\theta$  și  $\omega_r$  în lungul curbei, prezentate în figura (III.3.1) a permis autorului de a împărți întreaga lungime a curbei în scotoare, din care primul (de ex. de

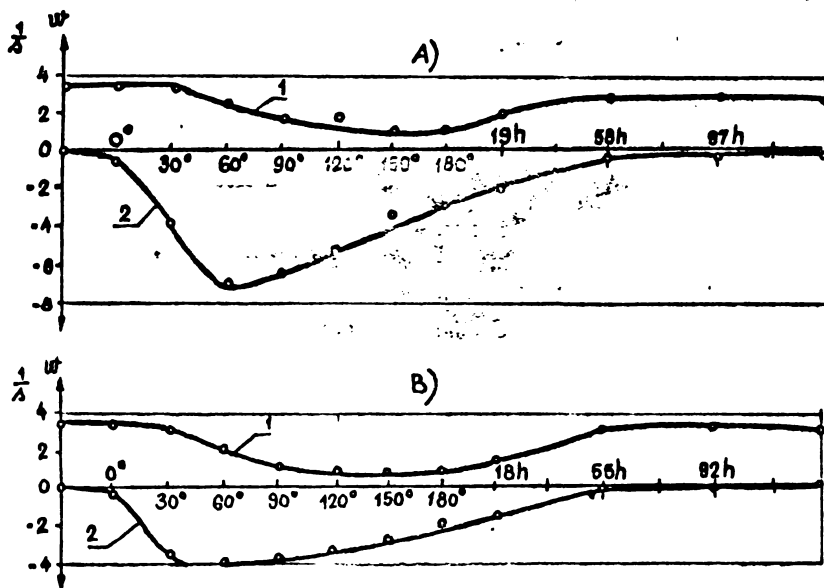


Fig. III.3-1 Variatia de-a lungul curbei a componentelor vectorului  $w$

$$1) \omega_r \equiv \frac{\partial v_\theta}{\partial z}; \quad 2) \omega_\theta = \frac{\partial v_r}{\partial z}$$

$$A) r_{01} = 1.58; \quad B) r_{02} = 3.8$$

la  $0^\circ$  la  $60^\circ$ ) a fost numit sectorul formării circulaiei secundare (împărțire de care se ține cont și în teză). Considerind în acest sector că repartiția vitezei pe lățimea albiei se face după legea arilor, iar pe verticală după legea logaritmică, utilizând și ecuația vîrtejurilor a lui Helmholtz, se obține ecuația diferențială :

$$\frac{\partial \omega_\theta}{\partial \theta} = -2 \omega_r \quad (III.3-14)$$

Neglijind componenta verticală a vitezei  $v_z$  și componenta radială a frecării de fund, efectuind integrarea după  $\theta$  și  $z$  și punind condiția unui debit rezultant nul în direcția radială, s-a obținut în final următoarea relaie pentru determinarea vitezei radiale :

$$\bar{w}_r = \frac{2 v_z}{\rho e} \theta (1 + \ln \xi) \quad (III.3-15)$$

Verificările experimentale au indicat o concordanță bună cu rezultatele teoretice ale lui Yamamoto pentru sectorul de

început al curbei.

Înseroind să se extragă unele concluzii în ceea ce privește circulația transversală se constată că toate formulele existente în prezent pentru definirea lui  $w_r$ , cu excepția acestora propuse de Kojevnicov și de Muramoto, sunt obținute pe baza ecuației diferențiale de tip (III.3-5) de aceea toate au forma:

$$w_r = \bar{v} \frac{h}{r} f(\xi) \quad (\text{III.3-16})$$

Functia  $f(\xi)$  este complet definită de legea considerată pe traiectoria vitezei  $\bar{v}$  după verticală.

Dintre ipotezele simplificatoare utilizate, cele referitoare la :

- tensiunile turbulentе în direcție radială ;
- simetria axială a curentului ;
- invariabilitatea epurării de repartiție a vitezelor longitudinale pe verticală în curbe, sunt cele mai discutabile.

După cum au arătat experiențele lui Rozowski, repartiția vitezelor longitudinale după verticală, pe sectoarele în curbă, diferă mult de aceea de pe sectoarele rectilinii : la malul concav, de exemplu, viteză la o orăcare depărtare de fund e mai mare decât viteză de suprafață.

Utilizarea diferitelor legi pentru viteză  $\bar{v}$  dă dependențe curențial diferențiale ale vitezei radiale de coeficientul Chézy, respectiv de rugozitatea patului. Astfel după formula logarithmică a lui Rozowski dependența vitezei radiale de  $C$  este mică, după datele experimentale la  $C = 30$  și  $C = 60$  repartițiile vitezei  $w_r$  pe verticală sunt aproape identice cu excepția domeniului de fund, unde  $w_r$  se măsoarează într-o măsură cu creșterea rugozității.

O altă observație de făcut este aceea a lipsei unor recomandări privind limitele de utilizare a expresiilor de tip (III.3-7). Cum au arătat experiențele lui Zambahidze, cu creșterea adâncimii curentului, viteza radială crește într-o măsură importantă doar în straturile de fund ale curentului. La suprafață aceste viteze cresc într-o măsură mai mică și doar pînă la o limită determinată a lui  $h$  ( $h_{\lim} \approx 0,06 r_0$ ), după care chiar scad.

Pe de altă parte în experiențele lui Rozowski s-a observat o tendință de scădere atît la suprafață cît și la fund a vitezelor radiale cu creșterea adâncimii peste o adâncime limită ( $h_{\lim} \approx 0,1 r_0$ ). Este interesant de remarcat că atît la unele experiențe cît și la celelalte s-a îndeplinit relația  $h_{\lim} \approx 0,1 B$ .

§ 4.- Relație propusă pentru distribuția vitezei radiale

a.- Deducerea relației

În vederea propunerii unei relații pentru distribuția pe verticală a vitezei radiale care să aibă un suport logic se adoptă în primă fază o schematizare a circulației transversale. Astfel, proiecția pe un plan normal direcției longitudinale de curgere (plan radial) a unui fir lichid în mișcarea reală, elipsoidală, va fi reprezentată printr-o curbă închisă reprezentând axa firului. Având în vedere faptul că secțiunea vie este largă ( $B \gg h$ ) rezultă că secțiunea orizontală prin care trece curentul datorită componentei verticale a vitezei în mișcarea circulatorie este mult mai mare decât secțiunea verticală, prin care trece curentul datorită componentei orizontale a vitezei în mișcarea circulatorie. De aici rezultă că viteza medie după verticală ( $w_z$ ) va fi mult mai mică decât viteza medie după orizontală ( $w_r$ ). În prezentul paragraf se are în considerare doar vitezele în direcție orizontală, neglijindu-se vitezele în direcție verticală.

După cum este cunoscut, circulația transversală se dă restă în primul rînd faptului că vitezele longitudinale sunt neuniform distribuite după verticală în timp ce presiunea hidrostatică suplimentară datorată denivelării suprafeței apei are o repartiție uniformă după verticală. Din această cauză, deși global, pentru întreaga verticală există un echilibru în direcția radială, local acest echilibru este alterat, spărind o forță rezultantă :

$$|\vec{dF}| = \frac{dm}{r} |\bar{U}_o^2 - \bar{V}_o^2| \quad (\text{III.4-1})$$

Sub acțiunea acestei forțe particula lichidă se pune în mișcare. Datorită faptului că regimul de curgere este turbulent, apar tensiuni turbulente, egale ca modul, dar de sens contrar, tensiuni care pot fi calculate cu relația Prandtl :

$$|\vec{dR}| = \zeta dS = \frac{1}{2} \rho \bar{Z}^2 \left( \frac{d \bar{w}_r}{dz} \right)^2 dS \quad (\text{III.4-2})$$

După egalarea celor două expresii (cea ce corespunde unei mișcări uniforme a particulelor de lichid) și extragerea radicalului se obține :

$$\frac{d \bar{w}_r}{dz} = \frac{\bar{V}_o}{\rho \bar{Z}} \sqrt{\frac{dm}{g r ds} \left| \frac{\bar{U}_o^2}{\bar{V}_o^2} - 1 \right|} \quad (\text{III.4-3})$$

În această relație este necesar, în primul rînd, să se expliciteze  $dm$ . Pentru elementul de masă se consideră o expresie de forma :

$$dm = \rho dV = \rho g z ds \quad (\text{III.4-4})$$

Constanta adimensională de proporționalitate K depinde, după cum indică rezultatele experimentale ale altor cercetători, de unii parametrii caracteristici ca rază de curbură, înălțime, adințime, rugozitate. În urma unui lung sir de încercări preliminare proprii în cadrul cărora s-au propus diverse expresii pentru constanta K, care au condus la diferite expresii pentru repartiția vitezei radiale  $w_r$ , s-a reținut următoarea, care conduce la o bună concordanță cu rezultatele experimentale :

$$K = k \left( \frac{U}{U_0} \right)^2 \frac{B}{h_0} \frac{z}{r_0} = k \frac{C^2}{g} \frac{B}{h_0} \frac{z}{r_0} \quad (\text{III.4-5})$$

în care :

$\frac{U}{U_0}$  exprimă influența rugozității ;

$\frac{B}{h_0}$  exprimă influența formei secțiunii,  $h_0$  fiind înălțimea curentului în axul geometric ;

$\frac{z}{r_0}$  exprimă influența curburii,  $r_0$  fiind raza de curbură a axului geometric ;

K constantă numerică adimensională de proporționalitate.

Folosind ultimele trei relații se obține, prin eliminarea parametrilor  $dm$  și  $K$ , repartiția vitezei radiale sub formă diferențială :

$$\frac{d \bar{w}_{r0}}{dz} = \frac{\bar{U}_0}{\alpha \sqrt{g}} \frac{C}{\sqrt{k}} \sqrt{\frac{B}{h_0}} \frac{1}{r_0} \sqrt{\left| \frac{\bar{U}_0^2}{\bar{U}^2} - 1 \right|} \quad (\text{III.4-6})$$

Pentru a obține o dependență cît mai simplă, sub formă finită, dar în același timp precisă, ceea cea mai convenabilă pare a fi relația de tip eliptică a lui Karaușev, după care :

$$\left| \frac{\bar{U}_0^2}{\bar{U}^2} - 1 \right| = 0,55 \left( 1 - \frac{z}{h_0} \right)^2 \quad (\text{III.4-7})$$

Folosind relația lui Karaușev se obține ecuația diferențială liniară de ordinul întâi :

$$\frac{d \bar{w}_{r0}}{\bar{U}} = \frac{\sqrt{0,55} k}{\alpha \sqrt{g}} \frac{C}{\sqrt{B}} \sqrt{\frac{B}{h_0}} \frac{1}{r_0} \left( 1 - \frac{z}{h_0} \right) dz \quad (\text{III.4-8})$$

Prin integrare nedefinită, notând constanta de integrare  $C_1$  :

$$\frac{\bar{w}_{r0}}{\bar{U}} = \frac{\sqrt{0,55} k}{\alpha \sqrt{g}} \frac{C}{\sqrt{B}} \sqrt{\frac{B}{h_0}} \frac{1}{r_0} \left( \frac{z}{h_0} - \frac{z^2}{2h_0^2} + C_1 \right). \quad (\text{III.4-9})$$

Determinarea constantei de integrare se va face utilizând condiția de conservare a masei, sub forma ecuației de continuitate, conform căreia debitul în direcție radială, din zona de fund, orientat spre malul convex, trebuie să fie egal cu debitul în aceeași direcție din zona de la suprafață, orientat în sens opus, spre malul concav :

$$\int_{h_0}^{h_0} \left( \frac{z}{h_0} - \frac{z^2}{2h_0^2} + C_1 \right) dz = 0 \quad (\text{III.4-10})$$

Integrarea este imediată, rezultând valoarea constantei  $C_1$  :

$$\frac{h_0}{2h_0} - \frac{h_0}{6h_0^2} + C_1 h_0 = 0 \iff C_1 = -\frac{1}{3} \approx -0,333 \quad (\text{III.4-11})$$

Fiind determinată constanta de integrare, repartiția vitezei devine :

$$\frac{W_{ro}}{V} = \frac{V_0,55 k}{\lambda e} \frac{C}{Vg} \sqrt{\frac{B}{h_o}} \frac{h_o}{r_o} \left( \frac{z}{h_o} - \frac{z^2}{2h_o^2} - \frac{1}{3} \right) \quad (\text{III.4-12})$$

In urma comparării rezultatelor date de formula de mai sus cu rezultatele experimentale ale altor cercetători și proprii, s-a determinat și valoarea constantei  $k$  :

$$k \approx 0,0284 \iff \frac{V_0,55 k}{\lambda e} \frac{C}{Vg} \approx \frac{C}{3,2 Vg} \quad (\text{III.4-13})$$

Lucrând cu unitățile de măsură fundamentale uzuale și pentru exprimarea coeficientului Chezy, anume 1 m pentru lungime și 1 s pentru timp și luând aproximativ  $3,2 \sqrt{g} \approx 10$  repartitia vitezei se poate scrie astfel :

$$\frac{W_{ro}}{V} = \frac{C}{3,2 Vg} \frac{h_o}{r_o} \sqrt{\frac{B}{h_o}} \left( \frac{z}{h_o} - \frac{z^2}{2h_o^2} - \frac{1}{3} \right) \approx \frac{C}{10} \frac{h_o}{r_o} \sqrt{\frac{B}{h_o}} \left( \frac{z}{h_o} - \frac{z^2}{2h_o^2} - \frac{1}{3} \right) \quad (\text{III.4-14})$$

Având în vedere legătura care există între coeficientul de rezistență de tip Chezy și coeficientul de rezistență de tip Darcy, utilizat mai puțin în cazul curentilor cu față liberă, notat  $\lambda$  :

$$\lambda C = 8g \iff C = \sqrt{\frac{8g}{\lambda}} \quad (\text{III.4-15})$$

rezultă că relația de distribuție a vitezei radiale poate fi

pusă și sub forma :

$$\frac{W_{ro}}{V_o} = \frac{V_0}{3,2 \lambda} \frac{h_o}{r_o} \sqrt{\frac{B}{h_o}} \left( \frac{z}{h_o} - \frac{z^2}{2h_o^2} - \frac{1}{3} \right) \approx \frac{0,88}{\sqrt{\lambda}} \frac{h_o}{r_o} \sqrt{\frac{B}{h_o}} \left( \frac{z}{h_o} - \frac{z^2}{2h_o^2} - \frac{1}{3} \right) \quad (\text{III.4-16})$$

In ceea ce privește poziția pe verticală a punctului de viteză radială nulă ( $z_o$ ) ea satisfacă ecuația :

$$\frac{z_o}{2h_o^2} - \frac{z_o}{h_o} + \frac{1}{3} = 0 \iff \frac{z_o}{h_o} = 1 - \frac{1}{\sqrt{3}} \approx 0,42 \quad (\text{III.4-17})$$

Prin introducerea variabilei  $\xi = \frac{z}{h_o}$  și a funcției  $f(\xi) = \frac{z}{h_o} - \frac{z^2}{2h_o^2} - \frac{1}{3} = \xi - \frac{\xi^2}{2} - \frac{1}{3}$  repartitia vitezelor radiale poate fi pusă și sub forma :

$$\frac{W_{ro}}{V_o} = \frac{C}{10} \frac{h_o}{r_o} \sqrt{\frac{B}{h_o}} f_w(\xi) \quad (\text{III.4-18})$$

In ceea ce privește evoluția acestei circulații transversale pe lungimea curbei, se acceptă dependența dată de Muramoto, conform căreia în sectorul de început al curbei viteză radială este direct proporțională cu unghiul de întoarcere al curentului  $\theta$ . Această creștere a circulației transversale se produce pînă la un unghi de întoarcere limită notat  $\theta_{lim}$ .

După Danelia /D-3/ și /Z-1, p.170/, /H-1, p.26/, acest unghi depinde de raza de curbă conform formulei :

$$\theta_{lim} = \arccos \frac{r_o - \frac{r_o}{2}}{r_o + \frac{r_o}{2}} = \arccos \frac{r_o}{r_2} \quad (\text{III.4-19})$$

În timp ce după /G-3, p.154/ se consideră că în medie, se poate lua o valoare aproximativă constantă  $\theta_{lim} \approx 0,4\pi$ .

Se va accepta în cele ce urmează relația lui Danelia, menționindu-se că în cazul curbelor scurte, care se întâlnesc

curent în practică ( $\theta_{lim} > \frac{\theta_{max}}{2}$ ) punctul A<sub>2</sub> se situează în aval de vîrful curbei (la circa 1/3 din lungimea arcului A<sub>1</sub>V), figura.

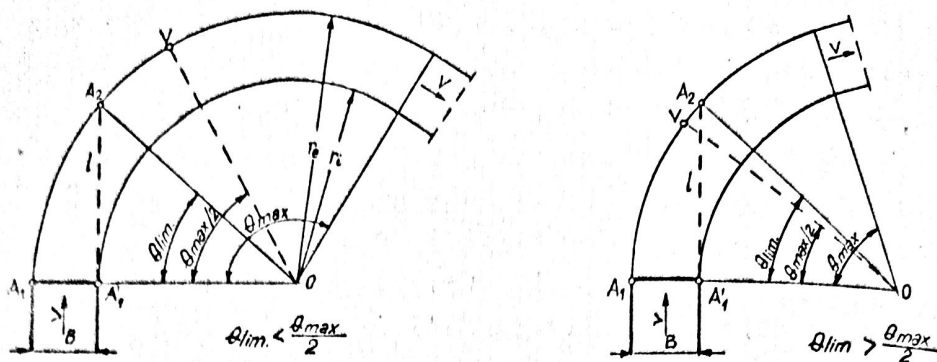


Fig. III.4-1-1. Poziția secțiunii transversale cu circulația de intensitate maximă ( $\theta_{lim}$ ) funcție de mărimea curbei dată prin  $\theta_{max}$ .

Se va considera, apoi, că această circulație transversală descriește liniar pînă la sfîrșitul curbei.

Avînd în vedere considerațiile de mai sus, expresia obținută pentru viteza radială în verticala axială o voi corecta astfel încît să exprime aceste variații în lungul curbei. Notînd  $\theta_{max}$  unghiul maxim de înălțare al curentului și introducind funcția lui Heaviside, frecvent utilizată în electrotehnica, definită prin:

$$\mathcal{H}(\theta - \theta_{lim}) = \begin{cases} 1, & \text{pentru } \theta \geq \theta_{lim} \\ 0, & \text{pentru } \theta < \theta_{lim} \end{cases} \quad (\text{III.4-20})$$

repartiția vitezei după verticala axială se poate da printr-o exprimare unică:

$$\frac{w_r}{v} = \frac{C}{10} \frac{h}{r} \sqrt{\frac{B}{h}} \frac{\theta - \theta_{max} \mathcal{H}(\theta - \theta_{lim})}{\theta_{lim} - \theta_{max} \mathcal{H}(\theta - \theta_{lim})} f_w(\xi) \quad (\text{III.4-21})$$

In fine, după ce s-a determinat repartiția vitezei, pe verticală, de-a lungul firului de curenț axial, este necesar să se dea o variație pe lățimea curentului (în direcție radială). Procedînd analog ca și în cazul firului axial se ajunge în final la relația analoagă:

$$\frac{w_r}{v} = \frac{C}{10} \frac{h}{r} \sqrt{\frac{B}{h}} \frac{\theta - \theta_{max} \mathcal{H}(\theta - \theta_{lim})}{\theta_{lim} - \theta_{max} \mathcal{H}(\theta - \theta_{lim})} f_w(\xi) \quad (\text{III.4-22})$$

Pentru ușurarea calculelor în tabela Nr. III.4-1 sunt calculate valorile funcției  $f_w(\xi) = \frac{\xi}{h} - \frac{\xi^2}{2h} - \frac{1}{3}$  pentru un număr de 29 valori  $\xi = \frac{z}{h}$  cuprinse în intervalul /0,1/, iar în figura III.4-2 este trasat graficul acestei funcții.

In tabela Nr. III.4-2 și Nr. III.4-3 sunt calculate valo-riile funcției  $\frac{w_r}{v} \frac{r}{h}$  pentru  $\theta = \theta_{lim}$ ,  $C = 40$  și  $C = 60$ , res-pectiv pentru următoarele valori ale raportului  $B/h$  de 4; 9; 16; 25; 36; 49; 64; 81 și 100.

TABLEA CUPRINZIND CALCULUL FUNCȚIEI

$$f_w(\xi) = \xi - \frac{\xi^2}{2} - \frac{1}{3}$$

Tabela Nr. III.4-1

Nr. crt	$\xi$	$\xi^2$	$\frac{\xi^2}{2}$	$f_w(\xi)$
1	0,00	0,0000	0,0000	-0,333
2	0,02	0,0004	0,0002	-0,313
3	0,04	0,0016	0,0008	-0,294
4	0,05	0,0025	0,0012	-0,284
5	0,06	0,0036	0,0018	-0,275
6	0,08	0,0064	0,0032	-0,256
7	0,10	0,0100	0,0050	-0,238
8	0,15	0,0225	0,0112	-0,194
9	0,20	0,0400	0,0200	-0,153
10	0,21	0,0441	0,0220	-0,145
11	0,25	0,0625	0,0312	-0,114
12	0,30	0,0900	0,0450	-0,078
13	0,37	0,1368	0,0684	-0,032
14	0,40	0,1600	0,0800	-0,013
15	0,42	0,1765	0,0882	-0,002
16	0,43	0,1850	0,0925	+0,004
17	0,44	0,1936	0,0968	+0,010
18	0,50	0,2500	0,1250	+0,042
19	0,54	0,2920	0,1460	+0,061
20	0,60	0,3600	0,1800	+0,087
21	0,65	0,4230	0,2115	+0,105
22	0,70	0,4900	0,2450	+0,122
23	0,71	0,5040	0,2520	+0,125
24	0,75	0,5610	0,2805	+0,136
25	0,80	0,6400	0,3200	+0,147
26	0,88	0,7740	0,3870	+0,160
27	0,90	0,8100	0,4050	+0,162
28	0,97	0,9402	0,4701	+0,167
29	1,00	1,0000	0,5000	+0,167

TABEL CUPRINZ IND CALCULUL EXPRESIEI

$f(S)$   $f_w(S)$

Tabela Nr. III.4-4

$S_i$	$S_i$	$f(S)$	$\frac{S^2}{2}$	$f_w(S)$	$f(S)f_w(S)$
$S_{11}$	0,001	16,4155	0,00000	-0,3323	-5,45497
$S_{12}$	0,05	6,7034	0,00125	-0,2846	-1,90779
$S_{13}$	0,10	4,9929	0,00500	-0,2383	-1,18981
$S_{14}$	0,15	4,0027	0,01125	-0,1945	-0,77853
$S_{15}$	0,20	3,3071	0,02000	-0,1533	-0,50698
$S_{16}$	0,25	2,7742	0,03125	-0,1146	-0,31792
$S_{17}$	0,30	2,3446	0,04500	-0,0783	-0,18358
$S_{18}$	0,35	1,9869	0,06125	-0,0446	-0,08862
$S_{19}$	0,40	1,6211	0,08000	-0,0133	-0,02156
$S_{20}$	0,45	1,3474	0,10125	+0,0154	+0,02075
$S_{21}$	0,50	1,1876	0,12500	+0,0417	+0,04952
$S_{22}$	0,55	0,8839	0,15125	+0,0654	+0,05781
$S_{23}$	0,60	0,8044	0,18000	+0,0867	+0,06974
$S_{24}$	0,65	0,6122	0,21125	+0,1054	+0,06453
$S_{25}$	0,70	0,5004	0,24500	+0,1217	+0,06090
$S_{26}$	0,75	0,3746	0,28125	+0,1354	+0,05072
$S_{27}$	0,80	0,2646	0,32000	+0,1467	+0,03882
$S_{28}$	0,85	0,1700	0,36125	+0,1554	+0,02642
$S_{29}$	0,90	0,0919	0,40500	+0,1617	+0,01486
$S_{30}$	0,95	0,0324	0,45125	+0,1654	+0,00536
$S_{31}$	1,00	0,0000	0,50000	+0,1667	+0,00000

**TABEL CUPRINZIND CALCULUL VALORILOR FUNCȚIEI**

$$\frac{W_r}{V} \cdot \frac{r}{h} = 4 \sqrt{\frac{B}{h}} f(\xi) \text{ Pentru } \Theta = \Theta_{lim} \quad \text{și } C = 40$$

Tabela Nr. III.4-2

$\frac{B}{h}$	4	9	16	25	36	49	64	81	100
0,00	-2,66	-4,00	-5,33	-6,66	-8,00	-9,33	-10,66	-12,00	-13,33
0,02	-2,51	-3,76	-5,01	-6,26	-7,51	-8,76	-10,01	-11,26	-12,52
0,04	-2,37	-3,53	-4,71	-5,88	-7,05	-8,23	-9,40	-10,59	-11,75
0,05	-2,27	-3,41	-4,54	-5,68	-6,81	-7,94	-9,08	-10,21	-11,33
0,06	-2,20	-3,30	-4,40	-5,50	-6,60	-7,70	-8,80	-9,90	-11,00
0,08	-2,05	-3,07	-4,10	-5,12	-6,14	-7,16	-8,18	-9,20	-10,22
0,10	-1,91	-2,86	-3,81	-4,76	-5,71	-6,66	-7,61	-8,56	-9,51
0,15	-1,55	-2,33	-3,10	-3,88	-4,66	-5,43	-6,20	-6,98	-7,76
0,20	-1,22	-1,83	-2,45	-3,06	-3,67	-4,28	-4,90	-5,51	-6,12
0,21	-1,16	-1,74	-2,32	-2,90	-3,48	-4,06	-4,64	-5,22	-5,80
0,25	-0,91	-1,37	-1,82	-2,28	-2,73	-3,19	-3,65	-4,10	-4,56
0,30	-0,62	-0,94	-1,25	-1,56	-1,87	-2,18	-2,49	-2,81	-3,12
0,37	-0,26	-0,38	-0,51	-0,64	-0,77	-0,90	-1,02	-1,15	-1,28
0,40	-0,10	-0,16	-0,21	-0,26	-0,31	-0,36	-0,42	-0,47	-0,52
0,42	-0,02	-0,02	-0,03	-0,04	-0,05	-0,06	-0,06	-0,07	-0,08
0,43	+0,03	+0,05	+0,06	+0,08	+0,10	+0,11	+0,13	+0,14	+0,16
0,44	+0,08	+0,12	+0,16	+0,20	+0,24	+0,28	+0,32	+0,36	+0,40
0,50	+0,34	+0,50	+0,67	+0,84	+1,01	+1,17	+1,34	+1,51	+1,68
0,54	+0,49	+0,73	+0,97	+1,22	+1,46	+1,71	+1,95	+2,20	+2,44
0,60	+0,70	+1,04	+1,39	+1,74	+2,09	+2,44	+2,78	+3,13	+3,48
0,65	+0,84	+1,26	+1,68	+2,10	+2,52	+2,94	+3,36	+3,78	+4,20
0,70	+0,98	+1,46	+1,95	+2,44	+2,93	+3,42	+3,90	+4,40	+4,88
0,71	+1,00	+1,50	+2,00	+2,50	+3,00	+3,50	+4,00	+4,50	+5,00
0,75	+1,09	+1,63	+2,18	+2,72	+3,26	+3,81	+4,35	+4,89	+5,44
0,80	+1,18	+1,75	+2,35	+2,94	+3,53	+4,12	+4,71	+5,30	+5,89
0,88	+1,28	+1,92	+2,56	+3,20	+3,84	+4,48	+5,12	+5,76	+6,40
0,90	+1,30	+1,94	+2,59	+3,24	+3,89	+4,54	+5,19	+5,83	+6,48
0,97	+1,33	+2,00	+2,67	+3,34	+4,01	+4,68	+5,34	+6,01	+6,68
1,00	+1,33	+2,00	+2,67	+3,34	+4,01	+4,68	+5,34	+6,01	+6,68

TABEL CUPRINZIND CALCULUL VALORILOR FUNCȚIEI

$$\frac{W_r}{V} \cdot \frac{r}{h} = 6 \sqrt{\frac{B}{h}} f_w (\xi) \text{ pentru } \theta = \theta_{km} \text{ și } C = 60$$

Tabelul Nr. III.4-3

$\frac{B}{h}$	4	9	16	25	36	49	64	81	100
0,00	-4,00	-6,00	-8,00	-10,00	-12,00	-14,00	-16,00	-18,00	-20,00
0,02	-3,76	-5,65	-7,52	-9,40	-11,30	-13,15	-15,06	-16,90	-18,80
0,04	-3,53	-5,31	-7,09	-8,84	-10,30	-12,30	-14,16	-15,90	-17,60
0,05	-3,41	-5,12	-6,82	-8,52	-10,25	-11,95	-13,66	-15,30	-17,00
0,06	-3,30	-4,96	-6,60	-8,26	-9,81	-11,50	-13,26	-14,80	-16,50
0,08	-3,07	-4,61	-6,15	-7,68	-9,22	-10,70	-12,30	-13,80	-15,30
0,10	-2,86	-4,28	-5,72	-7,14	-8,58	-10,00	-11,46	-12,85	-14,28
0,15	-2,33	-5,50	-4,66	-5,81	-7,00	-8,15	-9,32	-10,50	-11,64
0,20	-1,84	-2,76	-3,67	-4,60	-5,52	-6,42	-7,34	-8,26	-9,20
0,21	-1,74	-2,62	-3,48	-4,36	-5,22	-6,12	-6,98	-7,84	-8,72
0,25	-1,37	-2,05	-2,74	-3,42	-4,12	-4,78	-5,48	-6,16	-6,84
0,30	-0,93	-1,41	-1,87	-2,34	-2,81	-3,28	-3,74	-4,21	-4,68
0,37	-0,58	-0,58	-0,77	-0,96	-1,15	-1,34	-1,53	-1,72	-1,92
0,40	-0,16	-0,23	-0,31	-0,39	-0,47	-0,55	-0,62	-0,70	-0,78
0,42	-0,02	-0,04	-0,05	-0,06	-0,07	-0,08	-0,10	-0,11	-0,12
0,43	+0,05	+0,07	+0,10	+0,12	+0,14	+0,17	+0,19	+0,22	+0,24
0,44	+0,12	+0,18	+0,24	+0,30	+0,36	0,42	+0,48	+0,54	+0,60
0,50	+0,50	+0,76	+1,01	+1,26	+1,51	+1,76	+2,02	+2,26	+2,52
0,54	+0,73	+1,09	+1,46	+1,83	+2,19	+2,56	+2,92	+3,28	+3,66
0,60	+1,04	+1,56	+2,09	+2,61	+3,13	+3,66	+4,18	+4,70	+5,21
0,65	+1,26	+1,89	+2,52	+3,15	+3,78	+4,41	+5,06	+5,68	+6,30
0,70	+1,46	+2,19	+2,93	+3,66	+4,39	+5,13	+5,86	+6,60	+7,32
0,71	+1,50	+2,25	+3,00	+3,75	+4,51	+5,25	+6,00	+6,75	+7,50
0,75	+1,63	+2,44	+3,26	+4,08	+4,90	+5,72	+6,52	+7,34	+8,16
0,80	+1,76	+2,65	+3,53	+4,41	+5,30	+6,18	+7,07	+7,95	+8,83
0,88	+1,92	+2,88	+3,84	+4,80	+5,76	+6,72	+7,68	+8,65	+9,60
0,90	+1,94	+2,92	+3,89	+4,87	+5,82	+6,81	+7,78	+8,76	+9,74
0,97	+2,01	+3,01	+4,01	+5,01	+6,01	+7,01	+8,02	+9,02	+10,02
1,00	+2,01	+3,01	+4,01	+5,01	+6,01	+7,01	+8,02	+9,02	+10,02

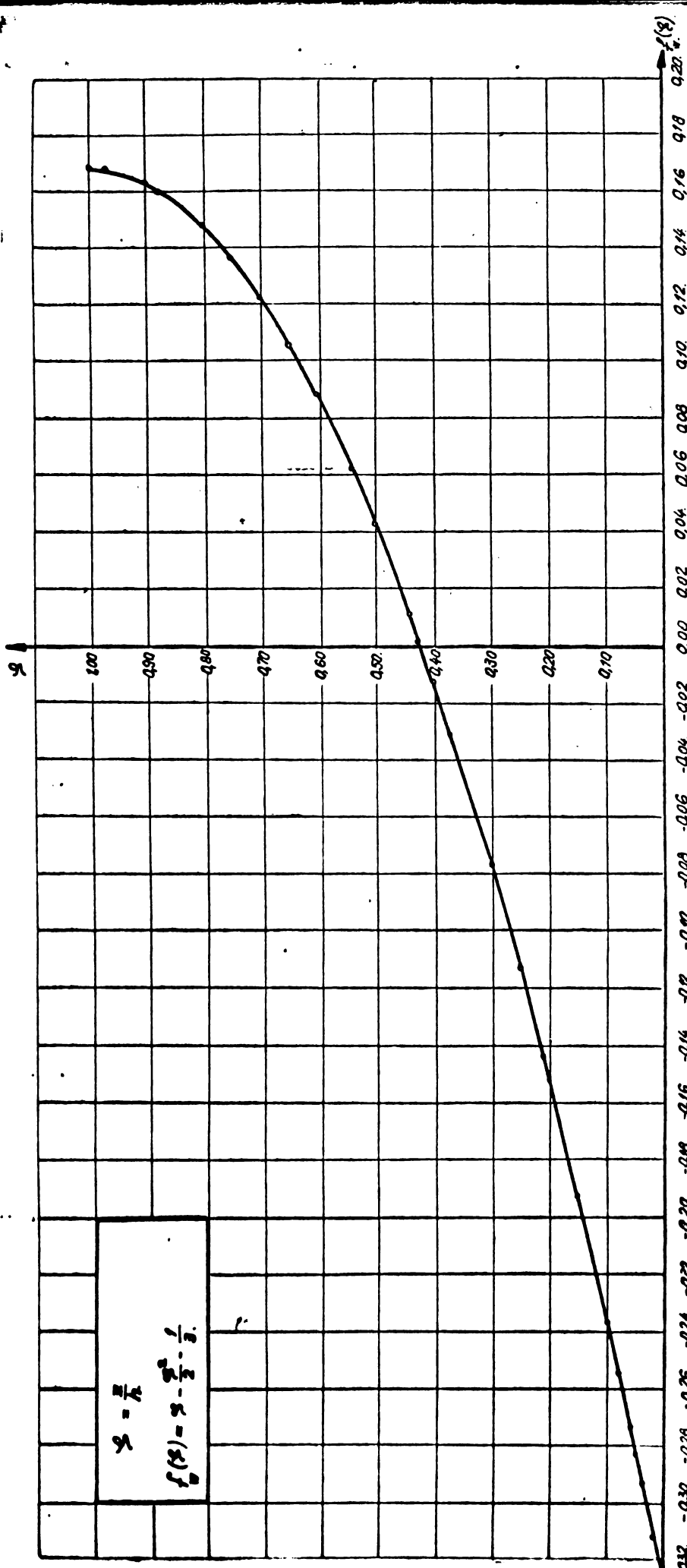


Fig. III. 4.2. Rappresentazione grafica della funzione  $f_g(x)$ .

In figurile III.4-3 și III.4-4 sunt trase graficele respective ale celor două familii de curbe :

$$C = 40 \Rightarrow \frac{w_r r}{v h} = 4 \sqrt{\frac{B}{h}} f_w(s)$$

$$C = 60 \Rightarrow \frac{w_r r}{v h} = 6 \sqrt{\frac{B}{h}} f_w(s) \quad (\text{III.4-23})$$

Din relațiile (III.4-21) și (III.4-22) se poate exprima viteza radială pe o verticală orizontală notată cu indicele "i" în funcție de viteza radială de pe verticala axială a aceleiași secțiuni, ambele viteze radiale fiind calculate la aceeași cotă relativă  $S$  :  $\frac{\bar{w}_{ri}}{\bar{v}_o} \cdot \frac{r_o}{h_o} \sqrt{h_i} = \frac{\bar{w}_{ri}}{\bar{v}_i} \cdot \frac{r_i}{h_i} \sqrt{h_i} \Rightarrow \frac{\bar{w}_{ri}}{\bar{w}_{ro}} = \frac{\bar{v}_i}{\bar{v}_o} \cdot \frac{r_i}{r_o} \sqrt{\frac{h_i}{h_o}}$  (III.4-24)

Este de menționat faptul că explicitarea reportului  $\bar{v}/\bar{v}_o$  este cunoscută doar în secțiunea inițială a curbei ( $\theta = 0^\circ$ ) deoarece aici încă mai este valabilă repartitia din sectorul final din amonte.

b.- Calculul integralei  $\int_0^h \bar{U} \bar{w}_r dz$

În dezvoltările ulterioare apare necesar calculul integralei  $\int_0^h \bar{U} \bar{w}_r dz$

După cum s-a arătat în paragraful II.2 pentru viteza longitudinală  $\bar{U}$  s-a obținut expresia :

$$\bar{U} = \left[ 1 + 2 \frac{\sqrt{g}}{C} - \frac{\sqrt{g}}{C} f(S) \right] \bar{v} \quad (\text{II.2-9})$$

în care pentru  $f(S)$  s-a folosit atât o expresie nesimplificată cît și una simplificată :

- forma completă :

$$f(S) = -\frac{1}{2C} \left[ \ln \frac{1 - \sqrt{\frac{3(1-S)}{3-2S}}}{1 + \sqrt{\frac{3(1-S)}{3-2S}}} - \sqrt{\frac{3}{2}} \ln \frac{\sqrt{\frac{3}{2}} - \sqrt{\frac{3(1-S)}{3-2S}}}{\sqrt{\frac{3}{2}} + \sqrt{\frac{3(1-S)}{3-2S}}} \right]$$

- forma simplificată

$$f(S) = -\frac{1}{2C} [\ln S + 0.22 \ln (3-2S)] = \quad (\text{II.1.3-20})$$

$$= -2.5 \ln S - 0.55 \ln (3-2S)$$

Pentru viteza radială  $w_r$ , în acest paragraf s-a obținut relația :

$$\bar{w}_r = \frac{C}{10} \frac{\bar{v}}{r} \sqrt{\frac{B}{h}} \frac{\theta - \theta_{\max} \gamma \ell(\theta - \theta_{\min})}{\theta_{\min} - \theta_{\max} \gamma \ell(\theta - \theta_{\min})} f_w(S) \quad (\text{III.4-22'})$$

în care :  $f_w(S) = -\left(\frac{S}{2} - S + \frac{1}{3}\right)$

Calcularul integralei  $\int_0^h \bar{U} \bar{w}_r dz$  se va face prin două metode :

- prin integrare exactă folosind formula simplificată;

- prin integrare numerică (Simpson) folosind formula completă.

$$\int_0^h \bar{U} \bar{w}_r dz = h \bar{v} \frac{C}{10} \frac{h}{r} \sqrt{\frac{B}{h}} \frac{\theta - \theta_{\max} \gamma \ell(\theta - \theta_{\min})}{\theta_{\min} - \theta_{\max} \gamma \ell(\theta - \theta_{\min})} \left[ (1 + 2 \frac{\sqrt{g}}{C}) \int_0^h f(S) dS - \frac{\sqrt{g}}{C} \int_0^h f(S) \cdot f'(S) dS \right] \quad (\text{III.4-25})$$

C.	40.	
Combo	$\frac{G}{h}$	Reprezentare
1	4	—
2	9	—
3	16	—
4	25	—
5	36	—
6	49	—
7	64	—
8	81	—
9	100	—
SCAECAROV		
6,15	x	
13,3	Y	
POLETAEV*		
4,08	▲	
4,08	▲	
Per. ilice din experiente procurii		
21,75	0	
19,61	●	

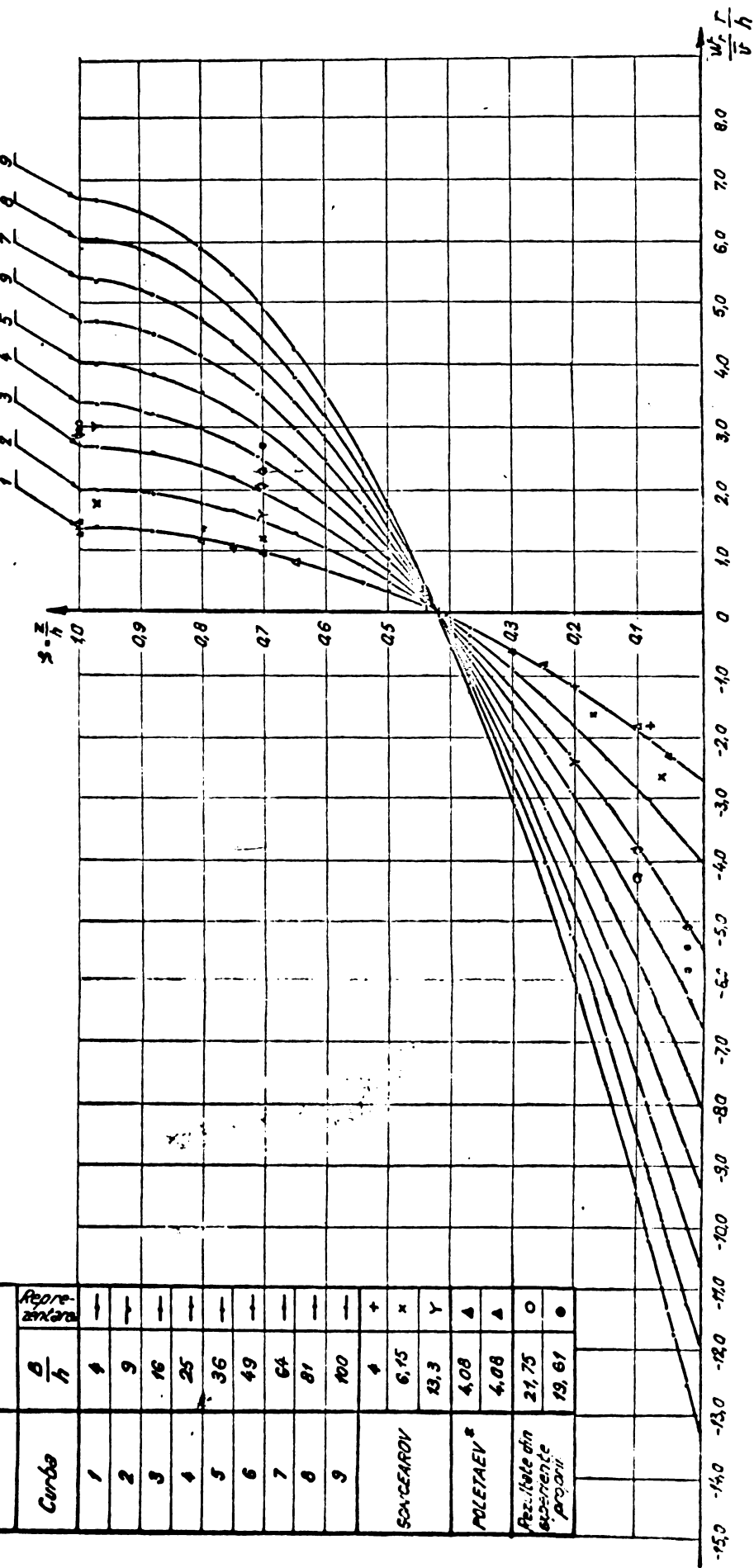


Fig. III.4-3. Reprezentarea familiei de curbe  $\frac{u_r^r}{u_r h} = 4\sqrt{\frac{G}{h}} f_4(\frac{G}{h})$  și rezultate experimentale  
\* în cadrul experimentelor cu strat nămolit

C	60	Reprezentare
Curba	$\frac{B}{h}$	
1	4	—
2	9	—
3	16	—
4	25	—
5	36	—
6	49	—

[R-37]\* 000  
ROZOWSKI

10 - 5 ▲  
GANCAROV.

6,15 +  
6,66 x

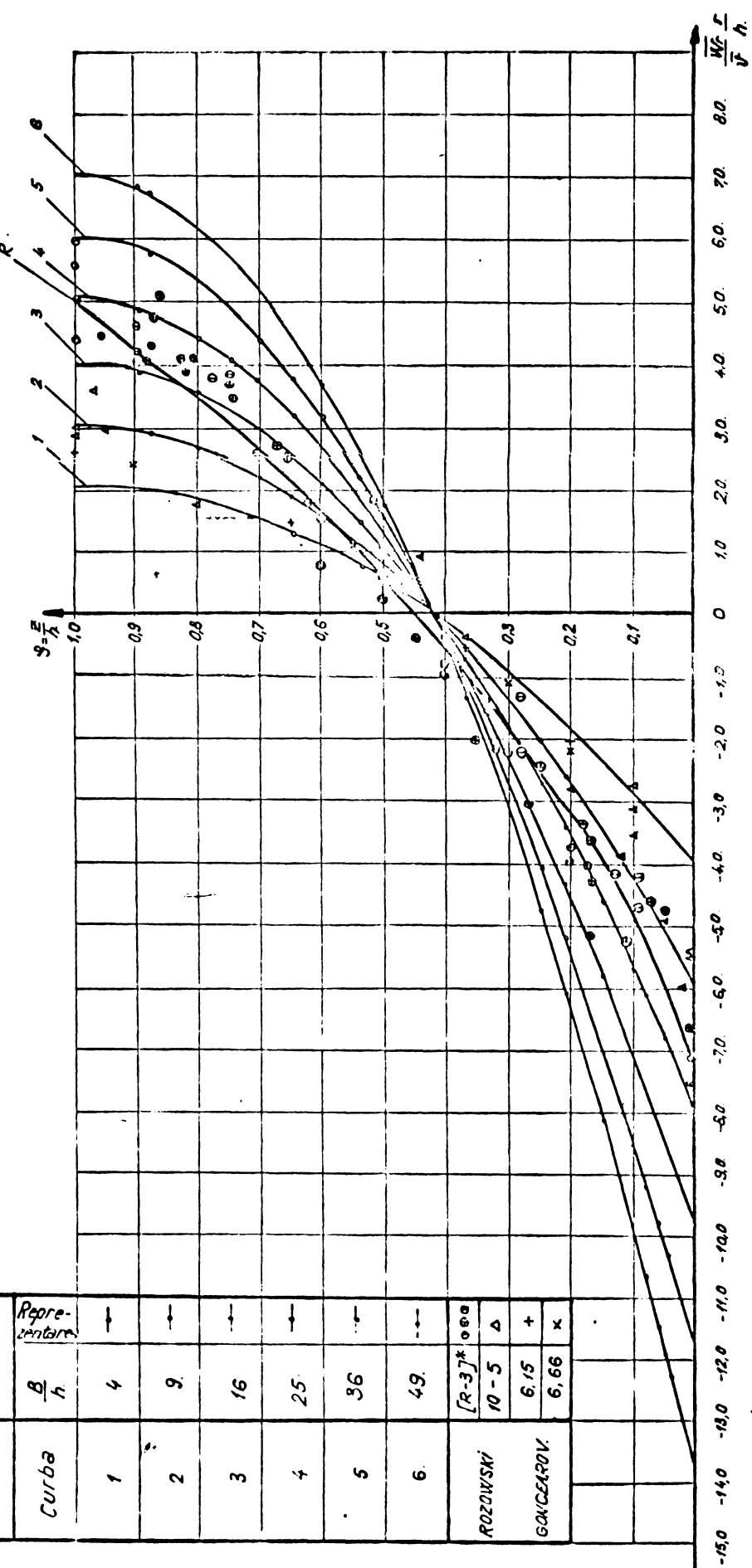


Fig. III. 4-4. Reprezentarea familială de curbe  $\frac{W}{h} f_1(\frac{S}{h}) = C \sqrt{\frac{S}{h}}$  și rezultatele experimentale de fast transverse compression a unei skii.  
x rezultatele experimentale de fast transverse compression a unei skii.

Se ține cont în cele ce urmează de faptul că :  
 $\int_0^b f_w(s) ds = 0$ , rezultând :

$$\int_0^b \bar{U} \bar{W}_r dz = - \frac{\bar{U}^2 h^2}{3,2 r} \sqrt{\frac{B}{h}} \frac{\theta - \theta_{\max} \mathcal{H}(\theta - \theta_{\text{lim}})}{\theta_{\text{lim}} - \theta_{\max} \mathcal{H}(\theta - \theta_{\text{lim}})} \left[ \int_0^b f_w(s) f(s) ds \right] \quad (\text{III.4-26})$$

Se calculează în continuare integralele de mai sus folosind forma simplificată :

$$\int_0^b f_w(s) f(s) ds = \int_0^b \left( \frac{5}{2} - s + \frac{1}{3} \right) [2,5 \ln s + 0,55 \ln(3 - 2s)] ds \quad (\text{III.4-27})$$

$$\begin{aligned} \int_0^b f_w(s) f(s) ds &= 1,25 \left( -\frac{1}{9} + \frac{1}{2} - \frac{2}{3} \right) + \frac{0,55}{2} \frac{0,9985}{8} - \frac{0,55}{4} \frac{0,9437}{3} + \frac{0,55}{3} \frac{1,2958}{2} \\ &= -0,2615 \end{aligned} \quad (\text{III.4-27'})$$

În cazul utilizării formulei de integrare aproximativă Simpson, valorile numerice, necesare aplicării metodici, sunt centralizate în tabela Nr. III.4-4.

Din tabela Nr. III.4-4 rezultă :

$$f(\xi_0) f_w(\xi_0) = -5,4549 ;$$

$$f(\xi_0) f_w(\xi_0) + f(\xi_1) f_w(\xi_1) + f(\xi_2) f_w(\xi_2) + \dots + f(\xi_9) f_w(\xi_9) = -2,86727 ;$$

$$f(\xi_1) f_w(\xi_1) + f(\xi_2) f_w(\xi_2) + f(\xi_3) f_w(\xi_3) + \dots + f(\xi_8) f_w(\xi_8) = -1,66309 ;$$

$$f(\xi_{20}) f_w(\xi_{20}) = 0,0000 .$$

Aplicând formula lui Simpson :

$$\int_0^b \bar{U} \bar{W}_r dz = \frac{1}{60} \left[ -5,4549 - 4 \times 2,86727 - 2 \times 1,66309 \right] = - \frac{20,2508}{60} = -0,3375$$

Adoptând în continuare, acoperitor, valoarea obținută prin această metodă, rezultă în final valoarea integrală căutată :

$$\int_0^b \bar{U} \bar{W}_r dz = 0,1 \bar{U}^2 h \frac{h}{r} \sqrt{\frac{B}{h}} \frac{\theta - \theta_{\max} \mathcal{H}(\theta - \theta_{\text{lim}})}{\theta_{\text{lim}} - \theta_{\max} \mathcal{H}(\theta - \theta_{\text{lim}})} \quad (\text{III.4-28})$$

Rezultatele obținute urmează să fie folosite direct în paragraful 5 al acestui capitol.

c.- Verificarea relației propusă pentru distribuția vitezei radiale pe verticală

Relația propusă în teză, în cadrul prezentului paragraf, pentru distribuția vitezei radiale pe verticală (III.4-22) corectează pentru  $\theta = \theta_{\text{lim}}$ ,  $C=40$  și  $C=60$  în formulele (III.4-23) și reprezentată în figurile III.4-3 și III.4-4, a fost verificată prin intermediul unor măsurători publicate în literatura de specialitate și prin măsurători proprii efectuate pe modelul sectorului rîului Argeș.

În tabela III.4-5 sunt prelucrate datele extrase din lucrarea /G-2, pg.158/. Experiențele prezentate de Gheorghiev au fost efectuate într-un canal de secțiune dreptunghiulară cu

lățimea 40 cm,  $C = 40$  și diferite înălțimi ale curentului de epă. Prelucrarea comparativă a datelor obținute din măsurători și a datelor obținute pe cale teoretică, folosind relația stabilită în teză, a permis calculul indicatorilor statistici :

$$\begin{aligned} & - \text{valoarea medie a abaterii relative } M \left( \frac{\frac{W_{tr}}{V} - \frac{W_r}{V}}{\frac{W_r}{V}} \right) = +0,11\% \\ & - \therefore \text{abaterea medie pătratică } G \left( \frac{\frac{W_{tr}}{V} - \frac{W_r}{V}}{\frac{W_r}{V}} \right) = 7,26\% \end{aligned}$$

- In tabelă III.4-6 sunt prezentate datele extrase din aceeași lucrare /G-2, pg.158/ pentru valoarea lui  $G = 60$ . Indicatorii statistici stabilități în acest caz sunt de + 2,92 % pentru valoarea medie a abaterii relative și 9,41 % pentru abaterea medie pătratică.

In tabelă III.4-7 sunt prelucrate date din măsurătorile efectuate de Iozowski /R-3/ în canale de lățimi diferite și  $C = 60$ . Indicatorii statistici realizati sunt de + 0,95 % pentru valoarea medie a abaterii relative și 11,50 % pentru abaterea medie pătratică.

In tabelă III.4-8 sunt prezentate date din măsurătorile efectuate de Poletaev /P-5/ într-un canal îngust de secțiune trapezoidală. Indicatorii statistici calculați sunt, pentru valoarea medie a abaterii + 3,02 % și pentru abaterea medie pătratică 6,35 %.

In tabelă III.4-9 sunt prezentate date din măsurători proprii efectuato pe modelul sectorului de riu Argeș din cadrul platformei laboratorului catedrei C.H.I.F.

Indicatorii statistici, în acest caz, sunt + 0,42 % pentru valoarea medie a abaterii și 2,66% pentru abaterea medie pătratică.

Media indicatorilor statistici realizati în cadrul prelucrărilor este :

- pentru valoarea medie a abaterii relative + 1,48 % ;
- pentru abaterea medie pătratică 7,44 %.

Valorile pot fi considerate foarte bune pentru acest domeniu al tehnicii.

Rezultatele experimentale au fost reprezentate în figurele III.4-3 și III.4-4 pe care se observă de asemenea o foarte bună concordanță a formulei propusă în teză cu înregistrările din măsurători.

TABLEA COMPARATIV FR.V.I.D. DISTRIBUȚIA VITENZI RADIALE PR. VERIFICAREA (măsurători după Goncărescu G=40)

$\Rightarrow b = c = 1 \text{ m} ; \Rightarrow c = 1 \text{ m}^2/\text{s}$

Tabelă III.4-5

Nr. ct	$\xi$	Date experimentale				$\frac{h}{r}$	$\sqrt{\frac{B}{h}}$	$\frac{C}{4\pi} \frac{h}{r} \sqrt{\frac{B}{h}}$	$f(\xi)$	$\frac{-\bar{W}_{rT}}{V}$	$\Delta \frac{\bar{W}_{rT}}{V}$	$\Delta \frac{\bar{W}_{rT}}{V} \cdot 100 \left[ \frac{\Delta \frac{\bar{W}_{rT}}{V}}{\frac{\bar{W}_{rT}}{V}} \cdot 100 \right]^2$	
		$b$	$h$	$r$	$B$								
1	0,33	0,160	0,50	0,40	40	-0,32	0,1657	2,00	1,334	-0,256	-0,341	-0,021	+ 5,56 43,10
	0,20					-0,20				-0,153	-0,204	-0,004	+ 2,00 4,00
0,42					0,00				0,000	0,000	0,000	0,00 0,00	
0,75					+ 0,17				+ 0,135	+ 0,181	+ 0,011	+ 5,45 41,80	
1,20					+ 0,23				+ 0,157	+ 0,223	-0,007	- 3,04 9,25	
2	0,35	0,565	0,55	0,40	40	-0,29	0,1683	2,48	1,075	-0,275	-0,205	-0,005	+ 2,07 4,27
	0,17					-0,18				-0,177	-0,191	-0,011	+ 5,11 37,40
0,45						-0,31				-0,310	-0,315	0,000	0,00 0,00
0,70						+ 0,13				+ 0,122	+ 0,131	+ 0,001	+ 0,77 2,59
1,07						+ 0,19				+ 0,167	+ 0,180	-0,010	- 5,25 27,70
3	0,20	0,53	0,50	0,40	40	-0,12	0,1730	3,65	\bar{z},65	-0,153	-0,112	+ 0,008	- 5,56 44,50
	0,42									0,030	0,000	0,000	0,00 0,00
0,70									+ 0,122	+ 0,089	+ 0,009	+ 11,22 125,40	
0,97									+ 0,167	+ 0,122	-0,028	- 18,55 349,00	
													+ 1,57 688,01

Va loriile salele a abețenii  
Abaterea medie patratică

$$\xi = \left( \frac{\frac{\bar{W}_{rT}}{V} - \frac{\bar{W}_T}{V}}{\frac{\bar{W}_T}{V}} \right)^2 = +0,41 \text{ \%}$$

$$\xi = \left( \frac{\frac{\bar{W}_{rT}}{V} - \frac{\bar{W}_T}{V}}{\frac{\bar{W}_T}{V}} \right)^2 = 1,26 \text{ \%}$$

TABEL COMPARATIV PRIN IND DISTR BUTLA VITEZEI RADIALE PT VERTICALA

(măsurători după concearță C = 65)

$\langle h \rangle = \langle r \rangle = \langle B \rangle = 1 \text{ m} ; \langle c \rangle = 1 \text{ m}^{1/2}/\text{s}$

Tabel III.4-6.

Nr. crt.	$\xi$	h	r	B	C	$\bar{W}_r / \bar{V}$	$\frac{h}{r}$	$\sqrt{\frac{B}{h}}$	$\frac{C}{10} \frac{h}{r} \sqrt{\frac{B}{h}}$	$f(\xi)$	$\frac{\bar{W}_r}{V}$	$\Delta \frac{\bar{W}_r}{V}$	$\frac{\Delta \frac{\bar{W}_r}{V}}{100} \left( \frac{\Delta \frac{\bar{W}_r}{V}}{100} \right)$	
1	0,20	0,55	0,50	0,40	50	-0,22	0,1033	2,48	1,615	-0,153	-0,247	-0,027	+12,27	150,3
	0,37					-	-0,35			-0,032	-0,052	+0,008	-13,31	178,0
	0,47					-	+0,04			+0,027	+0,044	+0,004	+10,00	100,0
	0,55					-	+0,15			+0,155	+0,170	+0,010	+5,25	39,1
	1,00					-	+0,28			+0,167	+0,270	-0,010	-3,57	12,8
2	0,20	0,50	0,50	0,40	50	-0,22	0,100	2,58	1,548	-0,153	-0,237	-0,017	+7,73	59,6
	0,30					-	-0,11			-0,078	-0,121	-0,011	+10,00	100,0
	0,55					-	+0,11			+0,056	+0,102	-0,008	-7,27	52,8
	0,90					-	+0,24			+0,162	+0,250	+0,010	+4,17	17,4
$\Sigma$													+26,27	710,0

$$\text{Viteză medie a conectorii} M \left( \frac{\bar{W}_r}{V} - \frac{\bar{W}_r^*}{V} \right) = +2,92 \%$$

$$\text{Viteză medie pitotică} \delta \left( \frac{\bar{W}_{r,r}}{V} - \frac{\bar{W}_r}{V} \right) = 9,41 \%$$

TABLEA CO-PARATIVĂ PENTRU DISTRIBUȚIA VOLUMETRICĂ A VAPORICELOR

$\langle h \rangle = \langle n \rangle = \langle B \rangle = 1 \text{ m}$ ;  $\langle C \rangle = 1 \text{ m}^2/\text{s}$

Tablea III.4-7

Nr. ct.	$\Sigma$	$h$	$n$	$B$	$C$	$\bar{w}_r / \bar{V}$	$\frac{h}{T}$	$\sqrt{\frac{g}{h}}$	$\frac{c}{10} \frac{h}{r} \sqrt{\frac{g}{h}}$	$f(\zeta)$	$\frac{\bar{w}_{cr}}{V}$	$\Delta \frac{\bar{w}_r}{V}$	$\Delta \frac{\bar{w}_r}{\bar{V}}$	$\Delta \frac{\bar{w}_r}{\bar{V}} \cdot 100$	$\left[ \Delta \frac{\bar{w}_r}{\bar{V}} \cdot 100 \right]^2$	
1	2,25	0,09	0,80	0,80	60	-0,555	0,1125	2,00	2,025	-0,284	-0,575	-0,020	+ 3,64	13,2		
	0,20					-0,225	-0,153	-0,315	-0,315	+0,310	+0,310	+0,010	- 3,43	9,8		
	0,15					0,330	0,155	0,334	0,334	+0,044	+0,044	+0,004	+ 1,21	1,5		
	0,12					-0,330	-0,225	-0,417	-0,417	-0,227	-0,227	-0,005	+ 6,93	48,1		
	0,097					-0,330	-0,225	-0,317	-0,317	-0,043	-0,043	-0,003	-11,92	14,6		
2	2,32	0,08	0,8	0,80	60	-0,555	0,1000	3,16	1,837	-0,313	-0,595	+0,025	- 0,83	9,7		
	0,12					-0,225	-0,155	-0,317	-0,317	-0,227	-0,227	-0,005	+ 6,93	48,1		
	0,097					0,330	0,155	0,334	0,334	-0,043	-0,043	-0,003	-11,92	14,6		
3	2,30	0,07	1,6	0,40	50	-0,555	0,070	2,55	1,005	-0,333	-0,335	+0,045	- 1,81	140,0		
	0,10					-0,225	-0,155	-0,317	-0,317	-0,227	-0,227	-0,005	+ 6,93	15,9		
	0,097					-0,330	-0,225	-0,167	-0,167	-0,042	-0,042	-0,002	-20,00	42,6		
4	2,30	0,05	1,0	0,40	50	-0,555	0,050	2,58	0,930	-0,333	-0,310	+0,020	- 5,37	35,8		
	0,10					-0,225	-0,155	-0,317	-0,317	-0,227	-0,227	-0,005	+ 6,83	28,4		
	0,097					-0,330	-0,225	-0,157	-0,157	-0,015	-0,015	-0,001	-8,82	73,6		
5	2,19	0,08	1,0	0,40	50	-0,225	-0,155	0,380	2,24	1,075	-0,258	-0,255	-0,035	+15,89	253,0	
	0,37					-0,330	-0,225	-0,232	-0,232	-0,34	-0,34	+0,017	+13,33	177,9		
	0,44					0,330	0,225	0,100	0,100	+0,107	+0,107	+0,017	+18,89	357,5		
	0,36					-0,330	-0,225	-0,147	-0,147	+0,007	+0,007	+0,001	+5,00	25,0		
	0,15					-0,330	-0,225	-0,147	-0,147	-0,007	-0,007	-0,001	+15,14	192,5		
										$\frac{\bar{w}_r}{V} - \frac{\bar{w}_{cr}}{V}$	$\frac{\bar{w}_r}{V} - \frac{\bar{w}_{cr}}{V}$	$\Delta \frac{\bar{w}_r}{V}$	$\Delta \frac{\bar{w}_r}{V}$	$\Delta \frac{\bar{w}_r}{V} \cdot 100$	$\left[ \Delta \frac{\bar{w}_r}{V} \cdot 100 \right]^2$	

$$\text{Adnotarea: Se obține o eroare de } M \left( \frac{\bar{w}_r}{V} - \frac{\bar{w}_{cr}}{V} \right) = +0,95\% \text{ și } 6 \left( \frac{\bar{w}_r}{V} - \frac{\bar{w}_{cr}}{V} \right) = 11,50\%$$

TABLE COMPARATIV PRIVIND DISTRIBUȚIA VITESSEI RADIALE PE VERTICALĂ  
măsurători după Poletaev

$\langle h \rangle = \langle r \rangle = \langle 3 \rangle = 1 \text{ m}$ ;  $\langle c \rangle = 1 \text{ m}^{1/2}/\text{s}$

Tabela III.4-8

Nr. crt.	Date experimentale					$\frac{h}{r}$	$\sqrt{\frac{B}{h}}$	$\frac{c}{10} \frac{h}{r} \sqrt{\frac{B}{h}}$	$f(\xi)$	$\frac{\bar{w}_r}{v}$	$\Delta \frac{\bar{w}_r}{v}$	$\frac{\Delta \frac{\bar{w}_r}{v}}{\frac{\bar{w}_r}{v}} \cdot 100$	$\left( \frac{\Delta \frac{\bar{w}_r}{v}}{\frac{\bar{w}_r}{v}} \cdot 100 \right)^2$	
	$g$	$h$	$r$	$B$	$c$									
1	0,10	0,093	5,63	0,38	4,0	-0,27	0,1475	2,02	1,192	-0,238	-0,283	-5,013	+4,82	23,20
	0,25									-0,114	-0,136	-0,016	+13,33	177,50
	0,65									(+0,105	+0,125	+0,005	+4,16	17,30
	0,80									+0,147	+0,175	+0,005	+2,94	8,64
	1,00									+0,167	+0,199	+0,009	+4,73	22,38
2	0,05	0,093	1,13	0,38	4,0	-0,19	0,0823	2,02	0,555	-0,283	-0,189	+0,001	-0,50	3,25
	0,30									-0,078	-0,052	-0,002	+4,00	16,00
	0,70									+0,122	+0,081	+0,001	+1,25	1,55
	1,00									+0,167	+0,111	-0,009	-7,50	56,10
										$\Sigma$	+27,23	322,93		

$$\text{Varianța medie a abaterii} \quad \sigma = \sqrt{\left( \frac{\bar{w}_r - \bar{w}_r^*}{v} \right)^2} = +3,02\%$$

Abaterea medie a abaterii

$$\bar{\sigma} = \sqrt{\left( \frac{\bar{w}_r^* - \bar{w}_r}{v} \right)^2} = 6,35\%$$

TABLE COMPARATIV PENTRU STUDIUL VIBRATIILOR SI RADIANII EXTRAPOLICALE

$\Delta h = \Delta s = \Delta v = 1$  m;  $\Delta c = 1 \text{ m}^{1/2}/\text{s}$

Dată experimentală

Nr. exp.	s	h	r	8	C	$\bar{W}_r / \bar{V}$	$\frac{h}{r}$	$\sqrt{\frac{h}{r}}$	$\frac{C}{10^3} \sqrt{\frac{h}{r}}$	f(s)	$\frac{\bar{W}_r}{V}$	$\Delta \frac{\bar{W}_r}{V}$	$\frac{\Delta \bar{W}_r}{V} \cdot 100$	
1	0,92	0,99	2,34	1,740	4,0	-0,23	0,0392	0,65	0,730	-0,313	-0,228	+0,002	0,76	
	0,10					-0,17				-0,238	-0,174	-0,074	2,34	
	0,79					+0,06				+0,102	+0,289	-0,021	5,53	
	1,56					+0,15				+0,107	+0,122	+0,002	1,22	
2	0,92	0,99	2,34	1,755	4,0	-0,24	0,0491	0,43	-0,313	-0,244	-0,204	+1,57	2,78	
	0,10					-0,19				-0,259	-0,185	+0,064	4,43	
	0,79					+0,16				+0,122	+0,095	-0,005	25,00	
	1,56					+0,13				+0,167	+0,130	+0,000	0,00	
3	0,92	0,10	2,34	1,790	4,0	-0,25	0,0491	0,23	0,832	-0,313	-0,250	-0,019	16,00	
	0,10					-0,19				-0,238	-0,198	+0,006	4,21	
	0,79					+0,15				+0,122	+0,101	+0,001	1,00	
	1,56					+0,14				+0,157	+0,130	-0,001	0,51	
												$\Sigma$	+ 5,79	
													$\Sigma$	77,72

$$\text{Valoarea medie a obiectului este: } M \left[ \frac{2 \bar{W}_r - \bar{W}_r}{\bar{W}_r - \frac{\bar{W}_r}{V}} \right] = +0,42\%$$

$$\text{Varianța medie a obiectului este: } S^2 = 2,66\%$$

$$+ 1,48\%$$

Media statistica este: 241 metri statistic 71,44%



### § 5. Distribuția vitezelor longitudinale pe sectoarele în curbă

In cadrul tezei s-a studiat (în cap.II § 2) distribuția vitezelor longitudinale pe sectoarele în aliniament. In cap.III § 4 s-a studiat și a fost propusă o relație care permite stabilirea distribuției vitezelor radiale pe sectoarele în curbă. Apariția vitezelor radiale, datorită forțelor centrifuge, conduce la o redistribuire a vitezelor longitudinale pe sectoarele în curbă, problemă care face obiectul prezentului paragraf.

Se consideră un volum elementar de lichid din sectorul în curbă, reprezentat schematic în figura III.5-1, în coordinatele cilindrice  $r$ ,  $\theta$  și  $z$ .

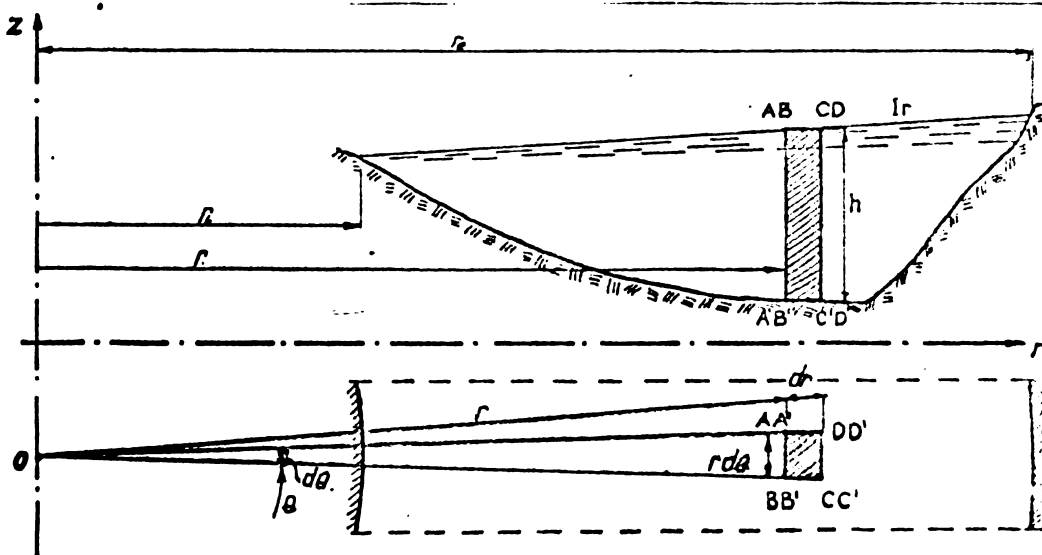


Fig. III.5-1. Schemă de calcul pentru distribuția vitezelor longitudinale pe sectoarele în curbă

Se aplică teorema impulsului unui volum elementar închis de o suprafață invariabilă de control, cu neglijarea forțelor de frecare pe suprafețele laterale ale acestui volum. După direcția longitudinală, impulsul fluxului masiv prin suprafața de control poate fi scris ca următoarea sumă :

$$\oint \sigma dQ = - \iint_{\text{front}} \bar{\sigma} dQ_r + \iint_{\text{back}} \bar{\sigma} dQ_r - \iint_{\text{left}} \bar{\sigma} dQ + \iint_{\text{right}} \bar{\sigma} dQ \quad (\text{III.5-1})$$

Având în vedere dimensiunile infinitesimale ale elementului de volum considerat, pe baza continuității lichidului, se poate scrie :

$$\iint_{\text{right}} \bar{\sigma} dQ = \iint_{\text{back}} \bar{\sigma} dQ + \left( \frac{\partial}{r \partial \theta} \iint_{\text{back}} \bar{\sigma} dQ \right) r d\theta \quad (\text{III.5-2})$$

$$\iint_{\text{control}} \rho \bar{U} dQ_r = \iint_{\text{control}} \rho \bar{U} dQ_r + \left( \frac{\partial}{\partial r} \iint_{\text{control}} \rho \bar{U} dQ_r \right) dr \quad (\text{III.5-3})$$

Rezultă că impulsul fluxului masic prin suprafața învariabilă de control a volumului elementar este :

$$\iint_S \rho \bar{U} dQ = \frac{\partial}{\partial r} \left( \rho dr \int_0^h \bar{U} dz \right) + \frac{\partial}{\partial r} \left( \rho r d\theta \int_0^h \bar{U} \bar{w}_r dz \right) dr \quad (\text{III.5-4})$$

Conform primei teoreme a impulsului, impulsul fluxului masic prin suprafața învariabilă de control este egal cu suma forțelor exterioare aplicate lichidului închis de această suprafață învariabilă de control. Aceste forțe proiectate după direcția longitudinală a mișcării conduc la :

- o componentă datorată gravitației  $g i rh d\theta dr$  ;
- o componentă datorată frecării cu peretele solid  $\bar{U} r dr d\theta$  .

Neuștiția de echilibru, după direcția longitudinală, exprimând prima teoremă a impulsului devine :

$$\frac{\partial}{\partial r} \left( r \int_0^h \bar{w}_r \bar{U} dz \right) + \frac{\partial}{\partial \theta} \left( \int_0^h \bar{U} dz \right) = g i rh - \frac{r \bar{U}}{\rho} \quad (\text{III.5-5})$$

După cum se observă pentru efectuarea integrațiilor care apar în ecuația de mai sus este necesar să se cunoască legea de repartiție a vitezelor longitudinale și transversale în secțiunea vie.

În ceea ce privește membrul drept se face observația că în cazul mișcării uniforme, în sectoarele rectilinii, el se anulează. Se va face ipoteza că și în cazul curgerii în curbe acel membru drept se anulează. Această ipoteză a fost folosită pentru următoarele date și de Rozowski, iar rezultatele obținute au fost în concordanță.

În paragraful 4 al acestui capitol s-a calculat integrala  $\int_0^h \bar{U} \bar{w}_r dz$ , iar în cap. II paragraful 1-3 s-a calculat integrala  $\int_0^h \bar{U}^2 dz$ , ambele considerate pentru o secțiune din zona încercuită a curbei (aceasta rezultă din faptul că repartitia vitezelor longitudinale s-a luat corespunzător sectorului rectangular).

$$\int_0^h \bar{U} \bar{w}_r dz = 0,1 \bar{v}^2 \frac{h^2}{r} \sqrt{\frac{B}{h}} \frac{\theta - \theta_{\max} \mathcal{H}(\theta - \theta_{\min})}{\theta_{\min} - \theta_{\max} \mathcal{H}(\theta - \theta_{\min})} \quad (\text{III.4-28})$$

$$\int_0^h \bar{U}^2 dz = \left( 1 + 6 \frac{q}{C^2} \right) \bar{v}^2 h \quad (\text{II.1-3-42} - \text{II.1.3-54})$$

Rezultă atunci din ecuația (III.5-5) :

$$\frac{\partial}{\partial r} \left[ 0,1 \bar{v}^2 \frac{h^2}{r} \sqrt{\frac{B}{h}} \frac{\theta - \theta_{\max} \mathcal{H}(\theta - \theta_{\min})}{\theta_{\min} - \theta_{\max} \mathcal{H}(\theta - \theta_{\min})} \right] +$$

$$+ \frac{\partial}{\partial \theta} \left( 1 + 6 \frac{q}{C^2} \right) \bar{v}^2 h = 0 \quad (\text{III.5-6})$$

sau într-o altă formă :

$$\frac{0,1\sqrt{B}}{(1+6\frac{q}{C^2})[\theta_{lim}-\theta_{max}\mathcal{H}(\theta-\theta_{lim})]} \frac{\partial}{\partial r}(\bar{v}^2 h^{3/2}) + \frac{\partial}{\partial \theta}(\bar{v}^2 h) = 0 \quad (\text{III.5-6'})$$

Integrând în diferențe finite această ecuație se obține :

$$\frac{0,1\sqrt{B}}{1+6\frac{q}{C^2}} \int_{\theta}^{\theta+\Delta\theta} \frac{\theta-\theta_{max}\mathcal{H}(\theta-\theta_{lim})}{\theta_{lim}-\theta_{max}\mathcal{H}(\theta-\theta_{lim})} d\theta \int_r^{r+\Delta r} \frac{\partial}{\partial r}(\bar{v}^2 h^{3/2}) dr + (\text{III.5-7})$$

$$+ \int_{\theta}^{\theta+\Delta\theta} \frac{\partial}{\partial \theta}(\bar{v}^2 h) d\theta \int_r^{r+\Delta r} dr = 0$$

Introducind notațiile :

$$\bar{v}^2 h^{3/2} \Big|_r^{r+\Delta r} = \Delta_r(\bar{v}^2 h^{3/2}) ; \quad \bar{v}^2 h \Big|_{\theta}^{\theta+\Delta\theta} = \Delta_{\theta}(\bar{v}^2 h) \quad (\text{III.5-8})$$

rezultatul ce se obține în urma efectuării integralelor poate fi pus sub forma :

$$\frac{0,1\sqrt{B}}{1+6\frac{q}{C^2}} \frac{\theta + \frac{\Delta\theta}{2} - \theta_{max}\mathcal{H}(\theta-\theta_{lim})}{\theta_{lim} - \theta_{max}\mathcal{H}(\theta-\theta_{lim})} \Delta\theta \Delta_r(\bar{v}^2 h^{3/2}) + \Delta r \Delta_{\theta}(\bar{v}^2 h) = 0 \quad (\text{III.5-9})$$

Există egalitățile succesive evidente :

$$\Delta_{\theta}(\bar{v}^2 h) = \bar{v}^2 h_{\theta+\Delta\theta} - \bar{v}^2 h_{\theta} = \bar{v}^2 h_{\theta+\Delta\theta} - \bar{v}^2 h_{\theta+\Delta\theta} + \bar{v}^2 h_{\theta+\Delta\theta} - \bar{v}^2 h_{\theta} = \\ = h_{\theta+\Delta\theta} \Delta_{\theta} \bar{v}^2 + \bar{v}^2 \Delta_{\theta} h \quad (\text{III.5-10})$$

Rezultă următoarea formulă de calcul cu diferențe finite :

$$\Delta_{\theta} \bar{v}^2 = -\bar{v}^2 \frac{\Delta_{\theta} h}{h_{\theta+\Delta\theta}} - \frac{0,1\sqrt{B}}{(1+6\frac{q}{C^2})h_{\theta+\Delta\theta}} \cdot \frac{\theta + \frac{\Delta\theta}{2} - \theta_{max}\mathcal{H}(\theta-\theta_{lim})}{\theta_{lim} - \theta_{max}\mathcal{H}(\theta-\theta_{lim})} \frac{\Delta\theta}{\Delta r} \Delta_r(\bar{v}^2 h) \quad (\text{III.5-11})$$

În vederea întocmirii unei programe de calcul automat relația se va pune sub o altă formă, în care mărimele variabile vor avea doi indicii : indicii "K" vor preciza unghiul  $\Theta$  și prin aceasta poziția secțiunii transversale, iar indicii "i" vor preciza poziția verticalei în secțiunea transversală :

$$\bar{v}_{k+1,i}^2 - \bar{v}_{k,i}^2 = -\bar{v}_{k,i}^2 \frac{h_{k+1,i} - h_{k,i}}{h_{k+1,i}} - \frac{0,1\sqrt{B}}{1+6\frac{q}{C^2}} \frac{\Delta\theta}{\Delta r} \frac{K\Delta\theta + \frac{\Delta\theta}{2} - \theta_{max}\mathcal{H}(K\Delta\theta - \theta_{lim})}{\theta_{lim} - \theta_{max}\mathcal{H}(K\Delta\theta - \theta_{lim})} \cdot \frac{1}{h_{k+1,i}} \frac{1}{2} \left[ (\bar{v}_{k,i}^2)^{3/2} - (\bar{v}_{k+1,i}^2)^{3/2} + (\bar{v}_{k+1,i}^2)^{3/2} - (\bar{v}_{k,i}^2)^{3/2} \right] \quad (\text{III.5-12})$$

$$h_{k+1,i} \bar{v}_{k+1,i}^2 = \bar{v}_{k,i}^2 h_{k,i} - \frac{0,1\sqrt{B}}{2(1+6\frac{q}{C^2})} \frac{\Delta\theta}{\Delta r} \frac{K\Delta\theta + \frac{\Delta\theta}{2} - \theta_{max}\mathcal{H}(K\Delta\theta - \theta_{lim})}{\theta_{lim} - \theta_{max}\mathcal{H}(K\Delta\theta - \theta_{lim})} \left[ (\bar{v}_{k,i}^2)^{3/2} - (\bar{v}_{k+1,i}^2)^{3/2} \right] \quad (\text{III.5-13})$$

In eliminarea dificultății introdusă de prezența în membrul drept a termenului  $h_{k+1,l}$  se vor avea în vedere rezultatele experimentale privind relieful suprafeței libere a apei în curbă și concluziile formulate la paragrafele unde s-a studiat denivelarea suprafeței libere a apei pe secțiunile în curbă (III-1 și III-2).

Ecuația finală la care s-a ajuns prin aplicarea teoremei I-a a impulsului conține un număr de două necunoscute, care figurează în membrul stîng al ecuației. Pentru rezolvarea univocă este nevoie de încă o relație. Această relație se poate obține în modul următor :

- la paragraful III-1 privind denivelarea suprafeței libere a apei după direcție longitudinală s-a adoptat o schematizare pentru evoluția nivelurilor în axul geometric al curbei (fig. III-1-3) ;

- scriind ecuația obținută prin teorema impulsului pentru firul lichid din axul geometric al curentului și notând cu indicei  $k$  și  $k+1$  cele două verticale care încadrează axa geometrică a curentului, se poate determina viteza în ax în secțiunea de indice

$$\frac{\bar{V}_{k+1,ax}^2}{\bar{V}_{k,ax}^2} = \frac{k+1}{k,ax} : \frac{h_{k,ax}}{h_{k+1,ax}} - \frac{0,1\sqrt{B}}{2(1+6\frac{g}{C})\Delta r} \frac{\Delta\theta}{\Theta_{lim} - \Theta_{max}} \frac{K\Delta\theta + \frac{\Delta\theta}{2} - \Theta_{max}\mathcal{H}(K\Delta\theta - \Theta_{lim})}{\Theta_{lim} - \Theta_{max}\mathcal{H}(K\Delta\theta - \Theta_{lim})} \times \frac{1}{h_{k+1,ax}} \left[ (\bar{V}^2 h^{3/2})_{k,l+1} - (\bar{V}^2 h^{3/2})_{k,l} \right] \quad (III.5-14)$$

- cunoștință, acum, atât adâncimea cât și viteza medie pe verticală în axul secțiunii  $K+1$ , se poate trece la determinarea adâncimii și a vitezei medii în verticala  $l+1$ , determinând la început diferența de nivel  $\Delta z$  între cele două verticale (verticala din ax și verticala  $l+1$ ) :

$$\Delta z_{ax,l+1} = \frac{\bar{U}_{k,l+1}^2 + \bar{U}_{k,ax}^2}{g(r_{l+1} + r_{ax})} (r_{l+1} - r_{ax}) = (1+2\frac{g}{C})^2 \frac{\bar{V}_{k+1,l+1}^2 + \bar{V}_{k+1,ax}^2}{g(r_{l+1} - r_{ax})} (r_{l+1} - r_{ax}) \quad (III.5-15)$$

- se elimină  $\Delta z_{ax,l+1}$  din relația anterioară scriind, pentru cazul canalelor cu fund orizontal, în direcție transversală :

$$\Delta z_{ax,l+1} = h_{k+1,l+1} - h_{k+1,ax} \quad (III.5-16)$$

- în cazul albiilor cu fund neregulat, dar de geometrie cunoscută, relația se adaptează corespunzător :

$$\Delta z_{ax,l+1} = h_{k+1,l+1} - h_{k+1,ax} + (P_{k+1,l+1} - P_{k+1,ax}) \quad (III.5-16')$$

$P_{k+1,l+1}$  este cota patului în secțiunea  $K+1$  corespunzătoare verticalei  $l+1$ ;

$P_{k+1,ax}$  - oata patului în secțiunea  $K+1$ , corespunzătoare verticalei axiale.

Din combinarea relațiilor III.5-15 și III.5-16) rezultă ceea de a doua relație necesară pentru programare sub forma :

$$\bar{V}_{k+1,l+1}^2 = -\bar{V}_{k+1,ax}^2 + \frac{g}{(1+2\frac{Vg}{C})^2} \frac{r_{l+1} + r_{ax}}{r_{l+1} - r_{ax}} (h_{k+1,l+1} - h_{k+1,ax}) \quad (\text{III.5-17})$$

In această fază se poate elibera din ecuația impulsului scrisă pentru  $h_{k+1,l+1}$  (III.5-13) necunoscuta  $\bar{V}_{k+1,l+1}^2$  rezultând o ecuație de gradul doi în necunoscuta  $h_{k+1,l+1}$  :

$$h_{k+1,l+1}^2 - \left[ h_{k+1,ax} + \frac{(1+2\frac{Vg}{C})^2 (r_{l+1} - r_{ax})}{g (r_{l+1} + r_{ax})} \bar{V}_{k+1,ax}^2 \right] h_{k+1,l+1} - \frac{(1+2\frac{Vg}{C})^2 (r_{l+1} - r_{ax})}{g (r_{l+1} + r_{ax})} \{ \quad (\text{III.5-18})$$

$$\left\{ \bar{V}_{k,l+1}^2 h_{k,l+1} - \frac{0,1\sqrt{B}}{2(1+6\frac{g}{C^2})} \frac{\Delta\theta \cdot K\Delta\theta + \frac{\Delta\theta}{2} - \Theta_{max} \mathcal{H}(K\Delta\theta - \Theta_{lim})}{\Delta r} \left[ (\bar{V}^2 h)_{k,l+1}^{\frac{3}{2}} - (\bar{V}^2 h)_{k,l+1}^{\frac{1}{2}} \right] \right\} = 0$$

sau în notație prescurtată :

$$h_{k+1,l+1}^2 - A_{k+1,l+1}^{ax} h_{k+1,l+1} - C_{k+1,l+1}^{ax} = 0 \quad (\text{III.5-18'})$$

În care s-au notat pentru simplificarea scrierii :

$$\begin{aligned} A_{k+1,l+1}^{ax} &= h_{k+1,ax} + \frac{(1+2\frac{Vg}{C})^2 (r_{l+1} - r_{ax})}{g (r_{l+1} + r_{ax})} \bar{V}_{k+1,ax}^2 \\ C_{k+1,l+1}^{ax} &= \frac{(1+2\frac{Vg}{C})^2 (r_{l+1} - r_{ax})}{g (r_{l+1} + r_{ax})} \left\{ \bar{V}_{k,l+1}^2 h_{k,l+1} - \frac{0,1\sqrt{B}}{2(1+6\frac{g}{C^2})} \frac{\Delta\theta}{\Delta r} \right. \\ &\quad \left. \times \frac{K\Delta\theta + \frac{\Delta\theta}{2} - \Theta_{max} \mathcal{H}(K\Delta\theta - \Theta_{lim})}{\Theta_{lim} - \Theta_{max}} \left[ (\bar{V}^2 h)_{k,l+1}^{\frac{3}{2}} - (\bar{V}^2 h)_{k,l+1}^{\frac{1}{2}} \right] \right\} \end{aligned} \quad (\text{III.5-19})$$

Avind în vedere faptul că  $A > 0$ ,  $C > 0$  rezultă că ecuația de gradul doi are două rădăcini reale și de semne contrare. Evident soluția pozitivă este cea care are semnificație fizică și se va reține în program.

După determinarea adâncimii  $h_{k+1,l+1}$  se determină viteza  $\bar{V}_{k+1,l+1}$  cu ajutorul relației (III.5-17).

In continuare se trece la determinarea, din aproape în aproape a adâncimilor  $h_{k+1,i+1}$  și a vitezelor  $\bar{V}_{k+1,i+1}$  pentru  $i=l+1$ pînă la ultima verticală  $i=n$ , cu ajutorul relațiilor anterioare, în care indicele ax se înlocuiește cu indicele i :

$$h_{k+1,i+1}^2 - A_{k+1,i+1}^{i+1} h_{k+1,i+1} - C_{k+1,i+1}^{i+1} = 0 \quad (\text{III.5-18''})$$

$$\begin{aligned} A_{k+1,l+1}^{i+1} &= h_{k+1,i} + \frac{(1+2\frac{Vg}{C})^2 (r_{i+1} - r_i)}{g (r_{i+1} + r_i)} \bar{V}_{k+1,i}^2 \\ C_{k+1,i+1}^{i+1} &= \frac{(1+2\frac{Vg}{C})^2 (r_{i+1} - r_i)}{g (r_{i+1} + r_i)} \left\{ \bar{V}_{k,i+1}^2 h_{k,i+1} - \frac{0,1\sqrt{B}}{2(1+6\frac{g}{C^2})} \frac{\Delta\theta}{\Delta r} \right. \\ &\quad \left. \times \frac{K\Delta\theta + \frac{\Delta\theta}{2} - \Theta_{max} \mathcal{H}(K\Delta\theta - \Theta_{lim})}{\Theta_{lim} - \Theta_{max}} \left[ (\bar{V}^2 h)_{k,i+1}^{\frac{3}{2}} - (\bar{V}^2 h)_{k,i+1}^{\frac{1}{2}} \right] \right\} \end{aligned} \quad (\text{III.5-19''})$$

$$\bar{V}_{k+1,i+1}^2 = -\bar{V}_{k+1,i}^2 + \frac{g}{(1+2\frac{V_e}{c})} \frac{r_{e,i} + r_i}{r_{e,i} - r_i} (h_{k+1,i+1} - h_{k+1,i}) \quad (\text{III.5-17'})$$

Analog se procedează și pentru calculul valorii adințimii și vitezei medii în secțiunea  $K+1$ , verticala  $l$ , însă în această zonă se va schimba semnul expresiei  $\Delta z$ :

$$\Delta z_{ax,l} = \left(1+2\frac{V_e}{c}\right)^2 \frac{\bar{V}_{k+1,l}^2 + \bar{V}_{k+1,ax}^2}{g(r_e + r_{ax})} (r_e - r_{ax}) = h_{k+1,l} - h_{k+1,ax} < 0 \quad (\text{III.5-20})$$

Prin eliminarea lui  $\Delta z_{ax,l}$  rezultă:

$$\bar{V}_{k+1,l}^2 = -\bar{V}_{k+1,ax}^2 + \frac{g}{(1+2\frac{V_e}{c})^2} \frac{r_e + r_{ax}}{r_e - r_{ax}} (h_{k+1,l} - h_{k+1,ax}) \quad (\text{III.5-17''})$$

Inlocuind pe  $\bar{V}_{k+1,l}^2$  în ecuația impulsului se obține ecuația de gradul doi (în notății prescurtate):

$$h_{k+1,l} - A_{k+1,l}^{ax} h_{k+1,l} - C_{k+1,l}^{ax} = 0 \quad (\text{III.5-18''})$$

în care pentru ușurarea scierii, prin analogie cu relațiile (III.5-19) s-au folosit notățiiile:

$$\begin{aligned} A_{k+1,l}^{ax} &= h_{k+1,ax} - \frac{(1+2V_e/c)^2(r_{ax} - r_e)}{g(r_{ax} - r_e)} \bar{V}_{k+1,ax}^2 \\ C_{k+1,l}^{ax} &= -\frac{(1+2V_e/c)^2(r_{ax} - r_e)}{g(r_{ax} + r_e)} \left\{ \bar{V}_{k+1,l}^2 \frac{0,1VB}{2(1+6V_e/c)^2} \frac{\Delta\theta}{\Delta r} \times \right. \\ &\quad \left. \frac{\kappa\Delta\theta + \frac{\Delta\theta}{2} - \Theta_{max} \tilde{J}(\kappa\Delta\theta - \Theta_{lim})}{\Theta_{lim} - \Theta_{max} \tilde{J}(\kappa\Delta\theta - \Theta_{lim})} \left[ (\bar{V}^2 h)_{k+1,l+1}^2 - (\bar{V}^2 h)_{k+1,l-1}^2 \right] \right\} \end{aligned} \quad (\text{III.5-19''})$$

Având în vedere că  $C < 0$  este posibil să apară rădăcini imaginare. Aceasta corespunde fizic faptului că în acea verticală nu există apă și în consecință se va lăsa  $h_{k+1,l} = 0$  respectiv  $\bar{V}_{k+1,l} = 0$ .

În continuare, din aproape în aproape se poate trece la determinarea adințimilor  $h_{k+1,i}$  și vitezelor  $\bar{V}_{k+1,i}$  de la  $i = l-1$  și pînă la  $i = 1$ , cu ajutorul relațiilor anterioare adoptate corespunzătoare:

$$h_{k+1,i}^{i < l} - A_{k+1,i}^{i < l} h_{k+1,i} - C_{k+1,i}^{i < l} = 0 \quad (\text{III.5-18'''})$$

în care:

$$\begin{aligned} A_{k+1,l}^{i < l} &= h_{k+1,i+1} - \frac{(1+2V_e/c)^2(r_{i+1} - r_i)}{g(r_{i+1} + r_i)} \bar{V}_{k+1,i+1}^2 \\ C_{k+1,i}^{i < l} &= -\frac{(1+2V_e/c)^2(r_{i+1} - r_i)}{g(r_{i+1} + r_i)} \left\{ \bar{V}_{k+1,i}^2 \frac{0,1VB}{2(1+6V_e/c)^2} \frac{\Delta\theta}{\Delta r} \times \right. \\ &\quad \left. \frac{\kappa\Delta\theta + \frac{\Delta\theta}{2} - \Theta_{max} \tilde{J}(\kappa\Delta\theta - \Theta_{lim})}{\Theta_{lim} - \Theta_{max} \tilde{J}(\kappa\Delta\theta - \Theta_{lim})} \left[ (\bar{V}^2 h)_{k+1,i+1}^2 - (\bar{V}^2 h)_{k+1,i-1}^2 \right] \right\} \end{aligned} \quad (\text{III.5-19'''})$$

Analog, după determinarea lui  $h_{k+1,i}$  se va determina și viteză  $\bar{V}_{k+1,i}$  cu relația de tip (III.5-17).

§ 6.- Program de calcul automat al vitezelor medii verticale și al adâncimilor apei pe secțiunile în curbă

Intruot algoritmul prezentat în paragraful anterior necesită un volum relativ mare de calcule s-a întocmit un program de calcul automat.

S-a utilizat limbajul de programare FORTRAN.

Calculul vitezelor și al denivelărilor se face de la o secțiune radială la alta.

Cu indicele 1 a fost notată secțiunea transversală situată la distanța  $B/2$  ( $B$  fiind lățimea la oglinda apei în sectorul rectiliniu) amonte de secțiunea de intrare în curbă, de unde s-a considerat că începe influența curbei. Cu indicele 2 a fost notată secțiunea de intrare în curbă corespunzătoare unghiului la centru  $\Theta = 0$ . Secțiunea de ieșire din curbă a fost notată cu indicele  $(m-1)$  și corespunde unghiului la centru  $\Theta_{max}$ , iar secțiunea situată aval, pe sectorul rectiliniu la distanța  $B/2$  a fost notată cu indicele  $m$ .

Pasul cu care variază unghiul la centru în trecerea de la o secțiune la alta, considerind secțiunile echidistante va fi de  $\Theta_{max}/m-3$ , în program acest pas fiind notat  $l$ .

În fiecare secțiune radială s-au luat un număr de  $N$  verticale de calcul, situate simetric două cîte două față de axul secțiunii.

Programul calculează la început vîteza medie a curentului în sectorul rectiliniu de acces și face repartizarea vitezelor medii verticale pentru verticalele de calcul din secțiunea 1 a sectorului rectiliniu de acces.

Se calculează repartiția adâncimilor apei de-a lungul liniei axiale a curbei, după care se rezolvă ecuația de gradul doi din algoritmul prezentat care permite calculul adâncimilor în verticalele secțiunii cu indicele 3. Adâncimile pe verticalele secțiunii 2 se consideră a fi medii aritmetice ale adâncimilor pe verticalele omoloage ale secțiunilor 1 și 3. (fig. III-1-3)

Se calculează apoi vitezele medii în secțiunea 3 corespunzătoare verticalelor în care s-au calculat adâncimile. Cu ajutorul sumei produselor vr calculate în secțiunile 1 și 3 se face o compensare a vitezelor obținute. Vitezele medii pe ver-

ticalele secțiunii 2 se determină ca medii aritmetice ale vitezelor pe verticalele omoloage aic secțiunilor 1 și 3.

Se continua în mod analog cu secțiunile 4,5 ... M-2.

In secțiunea M se considera ca s-a restabilișt distribuția adincoimilor și vitezelor caracteristice unui sector rectiliniu, iar în secțiunea (M-1), de ieșire din curbă se face o medie aritmetică a valorilor de pe verticalele omoloage din secțiunile (M-2) și M.

Programul a fost testat pentru modelui râului Argeș, considerindu-se M = 10 secțiuni de calcul, iar în fiecare secțiune un numar de N = 8 verticale de calcul. Rezultatele obținute au fost incurajatoare, pentru efectuarea calcuierelor fiind necesar un timp de 4 minute calculatoră.

In continuare se prezintă schema logică a programului întocmit și o listă a semnificației unor litere care apar în aceasta schema logică.

#### Semnificația notatiilor utilizate

RAX = raza de curbură a liniei axiale ;

TETA = unghiul la centru corespunzător unei secțiuni radiale ;

MAX = înălțimea apei corespunzătoare liniei axiale ;

ETA = distanța relativă a verticalei de mal ;

F = funcție auxiliară, internire în calculul vitezelor la intrarea în curbă ;

V = viteza medie corespunzătoare unei verticale ;

VAX = viteza medie corespunzătoare verticalei axiale ;

H = adincoimea apei pe verticală ;

V2 = viteza medie corespunzătoare unei verticale la pătrat ;

B = funcție auxiliară, intervine în calculul vitezelor și adincoimilor ;

R = raza de curbură ;

VAX 2 = viteza medie pe verticală axială la pătrat ;

N = numărul verticalelor de calcul într-o secțiune axială ;

$m$  = numărul secțiunilor radiale de calcul ;

$\Delta$  = diferența unghiurilor la centru a două secțiuni radiale consecutive ;

$C$  = coeficientul lui Chezy ;

$B_1$  = lățimea oglinziei apei în sectorul rectiliniu (de acces) ;

$HAX_1$  = adâncimea apei în axul sectorului rectiliniu (de acces) ;

$Q$  = debitul de calcul ;

$S_1$  = secțiunea vie corespunzătoare sectorului rectiliniu ;

$\Sigma \text{TOTAL}$  = unghiul la centru limită, corespunzător secțiunii cu cea mai intensă circulație transversală ;

$HAX_C$  = adâncimea apei în curbă, corespunzătoare liniei axiale ;

$G$  = acceleratia gravitațională ;

$\Sigma \text{SUMA}_1$  = funcție auxiliară, intervine în compensarea erorilor în trecerea de la o secțiune la alta și reprezintă suma produselor  $v_i h_i$  aferente verticalelor transversale pe sectorul rectiliniu ;

$V_1$  = viteza medie pe sectorul rectiliniu de acces ;

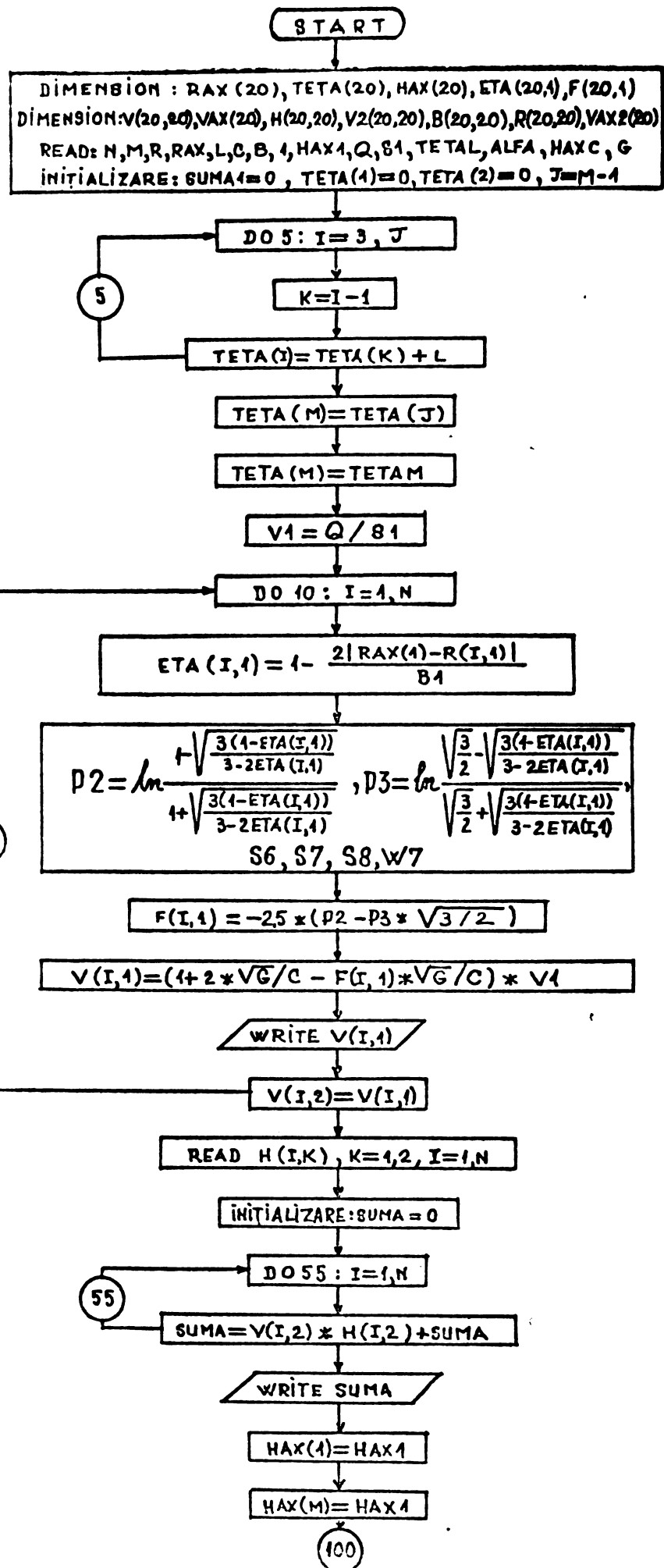
$P_1, P_2, P_3, S_6, S_7$  = funcții parțiale ce intervin în calculul distribuției vitezei pe seectorul rectiliniu ;

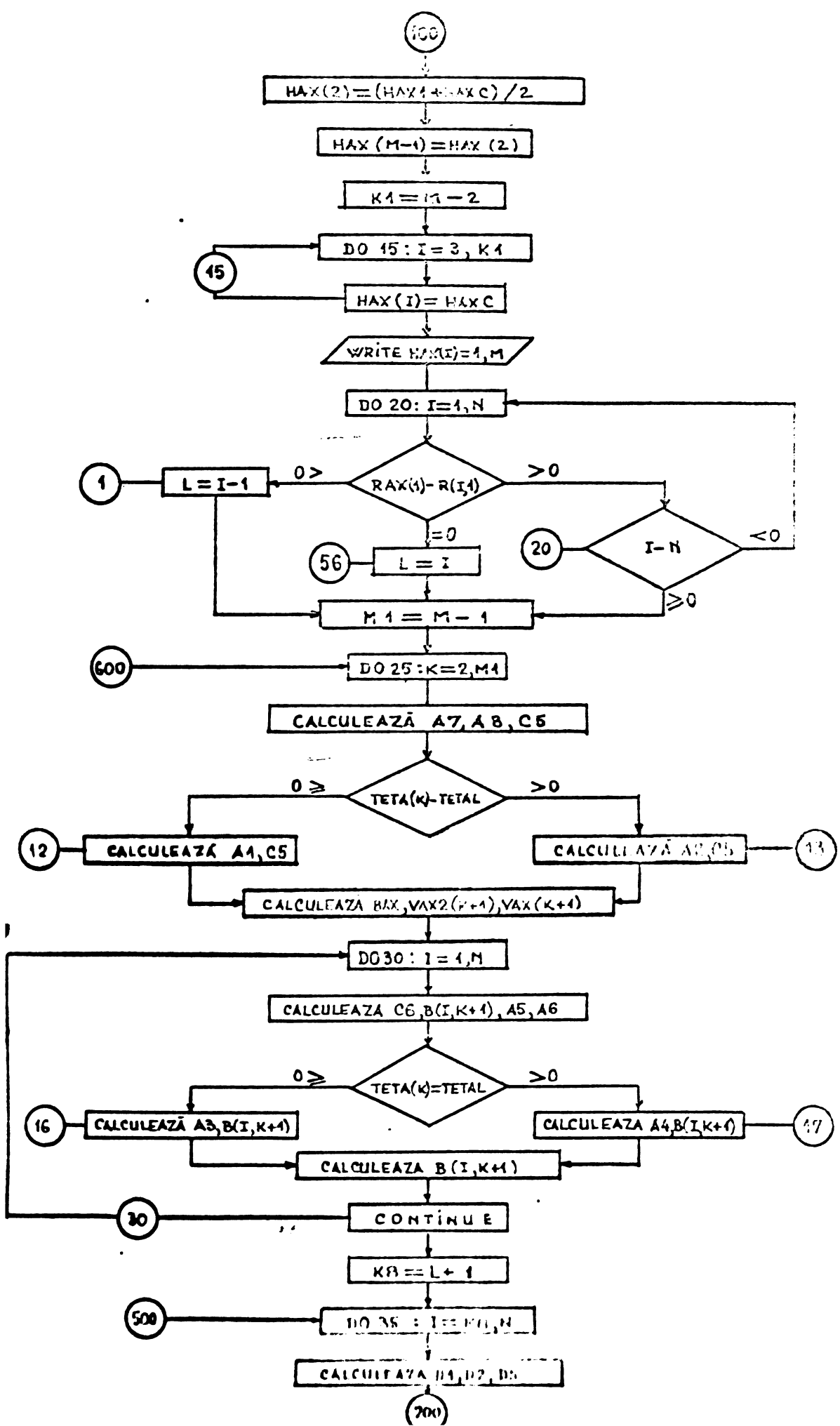
$\Sigma \text{SUMA}$  = funcție auxiliară, intervine în compensarea erorilor în trecerea de la o secțiune la alta, reprezentând suma produselor  $v_i h_i$  aferente verticalelor unei secțiuni radiale pe seectorul în curbă ;

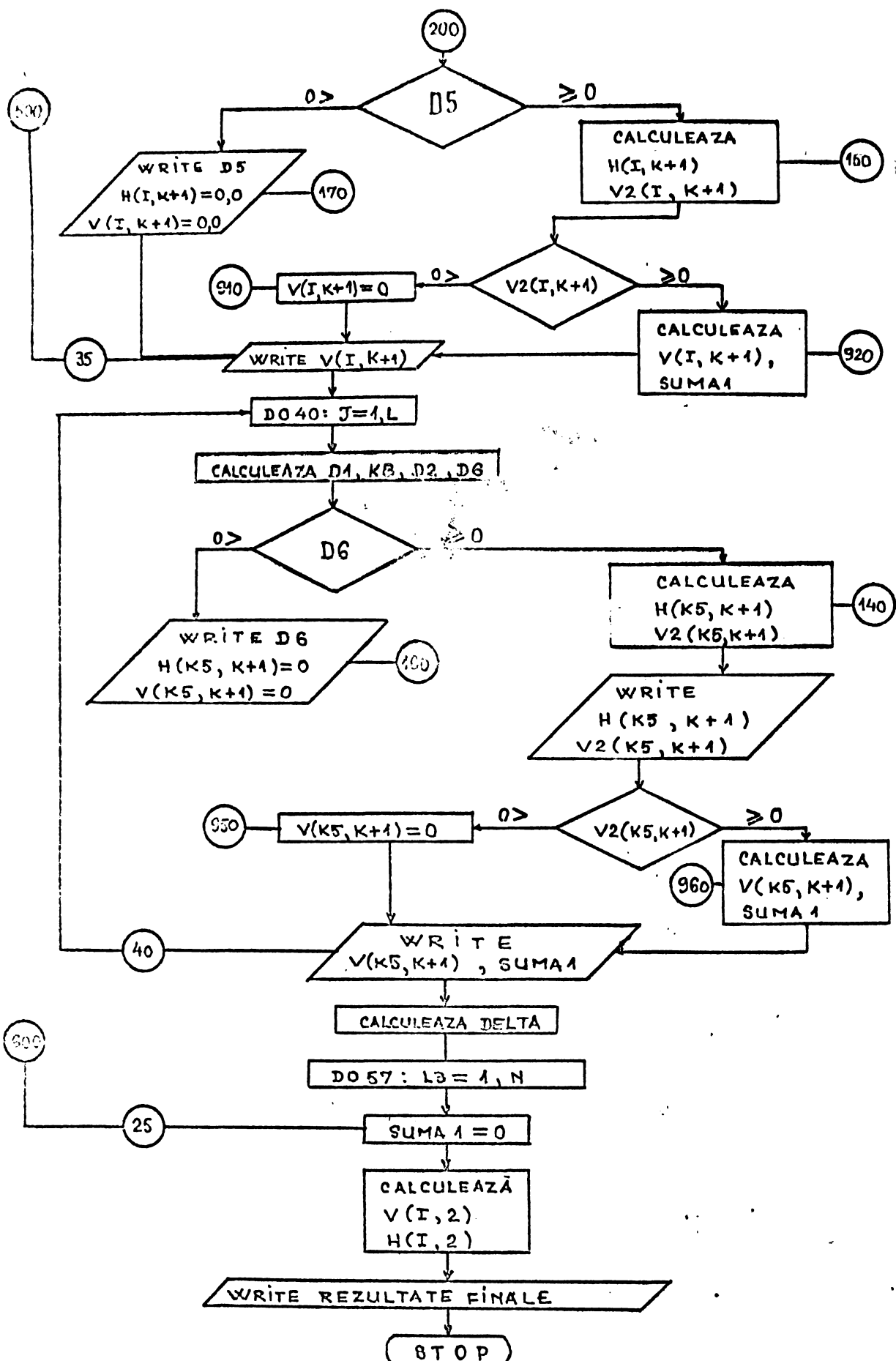
$A_1, A_2, A_3, A_4, A'_7, A_8, C_5, C_6, BAX, D_1, D_2, D_5, D_6$  = funcții parțiale ce intervin în calculul distribuției vitezelor și adâncimilor pe sectoarele în curbă ;

$K_5$  = indice fix, indicând o anumită verticală ;

$\Sigma \text{DISTA}$  = funcție auxiliară ce intervine în calculul erorilor în trecerea de la o secțiune la alta, reprezentând diferența celor două sume anterioare de produse  $v_i h_i$  .







## C a p i t o l u i    IV

### CONTRIBUȚII LA DETERMINAREA INFLUENȚEI TRANSPORTULUI DE ALUVIUNI TIRITE ASUPRA STABILITATII ALBIILOR PE SUCȚOARELE IN ALIMENT

#### S 1. Fenomenul de transport a aluviunilor tirite, teorii și relații analitice

In procesul de formație și evoluție a albiilor aluviu-nile tirite constituie unul din factorii principali. De aceea studiul fenomenului de transport a acestor aluviuni prezintă o importanță deosebită pentru proiectarea corespunzătoare a lu-crărilor de regularizare.

Fenomenul de mișcare a aluviunilor apare în literatură de specialitate /M.1-p.736/ sub formă unor observații calitative în jurul anului 1700 (D.Guglielmini), continuato printr-un studiu cu caracter științific datorat lui L.G.du Buat (1816). Datorită complexității deosebite a fenomenului diferențele teoreti au evoluat în timp, evoluție continuând și în prezent.

Complexitatea fenomenului a condus pe diferenții cercetători la propunerea de diferite clasificări pentru transpor-tul de aluviuni. Încercând o sinteză a acestor clasificări se poate considera că, în general, aluviunile sunt transportate prin plătire, suspensie, salutare și tirire.

a.- Prin plătire sunt transportate particulele cele mai fine, orientativ având  $d < 0,05$  mm. În /S-6/ aceste aluviuni sunt denumite aluviuni tranzitate, în timp ce în /B.1-p.45/ se utilizează denumirea de aluviuni spălate. Provenind din eroziunea solului în bazinul hidrografic aluviunile spălate se înregistrează abundent în prima parte a sezonului ploios și reprezin-tă obișnuit cantitatea cea mai mare din totalul aluviunilor transportate de râu. Datorită faptului că nu vin în contact cu substratul solid influența aluviunilor spălate asupra albiei este foarte mică, practic neglijabilă.

b.- Aluviunile transportate în suspensie sunt constituite în cca mai mare parte din granule de nisip fin care plutesc în apă ajutate fiind și de impulsurile succese pe care le primesc din partea particulelor de apă aflate în curgere turbulentă. Variația intensității impulsurilor turbulente face ca să nu se poată da limite precise pentru această categorie de aluvioni. Datorită caracterului fluctuant, aleator al impul-

surilor turbulente este posibil ca unele particule să se depună, iar altele să fie ridicate. Pe un sector de lungime scurtă a rîului se poate considera că debitul aluviunilor în suspensie este constant rezultând că acest tip de transport nu poate avea o influență asupra stabilității locale a albiei. Pe un sector lung, însă, pot apărea modificări semnificative ale caracteristicilor de turbulentă a curentului și în consecință apar variații ale debitului aluviunilor în suspensie, variații care influențează stabilitatea generală a albiei. O corelație cu caracter de unicitate între debitul lichid și debitul aluviunilor în suspensie nu a fost încă stabilită.

c.- Aluviunile sălțate au în general dimensiuni mari mari deoît a celorlalte două tipuri de aluviuni prezente. Pe lîngă impulsurile pe care le primesc din partea particulelor de apă în cursere turbulentă la desprinderea și plutirea acestor particule contribue și o forță de portanță apărută ca urmare a efectuării unei mișcări de rotație a particulelor aluvionare.

d.- Aluviunile tîrîte sunt aluviunile de dimensiunile cele mai mari pe care le poate transporta cursul de apă și la care greutatea proprie nu poate fi depășită de forța ascensională hidrodinamică. Aceasta face ca în decursul mișcării aluviunile tîrîte să păstreze permanent contactul cu patul solid deplasîndu-se prin alunecare și rostogolire. Este de menționat că, în timp ce aluviunile spălate și în suspensie se mișcă cu aceeași viteză ca apele, aluviunile sălțate și în special cele tîrîte se mișcă cu o viteză mai mică.

Tot în legătură cu aspectul fizic se atrage atenția asupra modului diferit în care se respectă principiul conservării masei în mișcarea lichidului, aluviunilor spălate și în suspensie pe de o parte și în mișcarea aluviunilor tîrîte pe de altă parte. În timp ce la primele, pe un sector elementar, debitul affluent este egal cu cel defluent, în cazul aluviunilor tîrîti această egalitate nu are întotdeauna loc existând posibilitatea că diferența celor două debite să se depună sau să fie erodată din patul aluvionar. În cadrul unor parametri hidraulici precizați situația stabilă a albiei este acea situație unică de egalitate a debitului affluent de aluviuni tîrîti cu debitul defluent. Acest debit care a fost pus în evidență de cercetările experimentale proprii de laborator și care este confirmat de existența în natură a unor sectoare de rîu relativ stabilă este denumit în continuare capacitate de transport a rîului relativ la aluviunile tîrîte. Din aceste precizări rezultă că pentru aprof-

cirea stabilității locale a albiei este esențial să se determine capacitatea de transport a aluviunilor tărîte.

Una dintre contribuțiile majore ale tezei se referă tocmai la modul de determinare, pe baze semi-empirice a capacitatii de transport a unui râu, însotită de verificările efectuate în laborator și în natură privind valabilitatea concluziilor formulate precum și de indicarea unei metode clară și simplă pentru proiectarea lucrărilor de regularizare.

În continuare se face prezentarea, pe scurt, a principalelor direcții în care s-au dezvoltat teoriile existente referitoare la transportul aluviunilor tărîte cu scopul de a preciza poziția și avantajele formulei ce se va utiliza în teză.

Unele dintre cele mai noi teorii acordă mai puțină importanță modurilor deosebite de mișcare a aluviunilor și susțin că transportul aluviunilor este un fenomen care trebuie tratat integral, cuprinzând toate fracțiunile de aluviuni, variind de la cele mai mari pe fundul albiei, pînă la cele mai mici la suprafața apei /E-4/, /E-5/, /L-5/, /L-4/, /S-6/. În paralel cu aceasta și mențin importanță și teoriile care tratează distinct problema doar a aluviunilor tărîte deoarece concluziile formulate pe baza lor se verifică bine cu observațiile experimentale și din natură /H-1/, /M-1/.

În teză, în continuare, referirile se fac numai la aluvii tărîti și stabilitatea locală a albiei.

Intr-un curent de apă uniform, pe un pat mobil, faza de început a transportului aluviunilor tărîti este caracterizată prin anumite valori ale mărimilor caracteristice ale curentului numite "orifice". Astfel de mărimi sunt considerate: efortul tangențial unitar  $\tau_c$  la nivelul patului albiei și viteza curentului  $U_c$  în momentul desprinderii și deplasării particulelor.

În teoriile moderne se preferă caracterizarea curentului, capabil să producă antrenarea unui anumit tip de aluviuni, prin valoarea critică  $\tau_c$  a efortului de frecare la nivelul patului, numit și efortul tangențial unitar la nivelul patului, deoarece această caracteristică apare și în teoriile moderne ale curgerii turbulente. Abordarea problemei, pe baza unui model fizic pentru interpretarea experiențelor proprii și ale predecesorilor, a fost făcută de Shields în 1935. El a demonstrat că efortul tangențial critic depinde de numărul  $Re$  și de diametrul aluviunilor, prelucrind datele experimentale sub forma:

$$\frac{\tau}{(\gamma_s - \gamma)d} = k \quad (IV.1-1)$$

în care :

$$k \text{ este o funcție de } Re_s = \frac{V_s d}{\gamma} ; \quad V_s = \sqrt{\gamma h i}$$

$\gamma$  - coeficientul de vîscozitate cinematică ;

d - diametrul aluviunilor ;

$\gamma_s, \gamma_i$  - greutatea specifică a aluviunilor, respectiv a apei ;

h și i - înălțimea și respectiv panta suprafeței libere a apei.

Pentru  $Re_s \geq 500$ , după Shields,  $k = 0,06$  /H-1 pg.28/

După alți cercetători efortul critic de antrenare, care determină începutul mișcării aluviunilor, se exprimă prin alte relații. Fuse în același grafic comparativ (figura IV.1-1) curbele nu se suprapun prezentând o zonă de împreăștere care indică influența în fenomenul respectiv și a altor parametri

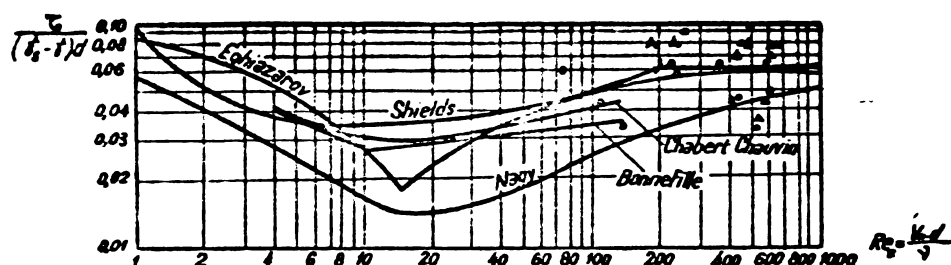


Fig. IV.1-1 Graficul funcției  $\frac{\tau}{(f_s - f)d} = k(R_e)$  după diverse cercetători.  
și date experimentale proprii.

Pe același grafic sunt trecute puncte exprimând rezultatele experimentale de laborator proprii, care se constată că se încadrează în domeniul cuprins între  $Re_s = 52 - 672$  și  $\frac{\tau}{(\gamma_s - \gamma)d} = 0,020 - 0,242$  situându-se aproximativ în concordanță cu curbele celorlalți cercetători. Valorile numerice respective sunt date în tabela IV.1-1.

Formulele pentru caracterizarea mișcării aluviunilor tîrîte prin viteza critică de antrenare au fost propuse în special de cercetătorii sovietici : Velikanov M.A. și Bocikov N.M. (1929 /V-1/, Sanov G.I. (1948, 1954) /S-5/, Gonçearov V.N. /G-2/ și cele mai răspîndite, relațiile lui Levi-Moroz /L-4/ :

$$V_s = a \sqrt{\gamma \frac{\gamma_s - \gamma}{\gamma} d} \left( \frac{R}{d} \right)^m \quad (\text{IV.1-2})$$

în care :

$a \approx 1/4 + 1/6$  (frecvență  $n = 1/6$ ) ;

$a = 1,3 + 1,4$  pentru  $d = 0,25 - 0,25$  mm ;

$a = 1,2$  pentru  $0,25 < d < 0,7$  mm ;

$a = 1,0$  pentru  $d \geq 0,7$  mm.

Este necesar să se facă precizarea că din punct de vedere al structurii formulele bazate pe efortul unitar critic sunt echivalente cu formulele bazate pe viteza critică de antrenare a aluvionilor. Pentru aceasta se folosește relația dintre viteza medie a curentului și efortul unitar  $Z$  și anume :

$$V = \sqrt{\frac{2Z}{\gamma g \lambda}} \quad \text{.. (IV.1-3)}$$

în care :

$$\lambda = f\left(\frac{h}{d}, Re\right) \text{ este coeficientul de rezistență.}$$

Ca urmare, înînd cont de formula (IV.1-1), formula (IV.1-3) devine :

$$V_m = \sqrt{\frac{2k}{f}} \sqrt{g \frac{\delta_n - \delta}{\delta} d} = F\left(\frac{h}{d}, Re\right) \sqrt{g \frac{\delta_n - \delta}{\delta} d} \quad \text{(IV.1-4)}$$

identică în privința structurii cu formula (IV.1-2).

Formulele pentru  $Z_m$  și  $V_m$ , în general, sunt valabile în limita condițiilor de laborator în care au fost deduse. La nivelul anului 1973, se apreciază numărul de formule existente la peste 200 /L-5/.

In majoritatea cazurilor experiențele care au stat la baza deducerii formulelor se referă la o suprafață plană a patului aluvionar pe care curge curentul. În cazul patului cu râuri, dune și antidune, viteza critică și efortul critic de antrenare a aluvionilor diferă față de cele rezultate din calculul cu relațiile stabilite pentru patul plat /L-5/.

Foarte mulți cercetători au căutat să stabilească formule de calcul pentru exprimarea debitului aluvionilor tirite, numit și debit solid tirit. Aceste formule au fost obținute, aproape exclusiv, folosind date experimentale, în condiții de laborator și se bazează pe teoria antrenării aluvionilor de către curent (efort tangențial critic, viteza critică și debit critic) sau, în ultima perioadă, pe teoria statistică a mișcării aluvionilor.

Prima formulă care a permis calculul debitului solid tirit de un curent retiliniu uniform a fost cea propusă de Du Boys (1879) :

$$P = \psi \cdot (Z - Z_{cr}) Z \quad \text{.. (IV.1-5)}$$

în care :

$P$  este debitul specific de aluvioni tirite (pe unitate de lățime a albiei) ;

$Z$  - efort unitar de antrenare la nivelul patului ;

$Z_{cr}$  efort unitar critic de antrenare la nivelul patului ;

$\psi$  - un coefficient ale cărui valori depind de diametrul

aluvionilor.

Ulterior, au stabilit formule de calcul pentru debitul solid tîrît, pe baza efortului unitar critic de antrenare, cercetători cunoscuți ca Chang, Schoklitsch, Straub, Mc.Dougall și alții.

Dată răspîndire foarte largă și apreciere generală, în special în Europa occidentală, se bucură formula obținută de Meyer-Peter și Müller. Formula actuală este o formă îmbunătățită a formulii obținută de autori în 1934 și se bazează pe un volum foarte mare de date experimentale efectuate cu diferite sorturi de material aluvionar, de diametre și greutăți specifice diverse; experiențele respective au fost efectuate în laboratorul din Zürich /M-14/. Forma îmbunătățită a formulii Meyer Peter - Müller care se utilizează în teză, este :

$$P = \delta b d \sqrt{g \Delta} \left[ \frac{M h i}{\Delta d} - 0,047 \right]^{\frac{3}{2}} \quad (\text{IV.1-6})$$

în care :

$P$  reprezintă debitul solid al aluvionilor tîrîti (în  $\text{m}^3/\text{s}$ ) ;

$b$  este lățimea albiei (în  $\text{m}$ ) ;

$d$  - diametrul mediu al particulelor exprimat în  $\text{m}$  ;

$g$  - acelerația gravitațională în  $\text{m/s}^2$  ;

$\Delta = \frac{\rho_a - \rho_s}{\rho_s}$ , masa specifică relativă a aluvionilor sub apă, pentru aluvioni nisipoase  $\Delta = 1,65$ ;

$h$  - adâncimea curentului în  $\text{m}$  ;

$i$  - panta suprafeței libere a apei ;

$M$  este așa numitul "factor de rifluri"; denumirea a fost introdusă inițial de Einstein /E-3/; mai tîrziu ușor modificat ca definiție, factorul  $M$  reprezintă influența formei patului asupra transportului de aluvioni tîrîti și se calculează cu relația

$$M = \left( \frac{C}{C'} \right)^{3/2} \quad (\text{IV.1-7})$$

unde :

$C$  este coeficientul lui Chezy prin care se caracterizează rugozitatea patului cu toate obstacolele existente în calea curgerii ; dintre relațiile utilizate pentru calculul lui  $C$  s-a reținut formula de tip Nikuradze (IV.1-8) și de tip Manning (IV.1-8'). Prima formulă a fost adoptată în urma indicațiilor lui H.A.Einstein și a utilizării ei în cadrul unor cercetări efectuate în laboratorul de la Delft, Olanda /B-1, pg.42/. Formula a fost stabilită de către Nikuradze în anul 1926 pe baza teoriei semi-empirice a turbulentei elaborată de L.Prandtl și Th.von

Karman, valorile constantelor numerice din formulă fiind determinate pe cale experimentală de către Keulegan.

$C'$  este coeficientul corespunzător patului neted, fără rificuri sau alte obstații, a cărui rugozitate se poate caracteriza prin diametrul aluviunilor aşezate una lîngă altă (rugozitate tip nisip dintre relațiile utilizate pentru calculul lui C).  
 $C'$  s-a reținut formula de tip Nikuradze (IV.1-9).

$$C = 18 \lg \frac{12h}{k_r} \quad (\text{IV.1-8})$$

$$C = \frac{1}{n} R^{1/6} \quad (\text{IV.1-8}')$$

$$C' = 18 \lg \frac{12h}{k_p} \quad (\text{IV.1-9})$$

Formula lui Meyer Peter și Müller se aplică în limite destul de largi indicate astfel în /L-5, pg. 96/ :

$$i = 0,004 \dots 0,02$$

$$d = 0,4 \dots 30 \text{ mm}$$

$$h = 0,01 \dots 1,2 \text{ m}$$

$$q = 0,002 \dots 2,0 \text{ m}^3/\text{s.}$$

Conform indicațiilor din /B-1, pg. 63/ formula este aplicabilă în limite mult mai largi referitoare la  $h$  și  $q$ .

In ultima perioadă s-au aplicat mult teoriile statisticii matematice la calculul debitului solid tîrît. Primul care a introdus această nouă concepție, interpretând statistic fenomenul de antrenare a aluviunilor, a fost H.A. Einstein. Relația obținută inițial de Einstein (1937) a fost îmbunătățită pe parcurs prin schematizarea fenomenului fizic /E-2/, /E-3/, introducerea lungimii de penetrare (noțiune definită de Bagnold prin analogie cu lungimea de amestec) și, mai tîrziu, prin considerarea transportului total de aluviuni /E-4/, /E-5/ și separarea rezistențelor hidraulice ale patului albiei și ale formațiunilor de pe el.

Un model stochastic interesant pentru calculul transportului de aluviuni tîrîte a fost conceput de A.A. Kalinske. El a luat în considerare viteza punctuală a fluidului și efortul de freccare la nivelul patului ca fiind pulsatorii în timp datorită caracterului turbulent al sourgerii lichide /K-2/.

In 1964 A.G. Mercer a propus modelul de pat alcătuit din particule aluvionare încoleștate /u-13/ pe care A.S. Paintal a stabilit, în 1969, un model stochastic de calcul al transportului aluvionar /P-8/, /P-9/, mai apropiat de aspectele reale ale fenomenului.

Comparind cele trei metode statistice, prezentate succint, se constată că, deși sunt fundamentate pe interpretări stocastice diferite ale fenomenelor aluvionare, rezultatele obținute nu diferă calitativ esențial, diferențele fiind numai cantitative.

În figura IV.1-2 s-au reprezentat curbele obținute prin metodele statistice într-un sistem unic de coordonate adimensionale pentru a permite compararea lor.

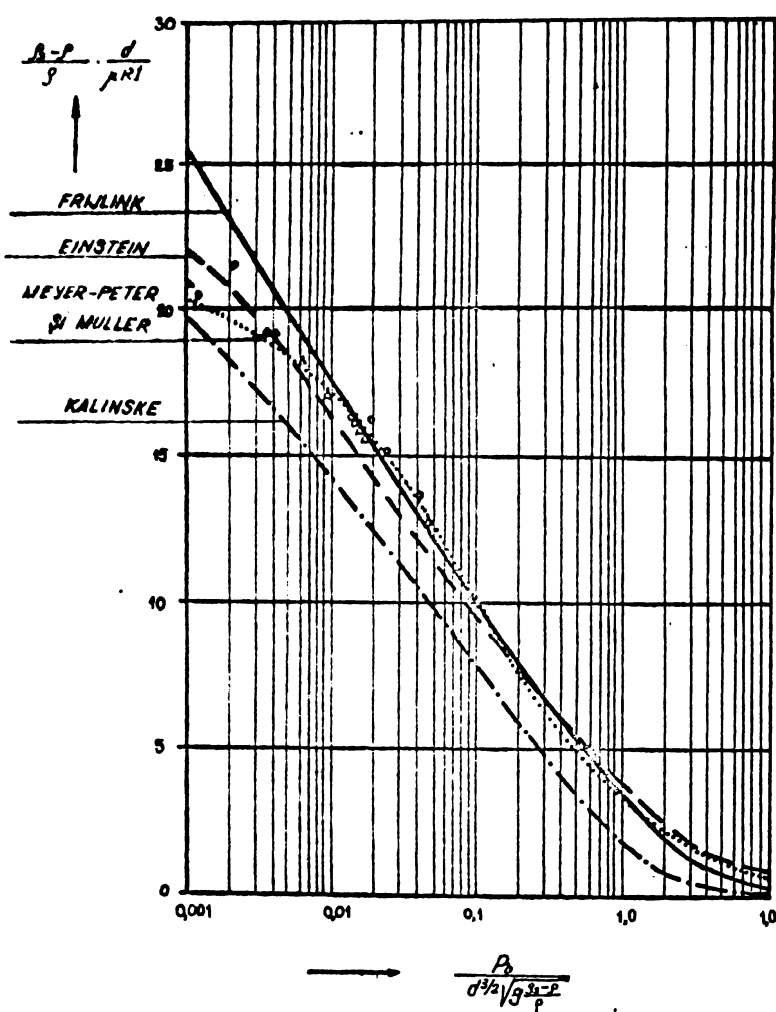


Fig. IV.1-2. Comparatie între diferite formule de calcul a debitului solid tirit.  
• date experimentale proprii.

De asemenea este prezentată curba obținută cu formula Meyer Peter-Müller. Se observă că formula lui Einstein și Meyer Peter-Müller concordă destul de bine.

Pe lîngă concordanța bună cu celelalte reprezentări folosirea relației lui Meyer Peter - Müller în cadrul tezei a fost determinată de concordanța bună cu rezultatele experimentale proprii (indicate în fig. IV.1-2 și calculațe în tabela IV.1-1) ca și de posibilitățile de interpretare analitică pe care formula le permite.

TABEL CUPRINZIND CALCULUL PARAMETRILOR ADIMENTIONALI CARACTERISTICE PENTRU TRANSPORTULUI DE ALUVIUNI TIRITE ( $Re_s$ ,  $\frac{\tau}{(\gamma_s - \gamma)d}$ ,  $\varphi$  si  $\psi$ )  
 $\langle h \rangle = \langle b \rangle = \langle d \rangle = 1 \text{ m}$ ;  $\langle v_s \rangle = 1 \text{ m/s}$ ;  $\langle \tau \rangle = 1 \text{ N/m}^2$  ( $1 \text{ kgf/mm}^2$ )

Tabel 1 IV.1-1

$i$	$\frac{h}{b}$	$v_s = \sqrt{gh_i}$	$\tau = \gamma h i$	$d$	$Re_s = \frac{v_s d}{\eta}$	$\frac{\tau}{(\gamma_s - \gamma)d}$	$\varphi_p = \frac{d^2 \sqrt{\frac{\gamma_s - \gamma}{g}}}{S}$	$\psi = \frac{S_0 - S}{S} \cdot \frac{d}{M_R}$
$0,010$	$\frac{0,10}{1,93}$	0,099	9,81 (1,00)	0,004	330	0,151	0,0955	10,14
				0,006	495	0,101	0,0480	13,65
				0,008	660	0,076	0,0130	16,50
	$\frac{1,02}{2,73}$	0,088	7,85 (0,80)	0,004	235	0,121	0,0450	12,73
				0,006	442	0,081	0,0210	16,70
				0,008	590	0,061	0,0015	20,30
	$\frac{0,06}{4,53}$	0,077	5,89 (0,60)	0,004	255	0,091	0,0132	16,40
				0,006	382	0,061	0,0021	22,00
				0,008	599	0,045	-	27,10
	$\frac{0,04}{8,93}$	0,063	3,92 (0,40)	0,001	52	0,242	0,1355	8,98
				0,002	104	0,121	0,0244	15,00
				0,004	209	0,061	-	24,30
				0,006	313	0,040	-	31,70
				0,008	417	0,030	-	40,20
	$\frac{0,02}{20,3}$	0,044	1,96 (0,20)	0,001	37	0,121	0,0008	17,50
				0,002	74	0,061	-	28,40
				0,003	111	0,040	-	37,50
				0,004	147	0,030	-	45,20
				0,006	221	0,020	-	58,10
$0,008$	$\frac{0,13}{1,33}$	0,101	10,20 (1,04)	0,008	572	0,079	0,0170	16,05
				0,010	109	0,061	-	27,00
	$\frac{0,11}{1,33}$	0,093	8,53 (0,88)	0,005	454	0,089	0,0190	15,60
				0,008	619	0,067	0,0039	18,73
	$\frac{0,09}{3,53}$	0,084	7,05 (0,72)	0,004	280	0,109	0,0095	14,10
				0,005	420	0,073	0,0046	18,55
				0,008	559	0,055	-	22,60
	$\frac{0,07}{2,23}$	0,074	5,49 (0,55)	0,004	246	0,085	0,0051	17,85
				0,005	369	0,057	-	23,50
				0,008	492	0,042	-	29,00
	$\frac{0,05}{5,93}$	0,053	3,93 (0,40)	0,003	157	0,081	0,0010	21,00
				0,004	209	0,061	-	24,20
				0,005	313	0,040	-	32,60
				0,008	418	0,030	-	39,80

## § 2.- Fundamentarea metodei propuse pentru determinarea stabilității locale

Albiile naturale sunt rezultatul acțiunii desfășurate timp îndelungat de factorii activi-modelatori, generați de regimului hidraulic al rîului și factorii pasivi-rezistenți, dați de structura fizică a patului /D-1 pg.52/.

Între acești factori determinanți pentru forma și dimensiunile albiei, sunt debitele lichide și debitele de aluvioni tifite.

Debitele lichide ale cursurilor naturale de apă sunt, de regulă, variabile în timp succesiunea lor constituind hidrograful debitelor. Diferitele debite ale hidrografului influențează diferit dimensiunile albiei. Metodele de proiectare ale luorăriilor de regularizare, în stadiul actual, folosesc un debit unic de calcul denumit "debit de formare".

Prin debit de formare se înțelege debitul constant care ar avea în timp îndelungat asupra albiei același efect ca și hidrograful debitelor reale. Forma și dimensiunile secțiunii transversale a albiei, corespunzătoare acestui debit de formare, prezintă un caracter stabil în timp, constanta regimului hidraulic implicând constanta secțiunii transversale. Întrucât hidrograful real al debitelor este variabil în timp se vor produce variații temporale și ale secțiunii transversale. Cumulate, însă, pe o perioadă suficient de lungă în timp aceste variații se compensează reciproc astfel încât efectul rezultant al hidrografului să fie echivalent cu efectul debitului de formare. Este de menționat că debitul de formare nu coincide cu debitul mediu multi-anual. Conform recomandărilor date de "Bureau of Reclamation" (U.S.A.) și în concordanță cu modul de utilizare a relațiilor morfometrice și a relațiilor din "teoria regimului", drept debit de formare se consideră debitul din perioada cu cea mai intensă mișcare a aluvioniilor de fund /M-2, pg.100/. Această definiție este adoptată și în teză fiind folosită în mod efectiv, ca ipoteză de bază, în deducerea unor relații analitice. Pentru caloul prelucrare, drept debit de formare se poate lua debitul care umple albia minoră. Pentru calcule mai pretențioase se recomandă ca determinarea debitului de formare să se facă funcție de intensitatea proceselor de albire cu metoda indicată în /D-1, pg. 141/. După determinarea debitului de formare, folosind curba de

asigurare a debitelor, se determină și asigurarea acestui debit. În acest fel proiectantul lucrărilor de regularizare cunoaște debitul de formare și asigurarea lui, pentru râurile pe care există suficiente înregistrări de debite lichide și solide tîrîte. În cazul cînd nu există suficiente înregistrări de debite solide tîrîte, determinarea debitului de formare este incertă.

Relația lui Chezy utilizată pentru calculul hidraulic, în general, poate fi folosită și în cazul debitului de formare :

$$Q = S C \sqrt{R J} \quad (IV.2-1)$$

unde  $S$  este secțiunea transversală stabilă ;

$R$  – rază hidraulică a secțiunii respective ;

$J$  – puncta energetică ;

$C$  – coeficientul de rezistență al lui Chezy.

În teză acastă relație a fost utilizată concret cu următoarele două precizări :

– secțiunea transversală a albiei a fost schematizată sub formă trapezoidală cu baza mică  $b$ , înălțimea  $h$ , înclinarea taluzului 1: $m$  și în consecință pentru  $S$  și  $R$  s-au folosit relațiile :

$$\left. \begin{aligned} S &= (b + mh)h \\ R &= \frac{(b + mh)h}{b + 2hv \sqrt{1 + m^2}} = \frac{(b + mh)h}{b + m'h} \end{aligned} \right\} \quad (IV.2-2)$$

– coeficientul de rezistență  $C$  se adoptă ca și în paragraful precedent (IV.1-8) și (IV.1-8').

Ca urmare a precizărilor de mai sus pentru calculul debitului se folosește efectiv una din formulele :

$$Q = \frac{(b + mh)^{3/2} h^{3/2}}{(b + m'h)^{1/2}} i^{1/2} 18 \lg \frac{12h}{k_r} \quad (IV.2-3)$$

$$Q = \frac{i^{4/2}}{n} \frac{(b + mh)^{5/3} h^{5/3}}{(b + m'h)^{4/3}} \quad (IV.2-3')$$

Se face precizarea că, spre deosebire de multe din relațiile utilizate în regularizările de râuri care folosesc lățimea  $b$  la oglinda apel drept mărime de bază, în relațiile (IV.2-3) și (IV.2-3') s-a folosit lățimea  $b$  la fund drept mărime de bază deoarece născerea salviunilor tîrîte se face pe patul aluvionar și nu la suprafața apel.

Formula debitului reprezintă prima ecuație fundamentală a problemei studiate.

A doua ecuație fundamentală se referă la debitul de salviuni tîrîte și s-a adoptat, pentru consideranțele arătate la

paragraful 1 al acestui capitol, formula Meyer Peter și Müller (IV.1-6).

Mărimile care intervin în aceste două ecuații fundamentale pot fi împărțite în două categorii.

a.- O primă categorie cuprinde mărimile cunoscute de la început de proiectantul lucrărilor de regularizare ; în această categorie intră :

-  $m$ , coeficientul taluzului determinat de natura terenului astfel ca să fie asigurată stabilitatea acestuia ;

-  $m'$ , rezultă din valoarea adoptată pentru  $m$  ;

-  $n$  și  $k_r$  parametri de rugozitate funcție de natura patului, obstacolelor de pe pat (rifluri, dune etc) și eventuale consolidări ;

-  $Q_F$  debitul de formare determinat conform celor precise anterior în  $\text{m}^3/\text{s}$  ;

-  $d$ , diametrul mediu al aluviunilor tărîte în  $\text{m}$  ;

-  $g$ , accelerația gravitațională,  $g = 9,81 \text{ m/s}^2$  ;

-  $\Delta$ , masa specifică relativă a aluviunilor sub apă ;

-  $k_s$ , parametru de rugozitate absolută, tip nisip, corespunzător patului acoperit cu granule aluvionare de diametru  $d$  ; se consideră  $k_s = d$ .

b.- A doua categorie cuprinde mărimile care în unele probleme pot fi cunoscute de proiectant, dar în alte probleme pot apărea ca neconoscute. Din această categorie fac parte :

-  $P$  care reprezintă debitul solid de aluviuni tărîte în  $\text{m}^3/\text{s}$  ;

-  $b$  și  $h$ , dimensiunile caracteristice secțiunii trapezoidale ;

-  $C$  și  $C'$  coeficienții de rezistență (de tip Chezy), definite prin relațiile (IV.1-8) și (IV.1-8') ;

-  $M$ , factorul de rifluri, definit prin relația (IV.1-7) ;

-  $i$ , panta suprafeței libere a apei.

În cazul secțiunii trapezoidale stabilă corespunzătoare debitului de formare  $i \geq J$  și, se poate considera, egal cu panta fundului..

Mărimile din categoria b) nu sunt toate independente. Ca urmare numărul mărimilor independente este mai mic și anume și cu patru mărimi independente :  $P$ ,  $b$ ,  $h$ ,  $i$ .

Din experiența dobândită cu ocazia efectuării cercetărilor pe bază de contract în cadrul catedrei de CHIF, la cererea unor instituții de proiectare și altor beneficiari, au rezultat

cîteva probleme tipice, care se expun în continuare, unele avînd caracter de probleme de proiectare, altele avînd caracter de probleme de prognoză.

În ceea ce privește transportul aluviunilor tîrîte P pot apărea două situații care conduc la împărțirea problemelor de proiectare în două categorii :

a.- Se proiectează regularizarea unui curs de apă pe care există suficiente măsurători de debite solide tîrîte. În acest caz P trece în categoria mărîmilor cunoscute deoarece poate fi determinat ca debit solid tîrît corespunzător debitului de formare. Această problemă în care necunoscutele sunt elementele albiei stabile b, h, i, va fi denumită în continuare prima problemă de proiectare.

b.- Se proiectează regularizarea unui curs de apă pe care nu există măsurători de debite solide tîrîte. În acest caz este necesar să se adopte pantă în regim regularizat. Uneori această pantă este impusă, între anumite limite, de configurația terenului, mai ales în zonele de munte și deal. Această problemă în care se consideră necunoscutele b, h, P, va fi denumită, în continuare, a doua problemă de proiectare.

Problemele cu caracter de prognoză, care au fost rezolvate în cadrul tezei sunt, și ele, în număr de două.

a.- Se cere să se aprecieze dacă un anumit sector de rîu cu i, b, h, date este stabil sau în cazul contrar să se precizeze dacă în evoluția viitoare procesele de depunere sau cele de eroziune vor fi preponderente. Această problemă va fi, în continuare, denumită, prima problemă de prognoză.

b.- Se cere să se aprecieze dacă particulele de o anumită dimensiune "d" pot constitui diametrul preponderent în cadrul aluviunilor tîrîte de curent. Aceasta va fi denumită a doua problemă de prognoză.

Se observă că în toate aceste probleme cele două ecuații fundamentale nu sunt suficiente pentru rezolvare. Din această cauză este necesar a se face cercetări care să fie finalizate sub forma unor metode de proiectare mai ales pentru că, în prezent literatura tehnică de specialitate din țara noastră tratează restrîns și disparat problema influenței aluviunilor tîrîti asupra stabilității locale a albiilor /H-1, pg.47/, /S-7, pg.457/ și /U-1/, /U-2/, /U-3/, /U-4/.

principiu variational.

Enunțarea principiului disipării minime a energiei curentului în studiul proceselor de albie este atribuită lui A.M. Velikanov /V-1, / . Preluind ideea lui Velikanov, prof.dr.docen S.Hîncu /H-1, pg.46/ enunță următorul principiu variational : "Dacă energia disponibilă a curentului este mai mare decât energia necesară transportării debitului solid tîrât P, venit din amonte, pe sectorul considerat se vor produce eroziuni și prin urmare fundul albiei va coborî. Invers, dacă energia disponibilă a curentului este mai mică decât energia necesară transportării debitului solid P, venit din amonte se vor produce depunerile de aluvioni."

Prin urmare, sectorul considerat se găsește în echilibru dacă debitul solid tîrât P este maxim, la o capacitate de transport dată a curentului".

Concluziile obținute din aplicarea acestui principiu se referă exclusiv la stabilirea unui criteriu de stabilitate 1b- cauză a albiiilor sub forma comparației efortului transversal de antrenare cu efortul de antrenare critic  $\bar{\tau}_{cr}$  :

$$\bar{\tau} \leq 10 \bar{\tau}_{cr} \text{ pentru albii stabili ;} \quad (\text{IV.2-4})$$

$\bar{\tau} > 10 \bar{\tau}_{cr}$  este posibilă coborîrea patului albiei

$\bar{\tau} < 10 \bar{\tau}_{cr}$  este posibilă ridicarea patului albiei

După unele aproximări, criteriul de mai sus a fost pus și sub forma :

$$U \leq 2 U_{cr} \text{ pentru albii stabili ;} \quad (\text{IV.2-5})$$

$U \neq 2 U_{cr}$  pentru albii instabili.

În teză, același principiu variational este prelucrat într-un mod diferit cu scopul obținerii unei a treia ecuații fundamentale, care să permită rezolvarea completă a problemei și nu numai aprecierea stabilității albiei.

Aplicarea principiului variational enunțat constă în anularea derivatăi  $\frac{\partial P}{\partial h} = 0$ . Utilizând pentru P relația lui Meyer Peter și Müller, după prelucrările respective se obține ecuația:

$$\left[ \frac{Mhi}{\Delta d} - 0,047 \right] \left[ \left( \frac{Mhi}{\Delta d} - 0,047 \right) \frac{\partial b}{\partial h} + \frac{3}{2} \frac{bi}{\Delta d} \left( \frac{\partial M}{\partial h} + M \right) \right] = 0 \quad (\text{IV.2-6})$$

Dăparece formula Meyer Peter-Müller are sens fizic numai pentru  $\left( \frac{Mhi}{\Delta d} - 0,047 \right) > 0$  rezultă că primul factor al expresiei (IV-2-6) nu se poate anula și în consecință poate fi simplificat.

Derivata  $\frac{\partial b}{\partial h}$  se calculează din condiția că debitul-lid Q rămîne constant atunci cînd se schimbă b și h :

$$\frac{\partial b}{\partial h} = - \frac{3b^2 + 2(3m+m')bh + 5mm'h^2 + \frac{36}{2,3C}(b+mh)(b+m'h)}{(2b+3m'h-mh)h} \quad (\text{IV.2-7})$$

$$\frac{\partial b}{\partial h} = - \frac{5b^2 + (10m+3m')bh + 8mm'h^2}{[3b+(5m'-2m)h]h} \quad (\text{IV.2-7'})$$

Prima relație folosește formula Nikuradze, iar a doua formula Manning.

Pentru derivata  $\frac{\partial M}{\partial h}$  se obțin respectiv expresiile :

$$\frac{\partial M}{\partial h} = \frac{27}{2,3} \frac{M}{h} \frac{C' - C}{CC'} \quad (\text{IV.2-8})$$

$$\frac{\partial M}{\partial h} = \frac{3}{4} \frac{M}{h} \left\{ \frac{b^3 + 3mb^2h + (2m^2 + 2mm' - m'^2)bh^2 + (2m^2m' - mm'^2)h^3}{(b+mh)(b+m'h)[3b+(5m'-2m)h]} - \frac{36}{2,3C'} \right\} \quad (\text{IV.2-8'})$$

Inlocuind derivatale de mai sus în (IV.2-6) se obțin respectiv ecuațiile :

$$\left( \frac{Mhi}{\Delta d} - 0,047 \right) \frac{6mhC + 3bc + \frac{36}{2,3}b + \frac{36}{2,3}mh - m'h \frac{b+mh}{b+m'h}C}{hc \left( \frac{b+mh}{b+m'h} - 3 \right)} + (\text{IV.2-9})$$

$$+ \frac{3}{2} \frac{b}{h} \frac{Mhi}{\Delta d} + \frac{81}{4,6} \frac{b}{h} \frac{Mhi}{\Delta d} \frac{C' - C}{CC'} = 0$$

$$\frac{5b^4 + (32m' - 81m)b^3h + (27m^2 - 86m^2 - 118mm')b^2h^2 - (37mm^2 + 150m^2m')bh^3}{8b(b+mh)(b+m'h)[3b+(5m'-2m)h]} - (\text{IV.2-9'})$$

$$\frac{-64m^2m^2h^4}{4,6C'} - \frac{81}{4,6C'} + \frac{0,047}{h} \frac{\Delta d}{\mu_i} \frac{5b^2 + (10m+3m')bh + 8mm'h^2}{b[3b+(5m'-2m)h]} = 0$$

Ecuatiile (IV.2-9) respectiv (IV.2-9') reprezintă cea de-a doua ecuație fundamentală căutată. Se constată că structura lor este astfel încât nu permite, explicitarea niciunica din ecuatiile problemei. De aceea rezolvarea sistemului de ecuatii va trebui făcută folosind încercări, metode grafo-analitice sau calculatorul electronic. Rezolvarea concretă se face în paragrafele care urmărez.

### § 3.- Determinarea elementelor albiei stabile b, h și i (problemă I - de proiectare)

Conform prezentării din paragraful IV.2 prima problemă de proiectare se referă la determinarea elementelor albiei stabile b, h și i atunci cînd sînt cunoscute toate celelalte mărimi.

Metodica de rezolvare a acestei probleme este aplicată, în cadrul tezei, la determinarea elementelor albiei stabile a rîului Jiu în zona Rovinari la posturile hidrometrice 1 și 6. Datele folosite au fost extrase din articolele /S-7, pg. 452-460/, /S-8, pg. 8-19/ și /S-9, pg. 337-351/ publicate în revista Hidrotehnica.

Datele cunoscute sînt :

- înclinarea taluzului natural  $1:3$ , rezultă  $m = 3$  ;
- coeficientul  $m' = 2 \sqrt{1 + m^2} = 6,32$  ;
- coeficientul de rugozitate  $n = 0,025$ , iar parametrul global de rugozitate absolută  $k_r = 0,093$  m ;
- debitul de formare  $Q_F = 250 \text{ m}^3/\text{s}$  ;
- diametrul mediu al aluviunilor constitutive ale剖ului a fost  $d = 5 \text{ mm}$  la postul hidrometric 1 și  $d = 0,82 \text{ mm}$  la postul hidrometric 6;
- masa specifică relativă a aluviunilor sub apă  $\Delta = 1,65$  ;
- rugozitatea absolută, tip nisip, a patului  $k_s = d$  ;
- debitul solid al aluviunilor tîrîte  $P = 18,8 \times 10^{-3} \text{ m}^3/\text{s}$  la postul hidrometric 1 și  $P = 8,77 \times 10^{-3} \text{ m}^3/\text{s}$  în varianta a) și  $P = 12,7 \times 10^{-3} \text{ m}^3/\text{s}$  în varianta b) la postul hidrometric 6 ;

La postul hidrometric 6 au fost considerate două varianțe de debit solid tîrît pentru a pune în evidență efectul pe care variația debitului solid tîrît și panta îl au asupra dimensiunilor albiei stabile.

Debitele de aluvioni tîrîte nefiind date explicit în articolele citate, au fost calculate pe baza punctelor experimentale din diagramele nr. 3, 5, 6a, 7a, 7b prezentate în lucrarea /S-7/.

Mărimile necunoscute ale problemei sunt b, h și i pentru secțiunile aferente postului hidrometric 1, și postului hidrometric 6 în varianta a) și b).

Limitele între care este de așteptat să se producă pantă stabilă, variază, în funcție de condițiile de relief între

$5 \times 10^{-4}$  și  $12 \times 10^{-4}$  la postul hidrometric 1 și între  $5 \times 10^{-4}$  și  $10 \times 10^{-4}$  la postul hidrometric 6. Având în vedere aceste limite s-au selectat rezultatele numerice pentru cinci pante la postul hidrometric 1 și pentru trei pante la postul hidrometric 6. La fiecare pantă s-au determinat perechile de valori b și h care verifică formula debitului lichid. Datorită acestor perechi de valori s-a făcut cu ajutorul calculatorului electronic în cadrul unui subprogram din programul general de calcul. Perechile de valori obținute în zona care interesează sunt prezentate în tabela IV.3-1 pentru postul hidrometric 1 și în tabela IV.3-2 pentru postul hidrometric 6. În aceleși tabele sunt prezentate și mărurile corespunzătoare C, C', M și în final debitul de aluvioni tîrât P.

Pe baza datelor calculate s-au construit graficele din figurile IV.3-1 și IV.3-2 pentru posturile hidrometrice 1 și respectiv 6.

În abscisa acestor grafice s-a luat ca parametru variabil adâncimea h, iar pe ordonată s-a reprezentat debitul solid tîrât P calculat cu formula lui Meyer Peter și Müller. Se intră în fiecare grafic cu valoarea, respectivă, dată a debitului solid tîrât P stabilindu-se curba care admite acest debit solid tîrât drept debit maxim. Abscisa punctului de tangență dă adâncimea h a albiei stabile, iar împreună cu curbei respective este pantă stabilită. Lățimea b a albiei stabile este cea corespunzătoare adâncimii de echilibru h. Condiția de tangență folosită este corespondența grafică a condiției de extrem  $\partial P / \partial h = 0$ , ambele exprimând principiul variational al debitului tîrât maxim la o capacitate de transport dată a curentului. Din acest motiv, abstractie făcind de erorile inevitabile unor reprezentări grafice și de erorile de calcul, valorile obținute pentru elementele albiei stabile trebuie să verifice ceea cea de-a treia ecuație fundamentală (cît și, evident, primele două ecuații fundamentale).

Rezultatele fizice sunt prezentate în tabela IV.3-3 comparativ cu rezultatele obținute în proiectare, cu diferite metode și comparativ cu rezultatele măsurătorilor ulterioare efectuate în natură.

În figurile IV.3-3 și IV.3-4 sunt redate profilele transversale ale albiei regularizate proiectate și executate și profilele transversale marind evoluția ulterioară a acesteror albii.

Din aceste reprezentări rezultă în mod evident că evolu-

Iată în timp a albiei s-a produs în sensul apropierii de dimensiunile albiei stabile determinate prin utilizarea metodei propuse în teză. În același timp se constată că evoluția în timp a albiei s-a făcut în sensul depărtării de dimensiunile care rezultă pentru albia stabilă prin aplicarea "teoriei regimului" după G.Iacey sau a relațiilor morfometrice hidraulice după S. Altmann.

Se confirmă astfel, prin măsurători efectuate în natură, cătă rolul major pe care îl au aluvioniile tîrîte în formarea albiei stabile, cît și faptul că metoda propusă în teză reflectă corect acest rol major.

#### POSTUL DE MĂSURĂTORI PH.1

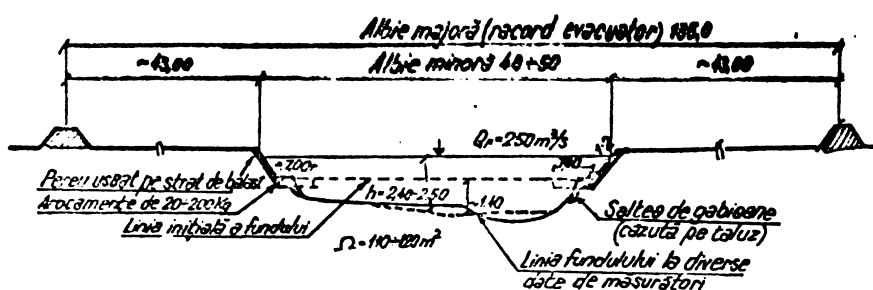


Fig. IV-3-3 Secțiunea transversală a albiei cu pat mobil adoptată pentru devierea râului în zona Rovinari și evoluția ei.

#### POSTUL DE MĂSURĂTORI PH.6

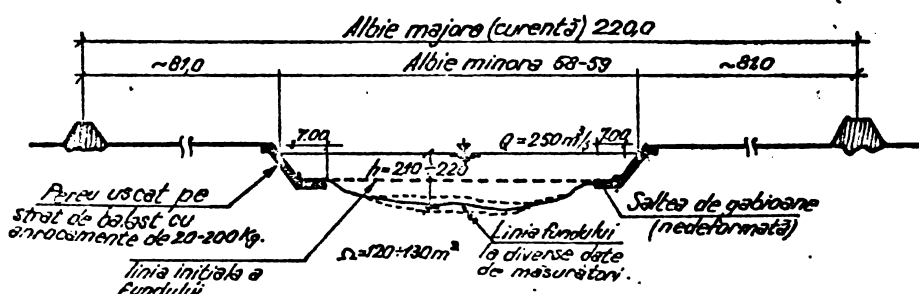


Fig. IV. 3-4. Secțiunea transversală a albiei cu pat mobil realizată pentru devierea râului în zona Rovinari PH.6.

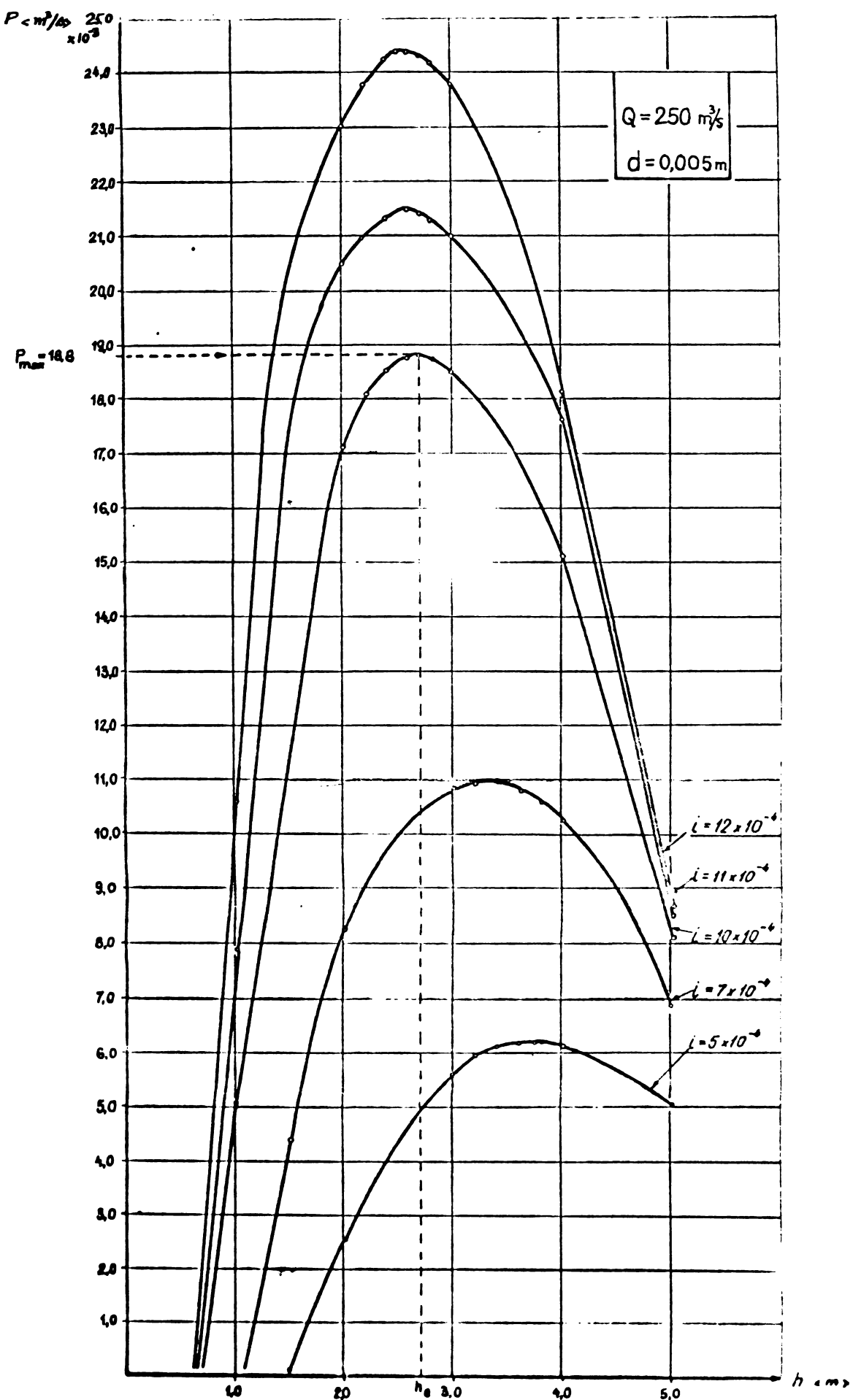


Fig. IV-8-1 Variația capacitatei de transport a aluviunilor tirite  
funcție de înălțimea curentului de apă și pantă,  
pe rîul Ialpăr în zona Revinești

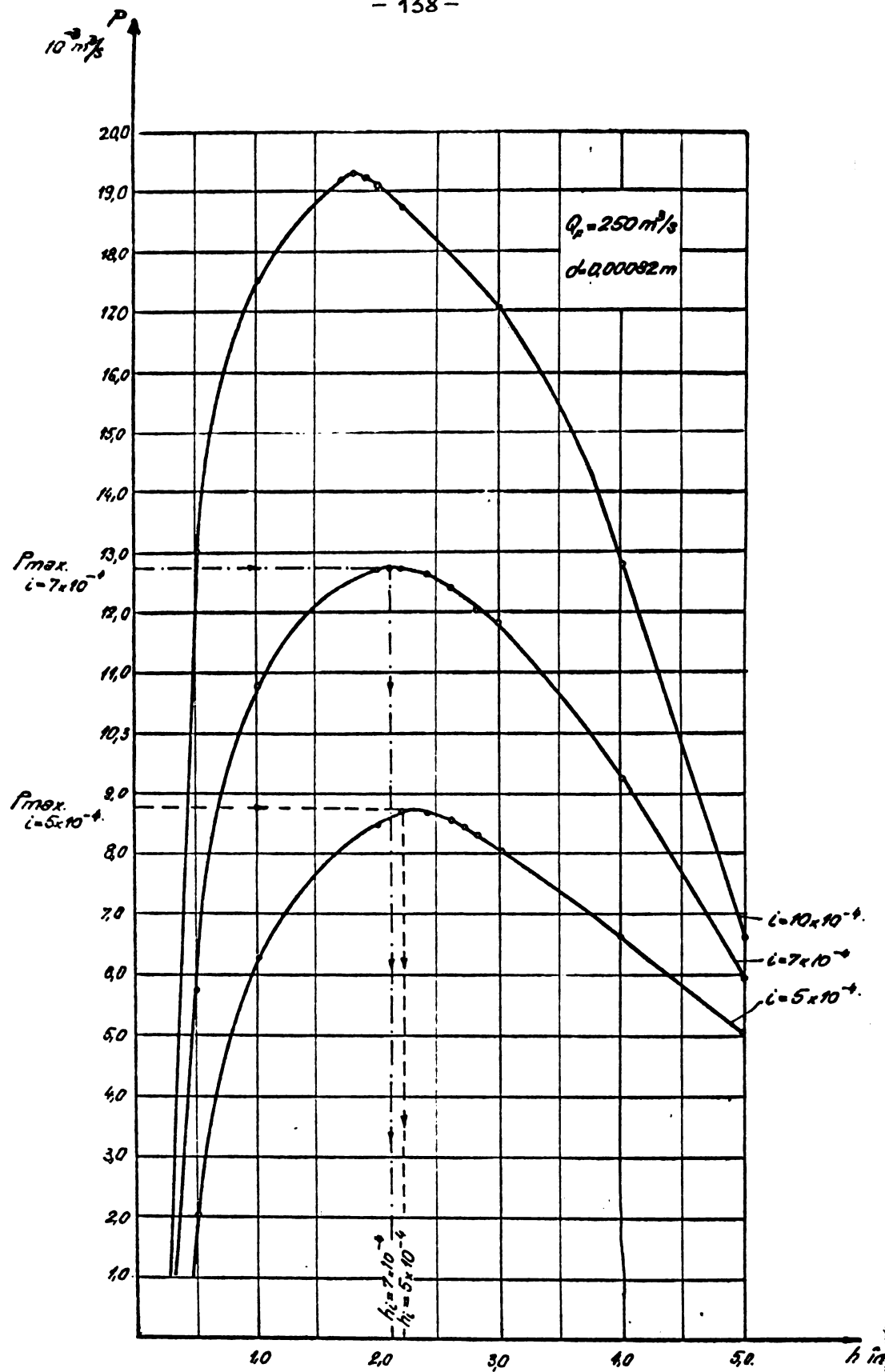


Fig. IV.3-2. Variatia capacitatii de transport a aluvionilor tirite functie de inaltimea curentului de apa si pantea pe riu Jiu in zona Rovinari la P.H. 6

--- Transport maxim de aluvioni tirite si adincoarea de echilibru pentru pantă de  $5 \times 10^{-4}$   
 ----- Transport maxim de aluvioni tirite si adincoarea de echilibru pentru pantă de  $7 \times 10^{-4}$

TABEL CUPRINZIND CALCULUL DEBITULUI SOLID TIRIT PE RIUL JIU  
IN ZONA ROVINARI LA POSTUL HIDROMETRIC 1

$$Q_s = 250 \text{ m}^3/\text{s}; \quad S = (b + mh)h \quad C = \frac{4}{\pi} R^{9/6}; \quad \mu = (C/C')^{3/2};$$

$$\Delta = 1,65; \quad P = b + m'h \quad C' = 18 \lg \frac{12h}{R_s} = 18 \lg 2400h; \quad d = 5 \text{ mm}; \quad R = S/P$$

$$P = 8bd^{3/2} \sqrt{g\Delta} \left[ \frac{mhi}{\Delta d} - 0,047 \right]^{3/2}$$

$$\langle h \rangle = 1 \text{ m}; \quad \langle b \rangle = 1 \text{ m}; \quad \langle C \rangle = \langle C' \rangle = 1 \text{ m}^{1/2}/\text{s}; \quad \langle P \rangle = 1 \text{ m}^3/\text{s}$$

Tabel 1 IV.3-1

$i$	$h$	$b$	$C$	$\frac{C}{C'}$	$\mu = \left( \frac{C}{C'} \right)^{3/2}$	$\frac{mhi}{\Delta d}$	$\frac{mhi}{\Delta d} - 0,047$	$P$
$5 \times 10^{-4}$	1,0	276,6	40,0	65,8	0,555	0,032	-	-
	2,0	86,0	44,4	66,3	0,570	0,066	0,019	0,00255
	3,0	41,5	46,6	69,4	0,671	0,099	0,052	0,00559
	3,2	36,6	46,9	69,9	0,675	0,106	0,059	0,00594
	3,4	32,5	47,1	70,4	0,668	0,112	0,065	0,00611
	3,6	28,6	47,4	70,8	0,669	0,119	0,072	0,00627
	3,8	25,3	47,6	71,3	0,667	0,125	0,078	0,00633
	4,0	22,3	47,8	71,7	0,665	0,132	0,085	0,00628
	5,0	11,5	48,2	74,5	0,656	0,161	0,114	0,00505
$7 \times 10^{-4}$	1,0	236,0	40,0	60,8	0,656	0,045	-	-
	2,0	74,1	44,4	66,3	0,570	0,092	0,045	0,00827
	3,0	34,2	46,4	69,4	0,668	0,138	0,091	0,01086
	3,2	30,3	46,6	69,9	0,666	0,147	0,100	0,01090
	3,4	26,5	46,9	70,4	0,666	0,156	0,109	0,01099
	3,6	23,3	47,1	70,8	0,664	0,165	0,118	0,01075
	3,8	20,5	47,3	71,3	0,663	0,174	0,127	0,01061
	4,0	18,0	47,5	71,7	0,662	0,182	0,135	0,01029
	5,0	8,2	47,8	73,5	0,659	0,222	0,175	0,00683
$10 \times 10^{-4}$	1,0	196,5	40,0	55,8	0,655	0,064	0,017	0,00510
	2,0	60,4	44,2	56,3	0,667	0,132	0,085	0,01712
	2,2	50,9	44,7	67,0	0,658	0,146	0,099	0,01817
	2,4	43,4	45,2	67,7	0,668	0,159	0,112	0,01852
	2,6	37,4	45,6	68,3	0,670	0,172	0,125	0,01871

Continuare Tabela

IV.3-1

i	h	b	C	C'	$\frac{C}{C'}$	$\mu = \frac{(C)^2}{(C')}$	$\frac{\mu h i}{\Delta d}$	$\frac{\mu h i}{\Delta d} - 0,042$	P
$10 \times 10^{-4}$	2,7	34,7	45,7	68,6	0,666	0,544	0,178	0,131	0,01880
	2,8	32,3	45,9	68,9	0,666	0,544	0,185	0,138	0,01872
	3,0	28,1	46,2	69,4	0,666	0,544	0,197	0,150	0,01850
	4,0	13,8	47,0	71,7	0,656	0,531	0,257	0,210	0,01514
	5,0	5,2	47,3	73,5	0,643	0,517	0,313	0,266	0,00811
$11 \times 10^{-4}$	1,0	187,5	46,0	60,8	0,655	0,531	0,070	0,024	0,00794
	2,0	57,4	44,2	66,3	0,667	0,545	0,145	0,098	0,02052
	2,2	48,4	44,7	67,6	0,658	0,545	0,160	0,113	0,02091
	2,4	41,6	45,1	67,7	0,668	0,545	0,174	0,127	0,02142
	2,6	35,7	45,5	68,3	0,667	0,543	0,188	0,141	0,02151
	2,7	32,9	45,7	68,5	0,667	0,543	0,196	0,149	0,02140
	2,8	30,6	45,8	68,9	0,665	0,543	0,202	0,155	0,02132
	3,0	26,6	45,1	69,4	0,665	0,543	0,217	0,170	0,02100
	4,0	12,8	46,9	71,7	0,654	0,530	0,281	0,234	0,01763
	5,0	4,5	47,2	73,5	0,643	0,516	0,343	0,296	0,00822
$12 \times 10^{-4}$	1,0	179,6	40,0	60,8	0,655	0,531	0,077	0,030	0,01063
	2,0	54,8	44,1	66,3	0,665	0,543	0,158	0,111	0,02332
	2,2	46,3	44,6	67,6	0,665	0,544	0,174	0,127	0,02381
	2,4	39,4	45,1	67,7	0,665	0,544	0,190	0,143	0,02422
	2,6	33,8	45,5	68,3	0,666	0,544	0,206	0,159	0,02441
	2,7	31,5	45,6	68,6	0,665	0,543	0,213	0,166	0,02432
	2,8	29,2	45,8	68,9	0,665	0,543	0,221	0,174	0,02421
	3,0	25,3	46,1	69,4	0,665	0,543	0,237	0,190	0,02382
	4,0	12,0	46,8	71,7	0,653	0,528	0,307	0,260	0,01810
	5,0	3,9	47,2	73,5	0,643	0,516	0,374	0,327	0,00841

TABEL CUPRINZIND CALCULUL DEBETULUI SOLID TIRIT PE RILĂ JIU

IN ZONA ROVMARI LA POSTUL HIDROMETRIC 6

$$Q_f = 250 \text{ m}^3/\text{s}; \quad S = (b + mh)h; \quad C = \frac{1}{n} R^{1/6}; \quad M = (C/C')^{3/2}$$

$$\Delta = 1,65; \quad P = b + m'h; \quad C' = 18 \lg \frac{12h}{R_s} = 18 \lg 14630h;$$

$$d = 0,82 \text{ mm}; \quad R = S/P$$

$$<\!l\!> = <\!b\!> = 1 \text{ m}; \quad <\!P\!> = 1 \text{ m}^3/\text{s}$$

Tabola IV.3-2

$i$	$h$	$b$	$C$	$C'$	$\frac{C}{C'}$	$M = \left(\frac{C}{C'}\right)^{3/2}$	$\frac{Mhi}{\Delta d}$	$\frac{Ahi}{\Delta d} - 0,047$	P
$5 \times 10^{-4}$	0,5	385,5	35,5	69,5	0,510	0,365	0,068	0,021	0,00204
	1,0	276,6	40,0	75,0	0,533	0,390	0,144	0,097	0,00632
	2,0	85,0	44,4	82,7	0,550	0,409	0,302	0,255	0,00345
	2,2	74,8	44,8	81,2	0,552	0,411	0,334	0,287	0,00875
	2,4	63,3	45,3	81,8	0,554	0,412	0,366	0,319	0,00265
	2,6	54,5	45,8	82,5	0,555	0,414	0,396	0,349	0,00855
	2,7	49,9	46,0	82,7	0,556	0,415	0,414	0,367	0,00340
	2,8	46,0	46,2	83,0	0,557	0,416	0,431	0,384	0,00830
	3,0	41,5	46,6	83,6	0,557	0,417	0,450	0,413	0,00802
	4,0	22,3	47,8	86,2	0,555	0,412	0,609	0,562	0,00665
$7 \times 10^{-4}$	0,5	750,0	35,5	59,5	0,510	0,365	0,094	0,047	0,00576
	1,0	236,0	40,0	75,0	0,533	0,390	0,202	0,155	0,01085
	2,0	74,1	44,4	80,7	0,550	0,409	0,423	0,376	0,01270
	2,1	67,0	44,6	80,9	0,551	0,411	0,445	0,398	0,01275
	2,2	62,0	44,8	81,2	0,552	0,411	0,467	0,420	0,01272
	2,4	52,8	45,2	81,8	0,553	0,412	0,511	0,464	0,01260
	2,6	45,5	45,7	82,5	0,554	0,412	0,554	0,507	0,01240
	2,8	39,0	46,1	83,0	0,555	0,413	0,597	0,550	0,01200
	3,0	34,2	46,4	83,6	0,555	0,413	0,642	0,595	0,01180
	4,0	18,0	47,5	86,0	0,540	0,396	0,820	0,773	0,00923
$10 \times 10^{-4}$	0,5	630,0	35,4	69,5	0,510	0,365	0,138	0,091	0,01305
	1,0	195,5	40,0	75,0	0,533	0,390	0,288	0,241	0,01752
	1,7	78,8	43,2	73,0	0,533	0,412	0,517	0,470	0,01920
	1,8	72,6	43,6	78,8	0,553	0,412	0,548	0,501	0,01930
	1,9	65,8	44,2	79,8	0,554	0,412	0,578	0,531	0,01920
	2,0	60,4	44,7	80,7	0,554	0,412	0,608	0,561	0,01910
	2,2	50,9	45,0	81,2	0,555	0,408	0,663	0,616	0,01860
	3,0	28,1	45,2	83,6	0,553	0,412	0,914	0,867	0,01712
	4,0	13,8	47,0	86,0	0,547	0,404	1,190	1,143	0,01273
	5,0	5,2	47,3	87,5	0,540	0,395	1,452	1,415	0,00651

TABEL COMPARATIV CU ELEMENTELE ALBIII STABILÉ A RÂMULUI JU ÎN ZONĂ ROVINARI

a) Compararea pantelor stabilite prin diferite metode

Tabelul 27-3

Panta %	Panta-apel după metoda Finstern	Panta-apel după pămâșurători	Panta-fundului	Panta-apel după teoria regimului
Postul hidrografic 1	1,05 - 1,17	0,93 - 1,30	0,91 - 1,20	0,92 - 1,05
Postul hidrografic 6	0,57 - 0,62	0,40 - 0,70	0,55 - 0,61 vîl. medie 0,58	0,52
Postul hidrografic 6 ; d <sub>ap</sub> = 5 mm	1,05 - 1,17	0,93 - 1,30	0,91 - 1,20	0,92 - 1,05

b) Compararea elementelor geometrice și vitezelor obținute prin diferite metode

Postul hidrografic 6 ; d<sub>ap</sub> = 0,82 mm (0,75 mm)

Metode	Geometria morfologică a lui Lui G.Lacey	Sectionarea adoptată în proiectare și execuție (med)	Velocii rezultante din măsurători	Din condiția de transport maximă debin scădită	Post hidrografic
Post hidrografic	Post hidrografic	Post hidrografic	Post hidrografic	Post hidrografic	Post hidrografic
1	6	1	6	1	6
Adâncimea albiei hidrografice	2,1	2,8	2,2	3,0	2,0
Latimea la fundul râului	56	56	46	63	55
Latimea la fundul râului	56	64	55	75	63
Suprafața udată S, în mp	127	175	110	208	118
Perimetru udat P, în m	55	58	56	81	64
Rata hidraulică R, în m/s	1,95	2,6	1,97	2,56	2,0
Viteză medie v, în m/s	1,82	1,32	2,09	1,11	1,95
					2,3-2,5
					1,9-2,1
					2,16
					1,64-1,27

**S 4.- Calculul secțiunii transversale stabile (b,h)**  
**si a transportului de aluviuni  $P_{max}$  cind i**  
**este dat (problema a douăde proiectare)**

Metodica de rezolvare a acestei probleme este aplicată, în cadrul tezei, la determinarea secțiunii transversale stabile a rîului Argeș în zona U.H.E.Gheorghiu Dej - Argeș. Datele folosite au fost puse la dispoziția catedrei de construcții hidrotehnice și îmbunătățiri funciare de către proiectantul general T.S.P.H.București, în vederea modelării albiei regularizate ce se execută în zonă în urma deformării periculoase a oalei existente, la debitul excepțional din 1974. Calculul elementelor albiei stabile nu a fost prevăzut în contract.

Datele cunoscute sunt :

- inclinarea medie a taluzului cărăre se amenajează albia  $m = 1,25$ , rezultând coeficientul  $m' = \sqrt{1 + m^2} = 3,2$  ;
- coeficientul de rugozitate în natură  $n_N = 0,034$  și pe model  $n_m = 0,02$ , parametrul global de rugozitate absolută  $k_{RN} = 0,414$  pe model  $k_{rm} = 0,01655$  m ;
- debitul la care s-au făcut cercetările  $Q_N = 652 \text{ m}^3/\text{s}$ , în natură, iar pe model  $Q_m = 0,208 \text{ m}^3/\text{s}$  ;
- diametrele medii ale aluviunilor constitutive ale patului cercetate au fost în natură  $d_N = \begin{cases} 10 \text{ mm} & \text{și pe model } d_m = \begin{cases} 0,4 \text{ mm} \\ 25 \text{ mm} \end{cases} \\ 25 \text{ mm} \end{cases}$  ;
- masa specifică relativă a aluviunilor sau apă  $\Delta = 1,65$  ;
- rugozitatea absolută tip nisip a patului,  $k_s = d$  ;
- panta pentru care s-au făcut calculele a fost de 0,01 în sectorul din amonte și 0,008 în sectorul din aval.

Trebue menționat că debitul de calcul a fost debitul de asigurare de 0,1 %, indicat de proiectantul general, întrucât pentru zona respectivă s-a constatat o mișcare intensă a strelului din amonte la debitele maxime. De asemenea trebuie menționat că diametrele medii luate în considerare ( $d_N$  de 10 mm și 25 mm) corespund albiei în execuție,

mărimile necunoscute, în cadrul problemei, au fost elementele secțiunii transversale stabile b și h precum și debitul de aluviuni tîrîte maxim la debitul de calcul.

Pentru a avea o imagine de ansamblu a rezolvării problemei, curbole de transport au fost ridicate pentru cele două diametre caracteristice studiate și pentru mai multe pante :  
 $i = 10 \times 10^{-3}$  - corespunzătoare sectorului de aliniament din amonte ;  
 $i = 15 \times 10^{-3}$  și  $i = 20 \times 10^{-3}$  - coresp. sectoarelor intermedii ;

$1 = 8 \times 10^{-3}$  corespunzătoare sektorului de aliniament din aval.

Aceste pante existente în condițiile din natură au fost realizate și pe model.

La fiecare pantă studiată s-au determinat perechile de valori  $b$  și  $h$  care verifică formula debitului lichid și căre pot fi o soluție a problemei. Determinările s-au făcut cu ajutorul calculatorului electronic, în cadrul unui subprogram din programul general de calcul. Perechile de valori, selectionate pentru zona care interesă, sunt trecute în tabela IV.4-1 pentru  $d_m = 0,4$  mm și în tabela IV.4-2 pentru  $d_m = 1$  mm.

Se precizează că tabelele anexate se referă la valorile mărimilor de pe model. Tabelele pentru mărimile corespunzătoare din natură diferă de cele de pe model numai prin coeficienții de scara. S-au ales pentru prezentarea calculele referitoare la model pentru a compara rezultatele lor cu cele din încercările experimentale.

În baza datelor calculate s-au construit graficele din figurile IV.4-1 și IV.4-2 în coordonate  $h, P$ .

Stiind că pantă sectorului în aliniament este în amonte de 0,010 și aval de 0,008, soluția problemei trebuie căutată pe curbele corespunzătoare acestor pante.

Respectând principiul variational enunțat de stabilitate și albiei la debitul tîrât maxim corespondator debitului lichid de calcul, rezultă că soluția unică a problemei se află la maximul curbei  $P = f(h)$  corespunzătoare fiecărei pante studiate.

Debitele de aluvioni  $P_{\max}$  astfel determinate, prin calcul și prin reprezentare grafică, precum și perechile de valori  $h, b$  respective au fost verificate pe modelul sectorului de rîu Argeș realizat în cadrul platormei laboratorului catedrei CHIF. În tabela IV.4-3 sunt înregistrate datele referitoare la aceste experiențe. Lansările de aluvioni sortate s-au făcut în intervale de 10 și 15 minute. S-a constatat că transportul de aluvioni a corespuns în general debitului tîrât maxim calculat, cînd lansările au fost mai mari s-au înregistrat depunerî. Valoarea medie a abaterii a variat între 1,41 % și 0,05 %. Abaterea medie pătratică a variat între 1,86 % și 0,56 %.

Rezultatele finale privind elementele albiei stabilă sunt prezentate în tabela IV.4-4. În această tabelă sunt prezente și rezultatele obținute prin folosirea altor metode de proiectare precum și elementele albiei stabilă adaptate în execuție.

Evoluția albiei va dovedi valabilitatea teoriilor.

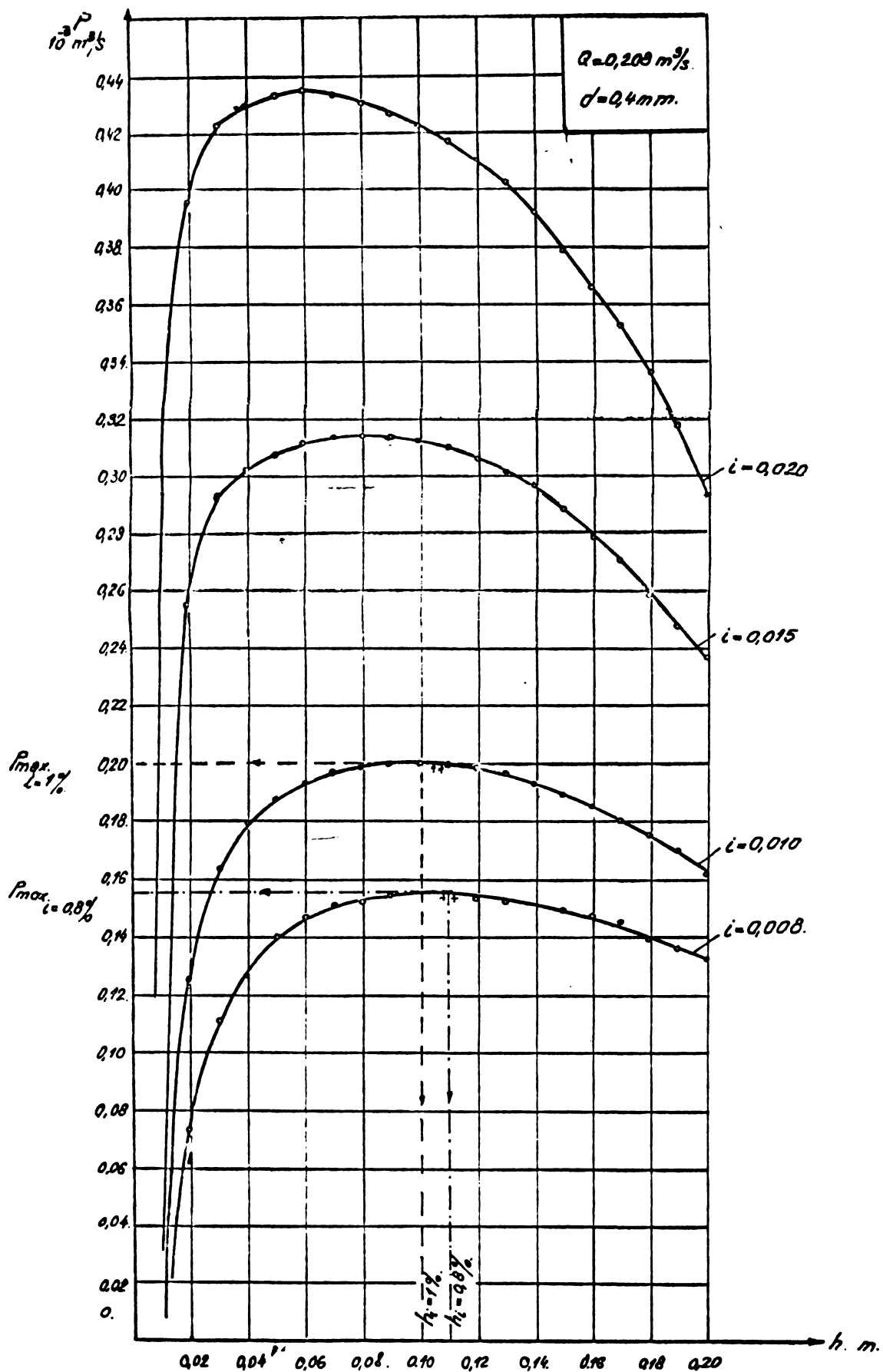


Fig. IV. 4-1. Variatia transportului de sârviuri tîrîte functie de inaltimea curentului de apă și pantă, pentru modelul rîului Arges, în zona U.H.E + înregistrări experimentale.

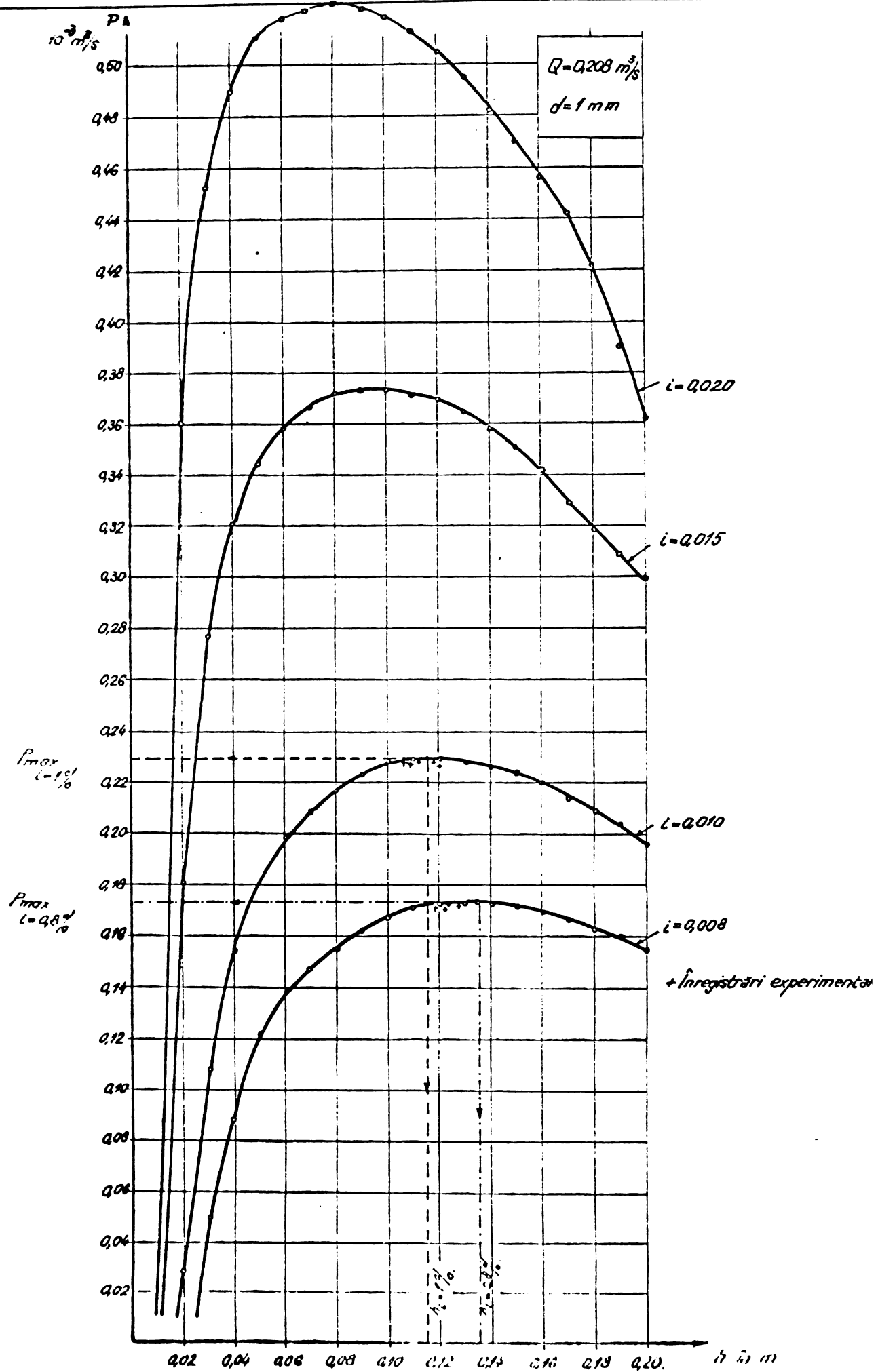


Fig. IV.4-2 Variatia transitorieului de aluviumi tirite functie de  
maltimetrul curentului de apă și pantă pentru modelul

TABEL CUPRINZIND CALCULUL DEBITULUI SOLID TIRIT PE RUL  
ARGEŞ ÎN ZONA U.H.T. Gh.Gheorghiu Dej Argeş

(datele din tabel corespund modelului)

$$Q_m = 0,208 \text{ m}^3/\text{s}$$

$$d = 0,4 \text{ mm}$$

$$C = \frac{1}{n} R^{1/6}; \quad C' = 18 \lg \frac{12h}{R} = 18 \lg 30000 h.$$

$\langle b \rangle = \langle b \rangle = 1 \text{ m}$ ;  $\langle C \rangle = \langle C' \rangle = 1 \text{ m}^{1/2}/\text{s}$ ;  $\langle P \rangle = 10^{-3} \text{ m}^3/\text{s}$  Tabla IV.4-1

i	h	b	C	C'	$\frac{C}{C'}$	$\mu = \frac{(C')^2}{(C)} \cdot \frac{Mh_i}{\Delta d}$	$\frac{Mh_i}{\Delta d} - 0,047$	P
0,008	0,02	31,60	26,0	50,0	0,520	0,375	0,091	0,075
	0,03	16,10	27,8	53,2	0,523	0,378	0,137	0,090
	0,04	9,75	29,1	55,4	0,526	0,380	0,184	0,137
	0,05	6,90	30,1	57,1	0,527	0,382	0,232	0,185
	0,06	5,10	31,1	58,6	0,531	0,387	0,281	0,234
	0,07	3,93	31,8	59,8	0,532	0,388	0,329	0,282
	0,08	3,12	32,5	60,9	0,534	0,390	0,377	0,330
	0,09	2,58	33,1	62,0	0,534	0,390	0,426	0,379
	0,10	2,16	33,5	62,6	0,535	0,392	0,474	0,427
	0,11	1,85	33,9	63,3	0,536	0,392	0,522	0,475
	0,12	1,58	34,2	64,0	0,535	0,392	0,568	0,521
	0,13	1,38	34,6	64,6	0,535	0,392	0,616	0,569
	0,14	1,22	34,9	65,2	0,535	0,392	0,663	0,616
	0,15	1,08	35,1	65,7	0,534	0,390	0,710	0,663
	0,16	0,96	35,3	66,2	0,533	0,389	0,756	0,709
	0,17	0,86	35,4	66,7	0,532	0,388	0,798	0,751
	0,18	0,77	35,6	67,2	0,530	0,386	0,843	0,796
	0,19	0,69	35,7	67,6	0,528	0,384	0,886	0,839
	0,20	0,62	35,9	68,0	0,528	0,384	0,929	0,887
0,010	0,02	28,30	26,0	50,0	0,520	0,375	0,114	0,067
	0,03	14,40	27,8	53,2	0,523	0,378	0,172	0,125
	0,04	8,93	29,1	55,4	0,526	0,380	0,230	0,183
	0,05	6,16	30,1	57,1	0,527	0,382	0,289	0,242
	0,06	4,53	31,1	58,6	0,531	0,387	0,352	0,305
	0,07	3,49	31,8	59,8	0,532	0,388	0,412	0,365
	0,08	2,78	32,5	60,9	0,534	0,390	0,472	0,425
	0,09	2,29	33,1	62,0	0,534	0,390	0,532	0,485
	0,10	1,93	33,5	62,6	0,535	0,392	0,594	0,547
	0,11	1,64	33,9	63,3	0,536	0,392	0,654	0,607
	0,12	1,42	34,2	64,0	0,535	0,392	0,714	0,667
	0,13	1,24	34,6	64,6	0,535	0,392	0,773	0,726
	0,14	1,08	34,9	65,2	0,535	0,392	0,833	0,786

<i>i</i>	<i>h</i> :	<i>b</i>	<i>C</i>	<i>C'</i>	$\frac{C}{C'}$	<i>M</i>	$\frac{M_i}{Ad}$	$\frac{M_i}{Ad} - 0.047$	<i>P</i>
0,010	0,15	0,96	35,1	65,7	0,534	0,390	0,888	0,841	0,189
	0,16	0,85	35,3	66,2	0,533	0,389	0,943	0,896	0,185
	0,17	0,76	35,4	66,7	0,532	0,388	0,998	0,951	0,180
	0,18	0,68	35,6	67,2	0,530	0,385	1,051	1,004	0,175
	0,19	0,61	35,7	67,6	0,528	0,384	1,104	1,057	0,170
	0,20	0,54	35,9	68,0	0,528	0,384	1,157	1,110	0,162
0,015	0,02	23,10	26,0	50,0	0,520	0,375	0,170	0,123	0,255
	0,03	11,80	27,8	53,2	0,523	0,378	0,258	0,211	0,293
	0,04	7,30	29,1	55,4	0,526	0,380	0,346	0,299	0,302
	0,05	5,00	30,1	57,1	0,527	0,382	0,434	0,387	0,307
	0,06	3,62	31,1	58,6	0,531	0,387	0,528	0,481	0,311
	0,07	2,81	31,8	59,8	0,532	0,388	0,618	0,571	0,313
	0,08	2,30	32,5	60,9	0,534	0,390	0,700	0,653	0,313
	0,09	1,88	33,1	62,0	0,534	0,390	0,789	0,751	0,312
	0,10	1,57	33,5	62,6	0,535	0,392	0,892	0,845	0,311
	0,11	1,33	33,9	63,3	0,536	0,392	0,982	0,935	0,309
	0,12	1,15	34,2	64,0	0,535	0,392	1,070	1,023	0,305
	0,13	1,00	34,6	64,6	0,535	0,392	1,150	1,113	0,301
	0,14	0,86	34,9	65,2	0,535	0,392	1,250	1,203	0,296
	0,15	0,77	35,1	65,7	0,534	0,390	1,330	1,283	0,288
	0,16	0,68	35,3	66,2	0,533	0,389	1,414	1,367	0,279
	0,17	0,60	35,4	66,7	0,532	0,388	1,500	1,453	0,270
	0,18	0,53	35,6	67,2	0,530	0,386	1,580	1,533	0,258
	0,19	0,48	35,7	67,9	0,528	0,384	1,658	1,611	0,252
	0,20	0,44	35,9	68,0	0,528	0,384	1,742	1,695	0,245
0,020	0,02	29,00	26,0	50,0	0,520	0,375	0,228	0,181	0,395
	0,03	10,20	27,8	53,2	0,523	0,378	0,344	0,297	0,424
	0,04	6,30	29,1	55,4	0,526	0,380	0,460	0,413	0,429
	0,05	4,36	30,1	57,1	0,527	0,382	0,578	0,531	0,433
	0,06	3,20	31,1	58,6	0,531	0,387	0,704	0,657	0,435
	0,07	2,44	31,8	59,8	0,532	0,388	0,824	0,777	0,430
	0,08	1,97	32,5	60,9	0,534	0,390	0,944	0,897	0,429
	0,09	1,61	33,1	62,0	0,534	0,390	1,052	1,015	0,425
	0,10	1,35	33,5	62,6	0,535	0,392	1,188	1,141	0,422
	0,11	1,16	33,9	63,3	0,536	0,392	1,308	1,261	0,417
	0,12	0,98	34,2	64,0	0,535	0,392	1,428	1,381	0,410
	0,13	0,84	34,6	64,6	0,535	0,392	1,546	1,499	0,402
	0,14	0,74	34,9	65,2	0,535	0,392	1,656	1,619	0,391
	0,15	0,65	35,1	65,7	0,534	0,390	1,776	1,729	0,378
	0,16	0,57	35,3	66,2	0,533	0,389	1,886	1,839	0,355
	0,17	0,51	35,4	66,7	0,532	0,388	2,000	1,953	0,322
	0,18	0,45	35,6	67,2	0,530	0,382	2,102	2,055	0,343
	0,19	0,38	35,7	67,9	0,528	0,384	2,210	2,163	0,321
	0,20	0,33	35,9	68,0	0,528	0,384	2,324	2,277	0,293

**TABEL CUPRINZIND CALCULUL DEBITULUI SOLID TIRIT PE RUL  
ARGES IN ZONA U.H.T. Gh.Gheorghiu Dej - Arges**

(datele din tabel corespund modelului)  
 $Q_{fm} = 0,208 \text{ m}^3/\text{s}$ ;  $d = 1\text{mm}$ ;  $C' = 18 \frac{\text{kg}}{\text{m}^3} \frac{12h}{t_{20}} = 18 \frac{\text{kg}}{\text{m}^3} 12000h$   
 $\langle h \rangle = \langle b \rangle = 1 \text{ m}$ ;  $\langle C \rangle = \langle C' \rangle = 1 \text{ m}^{1/2}/\text{s}$ ;  $\langle P \rangle = 10^{-3} \text{ m}^3/\text{s}$  Tabelul IV.4-2

<i>l</i>	<i>h</i>	<i>b</i>	<i>C</i>	<i>C'</i>	$\frac{C}{C'}$	$\mu = \left(\frac{C}{C'}\right)^2$	$\frac{Mh}{Ad}$	$\frac{Mh}{Ad} - 4047$	<i>P</i>
0,008	0,02	31,50	26,0	42,9	0,607	0,473	0,047	-	-
	0,03	16,10	27,8	45,0	0,605	0,470	0,058	0,021	0,050
	0,04	9,75	29,1	48,3	0,603	0,469	0,091	0,043	0,088
	0,05	6,90	30,1	50,0	0,602	0,468	0,114	0,067	0,122
	0,06	5,10	31,1	51,4	0,602	0,468	0,136	0,089	0,138
	0,07	3,93	31,8	52,7	0,602	0,468	0,158	0,111	0,147
	0,08	3,12	32,5	53,7	0,602	0,458	0,181	0,133	0,154
	0,09	2,58	33,1	54,6	0,602	0,468	0,204	0,157	0,163
	0,10	2,15	33,5	55,4	0,602	0,468	0,227	0,180	0,163
	0,11	1,85	33,9	56,2	0,602	0,468	0,250	0,203	0,172
	0,12	1,58	34,2	56,8	0,601	0,467	0,272	0,225	0,172
	0,13	1,38	34,6	57,5	0,601	0,467	0,295	0,248	0,173
	0,14	1,22	34,9	58,1	0,600	0,466	0,316	0,269	0,173
	0,15	1,08	35,1	58,6	0,599	0,455	0,338	0,291	0,172
	0,16	0,96	35,3	59,1	0,597	0,462	0,359	0,312	0,170
	0,17	0,86	35,4	59,6	0,594	0,458	0,378	0,331	0,167
	0,18	0,77	35,6	60,1	0,593	0,456	0,398	0,351	0,163
	0,19	0,69	35,7	60,5	0,591	0,455	0,420	0,373	0,160
	0,20	0,52	35,9	60,9	0,590	0,453	0,440	0,393	0,155
0,010	0,02	28,30	26,0	42,9	0,607	0,473	0,057	0,010	0,029
	0,03	14,40	27,8	45,0	0,605	0,470	0,085	0,038	0,108
	0,04	8,93	29,1	48,3	0,603	0,469	0,113	0,066	0,154
	0,05	6,16	30,1	50,0	0,602	0,468	0,142	0,095	0,181
	0,06	4,53	31,1	51,4	0,602	0,463	0,170	0,123	0,198
	0,07	3,49	31,8	52,7	0,602	0,468	0,198	0,151	0,208
	0,08	2,78	32,5	53,7	0,602	0,458	0,227	0,180	0,216
	0,09	2,29	33,1	54,6	0,602	0,468	0,256	0,209	0,222
	0,10	1,93	33,5	55,4	0,602	0,458	0,284	0,237	0,228
	0,11	1,64	33,9	56,2	0,602	0,468	0,313	0,266	0,229
	0,12	1,42	34,2	56,8	0,601	0,467	0,340	0,293	0,229
	0,13	1,24	34,6	57,5	0,601	0,467	0,368	0,321	0,228
	0,14	1,08	34,9	58,1	0,600	0,466	0,395	0,348	0,226
	0,15	0,96	35,1	58,6	0,599	0,465	0,422	0,375	0,224
	0,16	0,85	35,3	59,1	0,597	0,462	0,449	0,402	0,220
	0,17	0,76	35,4	59,6	0,594	0,458	0,472	0,425	0,214

i	h	b	c	c'	c/c'	M	$\frac{M_{hi}}{\Delta d}$	$\frac{M_{hi}}{\Delta d} - 0.07$	P
0,110	0,18	0,68	35,6	60,1	0,593	0,456	0,498	0,451	0,209
	0,19	0,61	35,7	60,5	0,591	0,455	0,525	0,478	0,204
	0,20	0,54	35,9	60,9	0,590	0,453	0,550	0,503	0,196
0,015	0,02	23,10	26,0	42,9	0,607	0,473	0,086	0,039	0,181
	0,03	11,80	27,8	46,0	0,605	0,470	0,128	0,081	0,277
	0,04	7,30	29,1	48,3	0,603	0,469	0,170	0,123	0,321
	0,05	5,00	30,1	50,0	0,602	0,468	0,213	0,166	0,344
	0,06	3,62	31,1	51,4	0,602	0,468	0,256	0,209	0,358
	0,07	2,81	31,8	52,7	0,602	0,468	0,298	0,251	0,366
	0,08	2,30	32,5	53,7	0,602	0,468	0,341	0,294	0,372
	0,09	1,88	33,1	54,6	0,602	0,468	0,383	0,336	0,373
	0,10	1,57	33,5	55,4	0,602	0,468	0,426	0,379	0,373
	0,11	1,33	33,9	56,2	0,602	0,468	0,469	0,422	0,371
	0,12	1,15	34,2	56,8	0,601	0,467	0,511	0,464	0,340
	0,13	1,00	34,6	57,5	0,601	0,467	0,553	0,506	0,365
	0,14	0,86	34,9	58,1	0,600	0,466	0,593	0,546	0,358
	0,15	0,77	35,1	58,6	0,599	0,465	0,634	0,587	0,351
	0,16	0,68	35,3	59,1	0,597	0,462	0,674	0,627	0,343
	0,17	0,60	35,4	59,6	0,594	0,458	0,709	0,662	0,329
	0,18	0,53	35,6	60,1	0,593	0,456	0,747	0,700	0,319
	0,19	0,48	35,7	60,5	0,591	0,455	0,788	0,741	0,310
	0,20	0,44	35,9	60,9	0,590	0,453	0,825	0,778	0,301
0,020	0,02	20,00	26,0	42,9	0,607	0,473	0,115	0,068	0,360
	0,03	10,20	27,8	46,0	0,605	0,470	0,171	0,124	0,453
	0,04	6,30	29,1	48,3	0,603	0,469	0,227	0,180	0,490
	0,05	4,36	30,1	50,0	0,602	0,468	0,284	0,237	0,511
	0,06	3,20	31,1	51,4	0,602	0,468	0,341	0,294	0,518
	0,07	2,44	31,8	52,7	0,602	0,458	0,397	0,350	0,520
	0,08	1,97	32,5	53,7	0,602	0,458	0,454	0,407	0,522
	0,09	1,61	33,1	54,6	0,602	0,468	0,512	0,465	0,520
	0,10	1,35	33,5	55,4	0,602	0,468	0,568	0,521	0,519
	0,11	1,16	33,9	56,2	0,602	0,468	0,626	0,579	0,513
	0,12	0,98	34,2	56,8	0,601	0,457	0,681	0,634	0,504
	0,13	0,84	34,6	57,5	0,601	0,467	0,737	0,690	0,495
	0,14	0,74	34,9	58,1	0,600	0,466	0,790	0,743	0,482
	0,15	0,65	35,1	58,6	0,599	0,465	0,845	0,798	0,470
	0,16	0,57	35,3	59,1	0,597	0,462	0,898	0,851	0,456
	0,17	0,51	35,4	59,6	0,594	0,458	0,945	0,898	0,442
	0,18	0,45	35,6	60,1	0,593	0,456	0,996	0,949	0,422
	0,19	0,38	35,7	60,5	0,591	0,455	1,050	1,003	0,390
	0,20	0,33	35,9	60,9	0,590	0,453	1,100	1,053	0,362

STRUCTURE AND FUNCTION OF THE FUNDAMENTAL PROTEINS

$$\dots \cdot v = 10^{-3} n^3$$

Tabelle IV. 4-3

nr. crt	pentru intervalul de timp de 10 minute				pentru intervalul de timp de 15 minute			
	Volume de aluviumi calculat	Volume de aluviumi transportabile	Val. Val <sub>Tr</sub>	Val. Val <sub>Tr</sub>	Volume de aluviumi calculat	Volume de aluviumi transportabile	Val. Val <sub>Tr</sub>	Val. Val <sub>Tr</sub>
1	137,4	137,4	135	+1,4	1,35	+1,03	1,35	295,1
2	137,4	137,4	135	+2,4	1,35	+1,78	3,16	295,1
3	137,4	137,4	134	+3,4	1,34	+2,53	5,44	295,1
4	137,4	140,0	134	+3,4	1,34	+2,53	5,44	295,1
5	137,4	145,0	137	+3,4	1,37	+3,29	9,92	295,1
5	137,4	150,0	137	+3,4	1,37	+3,29	9,92	295,1

Vulcanea medie è caratterizzata da  $\frac{\text{Valore Valore}}{\text{Vale. Valore}} = + 1,41\%$

Absteraz esteic dătratice 6( $\frac{V_{ale} - V_{ale'}}{V_{ale}}$ ) = 1.86%

$$d_m = 1 \text{ mm}; \quad l = 0.008; \quad h = 0.110 \text{ m}; \quad b = 4.85 \text{ m}; \quad P_{\max} = 0.17 \times 10^{-3} \text{ m}^3/\text{s}; \quad V_{\text{calc}} = 10.32 \times 10^{-3} \text{ m}^3/\text{min} \cdot \text{mm}$$

+0,5 +0,8 +0,5 +0,8 +0,5

4	123,2	125,0	193	+3,2	+9,19	0,34	154,8	153,9	+1,8
4	123,2	125,0	193	+3,2	+9,19	0,34	154,8	153,9	+1,8

5	103,2	111,0	103	102	102,19	102,24	154,8	170,0	154	154,8	+0,8	+0,5
---	-------	-------	-----	-----	--------	--------	-------	-------	-----	-------	------	------

5	173,2	117,3	103	:	+9,2	+2,19	0,94	154,8	139,9	155	-1,2	-2,7
---	-------	-------	-----	---	------	-------	------	-------	-------	-----	------	------

Weltwirtschaft ist im Durchschnitt um 3,5% gestiegen.

Absoluter wödlicher PunktlochG  $\left( \frac{\text{Volumen} - \text{Volumen}}{\text{Volumen}} \right) = 0,56\%.$

卷之三

Velocarea media a abecelii M  $\left( \frac{V_{de} - V_{sf}}{V_{sf} - V_{de}} \right) = +0,05\%$

Abateea uedie să trăiească G(Vale-Valer)

$$x 10^{-3} \text{ m}^3/\text{s} : \text{Valc} = 10^{-3} \times 10^{-3} \text{ m}^3 \text{ min}^{-1} \text{ min}^{-1}$$

**154,8**      **154,8**      **154**      **+3,8**      **+0,5**

~~134,8~~ ~~154,8~~ ~~134,8~~ ~~154,8~~ ~~134,8~~ ~~154,8~~ ~~134,8~~ ~~154,8~~

**154,8** 153,0 153 +1,8 +1,1

154,8 170,3 154 +0,5

154,8 | 139,0 | 155 | -1,2 | -3,7

విలాసితా ప్రభుత్వం లోకమాన్య రాజు

卷之三

**TABEL COMPARATIV CU ELEMENTELE ALIFI SI ASII CALCULATE CU DIFERITE METODE PT RIM ARGETS**

zona U.H.R. Gh.Gheorghiu Dej – (datele din tabel se referă la albia naturală)

Sectiunile aliniante din amonte :  $i = 0,010$

-Tabela IV.4-4

Elementele albiei stable	Metoda de determinare regimului (D)	Metoda mor- fometrică- hidraulică		Metodele adoptate în prezentare și execuție		Metoda propusă în teză	
		Al tunel	d = 25 mm	d = 10 mm	d = 25 mm	d = 10 mm	
Lățimea curții de la fund b în m	2,85	3,0	3,0	2,87	2,5	48,3	
Lățimea la oglinda apoi B în m	88	42,5	42,5-45,0	38	54,5	54,5	
Sectiunea de curgere S în m <sup>2</sup>	95	50,0	50,0-52,5	45,2	119	128	
Perimetruul ușat P în m	271	135,0	135,0-143	47,2	55,3	55,3	
Raza hidraulică R în m	95	52,1	52,1-54,5	2,52	2,25	2,25	
Viteză medie în m/s	2,85	2,61	2,51-2,62	5,47	5,09	5,09	
Sectorul de eliniere din aval I = 0,008		4,8	4,8-4,5				
Lățimea curentului h în m	2,85	3,4	3,5	3,37	2,75		
Lățimea la fund b în m	88	41,5	46 - 50	32,5	46,2		
Lățimea la oglinda apoi B în m	95	50,2	54,8 - 58,8	41	53,1		
Sectiunea de curgere S în m <sup>2</sup>	271	155	176 - 190	123,5	133		
Perimetruul ușat P în m	95	52,60	57,2 - 51,2	43,2	55		
Raza hidraulică R în m	2,85	2,95	3,08 - 3,10	2,85	2,48		
Viteză medie	2,4	4,2	3,7 - 3,5	5,27	4,8		

• Peata rezultată cu calculul notabil nu se încadră în limitele

### § 5.- Prognozarea evoluției unei albiei existente

Prima problemă de prognoză, conform celor stabilite în paragraful 2 al acestui capitol, se referă la prevederea evoluției unei albiei existente, la care panta și lățimea la fund b și înălțimea curentului de apă h sunt cunoscute, pentru debitul de calcul.

Problema se impune studiului datorită caracteristicilor pe care le au cursurile naturale având debite lichide variabile și unele elemente mai puțin variabile ca : panta fundului și lățimea la fund b. Fluctuațiile debitului în natură sunt urmărite în special de oscilațiile adâncimii h.

Metoda de rezolvare a acestei probleme este aplicată, în cadrul tezei, la același sector al râului Argeș, însă pentru debitul mediu care apare în exploatare.

Având în vedere că dimensionarea albiei s-a făcut la debitul cu asigurarea de 0,1 %, este necesar să se prevadă comportarea albiei în perioade mai scurte, la debite care apar curent în exploatare.

Ca date de bază au fost folosite datele puse la dispoziția catedrei de construcții hidrotehnice și îmbunătățiri funiare de către proiectantul general al lucrării I.S.P.H. București în vederea modelării albiei regularizate.

Problema nu a constituit obiect al contractului.

Mărimile cunoscute sunt :

- coeficientul mediu de înclinare a taluzului  $m=1,25$  ;
- coeficientul  $m' = 2\sqrt{1+m^2} = 3,2$  ;
- coeficientul de rugozitate  $n_N = 0,034$ , iar parametrul global de rugozitate absolută  $k_{RN} = 0,414$  ;
- debitul de calcul  $Q_N = 80 \text{ m}^3/\text{s}$  ;
- diametrul mediu al aluviunilor constitutive ale patului, pentru care se fac prognozările este  $d_N = 0,010 \text{ m}$  ;
- masa specifică relativă a aluviunilor sub apă  $\Delta = 1,67$  ;
- rugozitatea absolută, tip nisip a patului  $k_s = d$ .

Trebue precizat că diametrul mediu luat în considerare  $d_N = 0,010 \text{ m}$  corespunde albiei în execuție.

Calculele, au fost făcute pentru mai multe pante dintre care se prezintă, în tabela IV.5-1 numai calculele pentru sectorul de aliniament din amonte de 1 %, pentru sectorul de aliniament din aval de 0,8 % și zonele intermedii cu pante de 1,5 % și 2 % .

De asemenea se precizează că în cadrul acestei probleme

se prezintă datele referitoare la albia din condițiile naturale (care diferă de datele de pe model tot numai prin coeficienții de scara). S-a făcut această alcătuire a datelor având în vedere că evoluția albiei se va produce și urmări în condițiile din natură.

Pe lîngă panta 1, care s-a adoptat din condițiile de relief, ca la paragraful 4 al acestui capitol, în această problemă albia regularizată este considerată deja executată (ceea ce, de altfel corespunde realității). Ca atare se cunosc lățimile la fund  $b_N$  amonte = 42,50 m și  $b_N$  aval = 50,0 m.

La doborțul de calcul de  $80 \text{ m}^3/\text{s}$  se cunoaște și înălțimea curentului de apă  $h_N$  amonte = 0,71 m și  $h_N$  aval = 0,74 m.

Este necesară determinarea debitului de aluvioni tirite și poziția pe care acesta o ocupă pe curba  $P = f(h)$  la panta dată.

Conform principiului variațional enunțat albia va fi stabilă dacă debitul de aluvioni tirite este maxim ( $P_{\max}$ ), iar  $h$  și  $b$  realizate sunt mărimele care corespund chiar acestui debit de aluvioni tirite maxim.

Că și în problemele de proiectare, s-au determinat cu ajutorul calculatorului electronic perechile de valori  $b$  și  $h$  care verifică formula debitului lichid. Corespondator acestor valori s-a calculat debitul de aluvioni tirite  $P$  cu formula Meyer Peter și Müller. Calculurile, selecționate în zona care interesează, sunt date în tabela IV.5-1. Datele sunt reprezentate grafic în figura IV.5-1. În abscisă au fost reprezentat parametrul variabil  $h$ , iar pe ordinată debitul solid tirit  $P$ .

Din graficul IV.5-1 se citește pentru  $i = 0,01 = b_{st} = 19,5$  m și  $h_{st} = 1,3$  m, iar pentru  $i = 0,008 = b_{st} = 11,1$  m și  $h_{st} = 1,8$  m.

Debitele de aluvioni tirite au rezultat în sectorul de aliniament din amonte 0,0634 < 0,0718, iar în sectorul de aliniament din aval 0,0428 < 0,0531. Deci nu este realizat debitul de aluvioni tirite maxim. Se mai constată că între valorile calculate și cele executate (concretizate prin lățimea la fund  $b$ ) preocum și cele care apar în exploatare (concretizate prin adâncimea  $h$ ) apar diferențe destul de mari. Cum lățimile albiei executate sunt mai mari și înălțimile curentului mai mici, se prevede evoluția albiei prin depunerি laterale care vor reduce lățimea la bază  $b$ , preocum și creșteri de adâncime în sensul apropierea de albia corespunzătoare energiei disipate minime.

TABLEA CUIRANTE DE CALCULUL DIN ETULUI SOLID TINUT PE RÂUL  
ARGES IN ZONA U.H.E. Gh. Gheorghiu Dej - Argeș

$$Q = 80 \text{ m}^3/\text{s}$$

$$\Delta = 1,65$$

$$d = 0,010 \text{ m}$$

$$C' = 18 \lg \frac{12h}{k_s} = 18 \lg 1200h$$

$\langle h \rangle = \langle b \rangle = 1 \text{ m}$ ;  $\langle C \rangle = \langle C' \rangle = 1 \text{ m}^{1/2}/\text{s}$ ;  $\langle P \rangle = 1 \text{ m}^3/\text{s}$  Tabola IV.5-1

i	h	b	C	C'	$\frac{C}{C'}$	$\mu = \left(\frac{C}{C'}\right)^2$	$\frac{uhi}{\Delta d}$	$\frac{uhi}{\Delta d} - 0,047$	P
0,008	0,5	96,5	26,1	50,0	0,522	0,375	0,091	0,044	0,0286
	1,0	30,5	29,0	55,4	0,523	0,379	0,184	0,137	0,0487
	1,6	13,6	30,9	59,2	0,522	0,376	0,292	0,245	0,0530
	1,8	11,0	31,3	60,0	0,522	0,376	0,329	0,232	0,0531
	1,9	10,0	31,4	60,4	0,522	0,375	0,345	0,208	0,0523
	2,0	9,0	31,5	60,8	0,518	0,373	0,362	0,315	0,0512
	3,0	3,4	31,9	61,0	0,498	0,352	0,512	0,455	0,0348
	4,0	0,5	32,0	66,3	0,482	0,335	0,650	0,603	0,0075
0,010	0,5	90,0	24,7	50,0	0,484	0,348	0,105	0,058	0,0404
	1,0	27,0	29,0	55,4	0,523	0,379	0,229	0,182	0,0574
	1,3	19,5	30,1	57,5	0,523	0,379	0,299	0,252	0,0718
	1,4	15,3	30,4	58,1	0,527	0,379	0,322	0,275	0,0711
	1,5	13,6	30,6	58,6	0,524	0,377	0,343	0,296	0,0703
	2,0	8,0	31,4	60,8	0,517	0,372	0,450	0,403	0,0652
	3,0	3,0	31,8	64,0	0,497	0,350	0,633	0,586	0,0433
	4,0	0,2	31,8	66,3	0,479	0,332	0,804	0,757	0,0042
0,015	0,5	75,0	24,7	50,0	0,494	0,348	0,158	0,111	0,0742
	1,0	22,0	29,0	55,4	0,523	0,379	0,345	0,298	0,1155
	1,1	19,0	29,4	56,3	0,523	0,379	0,379	0,332	0,1165
	1,2	16,2	29,7	56,9	0,523	0,379	0,413	0,366	0,1155
	1,5	11,0	30,5	58,6	0,522	0,377	0,513	0,466	0,1108
	2,0	6,5	31,2	60,8	0,514	0,368	0,670	0,623	0,1005
	3,0	2,0	31,4	64,0	0,491	0,343	0,936	0,839	0,0533
	4,0	0,01	31,7	66,3	0,478	0,330	1,200	1,153	0,0004
0,020	0,5	64,0	24,7	50,0	0,494	0,348	0,212	0,165	0,1380
	0,8	28,0	28,1	53,8	0,522	0,377	0,366	0,319	0,1620
	0,9	23,0	28,5	54,6	0,522	0,377	0,411	0,354	0,1625
	1,0	19,0	29,0	55,4	0,523	0,379	0,460	0,413	0,1625
	1,1	16,4	29,2	55,3	0,518	0,373	0,497	0,450	0,1590
	2,0	5,3	31,0	60,8	0,510	0,365	0,886	0,830	0,1310
	3,0	1,5	31,2	64,0	0,488	0,341	1,240	1,193	0,0628

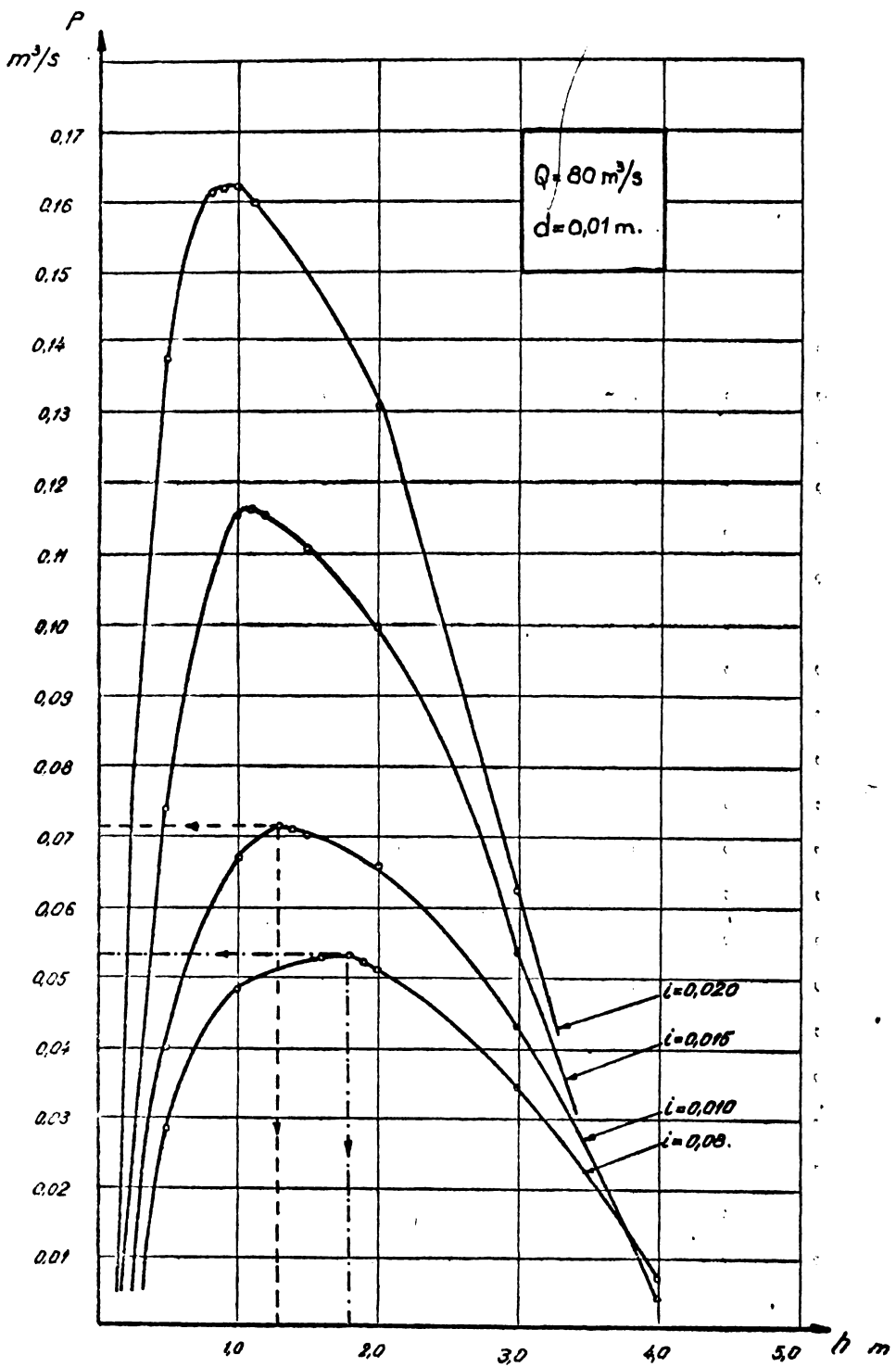


Fig. IV. 5 - 1 Variatia transportului de aluviumi tirite pe sectorul riu Arges in zona U.H.E. Gh. Gheorghiu Dej,  
la debitul de  $80 m^3/s$

## § 6.- Prognozarea transportului de aluvioni într-o albie existentă

In proiectare este necesar, uneori, să se aprecieze dacă particulele de anumite dimensiuni "d" vor fi transportate de curant. Conform prezentării din paragraful 2 aceasta este cea de a doua problemă de prognoză.

Metodica de rezolvare a acestei probleme este aplicată, în cadrul tezei, la același sector al râului Argeș studiat în § 4 și § 5, datele de bază fiind aceleași, doar problema care trebuie rezolvată este alta.

Mărimele cunoscute sunt în general aceleași, cu următoarele precizări :

- debitul de calcul pe model  $Q_m = 0,208 \text{ m}^3/\text{s}$  ;
- diametrul mediu al aluvionilor pentru care se face prognozarea :  $d_m$  s-a considerat 0,4 mm, 1,0 mm, 2,0 mm și 6 mm.
- pantă  $i = 0,01$  corespunde sectorului de aliniament din amonte. Mărimele care trebuie determinate și interpretate sunt : debitul de aluvioni tîrîte  $P$  pentru diferite diametri și  $P_{max}$  corespunzător acestor diametri cu elementele albiei respective  $b_{st}$  și  $h_{st}$ .

Ca și în problemele de proiectare s-au determinat perehile de valori  $b$  și debitul de aluvioni tîrîte  $P$  (tabela IV.6-1) la pantă constantă și s-au reprezentat în figura IV.6-1. Datele din tabel și figură se referă la valorile de pe model calculate cu scopul de a fi comparate cu datele experimentale.

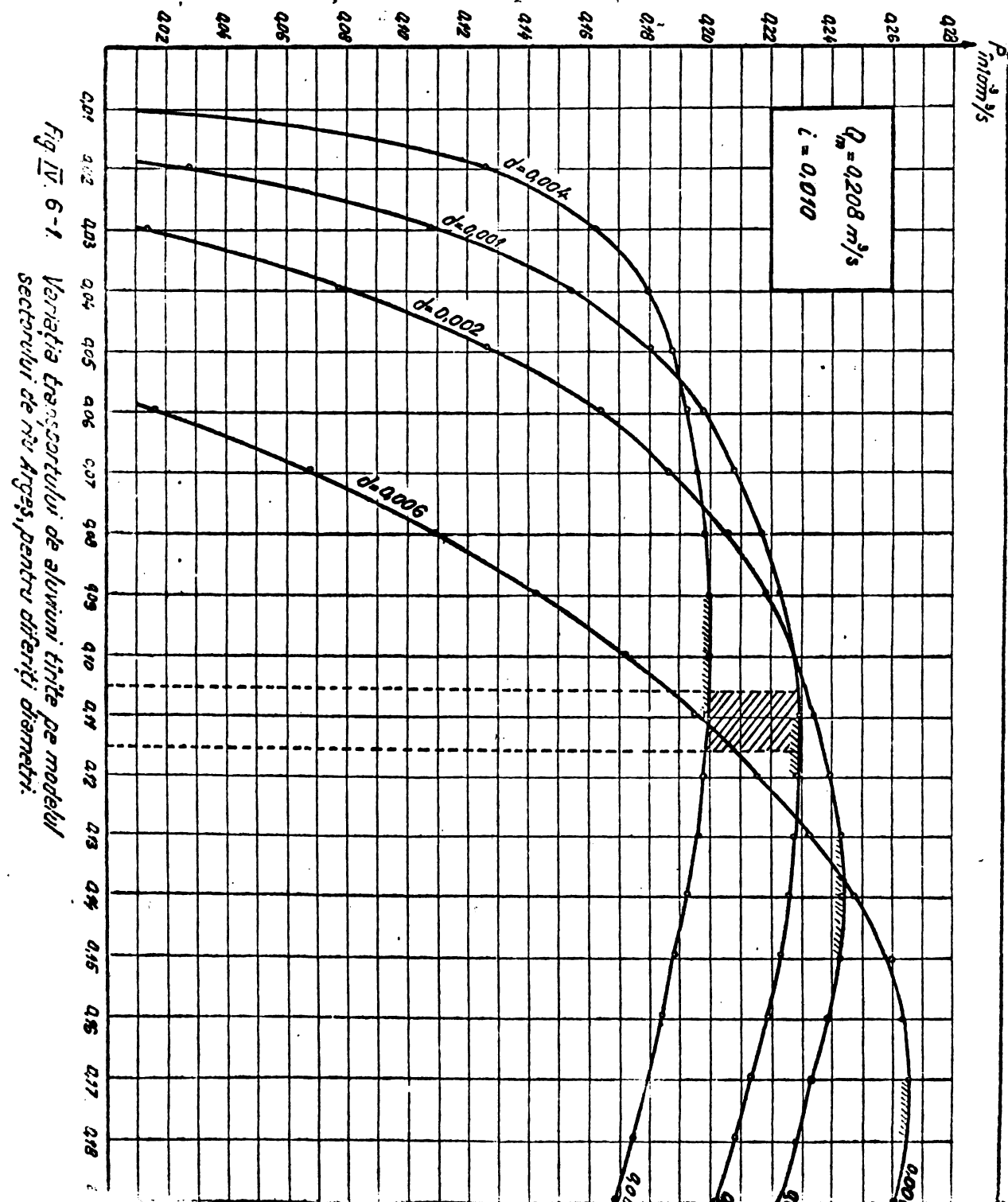
Conform principiului variational enunțat, albia este stabilă dacă debitul de aluvioni tîrîte este maxim la capacitatea de transport dată a curentului. Din graficul IV.6-1 se constată că în general pe măsură ce diametrul particulelor care trebuie întrenate crește și înălțimea curentului de apă capabilă să producă întrenarea crește (în timp ce  $b$  descrește) cînd se respectă condiția de  $P_{max}$  (zonele hagurate). De aceea se constată că pentru dimensiunile adoptate de proiectant în sectorul de aliniament din amonte ( $b_N = 42,50 \text{ m}$ ,  $b_m = 1,70 \text{ și } h_N = 2,62-2,85 \text{ m}$ ,  $h_m = 0,105 - 0,115 \text{ m}$ ) condiția de stabilitate a albiei apreciată prin debitul maxim de aluvioni tîrîte este îndeplinită pentru diametrele de  $d_m = 0,4 \text{ mm}$  ( $d_N = 10 \text{ mm}$ ) și  $d_m = 1 \text{ mm}$  ( $d_N = 25 \text{ mm}$ ). Pentru diametri mai mari debitul de aluvioni tîrîte maxim se situează la adâncimi mai mari și lățimi mai mici ale albiei. În aceste situații (cînd diametrii sunt mai mari) soluția concretă adoptată în proiectare nu se încadrează în zona de maxim a curbe

rezultatul că astăzi se preconizează evoluția albiei în sensul micșorării lățimii la fund și creșterii adinsecimii h.

In vederea verificării acestor ipoteze au fost făcute experimentări pe modelul seекторului de rîu Argeș realizat pe platforma laboratorului catedrei de CHIF.

In tabelă IV.6-2 sunt prezentate rezultatele experimentelor. In general lansările de aluviumi s-au făcut cu volume apropiate de cele calculate, la lansări mai mari înregistrându-se în zonile de la baza taluzurilor.

Va loarea medie a abaterii a variat între +1,59 % și -0,03 % iar abaterea medie pătratică între 0,61 % și 2,16 % ceea ce dovestă o concordanță bună a experiențelor cu datele calculate.



TABLEA CORACIUNII CIRCUITULUI DEZBUCUIT DIN TANAR PE MODULUL  
SECTORULUI DE RIU ARGES IN ZONA U.H.E. Gh.Gheorghiu-Dej,  
PENTRU DIFERITI DIAMETRI DE ALUVIUNI

$$Q = 0,208 \text{ m}^3/\text{s}; \quad n = 0,02 \quad C' = 18 \lg \frac{12h}{b}$$

$$i = 0,010 ;$$

$\langle d \rangle = \langle h \rangle = \langle b \rangle = 1 \text{ m}$ ;  $\langle C \rangle = \langle C' \rangle = 1 \text{ m}^{1/2}/\text{s}$ ;  $\langle F \rangle = 10^{-3} \text{ m}^3/\text{s}$  Tab. IV.6-1

d	h	b	C	C'	$\frac{C}{C'}$	$M = \left(\frac{C}{C'}\right)^{\frac{1}{2}}$	$\frac{Mh_i}{\Delta d}$	$\frac{Mh_i}{\Delta d} - 0,047$	P
0,0004	0,02	28,3	26,0	57,0	0,520	0,375	0,114	0,067	0,126
	0,03	14,4	27,8	53,2	0,523	0,378	0,172	0,125	0,163
	0,04	8,93	29,1	55,4	0,526	0,380	0,230	0,183	0,179
	0,05	6,16	30,1	57,1	0,527	0,382	0,289	0,242	0,187
	0,06	4,53	31,1	58,6	0,531	0,387	0,352	0,305	0,193
	0,07	3,49	31,8	59,8	0,532	0,388	0,412	0,365	0,197
	0,08	2,78	32,5	60,9	0,534	0,390	0,472	0,425	0,198
	0,09	2,29	33,1	62,0	0,534	0,390	0,532	0,485	0,199
	0,10	1,93	33,5	62,6	0,535	0,392	0,594	0,547	0,200
	0,11	1,64	33,9	63,3	0,536	0,392	0,654	0,607	0,199
	0,12	1,42	34,2	64,0	0,535	0,392	0,714	0,667	0,198
	0,13	1,24	34,6	64,6	0,535	0,392	0,773	0,726	0,197
	0,14	1,08	34,9	65,2	0,535	0,392	0,833	0,785	0,193
	0,15	0,96	35,1	65,7	0,534	0,390	0,888	0,841	0,189
	0,16	0,85	35,3	66,2	0,533	0,389	0,943	0,896	0,185
	0,17	0,76	35,4	66,7	0,531	0,388	0,998	0,951	0,180
	0,18	0,68	35,6	67,2	0,531	0,386	1,051	1,004	0,175
	0,19	0,61	35,7	67,6	0,528	0,384	1,104	1,057	0,170
	0,20	0,54	35,9	68,0	0,523	0,384	1,157	1,110	0,162
0,001	0,02	28,3	26,0	42,9	0,607	0,473	0,957	0,010	0,329
	0,03	14,4	27,8	46,0	0,605	0,470	0,985	0,030	0,198
	0,04	8,93	29,1	48,3	0,603	0,469	0,113	0,065	0,154
	0,05	6,16	30,1	50,0	0,602	0,468	0,142	0,095	0,181
	0,06	4,53	31,1	51,4	0,602	0,468	0,170	0,123	0,198
	0,07	3,49	31,8	52,7	0,602	0,468	0,198	0,151	0,208
	0,08	2,78	32,5	53,7	0,602	0,468	0,227	0,180	0,216
	0,09	2,29	33,1	54,6	0,602	0,468	0,255	0,209	0,223
	0,10	1,93	33,5	55,4	0,602	0,468	0,284	0,237	0,228
	0,11	1,64	33,9	56,2	0,602	0,468	0,313	0,266	0,229
	0,12	1,42	34,2	56,9	0,601	0,467	0,340	0,293	0,229
	0,13	1,24	34,6	57,5	0,601	0,467	0,358	0,321	0,220
	0,14	1,08	34,9	58,1	0,600	0,466	0,395	0,348	0,226
	0,15	0,96	35,1	58,6	0,599	0,465	0,422	0,375	0,224
	0,16	0,85	35,3	59,1	0,597	0,462	0,449	0,402	0,220
	0,17	0,76	35,4	59,6	0,594	0,458	0,472	0,425	0,214
	0,18	0,68	35,6	60,1	0,593	0,456	0,498	0,451	0,209
	0,19	0,61	35,7	60,5	0,591	0,455	0,525	0,478	0,204
	0,20	0,54	35,9	60,9	0,590	0,453	0,550	0,503	0,196

continuare tab. IV.6-1

d	h	b	C	C'	$\frac{C}{C'}$	$M = \left(\frac{C}{C'}\right)^2$	$\frac{Mh}{\Delta d}$	$\frac{Mh}{\Delta d} - 0,047$	P
0,002	0,02	28,3	26,0	37,4	0,696	0,581	0,035	-	-
	0,03	14,4	27,8	40,6	0,685	0,569	0,052	0,005	0,015
	0,04	8,93	29,1	42,8	0,680	0,561	0,068	0,021	0,078
	0,05	6,16	30,1	44,6	0,675	0,556	0,084	0,037	0,127
	0,06	4,53	31,1	46,0	0,675	0,556	0,101	0,054	0,164
	0,07	3,49	31,8	47,3	0,672	0,551	0,117	0,070	0,186
	0,08	2,78	32,5	48,3	0,672	0,551	0,134	0,087	0,206
	0,09	2,29	33,1	49,2	0,672	0,551	0,150	0,103	0,218
	0,10	1,93	33,5	50,0	0,670	0,550	0,166	0,119	0,228
	0,11	1,64	33,9	50,7	0,669	0,548	0,182	0,135	0,234
	0,12	1,42	34,2	51,4	0,665	0,543	0,198	0,151	0,240
	0,13	1,24	34,6	52,0	0,665	0,543	0,214	0,167	0,244
	0,14	1,08	34,9	52,6	0,664	0,542	0,230	0,183	0,244
	0,15	0,96	35,1	53,2	0,660	0,537	0,245	0,198	0,244
	0,16	0,85	35,3	53,7	0,658	0,534	0,259	0,212	0,239
	0,17	0,76	35,4	54,2	0,653	0,529	0,273	0,226	0,235
	0,18	0,68	35,6	54,6	0,652	0,526	0,287	0,240	0,230
	0,19	0,61	35,7	55,0	0,650	0,524	0,302	0,255	0,226
	0,20	0,54	35,9	55,4	0,648	0,523	0,317	0,270	0,219
0,006	0,02	28,3	25,0	29,0	0,898	0,849	0,019	-	-
	0,03	14,4	27,8	32,0	0,869	0,810	0,027	-	-
	0,04	8,93	29,1	34,3	0,849	0,781	0,035	-	-
	0,05	6,16	30,1	36,0	0,837	0,765	0,042	-	-
	0,06	4,53	31,1	37,4	0,832	0,758	0,051	0,004	0,017
	0,07	3,49	31,8	38,6	0,823	0,748	0,059	0,012	0,069
	0,08	2,78	32,5	39,7	0,819	0,741	0,066	0,019	0,109
	0,09	2,29	33,1	40,6	0,813	0,735	0,073	0,026	0,143
	0,10	1,93	33,5	41,5	0,807	0,725	0,080	0,033	0,173
	0,11	1,64	33,9	42,3	0,801	0,717	0,088	0,041	0,195
	0,12	1,42	34,2	43,0	0,796	0,707	0,094	0,047	0,216
	0,13	1,24	34,6	43,5	0,795	0,705	0,101	0,054	0,233
	0,14	1,08	34,9	44,1	0,792	0,703	0,109	0,062	0,248
	0,15	0,96	35,1	44,6	0,787	0,699	0,116	0,069	0,260
	0,16	0,85	35,3	45,1	0,783	0,692	0,122	0,075	0,264
	0,17	0,76	35,4	45,6	0,777	0,685	0,129	0,082	0,266
	0,18	0,68	35,6	46,0	0,773	0,681	0,136	0,089	0,266
	0,19	0,61	35,7	46,4	0,769	0,675	0,142	0,095	0,265
	0,20	0,54	35,9	46,8	0,767	0,671	0,149	0,102	0,258

TABLEZI ZILNICI DE DATE PENTRU TRANSECTORUL MUVIN ILOR TERETE DE  
DIFERITE DURATURI, IN SECTORUL LODTELUI DE RIU ARGES

$$\Delta V_{el} = 10^{-3} \text{ m}^3$$

Tabel IV.6.2

nr.	Volume de aluviumi $V_{el}$	Interval de timp de 40 minute	Pentru interval de 15 minute			
			Volume de aluviumi $V_{el}$	Transportate $V_{el} - V_{el,rr}$	Calculata $\frac{V_{el} - V_{el,rr}}{V_{el,rr}}$	Volume de aluviumi $V_{el}$
1	120	120	120	9,00	0,00	180
2	120	120	119	+1,0	+0,84	180
3	120	125	121	-1,0	-0,85	183
4	120	127	123	0,0	0,00	180
						$\sum +0,31 \quad 1,35$
						$\Delta V_{el} = 10^{-3} \text{ m}^3$
						$\Delta V_{el,rr} = 0,270 \cdot 10^{-3} \text{ m}^3$
						$\Delta V_{el} - \Delta V_{el,rr} = 0,003 \text{ m}^3$
						$\Delta V_{el} / \Delta V_{el,rr} = 0,68\%$
						$\Delta V_{el} / \Delta V_{el,rr} = 0,790\%$
						$\Delta V_{el} / \Delta V_{el,rr} = +0,005\%$
						$\Delta V_{el} / \Delta V_{el,rr} = +0,18\%$
						$\Delta V_{el} / \Delta V_{el,rr} = 0,85\%$

$$<Val> = 10^{-3} \text{ m}^3$$

continuare Tabelul IV.5-2

$$i = 0,010; h = 0,108 \text{ m}; b = 1,70 \text{ m}; Q = 0,208 \text{ m}^3/\text{s}$$

Nr.	Pentru intervalul de timp de 10 minute					Pentru intervalul de timp de 15 minute					
	Volume de aluvium Val	lansate transportate Val	Vale - Val <sub>tr</sub>	$\frac{Val - Val_{tr}}{Val} \cdot 100$	$\frac{Val - Val_{tr}}{Val} \cdot 100$	Volume de aluvium Val	lansate transportate Val	Vale - Val <sub>tr</sub>	$\frac{Val - Val_{tr}}{Val} \cdot 100$	$\frac{Val - Val_{tr}}{Val} \cdot 100$	
1	140,4	140,4	140,0	+0,4	+0,29	150,8	210,6	210,5	+0,5	+0,29	-0,38
2	140,4	140,4	139,0	+1,4	+1,21	1,02	210,6	210,6	+1,5	+0,77	-0,59
3	140,4	145,0	143,0	-2,6	-1,82	3,32	210,5	215	+0,5	+0,29	-0,08
4	140,4	150,0	142,0	-1,6	-1,13	1,27	210,5	218	-1,4	-0,55	0,44
				$\Sigma$	-1,55	5,69			$\Sigma$	+0,59	1,19

Târgăra medie a abaterii  $M\left(\frac{Vale - Val_{tr}}{Val_{tr}}\right) = -0,41\%$ .  
Abaterea medie pătratică  $G\left(\frac{Vale - Val_{tr}}{Val_{tr}}\right) = 4,38\%$

Vârfarea medie a abaterii  $M\left(\frac{Vale - Val_{tr}}{Val_{tr}}\right) = +0,17\%$ .  
Abaterea medie pătratică  $G\left(\frac{Vale - Val_{tr}}{Val_{tr}}\right) = 0,63\%$

Nr.	Pentru intervalul de 10 minute					Pentru intervalul de 15 minute					
	Volume de aluvium Val	lansate transportate Val	Vale - Val <sub>tr</sub>	$\frac{Val - Val_{tr}}{Val} \cdot 100$	$\frac{Val - Val_{tr}}{Val} \cdot 100$	Volume de aluvium Val	lansate transportate Val	Vale - Val <sub>tr</sub>	$\frac{Val - Val_{tr}}{Val} \cdot 100$	$\frac{Val - Val_{tr}}{Val} \cdot 100$	
1	103,8	103,8	103	+0,8	+0,78	0,60	155,7	155,7	+0,7	+0,45	-0,20
2	103,8	103,8	103,5	+0,3	+0,29	0,08	155,7	155,7	+0,7	+0,45	-0,20
3	103,8	105	105	-1,2	-1,14	1,30	155,7	158	-0,5	-0,19	0,04
4	103,8	110	105	-1,2	-1,14	1,30	155,7	155	-1,3	-0,83	0,59
				$\Sigma$	-1,21	3,28			$\Sigma$	-2,12	1,12

1. Abatere medie a abaterii  $M\left(\frac{Vale - Val_{tr}}{Val_{tr}}\right) = -0,30\%$ .  
Abaterea medie pătratică  $G\left(\frac{Vale - Val_{tr}}{Val_{tr}}\right) = 1,05\%$

Cap.V - CONTRIBUȚII PRIVIND STABILITATEA LA EROZIUNE  
A ALBIILOR ÎN CURBE

§ 1.- Prezentarea cîtorva date din literatura de  
specialitate privind deformarea albiei în  
curbele curentilor cu față liberă

In urma cercetării literaturii de specialitate, care a fost accesibilă se poate formula constatarea de ordin general că problema deformării albiei în curbe este o problemă insuficient studiată.

Există o unanimitate de păreri referitoare la faptul că în curbe albia este mai mult expusă eroziunilor decit în sectoarele rectilinii.

Studiile experimentale efectuate în laboratoare ar putea fi grupate în următoarele patru categorii :

- experimente pentru stabilirea legităților meandrării naturale a albiilor (M.A.Velikanov) ;

- experimente pentru stabilirea imaginii generale a fenomenului deformației fundului albiei pe modele cu pereti rigizi (A.Shuckry, T.M.Prus-Chasinski);

- experimente pentru amplasarea prizelor de apă pe rîuri (A.S.Öfîțciov, M.V.Potapov, experimente efectuate la I.S.C.H. și I.S.C.I.F.București); în general în acest domeniu există o bogată experiență atât pe plan național cît și internațional ;

- experimente avînd ca scop explicarea creșterii capacitatii de eroziune în curbele albiilor prismatice și evaluarea cantitativă a acestei creșteri (A.Ippen și P.Drinker, I.L.Rozowski).

Dacă cea mai ultimul grup este mai important pentru problema studiată se vor prezenta în continuare cîteva date privind aceste experimente.

A.Ippen și P.Drinker au făcut studii în curbele canalelor trapezoïdale cu următoarele dimensiuni :

- lățimea canalilor la fund  $b = 30,5$  cm și  $61$  cm ;
- adâncimea de umplere  $h = 5 + 15$  cm ;
- coeficientul de inclinare al taluzurilor  $m = 2,0$  ;
- coeficientul de rugozitate  $n = 0,010$  ;
- unghiul de întoarcere al curentului  $\alpha = 60^\circ$  ;
- raza de curbura relativă  $1,25 \leq R/B \leq 3,5$  ,

în care  $R$  este raza de curbura a curbei canalei și  $B$  este

lățimea canalului măsurată la oglinda apei.

Cu ajutorul tuburilor Pitot de suprafață, prelucrate în mod special de J.Preston, s-au măsurat și apoi <sup>călcăt</sup> tensiunile tangențiale ( $\tau$ ) pe pereți solizi ai canalului folosind formula verificată de Preston :

$$\lg \frac{\tau d^2}{4 \varphi^2} = -1,396 + 0,875 \lg \frac{(p_t - p_0) d^2}{4 \varphi^2} \quad (V.1-1)$$

în care :  $(p_t - p_0)$  este sarcina viteză, înregistrată la tubul Pitot ;

$d$  este diametrul exterior al tubului ;

$\varphi$  este densitatea apei ;

$\tau$  este coeficientul cinematic de vîscozitate.

Domeniul de aplicabilitate al formulei de mai sus este :

$$4,5 < \lg \frac{(p_t - p_0) d^2}{4 \varphi^2} < 6,5 \quad (V.1-2)$$

In tabela următoare sunt prezentate unele rezultate ale experiențelor lui A.Ippen și P.Drinker care arată în mod concret cu cît variază efortul tangențial în cazul curbelor față de sectoarele rectilinii.

Tabela V.1-1

Nr.experienței	1	2	3	4-B	5	6	7
$r_0/S$	1,67	1,50	1,37	1,25	3,45	2,95	2,50
$\tau_{\max.\text{rectil.}}$	0,60	0,67	0,54	0,50	0,75	0,75	0,68
$\tau_{\max.\text{curb}}$							

In tabela V.1-1 cu  $\tau_{\max.\text{rectil}}$  a fost notat efortul  $\tau_{\max}$  măsurat pe pereții canalului în sectorul rectiliniu și cu  $\tau_{\max.\text{curb}}$  efortul tangențial maxim pe sectorul în curbă.

Rezultatele autorilor cități prezintă însă unele neconcordanțe care se pot pune în evidență prin aceea că tensiunea tangențială medie pe sectorul rectiliniu calculată pe calea integrării grafice a distribuției eforturilor tangențiale pe perimetru udat determinată prin măsurători și calculată cu relația

$\sqrt{gR}$  prezintă diferențe de pînă la 20 %.

La laboratorul de aerodinamică al Institutului politehnic "M.I.Kalinin" din Leningrad, condus de profesorul Loțianski, s-au făcut studii speciale privind domeniul de valabilitate al relației propuse de Preston și s-a ajuns la concluzia că aceste limite nu sunt corecte.

In experiențele desfășurate în perioada anilor 1948-50, I.L.Rozowski a utilizat modele de canale curbe cu secțiunea transversală poligonală având următorii parametrii principali:

- unghiul de întoarcere al curentului  $90^\circ$ ;
- înălțimea maximă de umplere  $h_{max} = 14$  cm;
- lățimea la oglinda apei  $B \approx 160$  cm;
- curbă relativă a liniei axiale  $r_0/B \approx 3,1$ .

Creșterea capacității de erodabilitate a fost determinată nemijlocit măsurindu-se viteza medie la care apar primele eroziuni. S-a constatat că primele eroziuni ale patului au apărut spre sfîrșitul curbei, pe malul concav, la viteza medie pe verticală în axa curentului de  $\bar{V} = 0,22$  m/s, în timp ce primele eroziuni în portiunea rectilinie au apărut la  $\bar{V} = 0,28$  m/s.

Rezultă că se poate calcula un coeficient de scădere al vitezei medii, la care începe eroziunea, egal cu raportul dintre viteza medie pe sectorul în curbă și pe sectorul rectiliniu, ambele luate în momentul în care începe prima eroziune.:

$$k = \frac{0,22}{0,28} = 0,78 \quad (V.1-3)$$

Ca aspecte critice referitoare la aceste experiențe s-ar putea semnala următoarele :

- viteza medie în traiectoria axială nu pare a fi cea mai indicată vitează caracteristică, având în vedere variația relativ mare a adâncimilor pe secțiunea transversală (radială);
- modelul a fost construit din nisip având fracțiuni de diferite dimensiuni, cuprinse între 0,1 mm și 2 mm ceea ce nu permite stabilirea unei dependențe a fazei incipiente a eroziunii de diametrul particulelor care aloătuiesc patul.

O altă experiență a fost efectuată de Rozowski într-un canal de secțiune dreptunghiulară cu pereti rigizi și fundul erodabil, având curbura relativă a axului  $r_0/B = 2,5$ . În această experiență coeficientul  $k$ , exprimând raportul vitezelor la care începe eroziunea, a avut valoarea 0,80.

Pe baza rezultatelor experimentale menționate, precum și a altora, Rozowski a propus, pentru prima dată pe plan mondial, o metodă de calcul a vitezelor de eroziune în curbele canalelor. După această metodică coeficientul de scădere a vitezelor de eroziune are expresia :

$$k = \frac{\bar{V}_{ex. curb.}}{\bar{V}_{ex. rect.}} = k_1 k_2 k_3 k_4 \quad (V.1-4)$$

în care :  $k_1$  este un coeficient care exprimă creșterea în curbe a maximului vitezei medii după verticală ;

$k_2$  este un coeficient care exprimă faptul că viteza maximă în curbe se observă spre maluri unde adâncimea apei este mai mică;

$k_3$ , coeficient care exprimă circumstanța că pe malul concav viteza datorată circulației transversale este dirijată de sus în jos pe taluz;

$k_4$ , coeficient ce caracterizează creșterea relativă a vitezei de fund în curbe.

În determinarea concretă a valorilor coeficienților descriși mai sus și asupra metodicii de calcul în general, se pot formula urmăre rezerve referitoare la :

1.- Se compară stabilitatea particulelor de aluvium de pe taluzul malului concav la sfîrșitul curbei și a celor din axa fundului canalului în porțiunea rectilinie; alegerea acestor poziții în care s-a considerat stabilitatea particulelor nu este însă justificată în mod logic;

2.- coeficientul  $k_1$  s-a determinat cu ajutorul măsurătorilor pe modele;

3.- coeficientul  $k_2$  s-a calculat folosind formula empirică a lui G.I.Samov, formula care dă uneori erori destul de mari;

4.- coeficientul  $k_3$  s-a calculat folosind formula lui S.A.Piškin, care dă în general o valoare mai mică a coeficientului  $k_3$  decât cea reală;

4.- coefficientul  $k_4$  a fost iuat egal cu unitatea, deși după cum rezultă din experiențele altor cercetători (N.F.Danelia, G.N.Zambahidze) și chiar ale lui Rozowski, în curbe se produce o importantă creștere a vitezelor de fund, ceea ce face să nu fie acceptabilă valoarea considerată de Rozowski.

Ca o concluzie la cele prezentate mai sus rezultă că este necesară o îmbunătățire a metodicii de calcul propusă de Rozowski pentru determinarea cantitativă a creșterii capacitatii de erozare a curentului în curbe.

## S 2.- Propunere de evaluare a capacitatii de eroziune a curentului pe sectoarele curbe, comparativ cu sectoarele rectilinii

Pentru a ține seama de faptul că viteza la care începe să se producă eroziuni pe sectoarele în curva este mai mică decât cea corespunzătoare sectoarelor rectilini, se va introduce un coeficient de reducere ai vitezei de eroziune în curbe notat c :

$$V_{eroz.curb.} = \frac{V_{eroz.rectil.}}{\lambda}, \quad \lambda > 1 \quad (V.2-1)$$

Acstea vîzeze trebuie interpretate în modul următor. Să presupunem că pe un curs de apă avînd un pat omogen debitul de apă crește în trepte, fiecare treaptă avînd o durată de existență suficientă de lungă pentru a se stabili un regim permanent și a permite inițierea procesului de eroziune. La un debit anumit vor apărea primele eroziuni pe sectorul în curba, viteza medie corespunzătoare fiind notată  $V_{eroz.curbă}$ . Aceasta viteza medie se calculează prin împărțirea debitului la secțiunea vie din sectorul rectiliniu, indicele exprimând doar faptul că viteza corespunde începutului procesului de eroziune în curbă.

Conținând ca creșterea treptată a debitului, la un debit anumit se va inițializa procesul de eroziune și pe sectorul rectiliniu, viteza medie corespunzătoare fiind notată  $V_{eroz.rectil.}$  și fiind calculată prin împărțirea debitului respectiv la secțiunea vie din sectorul rectiliniu. Problema care trebuie rezolvată este determinarea valorilor coeficientului  $\lambda$ , decarcă problema determinării vitezelor de eroziune în aliniament este relativ mult studiată și finalizată în relații de calcul aplicabile în proiectare /V-1/, /S-6/, /G-2/, /L-4/ etc.

Ca și în metoda lui Rozowski, coeficientul  $\lambda$  se va considera produsul mai multor coeficienții  $c_i$ , exprimând influența diferitelor schimbări care se produc în curgerea pe sectorul în curbă în comparație cu curgerea pe sectorul rectiliniu.

$$\lambda = c_1 c_2 c_3 c_4 c_5 \quad (V.2-2)$$

Coefficientul  $c_1$ . Acest prim coefficient ține cont de faptul că la aceeași viteză medie pe secțiunea de curgere, viteza medie pe verticală are o cu totul altă distribuție în cazul sectorului în curbă decât în cazul sectorului rectiliniu :

$$c_1 = \frac{V_{curb.}}{V_{rectil.}} \quad (V.2-3)$$

În relația (V.2-3) vitezele medii trebuie considerate pe verticale care se corespund, adică pe verticale situate la aceeași distanță relativă  $y/B$  de axul currentului. Evident, intereseaza verticalele în care coeficientul  $c_1$  are valorile cele mai mari. Se menționează că din cauza faptului că  $c$  este un produs al mai multor coeficienții s-ar putea ca valoarea maxima a lui să nu se obțina pentru nici una din valorile maxime ale coeficienților factori, respectiv valoarea maximă a lui  $c$  să nu corespundă valorii maxime a coeficientului  $c_1$ . Din această cauză se recomandă ca în calculele practice să se calculeze acest raport (V.2-3) în mai

multe verticale, cu valorile cele mai mari ale coeficientului  $c_1$  pentru a determina prin încercări valoarea maximă a coeficientului  $c$ .

Referitor la viteza  $\bar{v}_{rectil}$ , în cadrul tezei la Cap. II, s-a dat următoarea relație referitoare la distribuția vitezelor medii verticale pe latimea curentului și eliniament :

$$\frac{\bar{v}_{rectil}}{v} = 1 + \frac{Vg}{C} \left[ 2 - f(\eta) \right] \quad (V.2-4)$$

unde  $f(\eta)$  se calculează cu relația (II.2-1),

în ceea ce privește repartiția pe latimea curentului a vitezei  $\bar{v}_{curb}$ , în cap. III. § 5, s-a elaborat un algoritm și un program de calcul care determină succesiv, începând din secțiunea de intrare în curbă, repartiția vitezelor medii verticale.

Dacă există posibilități de executare a unei modelări fizice se vor folosi vitezele medii verticale determine pe cale experimentală, modelarea facindu-se fie cu pat fix, fie cu pat mobil.

Coefficientul  $c_2$ . Această a doua coeficient vine cont de faptul că distribuția adâncimilor apelor pe latimea curentului în curbe, este diferită de cea pe porțiunea rectilinie, unde nivelul apelor este aproximativ orizontal.

Pentru a determina valoarea coeficientului  $c_2$  este nevoie să se analizeze influența pe care adâncimea apelor  $h$  are asupra vitezei de crezire.

În acest scop se vor folosi relațiile lui Levi-Knoroz, care conțin /II-1, pg. 30/ și cele mai răspândite (în care s-a înlocuit raza hidraulică cu adâncimea  $h$ ) :

$$v_a = a \sqrt{g \frac{\rho_s - \rho}{\rho} d} \left( \frac{h}{d} \right)^m \quad (V.2-5)$$

unde, cu excepția observației de mai sus, semnificațiile au fost prezentate la (IV.1-2).

Pentru  $d < 0,20$  mm, Levi-Knoroz recomandă formula :

$$v_a = \frac{100 h^{1/8} d^{0.05}}{\sqrt{7.5} + \sqrt{h}} \quad (V.2-6)$$

în care  $d$  și  $h$  se introduc în mm.

Rezultă, folosind relațiile Levi-Knoroz, următoarea expresie a coeficientului  $c_2$  :

$$c_2 = \begin{cases} \left( \frac{h_{urb.}}{h_{rectil.}} \right)^m & \text{pentru } d > 0,20 \text{ mm; } m = 1/4 - 1/6 \text{ (frecvent 1/6)} \\ \left( \frac{h_{urb.}}{h_{rectil.}} \right)^{1/8} \left( \frac{7.5 + \sqrt{h_{rectil.}}}{7.5 + \sqrt{h}} \right)^{1/2} & \text{pentru } d \leq 0,20 \text{ mm sau } d \text{ în mm și } h \text{ în mm.} \end{cases} \quad (V.2-7)$$

Să poate folosi de asemenea formula lui Samov G.I.:

$$V_{cr} = 1,3 \left( \frac{0,01}{d^{1/6}} + 4,7 d^{1/3} \right)^{1/6} h^6 \varphi \quad (V.2-8)$$

în care :  $d$  este diametrul aluvioanelor în m ;

$h$  este adâncimea curentului în m ;

$\varphi = \frac{F_a}{F_a + F_b}$  un coeficient care ține cont de neuniformitatea aluvioanelor ;

$F_a$ , suprafața figurii deasupra curbei granulometrice ;

$F_b$ , suprafața figurii dedesubtul curbei granulometrice.

Prin utilizarea formulei lui Samov rezultă :

$$C_2 = \left( \frac{h_{curb}}{h_{rectil}} \right)^{1/6} \quad (V.2-9)$$

Determinarea mărimilor  $h_{rectil}$  nu prezintă dificultăți, având în vedere că pe sectorul rectiliniu se poate considera nivelul apel orizontal.

În ceea ce privește adâncimea  $h_{curb}$  se poate folosi algoritmul și programul de calcul prezentat în cap. III § 5.

O soluție mai bună constă în efectuarea unor cercetări prin modelare hidraulică pe modele cu pat fix sau cu pat mobil.

Coefficientul  $c_2$  se calculează pe aceleasi verticale pentru care s-a calculat și coefficientul  $c_1$ .

Coefficientul  $c_3$  este al treilea coefficient care ține cont de condițiile defavorabile din punct de vedere al stabilității în care se găsesc particulele ailate pe un taluz în comparație cu particulele de pe un fund orizontal. Rezultă că acest coefficient trebuie folosit atunci când înclinarea malurilor sau lateral chiar a fundului este mai mare decât înclinarea taluzului natural.

Pe taluz se va considera relația lui Pișkin B.A. modificată, în sensul unei apropieri față de rezultatele experimentale, prin neglijarea unui termen negativ :

$$C_3 = \sqrt{\frac{m^2 - m_0^2}{1 + m^2}} \quad (V.2-10)$$

unde :  $m$  este coefficientul de pantă al taluzului ;

$m_0$ , coefficientul de pantă al taluzului natural.

După cum este cunoscut din geotehnică, studiindu-se echilibrul unei particule de teren pe un taluz pe care se sourge o lăvă subțire de apă se ajunge la următoarea condiție de echilibru  $m \geq 2 m_0$  condiție care trebuie să fie respectată și atunci când se utilizează relația propusă. Pentru cazul în care  $m \leq 2 m_0$  circulația se va produce dacă nu se protejeaza taluzul,oricără mică ar fi viteza de curgere a apei.

Coefficientul  $c_4$ . Acest coefficient ține cont de crește-

rea relativă a vitezelor de fund datorată curgerii secundare care apare pe sectoarele în curvă, față de sectoarele în aliniament. Deoarece în aliniament această circulație apare doar local, datorită unor neregularități ale albiei, în plan vertical și în plan orizontal nu se pot stabili mărimi omoloage. De aceea coeficientul  $c_4$  se va defini ca fiind raportul dintre vitezele rezultante la o distanță convențională de fund. În lipsa oricăror indicații în literatura de specialitate și în concordanță cu unele încercări preliminare, s-a considerat drept distanță caracteristică distanța de fund egală cu 0,05 h :

$$c_4 = \frac{(\sqrt{U_{0,05}^2 + W_{r,0,05}^2})_{curb}}{U_{0,05} \text{ curb}} = \left( \sqrt{1 + \frac{W_{r,0,05}^2}{U_{0,05}^2}} \right)_{curb} \quad (\text{V.2-11})$$

Utilizând relațiile stabilite în cap. II și cap. III se poate calcula raportul  $\frac{W_{r,0,05}}{U_{0,05}}$  și ca urmare și  $c_4$  :

$$\frac{W_r}{U} = \frac{C}{10} \sqrt{\frac{B}{h}} \cdot \frac{h}{r} \cdot \frac{\theta - \theta_{max}}{\theta_{um} - \theta_{max}} f(\xi); f(\xi) = 0,284 \quad (\text{TAB. III.4-1}) \quad (\text{III.4-22})$$

$$\frac{U}{U} = \frac{U_{max}}{U} - \frac{U_s}{U} f(\xi) = 1 - 2 \frac{\sqrt{g}}{C} - \frac{\sqrt{g}}{C} f(\xi) \quad (\text{II.1-3-20})$$

$$\frac{W_{r,0,05}}{U_{0,05}} = \frac{0,0284 C \frac{h}{r} \sqrt{\frac{B}{h}} \frac{\theta - \theta_{max}}{\theta_{um} - \theta_{max}}}{1 - 4,7034 \frac{\sqrt{g}}{C}} \quad (\text{V.2-12})$$

$$c_4 = \sqrt{1 + \left( \frac{0,0284 C \frac{h}{r} \sqrt{\frac{B}{h}} \frac{\theta - \theta_{max}}{\theta_{um} - \theta_{max}}}{1 - 4,7034 \frac{\sqrt{g}}{C}} \right)^2} \quad (\text{V.2-13})$$

Coefficientul  $c_5$ . Acest al cincilea coeficient ar trebui să țină cont de modificarea caracteristicilor de turbulentă care apar pe sectorul în curvă în comparație cu sectorul în aliniament.

Din nefericoire există foarte puține date publicate referitoare la această problemă. Singurele măsurători în această problemă (de care am dispus) se datorătoresc lui E. Mässer, care a determinat unele caracteristici ale turbulentei prin două metode : cu ajutorul filmării și cu ajutorul termocanemometrului. S-a stabilit în mod incontestabil că acolo unde apar creșteri ale vitezelor și anume la malul convex la începutul curbei și la malul concav la sfîrșitul curbei, intensitatea turbulentei scade. La sfîrșitul curbei, pe înălțimea 0,3 h de la fund, mărimea  $\frac{\sqrt{U^2}}{U}$  este în medie, pe lățimea currentului cu 28 % mai mică decât în cazul canalului rectiliniu de aceeași secțiune (în puncte izolate scădereajungind la 50%). Dacă se face medierea pe

într-o secțiune de curgere în curbă se constată totuși o creștere în raport cu canalul rectiliniu.

În concluzie, pînă la efectuarea unor cercetări detaliate se va considera în continuare  $c_5 = 1$ .

### § 3.- Aplicarea metodei propuse pentru determinarea vitezei de eroziune în curbe la sectorul de rîu Argeș modelat

Metoda propusă anterior pentru determinarea vitezei de eroziune în curbe a fost utilizată și implicit testată cu ocazia rezolvării unei probleme concrete cercetată în laboratorul Catedrei CHIEF în cadrul unui contact încheiat cu ISPB București referitor la rîul Argeș în zona U.H.E. "Gh. Gheorghiu Dej". Între alte probleme, s-a cerut și verificarea consolidării radierului în zona malului concav cu anrocamente, întrebarea fiind dacă mărimea anrocamentelor propuse de proiectant asigură stabilitatea acestora în timpul viitorilor. Această verificare s-a făcut, în cadrul contractului, numai prin modelare hidraulică și a generat cercetări teoretice, puse la punct ulterior și prezentate în capitolul de față.

Anrocamentele se extind în zona profilelor  $P_{124}-P_{123}$ - $P_{122}-P_{121}-P_{120}$ , numerotarea făcîndu-se în sens contrar sensului de curgere a apei.

Avînd în vedere că zona periculoasă în ceea ce privește eroziunea este situată totdeauna spre sfîrșitul curbei, verificarea s-a făcut în ultimele trei profile  $P_{122}-P_{121}-P_{120}$  cărora le corespund respectiv următoarele unghiuri la centru de la începutul curbei  $\Theta = 65^\circ, 85^\circ$  și  $110^\circ$ . Anrocamentele ocupă zona spre malul concav cu lățime variabilă (fig. V.3-1).

Determinările de viteze s-au făcut în fiecare secțiune pe verticale situate la distanțele relative  $\eta = 0,4, 0,6$  și  $0,8$ ; rezultatele sunt indicate în tabela V.3-1. În tabel au fost incluse și alte câteva valori necesare ca: înălțimile măsurate ale nivelului apei  $h$ , razele de curbura respective  $r$ ; lățimea la oglinda apei  $B = 2,10$  m.

Pentru a putea aprecia stabilitatea anrocamentelor este necesară cunoașterea vitezei de eroziune funcție de dimensiunile anrocamentelor. În acest scop s-a utilizat formula Levi-Koroz, făcîndu-se și verificările rezultatelor respective pe modelul hidraulic construit în laborator. De asemenea s-a determinat vitezele de eroziune și pe baza instrucțiunilor "Hidroener-

"Soproiect" (URSS) pentru calculul vitezei de antrenare folosind vitezele unitare de antrenare a particulelor izolate/D.I., pg. 113,

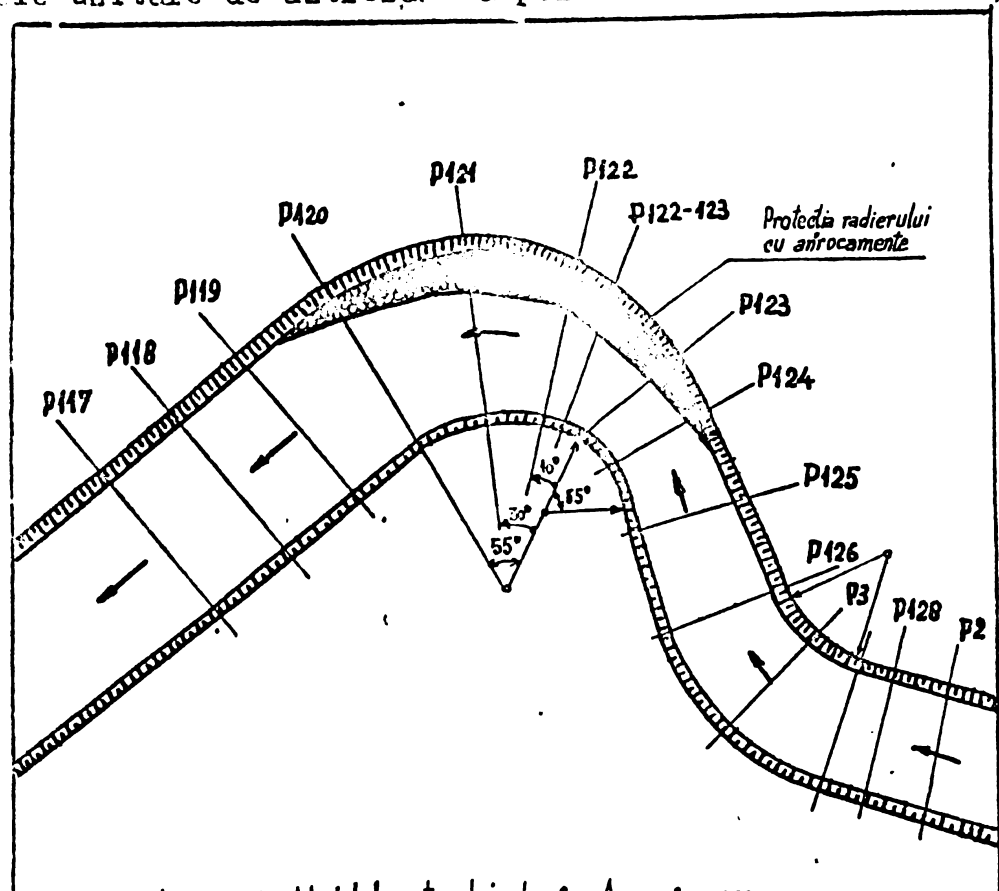


FIG. V.3-1 Modelul sectorului de riu Arges in zona protejata cu anrocamente

Date cunoscute initial

Tabela V.3-1

Profilul	$\eta$	Viteze masurate in curba in m/s	h Inaltimea apei măsurate in m	r Reza de curbură in m	Zona ocupată de anrocamente
P <sub>122</sub>	0,4	0,990	0,142	3,95	da
	0,6	0,770	0,165	4,20	da
	0,8	0,500	0,160	4,45	da
P <sub>121</sub>	0,4	1,196	0,145	3,95	nu
	0,6	0,937	0,172	4,20	da
	0,8	0,781	0,145	4,45	da
P <sub>120</sub>	0,4	1,410	0,122	3,95	nu
	0,6	1,310	0,131	4,20	nu
	0,8	1,140	0,175	4,45	da
P <sub>0</sub> aliniament	0,4	1,090	0,108	-	nu
	0,6	1,070	0,108	-	nu
	0,8	1,050	0,100	-	nu

La dimensiunile anrocamentelor luate in considerare, ca rezultat viteze de eroziune in aliniament prezentate in tabela V.3-2.

Viteze de eroziune în aliniament

Tabela V.3-2

Viteza de eroziune calculată cu relația	d mm	20	40	60	80	100	120
Lovi-Knorozov	$v_a = a \sqrt{g \frac{S_0 - S}{S} d \left( \frac{h}{d} \right)^{0.2}}$	0,754	0,950	1,090	1,145	1,200	1,290
Hidroenergo-project	$v_a = v_{a_1} h^{0.2}$	0,576	0,864	1,058	1,108	1,151	1,250

Utilizând metoda propusă în teza s-au obținut următoarele valori ale coeficienților  $c_1$  și  $c$  prezentate în tabela V.3-3

Valoriile coeficienților de reducere  $c_1$  și  $c$

Tabela V.3-3

Profilul	$\eta$	$c_1$	$c_2$	$c_3$	$c_4$	$c_5$	$c$
P <sub>122</sub>	0,4	0,909	1,047	1,0	1,025	1,0	0,975
	0,6	0,720	1,072	1,0	1,025	1,0	0,914
	0,8	0,476	1,069	1,0	1,022	1,0	0,520
P <sub>121</sub>	0,4	1,090	1,051	1,0	1,009	1,0	1,164
	0,6	0,875	1,0	1,0	1,009	1,0	0,976
	0,8	0,744	1,0	1,0	1,007	1,0	0,788
P <sub>120</sub>	0,4	1,292	1,021	1,0	1,000	1,0	1,320
	0,6	1,223	1,032	1,0	1,000	1,0	1,264
	0,8	1,085	1,083	1,0	1,000	1,0	1,178

Valoriile subunitare ale coeficientului  $c$  indică faptul că în curbă există și zone în care capacitatea de erozare a currentului este mai mică decât cea din aliniament, ceea ce verifică de existență în natură a unor zone de depuneri. În mod acoperitor se va considera în aceste cazuri pentru coeficientul  $c$  valoarea unitară.

În cazul valorilor supraunitare ale coeficientului  $c$  se determină valoile vitezelor de eroziune în curbă  $v_{eroz.curb}$  în ipoteza că viteză de eroziune pe sectorul rectiliniu  $v_{eroz.rectil}$  ar fi chiar egală cu viteză medie reală de 1,06 m/s, ceea ce revine la înmulțirea vitezei de 1,06 m/s cu coeficientul  $c$ . Prin compararea valorilor obținute pentru  $v_{eroz.curb}$  cu valorile vitezelor de eroziune inscrise în tabela V.3-2 se poate alege dimensiunile minime ale apărămentelor în aşa fel ca

acestea să nu fie antrenate de apă. Acest deziderat se realizează în cazul în care viteza de eroziune corespunzătoare unui diametru din tabela V.3-2 este mai mare sau egală cu  $v_{eroz.curb}$ . În tabela V.3-4 sunt date dimensiunile minime ale anrocamentelor stabilite pe această cale.

Tabela V.3-4

Profil	$\eta$	<u><math>v_{reotil}</math></u> în m/s	$d_{minim}$ în mm	Zona unde se pun anrocamente	Observații
$P_{122}$	0,4	1,06	60	da	Pentru protecția radierului sunt necesare anrocamente cu dimensiunea minimă 60 mm (1,50 m în natură) cu excepția secțiunii $P_{120}$ unde sunt necesare anrocamente cu dimensiunea minimă de 80 mm (2,0 m în natură). La distanțele relative 0,4 și 0,6 în $P_{120}$ ar fi necesare anrocamente cu dimensiunea de 100 mm (2,5 m în natură)
	0,6	1,06	60	da	
	0,8	1,06	60	da	
$P_{121}$	0,4	1,235	80	nă	
	0,6	1,06	60	da	
	0,8	1,06	60	da	
$P_{120}$	0,4	1,40	100	nă	
	0,6	1,34	100	nă	
	0,8	1,24	80	da	

Concluziile obținute, verificate integral prin încercări pe model, demonstrează concludent forța mare de antrenare pe care o au curentii de apă în timpul viiturilor, la mal concav, mai ales dacă și panta albiei este relativ mare (în zona studiată panta a fost de 0,817 %).

În acest fel s-a explicat și avansarea mare a procesului de eroziune în zona considerată (în profilul  $P_{120}$ ,  $c = 1,32 - 1,10$ ) precum și faptul că măsurile initiale de protecție au fost subdimensionate.

## Cap.VI - SIMILITUDINE SI MODELARE HIDRAULICA

### § 1.- Criterii de similitudine

Similitudinea curentilor lichizi cu față liberă se bazează pe considerentul că forța predominantă care produce curgerea este forța gravitațională. Pe de altă parte mișcarea sub acțiunea unei forțe constante se desfășoară conform legii lui Newton, ceea ce implică existența forțelor inertiale ca o a doua categorie de forțe preponderente. Aceste considerente conduc la legea de similitudine Froude, căreia îi sunt proprii următoarele relații între coeficienții de scară (definiți ca raportul a două mărimi omoloage din fenomenul natural și respectiv, din fenomenul modelui) :

- pentru viteze  $\alpha_v = \alpha_l^{1/2}$  ; - pentru pierderi de sarcină  $\alpha_h = \alpha_l$
- pentru timp  $\alpha_t = \alpha_l^{1/2}$  ; - pentru pante (piezometrică, energetică)  $\alpha_i = 1$
- pentru debit  $\alpha_q = \alpha_l^{5/2}$  ;
- pentru forțe  $\alpha_p = \alpha_l^3$  ; - pentru presiuni  $\alpha_p = \alpha_l$
- pentru rugozități  $\alpha_n = \alpha_l^{1/6}$  ; - pentru coeficienți de rezistență  $\alpha_c = \alpha_\lambda = 1$

(VI.1-1)

In relațiile de mai sus s-a considerat coeficientul de scară al lungimilor  $\alpha_l = \frac{L}{l}$  ca fiind independent, valoarea lui alegându-se în general funcție de disponibilitățile laboratorului ca amplasament al modelului, debit de alimentare, posibilități de finanțare etc. După recomandările din literatură /-1/, /L-10/ /R-7/ se poate alege  $\alpha_l = 100...1000$ . Evident alegerea unui coeficient de scară mai mic are efect favorabil asupra preciziei rezultatelor.

Modelarea rîurilor se poate realiza cu scară nedeformată (recomandabil), dar în anumite situații concrete poate apărea necesitatea realizării unor modele distorsionate.

Întrucât în cadrul laboratorului Catedrei CHIF s-a dispus de suficient teren pentru amplasarea modelului și de debite suficient de mari s-a executat model nedistorsionat, de aceea în continuare vor fi făcute rezumativ, câteva considerații

suplimentare privind similitudinea în această situație.

După cum s-a menționat, coeficientul de scară al lungimilor este independent, totuși această independență nu este absolută, ci relativă fiind condiționată de o serie de factori limitativi, dintre care s-au indicat anterior factorii legați de disponibilitățile laboratorului.

Un prim factor restrictiv care trebuie respectat este încadrarea în domeniul de automodelare în raport cu criteriul Reynolds, care să asigure independența în raport cu acțiunea forțelor de frecare moleculară, viscoasă decaretă în cazul legii de similitudine Froude aceste forțe nu se reproduc la scară forțelor preponderente (gravitaționale, inerțiale). În acest scop s-a folosit graficul Knoroz-Shields /L-10 pg.128/ care dă următoarele două condiții exprimate cu ajutorul a două numere Reynolds, scrise respectiv cu viteza medie a curentului ( $v$ ) și cu viteza tensiunii de încercare (viteza dinamică  $v_*$ ):

$$Re_v = \frac{v d}{\gamma} > 300 \quad (\text{VI.1-2})$$

$$Re_{v_*} = \frac{v_* d}{\gamma} > 50$$

în care  $\gamma$  este coeficientul cinematic de viscozitate a apei, iar  $d$  este diametrul particulelor constitutive ale patului. Se menționează că respectarea relațiilor anterioare de automodelare asigura implicit realizarea regimului turbulent și pe model.

O a doua condiție restrictivă o reprezintă limita inferioară a vitezei pentru apariția valurilor. După /M-1/ și /L-10/ în cazul curgerii apei cu suprafața liberă limitată de aer, viteza minimă este 0,23 m/s. Dacă viteza la suprafața apei coboară sub această limită nu se mai respectă similitudinea suprafeței libere din natură și de pe model ceea ce nu este acceptabilă în problema studiată.

U altă condiție restrictivă, specifică problemei studiate, se referă la asigurarea unei adâncimi minime pe malul convex, care să permită efectuarea măsurătorilor în condiții acceptabile de precizie.

U altă condiție care trebuie realizată este aceea a asigurării regimului lent (respectiv rapid) de curgere atât în fenomenul natural cit și în fenomenul de pe model. Această

condiție este automat satisfăcută în cazul modelelor ncdemormate.

În fine mai trebuie menționate condițiile de similaritate care au fost folosite pentru modelarea protecției de mal și a aluvionilor.

Protecția de mal se execută în natură sub forma unor plăci de beton armat ( $\gamma_{b.a.} = 2400 \text{ kgf/m}^3$ ), iar pe model din plăci de mortar de ciment ( $\gamma_m. = 2000 \text{ kgf/m}^3$ ). Pentru a păstra raportul greutăților impus de similaritatea Froude și a păstra în același timp și raportul forțelor hidrodinamice (care cere păstrarea raportului suprafețelor dinspre apa aicăplacilor a fost necesar ca plăcile să fie modelate cu un coeficient de scara al grosimilor diferit de coeficientul de scara al lungimilor):

$$\alpha_{h_{placă}} = \frac{\gamma_m.}{\gamma_{b.a.}} \cdot \alpha_f \quad (\text{VI.1-3})$$

Pentru modelarea transportului de aluvioni s-a avut în vedere relația vitezei critice Levi-Knoroz /L-10/ :

$$v_a = a \sqrt{g \frac{s_n - \varphi}{\varphi} d} \left( \frac{R}{d} \right)^m \quad (\text{VI.1-4})$$

din care, prin aplicarea regulii scărilor, în condițiile modeleazării Froude a rezultat scara pentru diametrul aluvionilor

$$\alpha_d = \alpha_f \quad (\text{VI.1-5})$$

Dacă, în cazul în care aluvionile pe model sănt formate din același material ca și în natură, având aceeași densitate și greutate specifică, similaritatea geometrică este garantată. Aceasta concluzie este formulată și în /B-1/.

## § 2.- Modelul unui sector al râului Argeș

Modelul sectorului de riu Argeș realizat în cadrul laboratorului catedrei de CHIF <sup>fost</sup> a facut pe baza planurilor predate de I.S.R.H. București.

La alegerea coeficientului de scara ai lungimilor s-a ținut cont de valorile uzuale ale acestui coeficient ca și de treute cerințele neocesare respectării legilor de similaritate

menționate în paragraful anterior. În definitivarea scării s-a avut în vedere și caracterul special al unor probleme la care modelarea hidraulică trebuie să răspunda. Nefiind o modelare de rutina, cerind răspuns la unele probleme speciale la care nu existau metode teoretice de calcul, chiar cu caracter aproximativ care să permită o comparare a rezultatelor, s-a aplicat regula respectării tuturor restricțiilor menționate. Față de coeficienții de scara ai iungimilor uzuale de modelare a albiilor, mai mici ca 100, s-a rezultat un coeficient de scara al iungimilor egali cu 25, tocmai din cauza problemelor speciale care trebuiau modelate. S-a obținut astfel un model de dimensiuni relativ mari în comparație cu cele descrise în mod ușual în literatura de specialitate, dar cu posibilități superioare în ceea ce privește concluziile care se pot obține.

O problemă care se rezolvă de obicei dificil în cazul modelării albiilor este realizarea pe model a unei rugozități în concordanță cu cerințele legii de similitudine adoptate. După mai multe tatonări, în conformitate cu indicațiile din literatura de specialitate și ținând cont de caracteristicile albii, în lipsa unor valori ale coeficientului de rugozitate n date de proiectant, s-au adoptat valori ale coeficientului n diferite pentru patul alcătuit din material aluvionat grosier ( $n = 0,037$ ) și pentru malurile protejate cu plăci ( $n = 0,017$ ), iar în final s-a adoptat o valoare unică ( $n = 0,034$ ) calculată ca o medie ponderată a celor două valori menționate, pentru condițiile din natură. Pe model a rezultat corespunzător o valoare medie a coeficientului de rugozitate  $n = 0,02$ . S-a constatat cu ocazia tarării modelului, tarare pentru care s-au folosit secțoarele rectilinii ale modelului, că pe model coeficientul de rugozitate efectiv a fost inițial mai mic decât cel cerut de legile de similitudine adoptate. Din acest motiv s-a lărit treptat rugozitatea modelului pînă la atingerea rugozității de calcul prin introducerea unor rugozități suplimentare din piatră mărunt (3-4 mm) fixat în lapte de ciment pe fundul de beton al canalului. Controlul tarării s-a făcut prin realizarea adâncimii de spă, de calcul, la debitul dat și la pantă dată.

Modelul a fost amplasat pe platforma din zona S.E. a laboratorului catedrei de construcții hidrotehnice și îmbunătățiri funciare din cadrul Institutului Politehnic "Traian

Vul". Timișoara.

În foto Nr.1 este prezentată o vedere de ansamblu a modelului, iar în foto Nr.2 se vede capul de alimentare cu sectorul rectiliniu de acces și cu dispozitivul de linătire. Se observă pe acest sector modul în care a fost realizată rugozitatea necesară pe model, prin procedeul menționat anterior, un detaliu fiind prezentat în foto Nr.3.

Profilele în care s-au făcut măsurătorile de niveluri și viteze au fost marcate, cu vopsea pe pereteii canalului. Măsurarea nivelurilor și vitezelor s-a făcut de pe o podină metalică, nedeformabilă, rezemată pe două glisiere realizate din țevi metalice (foto Nr.4) care suportă modelul și pe care au fost de asemenea marcate pozițiile secțiunilor de măsură. Vitezele s-au măsurat cu ajutorul unei sonde diferențiale (tub Prandtl - Pitot) montată pe un limnimetru care a permis stabilirea cu precizie a poziției sondei pe verticală. Limnimetrui cu sonda s-au fixat pe un jug cu posibilități de glisare pe orizontală. Vitezele s-au explorat pe verticale echidistante la 25 cm, iar pe verticală măsurătorile s-au făcut din 2 în 2 cm, începând de la radior.

Nivelurile suprafeței libere s-au măsurat în aceleasi secțiuni și verticale ca și vitezele cu un limnimetru Neyric, montat pe un sistem de susținere ca și instrumentul de măsurat viteze (foto Nr.5).

Măsurarea debitului s-a făcut cu un deviator dreptunghiular cu contracție laterală, etalonat special, care a fost amplasat înaintea intrarea apei în model ; funcționarea deviatorului se observă în foto Nr.4.

Evacuarea apei s-a realizat la capătul aval al modelului, la o distanță de 8,0 m de ultima secțiune de măsurători. Gura de evacuare a fost prevăzută cu un oblon reglabil care permite controlul nivelurilor. Înaintea evacuării este prevăzută o capoana pentru recuperarea aluviunilor tătăre lansate în amonte și antrenate de curentul de apă (foto Nr.6).

În foto Nr.7 este prezentat aspectul curgerii în cot în cazul unui debit relativ mic (natură 100 mc/s), iar în foto Nr.8 este prezentat aspectul curgerii în cazul debitului maxim (natură 652 mc/s).

În foto Nr.9 se prezintă modul în care au fost dispuse

anrocamentele cu rol de protecție a piciorului, taluzului.

În foto Nr.10 și Nr.11 se vede clar cum secțiunea cea mai periculoasă pentru stabilitatea anrocamentelor este zona de ieșire din curbă, deoarece aici anrocamentele la debitul dat au fost spălate, în timp ce în rest ele s-au menținut.

În foto Nr.12 se poate observa cum lă debitul relativ mic are loc procesul invers de depunere a aluvioanelor tărîite.

În încheierea acestui paragraf, menționez înțelegerea și sprijinul primit din partea conducerii catedrei în realizarea unui model de dimensiuni corespunzătoare ca și aportul grupului de studenți care au ajutat la desfășurarea lucărilor de cercetare începînd cu construcția modelului și apoi la efectuarea masurătorilor și a prelucrărilor respective de date experimentale.



Foto 1 - Vedere de ansamblu a modelului



Foto 2 - Capul de alimentare cu dispozitivul de linistire și sectorul rectiliniu

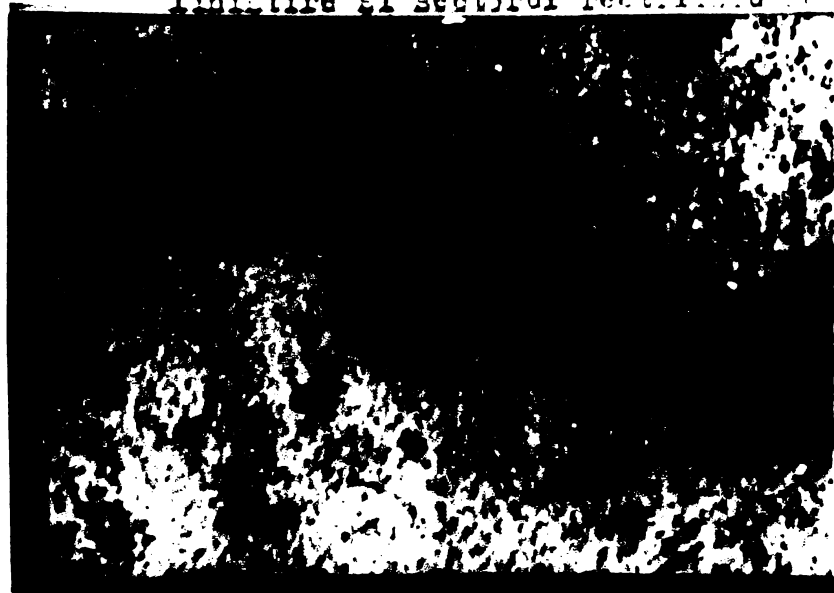


Foto 3 - Detaliu de rezistență în direcție la

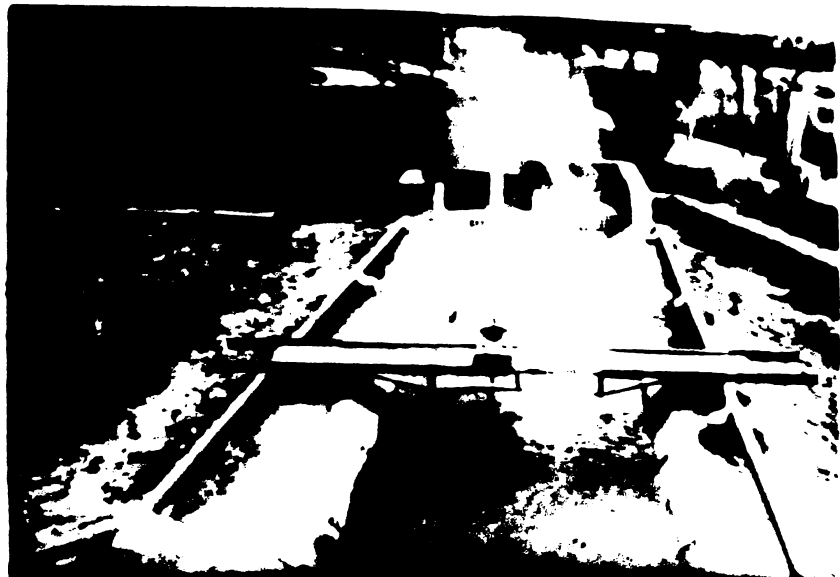


Foto 4 - Pontul de cale din lemn, în construcție

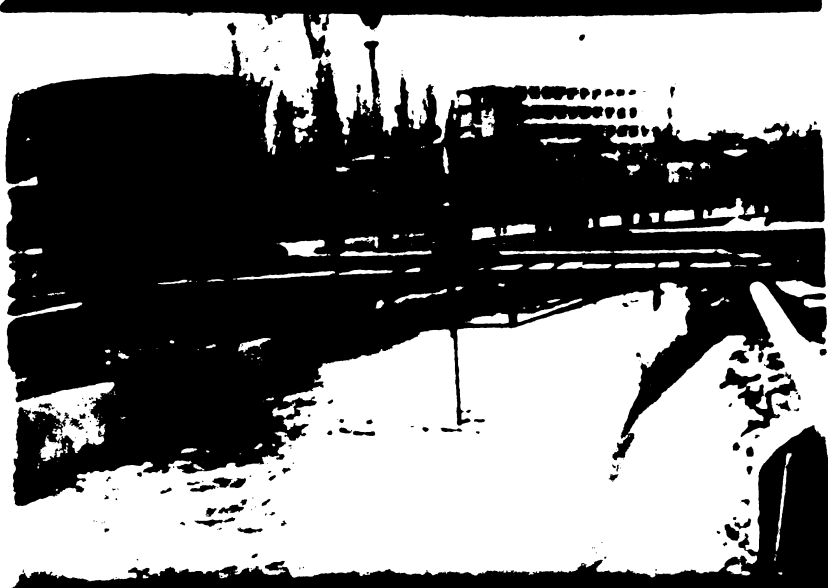


Foto 5 - Montajul de ancreaza și fixarea pilonilor în grămeza nivelurilor



Foto 6 - Vedere evanescere



Foto 7 - Aspectul curgerii in zona cotelui la debit relativ scai.



Foto 8 - aspectul curgerii in zona cotelui la debitul maxim.

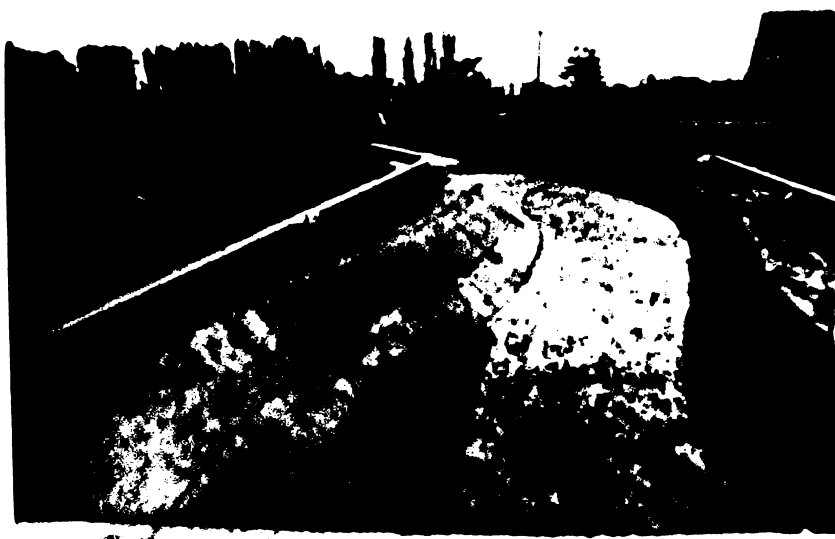


Foto 9 - aspectul curgerii in zona cotelui la debitul maxim.



Foto 10 - Vedere ale zonelor spălate din râul  
de Bolovani



Foto 11 - Vedere ale zonelor spălate din râul  
înălțică de



Foto 12 - Dacă se urmărește

## CAPITOLUL VII - CONCLUZII

In cadrul acestui capitol se vor expune succesiv principalele rezultate obtinute in cadrul tezei, punind accentul pe contributiile originale aduse in rezolvarea celor cinci probleme mari tratate in cadrul tezei, constituind continutul celor cinci capitole esentiale ale tezei :

- problema cinematici curentului pe sectoarele in aliniament ;
- problema cinematici curentului pe sectoarele in curbă;
- problema stabilității albiei pe sectoarele in aliniament ;
- problema stabilității albiei pe sectoarele in curbă;
- problema similitudinii și modelarii hidraulice.

Primul capitol, introductiv, contine un număr de trei paragrafe.

In primul paragraf, intitulat "Problema apei in lume și in R.S.R." se subliniază importanța problemei apei și faptul că folosirea rațională a resurselor de apă este un imperativ al epocii contemporane.

In țara noastră principiul folosirii complexe, raționale, a apelor face parte integrantă din politica Partidului și Statului, fiind exprimat in importante documente cum este "Programul PCR de făurire a societății sociale multilateral dezvoltate și înaintarea României spre comunism" adoptat la Congresul al XI-lea.

In cel de al doilea paragraf, intitulat "Problema regularizării cursurilor de apă" se pune in evidență complexitatea deosebită a proceselor de albie ceea ce generază probleme tehnice dificile legate de proiectarea, execuția și întreținerea lucrarilor de regularizare. Se menționează faptul că in procesele de albie intervin mulți factori, existând diferite metode și criterii care consideră influența propunderenta a cite unui factor. In teză atenția principală se acordă aluvionilor "firfisi" factor a cărui importanță in determinarea elementelor albiei stabilă este unanim recunoscută, dar pentru care nu sunt dezvoltate in literatura de specialitate metode de calcul ou aplicabilitate directă in proiectare.

In paragraful al treilea, intitulat "Obiectul tezei" se face o enumerare succesivă și rezumativă a problematicii tra-

tate în cadrul fiecărui capitol și paragraf al tezei, se fac cîteva observații critice generale privind literatura de specialitate consultată, fără a se intra în detaliî și fără a se menționa rezultatele obținute, ceea ce a permis concentrarea acestui paragraf la un număr minim de pagini.

Capitolul al doilea "Contribuții la cinematica curgerii pe sectoarele în aliniament" conține un prim paragraf "Repartiția vitezelor pe verticală" în care este prezentat un studiu destul de complet al acestei probleme. Se analizează critice relațiile recomandate în literatura de specialitate între care relații de tip parabolico, de tip eliptic și de tip logaritmic. O atenție deosebită este acordată problemei poziției vitezelor maxime în care scop se face o comparație cu distribuțiile de viteze pentru 100 verticale pe rîul Trotuș la postul hidrometric Tîrgu-Ocna, obținute în timp de peste patru ani. Se pun în evidență factorii care influențează poziția vitezelor maxime: frecările cu aerul, latimea relativă a cursului de apă, rugositatea patului. Se prezintă oîteva date din literatură privind mărimea vitezelor dinamice de frecare  $v_*$  pe rîuri din URSS, Japonia și Cehoslovacia, viteza  $v_*$  constituind o caracteristică globală a turbulentei curentului și care intervine în legătura logaritică de repartiție a vitezelor.

Pe baza datelor din literatură se discută valabilitatea modelului plan, efectul curentilor transversali și problema distribuției vitezelor locale în cazul curentilor cu pat mobil.

În urma prezentării critice a datelor din literatură de specialitate s-a ajuns la concluzia că este util a propune o relație de repartiție care să reflecte mai bine distribuția reală a vitezelor pe verticală. Această concluzie a fost verificată suplimentar cu ajutorul unor date publicate în literatură referitoare la măsurători efectuate pe rîul Turuncik în URSS între anii 1966-1971, prin măsurători proprii pe modelul sectorului de rîu Argeș și prin prelucrarea proprie a unor date aflate în arhiva Institutului de meteorologie și hidrologie filiala Timișoara care se referă la rîul Timiș în secțiunea 2.1.4 Lugoj.

Se adoptă un model al curgerii, se face o discuție a supra tensiunilor de frecare demonstrându-se corectitudinea relației liniare de variație a tensiunilor turbulente de frecare pe secțiunea de curgere. Pornind de la o lucrare publicată în anul 1969 în "Studii și cercetări de mecanică aplicată" se

propune o relație pentru lungimea de amestec fundamentată pe principiul puterii disipate minime la un debit constant dat (II.1-2-31).

Acest principiu enunțat calitativ de M.A.Velikanov a fost utilizat, pe plan național, pentru rezolvarea unor probleme de albie de prof.dr.doc.S.Hâncu și de autoare în cîteva lucrări științifice publicate. Folosirea principiului puterii dissipate minime și în general a principiilor variationale în cadrul tezei reprezintă o rezolvare modernă a problemelor puse.

Odată stabilită expresia lungimii de amestec, s-a putut determina o nouă lege de repartiție a vitezei, în esență tot o relație de tip logaritmico, dar care aproximează mai bine repartiția vitezei în albii (II.1-3-11, în varianta simplificată II.1-3-19).

Pentru relația propusă, prin integrarea distribuției de viteze, s-a determinat legătura între viteză medie și viteză maxima (II.1-3-29) ca și coeficientul de corecție  $\beta$  ai patratului vitezei medii (II.1-3-53).

În teza sunt date tabele și grafice care facilitează utilizarea relației propuse pentru repartiția vitezei pe verticală în albii naturale și canale largi.

Paragraful se încheie cu verificări detaliate ale relației propuse utilizându-se pentru aceasta cărora de măsurători efectuate în natură pe rîul Timiș și pe canalul Bega puse la dispoziție de Institutul de meteorologie și hidrologie Timișoara, date publicate de V.V.Bolșacova și I.V.Ivanov privind un rîu din URSS ca și prin măsurători proprii efectuate pe modelul unui sector al rîului Argeș, model executat în cadrul unui contract de cercetare cu I.S.P.H. București la care am fost responsabilă de contract. Pentru fiecare din aceste verificări s-a calculat valoarea medie a abaterii și abaterea medie pătratică comparativ cu formula logaritmica uzuală Prandtl obținându-se indici superiori pentru formula propusă. Spre exemplificare, abater medie pătratică a rezultat de 5,79 % cu formula Prandtl față de 3,81 % cu formula propusă în teză.

O interesantă reprezentare grafică comparativa este cea în fig. II.1-3-8, în care au fost reunite relațiile teoretice măsurătorile proprii, măsurătorile I.M.H. cît și măsurători efectuate în strainătate, toate fiind favorabile relației propuse în teză.

Paragraful al doilea este intitulat "Repartiția vitezei

de secțiune" și tratează succesiv următoarele etape :

- stabilierea pe baze răționale a unei legi de repartiție a vitezei pe orizontală pentru secțiunea dreptunghiulară echivalentă ; . . .
- adaptarea acestei relații pentru secțiunile neregulate, reale ale albiilor ; . . . .
- verificarea în practică a relației propuse.

În cadrul primului punct s-a propus o lege logaritmică do o strucțură similară celei utilizate pentru repartitia vitezei pe verticală, iar în cadrul punctului al doilea s-a indicat un procedeu de mediere a adâncimilor cu ajutorul căruia să se poată adapta relația propusă la cazul unei secțiuni neregulate (II.2-13).

Pentru verificare s-au utilizat următoarele materiale cuprinzând rezultate experimentale :

- măsurători de viteze pe rîul Timiș la postul hidrometric Sadova-Veche ;
- măsurători pe rîul Bega la postul hidrometric Balint;
- măsurători proprii efectuate pe modelul hidraulic al unui sector al rîului Argeș ;
- rezultate experimentale publicate pentru un rîu din URSS ;
- rezultate experimentale obținute într-un canal trapezoidal de Poltavaev la Institutul politehnic "M.I.Kalinin" din Leningrad.

Fiecare tabel comparativ este însoțit de calculul indicatorilor statistici abaterea medie relativă și abaterea medie patratică, care în final au dus la valori medii de -0,10 %, respectiv 5,19 %. În calculul indicatorilor statistici s-a constatat că abaterile valorilor măsurate de cele teoretice sunt în general mai mari spre maluri, unde adâncimea apei este mai mică și unde probabil și influența factorilor locali este mai mare.

Prin rezolvarea problemei repartiției vitezelor pe verticală și orizontală rezultă că se poate determina mărimea vitezei într-un punct arbitrar al secțiunii transversale, ceea ce și prezintă problema fundamentală a cinematicii curentilor lichizi pe sectoarele în aliniament.

Cunoașterea repartiției vitezei are atât o importanță intrinsecă, utilizabilă în anumite probleme de proiectare (la prize, traversări) cât și pentru legătura nemijlocită cu alte fenomene între care transportul aluvionilor. În ceea ce privește

dévoltarea ulterioară a tezei repartitiona vitezei pe sectorul în aliniament reprezintă o condiție de margine pentru stabilirea repartitionei vitezelor pe sectorul în curbă.

Capitolul III, "Contribuții la cinematica curgerii pe sectoarele în curbă" are un prim paragraf intitulat "Denivelarea longitudinală a suprafeței libere a apei în curbă". La începutul acestui paragraf se face o prezentare critică a datelor din literatura de specialitate cu referiri, în deosebi, la lucrările lui Müller, Rozowski, Gonocarov, Paletaev și Radu Pop. Ca urmare a rezultatelor prezentate în bibliografie s-a adoptat următoarea variație schematizată a adîncimilor apei în axul geometric al curbei :

- creșterea adîncimii începe într-o secțiune transversală din sectorul rectiliniu de acces, situată la distanța  $B/2$  amonte de începutul curbei ;

- adîncimea în curbă s-a calculat cu formula Boussinesc-Altuin și Müller adaptată de Radu Pop; s-a considerat că ea este atinsă în secțiunea radială  $\theta_1 = \frac{\theta_{um}}{K}$  aval de începutul curbei cu  $K = 4$  ;

- în secțiunea de început a curbei adîncimea apei este semi-suma adîncimilor din aliniament și din secțiunea radială  $\theta_1 = \frac{\theta_{um}}{K}$  ;

- în curbă panta longitudinală este aceeași cu cea din sectorul amonte pînă într-o secțiune  $\theta_{n-1}$  aproximativ simetrică față de mijlocul curbei cu secțiunea  $\theta_1$  ;

- din secțiunea  $\theta_{n-1}$  adîncimea apei începe să soada astfel încît într-o secțiune situată la  $B/2$  aval de sfîrșitul curbei se regăsește adîncimea caracteristică sectorului în aliniament ;

- în secțiunea de sfîrșit a curbei adîncimea apei este semi-suma adîncimilor din curbă (secțiunea  $\theta_{n-1}$ ) și din aliniament.

Schematizarea propusă a fost verificată cu rezultatele experimentale ale lui Rozowski și cu rezultatele experiențelor proprii efectuate pe modelul sectorului de rîu Argeș.

Paragraful și doilea este intitulat "Denivelarea suprafeței libere a apei pe sectoarele în curbă după direcție transversală (radială)". Cauza care produce această denivelare este evident forța centrifugă, dar în explicarea formei suprafeței libere trebuie avute în vedere și proprietățile fizice ale apei. La gradienții de viteză aproape nuli care apar în zona de

la suprafață apa se comportă aproximativ ca un lichid ideal, iar suprafața liberă se va orienta în fiecare punct perpendicular pe rezultanta forței gravitaționale și a forței centrifuge. Deoarece forța centrifugă este direcționată proporțională cu patratul vitezei longitudinale și invers proporțională cu raza de curbură în timp ce forța gravitațională este constantă, rezultă că în sens transversal suprafața liberă va avea o formă curbiliniie. Se face o discuție interesantă asupra concavității și convexității suprafeței libere. Se prezintă rezultatele experimentale obținute de A. Shuckry și rezultatele experimentale proprii obținute pe modelul sectorului de riu Argeș din care se evidențiază neuniformitatea mare care există în repartiția vitezelor de suprafață pe secțiunile în curbă. Pentru calculul profilului suprafeței libere în sens transversal s-a propus o relație cu diferențe finite (III.2-8). Verificarea relației propuse s-a făcut utilizând măsurătorile de viteză și niveluri efectuate de Zambahidze și măsurători proprii efectuate pe modelul sectorului de riu Argeș. La aceste verificări s-a obținut pentru abaterea medie +0,61 % iar pentru abaterea medie patratică 6,28 %.

Paragraful al treilea este intitulat "Circulația transversală în literatura de specialitate" și conține o selecție bibliografică pe această temă, importante fiind în special cercetările lui Thompson, Jukovski, Muramoto, Kojevnicov, Shuckry, Rozowski, Zambahidze, Liachter, Maccaveev etc.

Cercetările deși relativ numeroase nu sunt finalizate sub forma unor relații analitice sau reprezentări grafice utilizabile în proiectare, ci conțin de cele mai multe ori, rezultate experimentale obținute în cazuri particulare prin măsurători de laborator sau rezultate teoretice formulate cu ajutorul unui aparat matematic complicat, greoi de utilizat în lucrările de proiectare.

S-a ajuns la concluzia că este necesar să se propună o relație proprie pentru distribuția pe verticală a vitezei radiale, ceea ce formează conținutul paragrafului al patrulea "Relație propusă pentru distribuția vitezei radiale". Pornind de la o schematizare a circulației transversale, făcând anumite ipoteze simplificatoare și utilizând relația de repartiție a vitezelor a lui Kareușev, se ajunge la o ecuație diferențială liniară de ordinul întâi. Prin integrare se obține o primă formă a relației de repartiție pe verticală a vitezei radiale (III.4-18). Se adoptă după Muramoto concluzia proportionalității vitezei radiale

ou unghiul  $\theta$  de întoarcere a curentului pe zona de început a curbei. Această creștere a circulației transversale se produce pînă la un unghi de întoarcere limită. Unghiul limită s-a determinat, în continuare, pe baza formulei lui N.F.Danelia și astfel s-a obținut relația (III.4-22) de repartiție pe verticală a vitezei radiale care include și influența unghiului de întoarcere. Pentru a se putea da o formă unică acestei relații valabilă atît în zona initială a curbei în care are loc o creștere a intensității circulației transversale cît și în zona finală unde are loc o desoreștere a intensității circulației s-a introdus funcția Heaveside, frecvent utilizată în electro-tehnica. Verificarea relației propuse s-a făcut folosind rezultatele experimentale ale lui Gonçearov, Rozowski, Poletaev precum și măsuratori proprii efectuate pe modelul sectorului de rîu Argeș. Media indicatorilor statistici a fost, în ceea ce priveste abaterile medii relative de +1,48 %, iar în ceea ce priveste abaterea medie patratica de 7,44 %.

Paragraful al cincilea este intitulat "Distribuția vitezelor longitudinale pe secțiunile în curba" și are ca obiect stabilirea unui algoritm care să permită calculul vitezelor longitudinale în curba, considerîndu-se că datorita sparării circulației transversale are loc o redistribuire a vitezelor longitudinale pe secțiunile în curba, comparativ cu secțiunile în aliniament. Se pornește de la aplicarea primei teoreme a impulsului unui volum elementar de lichid închis de o suprafață invariabilă de control cu neglijarea forțelor de fricție pe suprafețele laterale verticale ale acestui volum. În efectuarea integrărilor care intervin se aplică rezultatele anterioare obținute în cadrul tezei referitoare la cinematica curenților. Ecuația la care se ajunge se transcrie în diferențe finite. Aceasta conține, însă, un număr de două necunoscute : viteză medie în diferențele verticale și adâncimea corespunzătoare a apelor. O a doua ecuație se va obține utilizînd schematizarea adoptată pentru adâncimea apelor în curbă, în axul curentului și relația stabilită pentru denivelarea nivelului în secțiunea transversală. Algoritmul propus permite determinarea adâncimilor și a vitezelor medii pe secțiuni verticale fixate inițial și în secțiuni fixate inițial, determinarea facîndu-se din aproape în direcție începînd cu secțiunea de intrare în curbă, trecînd succesiiv prin secțiunile intermediare și sfîrșind cu secțiunea de ieșire din curba.

In ultimul paragraf al acestui capitol, al șaselea, intitulat "Calculul automat al vitezelor și denivelărilor suprafetei libere pe sectoarele în curbă" este prezentată schema logică care permite programarea calculului la un calculator electronic. Pe baza acestei scheme logice a fost întocmit un program în limbaj FORTRAN IV care a fost testat cu datele modelului sectorului de râu Argeş.

Se menționează că importanța determinării pe cale teoretică a denivelărilor în curbe, cu toate ipotezele simplificătoare pe care se bazează, este deosebită întrucât în asemenea sectoare nu se fac de regulă măsurători hidrometrice, din care cauză proiectantul lucrărilor de regularizare este lipsit de date inițiale necesare. În schimb sunt cazuri în care obiective importante au fost amplasate obligat totuși în apropierea unor astfel de sectoare (UHE "Gh. Gheorghiu-Dej Argeş") și necunoașterea inițială a denivelării în curbă, în timpul viiturilor, a produs dificultăți ulterioare.

Următoarele capitole au fost inspirate direct din necesitățile producției, reprezentând generalizarea pe plan teoretic a unor rezultate parțiale obținute cu ocazia cercetărilor efectuate în cadrul unor contracte.

Capitolul IV este intitulat "Contribuții la determinarea influenței transportului de aluviuni tărite asupra stabilității albiilor pe sectoarele în aliniament" și începe cu paragraful "Fenomenul de transport al aluviunilor tărite, teorii și relații analitice". În acest paragraf se face o sinteză concisă a clasificărilor referitoare la modul în care sunt transportate aluviuni de către un curs natural de apă, subliniindu-se aspectul specific al modului în care se respectă principiul conservării masei în cazul aluviunilor tărite. La aceste aluviuni există posibilitatea ca debitul solid prin secțiunea de intrare să fie diferit de debitul solid prin secțiunea de ieșire, diferența reprezentând cantitatea de aluviuni depusă sau erodată din patul fluvional în unitatea de timp. În cadrul unor parametrii hidraulici precizați, situația stabilă a albiei este toomai acea situată unei în care are loc o egalitate a debitului afuent de râu tărit cu debitul defluent. Se ajunge, astfel, la concluzia că preciserca stabilității locale a albiei este de a determina capacitatea de în apert a aluviunilor de a suporta contribuții mai mari ale râului, evitând astfel să incite, constă tocmai în elaborarea unei metode

caracter semi-empiric de determinare a elementelor albiei stabile pe baza capacitatii de transport a unui riu, insotita de verificari efectuate in laborator si in natura care testeaza valabilitatea ei. Tot in acest paragraf se prezinta pe scurt directiile principale in care s-au dezvoltat teoriile referitoare la transportul aluviunilor tirite : teorii bazate pe cifrul tangential unitar critic la nivelul patului albiei, teorii bazate pe viteza critică a curentului, respectiv pe debitul solid tirit critic. O atenție specială este acordată teoriilor statistice ale mișcării aluviunilor mult dezvoltate în special în ultima perioadă pe baza lucrărilor lui H.A.Einstein, A.A.Kalinske, A.G.Mercer și A.S.Paintal.

In figura IV.1-1 se prezintă o diagramă comparativă a rezultatelor altor cercetatori (Shields, Eghiazarov, Nagy, Chabert Chauvin, Bonnefille) privind inceputul mișcării aluviunilor caracterizat cu ajutorul efortului unitar critic de antrenare, pe axe fiind măsurate respectiv  $Re_* = \frac{U_* d}{\gamma}$  și  $\frac{\gamma}{(g_s - g)} d$ . Pe aceeași diagramă s-au reprezentat, prin puncte, rezultatele unor cercetări proprii constatindu-se o bună încadrare în diagramele celorlalți cercetători.

In figura IV.1-2 s-au reprezentat curbele obținute prin metode statistice într-un sistem de axe pe care se măsoară respectiv  $\frac{p_0}{d^{3/2}} \sqrt{g} \frac{S_a - S}{S}$  și  $\frac{Q_a - Q}{Q} \cdot \frac{d}{Mhl}$ . S-au avut în vedere rezultatele lui Einstein, Kalinske, Frijlink, Meyer-Peter și Müller și rezultatele proprii. Se observă că rezultatele lui Meyer-Peter și Müller sunt în bună concordanță cu rezultatele lui H.A.Einstein și a celorlalți cercetători, iar rezultatele experiențelor proprii se apropie foarte bine de curba Meyer-Peter și Müller. Având în vedere și posibilitățile pe care formula Meyer-Peter și Müller le prezintă pentru prelucrări analitice, această formulă va fi utilizată în continuare ca una dintre formulele care stau la baza metodei propuse.

Paragraful al doilea este intitulat "Fundamentarea metodei propuse pentru determinarea stabilității locale". Se fac cîteva considerații asupra noțiunii de "debit de formare" și asupra ecuațiilor fundamentale ale fenomenului, ecuația debitului lichid și ecuația debitului solid tirit. Mărimele care intervin în cele două ecuații fundamentale au fost grupate în două categorii :

- o primă categorie include mărimele care trebuie să fie cunoscute în mod ușor de la început de proiectantul lucrării :-

lor de regularizare (coeficientul de pantă al taluzului  $m$ , coeficientul de rugozitate  $n$  sau echivalentul lui  $k_r$ , diametrul mediu al aluviunilor tirite  $d$ , masa specifică a aluviunilor  $\gamma_s$ , debitul lichid de formare  $Q_f$ ;

- o a două categorie cuprinde mărimele care în unele situații concrete pot fi cunoscute de proiectant, dar în alte probleme pot apărea ca necunoscute (debitul solid de aluviuni tirite  $P$ , dimensiunile caracteristice ale secțiunii trapezoidale  $b$  și  $h$ , coeficienții de rezistență Chezy pentru pat notec  $C'$  și pentru patul real cu toate obstacolele existente în calea curgerii  $C$ , factorul de rifiuri  $M$ , panta suprafeței libere a apei  $i$  (regimul de curgere fiind considerat uniform)).

Mărimele din a două categorie nu sunt toate independente, ci dacă se iau în considerare și relațiile auxiliare existente între aceste mărimi se ajunge la concluzia că următoarele patru mărimi esențiale sunt independente:  $P$ ,  $b$ ,  $h$ ,  $i$ . Cu acestoare mărimi s-au formulat patru probleme tipice care intervin mai des în practică din care primele două au fost denumite probleme de proiectare și următoarele două probleme de prognoză:

- se proiectează regularizarea unui curs de apă pe care există suficiente măsurători de debite solide tirite; drept urmare  $P$  trece în categoria mărimerilor cunoscute, iar mărimele care definesc albia stabilă  $b$ ,  $h$  și  $i$  rămân necunoscute;

- se proiectează regularizarea unui curs de apă pe care nu există măsurători de debite solide tirite; în acest caz este necesar să se adopte panta în regim regularizat, celelalte mărimi ( $P, b, h$ ) rămânând necunoscute; deocamdată, mai ales în zonele de munte și de deal această pantă este impusă între anumite limite de configurația terenului;

- se cere să se aprecieze dacă un anumit sector existent este sau nu este stabil, iar în caz de instabilitate să se precizeze dacă în evoluția viitoare vor fi preponderente procesele de depunere sau de eroziune;

- se cere să se aprecieze dacă particulele de o anumită dimensiune  $d$  pot constitui majoritatea în cadrul aluviunilor tirite în curent.

Se constată că pentru rezolvarea problemelor formulate cele două ecuații fundamentale nu sunt suficiente. Pentru obținerea unei a treia ecuații se va utiliza din nou principiul variational al disiparii minime a energiei, în formularea dată de prof.dr. doc.S.Hâncu. Concluzia care rezultă este aceea că

sectorul considerat se găsește în echilibru dacă debitul solid tărit  $P$  este maxim, la o capacitate de transport dată a curentului. Rezolvând consecvent această problemă de extremă condiționat într-o manieră diferită de a prof. Hâncu (care a determinat criteriul stabilității locale sub forma  $Z \leq 10 Z_{\infty}$ ) se obține cea de a treia ecuație neocesată sub forma (IV.2-9) sau (IV.2-9') după cum se folosește formula tip Nikuradze sau tip Manning pentru calculul coeficientului  $C$ .

Paragraful al treilea este intitulat "Determinarea elementelor albiei stabile  $b, h, i$  (problemă I-a de proiectare)". Metodica de rezolvare a acestei probleme a fost exemplificată în cadrul tezei la determinarea elementelor albiei stabile a riuui Jiu în zona Rovinari, la posturile hidrometrice 1 și 6. Datele necesare au fost extrase dintr-o succesiune de articole publicate în revista "Hidrotehnica" care dău o tratare destul de completă a problemei, conținând elementele care au stat la baza proiectării, rezultatele măsurătorilor pe model, rezultatele măsurătorilor în natură înainte și după executarea jucărăriilor de regularizare. Debitele de aluviuni tărite nefiind date explicit în aceste articole a fost necesar ca ele să fie recalculate pe baza punctelor experimentale figurate în diagramele respective articole. Folosind metoda propusă s-au construit graficele din figurile (IV.3-1) și (IV.3-2), respectiv pentru posturile hidrometrice 1 și 6. În abscisa acestor grafice s-a luat adâncimea  $h$ , pe ordinata s-a reprezentat debitul solid tărit  $P$  calculat cu formula Meyer-Peter și Müller, iar ca parametru variabil s-a luat panta  $i$ . Se intră în acest grafic cu valoarea cunoscută a debitului solid tărit (o orizontală  $P = \text{constant}$ ) și se determină acea curbă, din familia de curbe  $P = f(h, i)$ , pentru care orizontală  $r = \text{const.}$  este tangentă la grafic, respectiv acea curbă care admite debitul solid tărit cunoscut drept debit maxim. Abscisa punctului de tangență dă adâncimea  $h$  a albiei stabile, iar panta  $i$  corespunzătoare curbei tangente este panta stabilă. Determinarea lățimiei  $b$  este o problemă elementară de hidraulică. Rezultatele finale sunt prezentate în tabelă IV.3-3 comparativ cu rezultatele proiectării și ale măsurătorilor din natură.

În figurile IV.3-3 și IV.3-4 sunt redate profilele transversale ale albiei regularizate cu evoluția lor în timp de unde rezultă că evoluția albiei s-a produs în sensul apropierea de dimensiunile albiei stabile determinate prin utili-

zarea metodei propusă în teză. În cazul concret al evoluției albiei Jiului în zona Rovinari a fost confirmată justitatea metodei propuse deoarece, în timp, dimensiunile albiei stabile s-au depărtat de cele calculate teoretic prin utilizarea "teoriei regimului" după G.Lacey și de cele calculate cu relațiile propuse de S.Altunin. S-a confirmat astfel, prin măsurători efectuate în natură, rolul major pe care îl are aluvioniile tirite în formarea albiei stabile și faptul că metoda propusă în teză reflectă corect acest rol major.

Paragraful al patrulea este intitulat "Calculul secțiunii transversale stabile ( $b, h$ ) și a transportului de aluvioni  $P_{max}$  cind  $I$  este dat (problema a II-a de proiectare). Metoda propusă pentru rezolvarea acestui problema este aplicată în teză pentru rîul Argeș în zona UHM Gh.Gheorghiu Dej ; datele de bază au fost puse la dispoziție de către proiectantul general, ISPH București și s-au referit la debitul de viitură cu asigurare de 0,1 %. În cadrul unui contract de cercetare problema a fost rezolvată pe calea modelării hidraulice. În cadrul tezei, ulterior predării contractului, s-a propus o metodă teoretică de rezolvare, la fiecare pantă studiată determinându-se perechile de valori ( $b, h$ ) care verifică formula debitului lichid și care ar putea constitui o soluție a problemei. S-au construit apoi graficele din figurile IV.4-1 și IV.4-2 în coordonate ( $h, P$ ) ca și în cazul problemei anterioare. Construirea curbelor de transport a aluvionilor la mai multe pante dă o imagine de ansamblu asupra posibilităților de rezolvare a problemei de către proiectant. Cunoșcind pantă se urmărește curba respectivă, soluția problemei corespunzînd maximului acestei curbe care permite determinarea lui  $P_{max}$  și  $h$  stabil. Lansînd pe model un debit de aluvioni mai mare decât cel citit pe curbă s-a constatat apariția depunerilor în timp ce la lansarea upui debit mai mic acestor depunerî nu au apărut. Rezultatele finale privind elementele albiei stabile au fost înscrise în tabela IV.4-4 în care sunt prezentate comparativ și rezultatele obținute prin folosirea altor metode.

Paragraful al cincilea este intitulat "Prognоза evoluției unei albiei existente". Metoda propusă pentru rezolvarea acestei probleme a fost aplicată la același sector al rîului Argeș însă pentru debitul mediu care apare în exploatare ; rezolvarea acestei probleme de asemenea nu a constituit obiect al contractului menționat.

Calculele au fost făcute pentru mai multe pante dintre

100

care în tabela IV.5-1 s-au prezentat doar calculele pentru sectorul de aliniament din amonte cu panta de 1 %, pentru sectorul de aliniament aval cu panta de 0,8 % și pentru zonele intermedie cu pante de 1,5 % și 2 %. S-au determinat perechile de valori (b,h) care verifică formula debitului lichid și debitul de aluviuni tărîte P corespunzător. Din reprezentarea grafică respectivă (IV.5-1) a rezultat că, în albia existentă, (b dat) la h corespunzător debitului de calcul, nu este realizat debitul maxim de aluviuni tărîte. Cum lățimile albiei sunt mai mari, decât cele corespunzătoare soluției de albie stabilă, și înălțimile respective ale curentului mai mici, se prognozează evoluția albiei în sensul reducerii lățimii la bază prin realizarea unor depunerile laterale însotite de creșterea adâncimii în sensul apropierii de albia corespunzătoare energiei disipate minime.

Paragraful ultim, al săselea, este intitulat "Prognozarea transportului de aluviuni într-o albie existentă". În cadrul capitolului se rezolvă problema care apare uneori în proiectare, de a aprecia, dacă particulele de anumite dimensiuni "d" (aceste dimensiuni referindu-se la diametrul preponderent al aluviunilor) vor fi transportate de curent. Metoda s-a aplicat tot la modelul menționat al rîului Argeș. Din graficul IV.6-1 care este construit după același principiu ca cele anterioare, însă pentru o pantă constantă și diferite dimensiuni ale particulelor, se constată că în general pe măsură ce diametrul particulelor crește, crește și adâncimea curentului de apă capabil să producă atracarea aluviunilor în condiții de stabilitate a albiei. Se mai constată că pentru dimensiunile albiei adoptate de proiectant, condiția de stabilitate a albiei, apreciată prin prisma debitului maxim de aluviuni tărîte, este indeplinită pentru diametre ale aluviunilor cuprinse între 10 mm și 25 mm. În cazul cînd diametrii caracteristici ai aluviunilor vor fi mai mari sunt de exceptat depunerile, iar în cazul că diametrii vor fi mai mici sunt de așteptat eroziuni.

Capitolul V este intitulat "Contribuții la problema stabilității albiilor pe sectoarele în curbă". Paragraful întîi al acestui capitol este intitulat "Prezentarea cîtorva date din literatura de specialitate privind deformarea albiei în curbele curentilor cu față liberă". În urma corectării literaturii, care a fost accesibilă, se formulază constatarea generală că deformarea albiei în curbe este o problemă insuicient studiată. În general studiile experimentale efectuate în laborator asupra albiilor

curbate pot fi grupate în următoarele patru categorii, după scopul principal pe care îl-au urmărit:

- stabilirea legităților meandrării naturale a albiilor;
- stabilirea imaginii generale a fenomenului deformării fundului albiei pe modele cu pereti rigizi;

- stabilirea poziției de amplasare a prizelor de apă în sectoarele curbe ale râurilor;

- explicarea creșterii eroziunilor în curbele albiilor prisătioase și evaluarea cantitativă a acestei creșteri. La fiecare categorie de probleme sunt citate cercetările cele mai reprezentative, dar în detaliu sunt prezentate cercetările din ultima categorie care au o importanță mai mare pentru problema studiată, cercetări datorate lui A. Ippen și P. Drinker și lui I.L. Rzowski. În fiecare caz s-au arătat și unele neajunsuri ale cercetărilor respective. Metoda utilizată de Ippen și Drinker se bazează pe folosirea unor relații ale lui Preston privind determinarea efortului tangențial la perete prin citiri cu sonde Pitot de un tip special. Metoda dă erori relativ mari, iar cercetări efectuate în laboratorul catedrei de aerodinamica a Institutului politehnic "M.I.Kalinin" din Leningrad au dus la concluzia că domeniul de aplicabilitate ai relațiilor Preston este situat în intervale care se întâlnesc rar în practică. Metoda adoptată de Rzowski a apărut mai adecvată pentru a fi utilizată în proiectare de aceea s-a căutat să se aducă unele îmbunătățiri acestei metode, îmbunătățiri bazate în primul rînd pe rezultatele obținute în teză în ceea ce privește cinematica curburii pe sectoarele curbe. În esență metoda constă în introducerea unui coeficient global de reducere care să exprime de câte ori este mai mică viteza medie a curentului în momentul inițierii procesului de eroziune pe sectoarele în curbă comparativ cu viteza medie a curentului în momentul inițierii procesului de eroziune pe sectoarele în aliniament. Coeficientul de reducere global rezultă din înmulțirea unor coeficienți parțiali care țin cont, fiecare, de câte o latură a fenomenului studiat.

Paragraful al doilea este intitulat "Propunere de evaluare a capacitații de eroziune a curentului pe sectoarele curbe, comparativ cu sectoarele rectilinii". Coeficientul global de reducere se consideră format din înmulțirea a cinci coeficienți exprimând influența diferitelor schimbări care se produc în curgerea pe sectorul în curbă în comparație cu curgerea pe sectorul din aliniament. Primul coeficient este cel mai important

și el ține cont de faptul că la aceeași viteză medie pe secțiunea de curgere, viteză medie pe verticală are cu totul altă distribuție în cazul sectorului în curvă decât în cazul sectorului în aliniament. Coeficientul este definit ca raportul a două viteze medii pe verticale omoloage din curba și aliniament. Coeficientul se calculează în secțiunile situate aval de secțiunea de mijloc a curbei, pe verticale situate spre malul conoaz, unde acest coeficient are valori asupraunitare. Din cîteva cazuri studiate a rezultat să secțiunea cea mai periculoasă este chiar secțiunea de ieșire din curbă. Determinarea vitezei medii pe diferite verticale pe sectoarele rectilinii se poate realiza prin măsurători în natură, prin măsurători pe modele cu pat fix sau pat mobil sau, în lipsa acestora, prin reținerea propusă în teză, privind distribuția pe lățime a vitezelor medii verticale. Determinarea vitezei medii pe diferențe verticale pe sectoarele în curbă se poate realiza de asemenea prin măsurători, iar în lipsa acestora folosind algoritmul sau programul de calcul automat propus în teză. Coeficientul al doilea ține cont de faptul că variația adâncimilor apei pe lățimea curentului în curbe este diferită de cea pe porțiunile în aliniament, unde nivelul apei este relativ orizontal. Determinarea adâncimilor corespunzătoare sectorului rectiliniu nu prezintă dificultăți, în schimb pentru determinarea adâncimilor în curbă sunt necesare măsurători sau se poate utiliza algoritmul și programul de calcul automat propus în teză. Influența variației adâncimilor s-a introdus prin formula Levi-Knoroz, putind însă să fie utilizată în acest scop și formula lui Samov.

Coeficientul al treilea ține cont de condițiile defavorabile din punct de vedere al stabilității în care se găsesc particulele solide aflate pe un taluz în comparație cu cele aflate pe un fund orizontal. Pentru exprimarea coeficientului s-a propus folosirea relației lui B.A. Fișkin, modificată în sensul unei apropierii față de rezultatele experimentale.

Coeficientul al patrulea ține cont de creșterea relativă a vitezelor de fund datorate curgerii secundare care apare pe sectoarele în curbă față de sectoarele în aliniament. În lipsa oricăror indicații din literatură, s-a adoptat drept distanță reprezentativă de fund, necesară pentru definirea vitezelor de fund distanța de 0,05 h. Pentru definirea coeficientului se utilizează repartitia vitezelor radiale propusă în teză.

Ultimul coefficient ar trebui să țină cont de modificarea

caracteristicilor de turbulență care se produc pe sectorul în curbă în comparație cu sectorul în aliniament. Singurele măsurători în această direcție de care s-a dispus, se datoresc lui E. Masser și sunt suficiente pentru precizarea valorii coeficientului. Cu urmare, la nivelul actual al datelor de care dispunem, se va adopta pentru acest coefficient o valoare unitară.

Paragraful al treilea este intitulat "Un exemplu de aplicare a metodelor propuse pentru determinarea vitezei de eroziune în curbe". Aplicarea metodei propuse s-a făcut pentru rezolvarea și teoretică a unei probleme concrete solicitată de ISPH București referitor la rîul Argeș în zona UHF "Gh. Gheorghiu Dej" (solicitarea se referă la rezolvarea problemei prin modelare). Problema constă în determinarea dimensiunilor minime ale anrocamentelor care pot fi folosite pentru consolidarea unui anumit sector, fără a fi antrenate de apă în timpul viiturilor. Datele cunoscute inițial au fost trecute în tabela V.3-1, vitezele de eroziune în aliniament calculate pe baza formulei Levi-Knoroz și a normelor sovietice elaborate de Ghidroenergoproiect sunt cuprinse în tabela V.3-2 iar valorile obținute pentru coeficientul global de reducere au fost trecute în tabela V.3-3. Dimensiunile minime ale anrocamentelor au fost trecute în tabela V.3-4 și confirmate de verificările făcute pe model. Se constată, din acest tabel, excepționala forță de antrenare de care este capabil rîul Argeș, în timpul viiturilor, în curbele considerate în verticalele cele mai pericolitătate ajungindu-se la dimensiuni de anrocamente aproape egale cu adâncimea medie a apei pe sectorul de aliniament, dimensiunile rezultate fiind mult mai mari decât cele prevăzute inițial de proiectant.

Capitolul al șaselea "Similitudine și modelare hidraulică" este alcătuit din două paragrafe intitulate respectiv "Criterii de similitudine" și "Modelul unui sector al rîului Argeș".

În primul paragraf se indică forțele predominante în fenomenul studiat, forțele gravitaționale și forțele inerțiale, care conduc la legile de similitudine Froude și Newton, cu respectarea unor restricții impuse de disponibilitățile de dotare și amplasare ale laboratorului, de încadrare a fenomenelor simile (natură, model) în domeniul de automodelare și raportul criteriul Reynolds, de realizare a unei adâncimi minime pe malul convex care să permită efectuarea măsurătorilor în condiții acceptabile de precizie, de realizare a unei viteză mai mari ca

0,23 m/s care să asigure similitudinea reliefului suprafeței libere și de pastrare a caracterului regimului de curgere în fenomenele simile. De asemenea, avind în vedere că plăcile de protecție a taluzurilor s-au confectionat pe model din alt material decât în natură a fost necesar să se execute distorsionate, cu grosimea redusă la o altă scară decât cea a lungimilor, în schimb deoarece enrocamamentele s-au folosit din aceeași rocă ca și în natură nu a mai fost necesară distorsionarea lor.

Paragraful al doilea este intitulat "modelul unui sector al râului Argeș". Se prezintă motivele care au stat la baza adaptării unui coefficient de scară al lungimilor relativ mai mic decât cel ușual ( $\alpha_f = 25$ ), rezultat ale cerinței de a respecta toate restricțiile impuse de ansamblul problemelor la care modelarea trebuia să răspundă. Se pune în evidență caracterul special al problemelor studiate, comparativ cu problemele ce se pun în cazul modelărilor de rutină, precum și lipsa unor metode teoretice care să permită comparația cu rezultatele măsurătorilor efectuate pe modelul hidraulic.

O problemă căreia i s-a acordat o atenție specială a constituit-o tararea modelului, astfel încât să se realizeze efectiv rugozitatea pe model cerută de transpunerea rugozității naturale prin intermediul regulilor de similitudine considerate. În acest scop s-a executat inițial un model cu o rugozitate mai mică, apoi s-a mărit rugozitatea pînă la valoarea dorită prin folosirea de pietriș mărunt (3-4 mm) fixat de pat prin intermediul laptelui de ciment.

Intr-un număr de douăsprezece fotografii sunt prezentate imagini caracteristice ale modelului, în timpul desfășurării cercetărilor.

#### Concluzii generale

Pe baza studierii unui vast material biobiografic de strictă specialitate (128 titluri), teza prezintă numeroase contribuții în rezolvarea a patru probleme fundamentale :

- cinematica curentilor cu față liberă pe secțiunile în aliniament ;
- cinematica curentilor cu față liberă pe secțiunile în curba ;
- stabilitatea albiei la eroziune pe secțiunile în aliniament ;

- stabilitatea albiei la eroziune pe sectoarele în  
urbă.

Rozultatele teoretice sunt permanent însotite de verificări experimentale proprii și în paralel se folosesc rezultatele obținute de alți cercetători, prin măsuratori în laborator și în natură, ceea ce conferă un plus de obiectivitate și generalitate acestor rezultate.

BIBLIOGRAFIE

- A-1 Arsenie, M., Arsenie, D.- Considerații variaționale asupra pierderilor de energie în curgerea laminară a lichidelor newtoniene în conducte rectilinii de secțiune circulară. În Studii și cercetări de mecanică Aplicată Nr.4, 1968 tom 27.
- A-2 Arsenie, M., Arsenie, D.- O fundamentare variațională a legilor frecării în cazul mișcării permanente a lichidelor între doi pereti plani-paraleli. În Buletinul științific și tehnic I.P.T. fascicola 1, 1970. tom 15(29).
- A-3 Arsenie, M., Arsenie, D., - O teoremă de minim privind pierderile de energie de natură viscoasă în curgerea laminară a lichidelor newtoniene în canale. În Buletinul științific și tehnic I.P.T. fascicola 1, 1969, tom 14(28).
- A-4 Arsenie, M., Arsenie, D., - O propunere privind lungimea de amestec din teoria lui L. Prandtl pentru cazul curgerii turbulentă în canale și conducte având la bază un principiu variațional. În Studii și cercetări de mecanică Aplicată, Nr.3, 1969 tom 28.
- A-5 Arsenie, M., Arsenie, D., - Două teoreme variaționale cu caracter energetic în mișcarea fluidelor care satisfac ecuația constitutivă Cauchy-Poisson. În Buletinul științific și tehnic al I.P.T. seria construcții, fascicola 1, 1973 tom 18(33)
- A-6 Ananien, A.K. - Dvijenie jidostii na povorote vedovoda. Izdatelstvo A.N.Armen.SSR, Erevan, 1957
- A-7 Altinun, S.T., - Regulirovanie rusei, Selihovzhiz, Moskva 1956
- B-1 Berdenis van Berlekom, H.A., Vracs, M., Prins, J.K. - Selected problems from the theory of regulation of hydrodynamic phenomena, Polskiej Akademie Nauk, 1972
- B-2 Băloiu, V., - Combaterea eroziunii solului și regularizarea cursurilor de apă, Editura didactică și pedagogică București, 1967
- B-3 Blidaru, E., - Hidraulica vol. I și vol. II, Editura didactică și pedagogică, București, 1964.
- B-4 Boiliaková, V.V., Ivanov, A.I. - Sbornik zadaci po hidrotehnici inженерной гидрологии и регулирования стока, Высшая школа, Москва, 1975
- B-5 Bătuță, D. - Metodele stochastice pentru studiul fenomenelor aluvionare. În Hidrotehnica, vol. 18, nr. 8, 1973
- B-6 Brooks, N.H. - Mechanics of streams with movable beds of the sands. În Transactions ASCE, vol. 123, 1958

- C-1 Constantinescu,M., Goldstein,.., Harau,V., Solomon,S. - Hidrologie, Editura tehnica, Bucuresti, 1956
- C-2 Constantinescu,V.N., - Teoria lubificatiei in regim turubuent, Editura Academiei RSR, Bucuresti, 1965
- C-3 Ciuganov,R.R. - Ghidravlika Izd. "Knorzhia" Leningrad, 1970, izdanie vtoroe.
- C-4 Comitetul de stat al apelor. Institutul de studii si cercetari hidrodinamice. Studii de hidrologie XXI, Bucuresti, 1967
- C-5 Chien,W. - The Present Status of Research on Sediment Transport Proc.ASCE, New York 80, 1954
- D-1 Dan,E., - Regularizari de rouri, Editura didactica si pedagogica, Bucuresti, 1964
- D-2 Dementiev,N.A. - O dvijenie jidkosti v mestah poverota rusla. Izv.naučno-meliorat. Instituta, vyp XXIX, Leningrad, 1930.
- D-3 Danolia,N.F.- Formirovanie rusla na izgibse potoka metodom poperecinoi tirkulatsii, Sbornik "Poperecinal'naya tirkulatsiya v otkritom potoke" pod redakcijei Potapova,M.V., Selihozghiz, Moskva, 1936
- D-4 Diaconu,C., Debitul solid pe rîurile din RSR. Lucrare de doctorat 1970
- E-1 Einstein,H.A., - Formulae for the transportation of bed load. In Transactions A.S.C.E. vol.107, 1942
- E-2 Einstein,H.A., - Bed Load function for sediment transportation in open channel flow. In Technical Bulletin, nr.1026, 1950
- E-3 Einstein,H.A. si Barbarossa,N., River channel Roughness. In Transaction ASCE, vol.117, 1952
- E-4 Einstein,H.A. si Barbarossa,N. - Sediment transporation mechanics - Sediment discharge formulas. In Journal of the Hydraulics Division, P.ASCE, vol.97, No.H.Y aprilie 1971
- E-5 Einstein,H.A. si Barbarossa,N. - Hydraulic relations for alluvial streams. In Journal of the Hydraulics Division, P.ASCE vol.97 No.H.Y 1, ianuarie 1971
- E-6 Rumett,W.W., Leopold,L.B. - Geometry of river channel. Discussion. Journal of the Hydraulics Division, Proc.Am.Soc.Civ. Engrs., 90 No.H.Y. 5, 1964
- F-1 Fidman,B.A. - Rezultatä izmerenia turbulentnosti v raznomernom i rezko rasperedjajušem potoke. Izv.AN SSSR, OTN, 1953, No.11, p.1630-1644
- G-1 Grinvald,D.J. - Turbulentnosti ruslovih potokov, Ghidrometeoizdat, Leningrad, 1974
- G-2 Goncharov,V.N. - Dinamika ruslova potokov, Ghidrometeoizdat, Leningrad, 1962

- G-3 Griganin,K.V: - Teoria ruslovo protessa. Izdt.Transport,  
Moskva,1972
- G-4 Gradstein,J.S.,Rjistik,J.M. - Tablitz integralov,summ,riadow  
i proizvedenii,Gosudarstvennoe izdatelstvo fiz-mat.  
literaturi,Moskva,1963
- H-1 Hâncu,S.,- Regularizarea albiilor rîurilor nici,Editura  
CEPES,Bucureşti,1971
- H-2 Hâncu,S. - Modelarea hidraulică în curenti,de.aer sub presiune,Editura Academiei RSR,Bucureşti,1967
- H-3 Henderson,F.M. - Open Channel Flow.The Macmillan Company,  
New York Collier-Macmillan Limited,London,1966
- H-4 Iliaşu,K. și Berk,I.S. - Mecanismul tablitzî erugovîh  
ghiperbolîcskikh i drugih funckii,Vîcislitelniî centr  
A.N.-SSSR,Moskva,1955
- H-5 Hâncu,S.,Predescu,I.,Novotny,P. - Model de calcul privind  
dimensionarea luerărilor de regularizare a.albiilor în zonă  
amenajările hidromeliorative.Analele ICIM Seria hidro-  
tehnica,vol.I,1967
- H-6 Hâncu,S.,Predescu,I.,Marinescu,V. - Sur le mouvement des  
fluides autour d'une plaque plane,C.R.Acad.Sc. Paris  
269 , 1969
- H-7 Hâncu,S. - Calculul hidraulic al podurilor-Studii de hidrau-  
lică IECH,Bucureşti,1964
- I-1 Iokosi,Sh. - Observations of turbulence in Sosui Canal.Bull  
Disaster Prevention Research Institute.Annuals Nr.9 Kyoto,  
Japan,1966
- I-2 Iusmanov O.L.K rasciova poperecinoi tîrkuliatii na krivo-  
lineinom uciastke kanala,Ghidrotehnika i melioratii No.1,  
1953
- I-3 Iakovleva,T.I - Skorostnoe pole potoka na odinocinom iz-  
gibbe.Kandidatskaja dissertatiia,L.G.M.I.,Leningrad,1968
- I-4 Institutul de meteorologie și hidrologie-sectorul Timișoara  
a.- Carnete de măsurători pe rîul Timiș,postul Lugoj,  
Ban.2.1.4. anii 1960, 1970
- b.- Carnete de măsurători pe rîul Timiș,postul Sadova  
Veche, Ban.2.1.4,anii 1961, 1966
- c.- Carnete de măsurători pe rîul Bega,postul Balint,  
Ban.1.1.3, anii 1961, 1966
- I-5 Ibad-Zade Iu.A. - Ghidravlika sprisilenii izlucin rek.  
Baku , 1951

- I-6 Ionescu Sisești Dan, Beleciu, St. - Regularizarea râurilor, București, 1965
- I-7 Institutul de meteorologie și hidrologie. Râurile României, București, 1971
- J-1 Jura, C. - Curs de economia apelor, Editura didactică și pedagogică, București, 1962
- K-1 Kojevnikov, M.P. - O dvijenii vodi na poverote rusla. Izb. VN IIG, t.44, Leningrad-Moskva, 1951
- K-2 Kalinske, A.A. - Movement of sediment as bed load in rivers. In Transactions ASCE, vol.4, 1947
- K-3 Knoroz, V.S. - O deformăție dnă i o vlianii ih na ghidravliceskii regim potokov. Trudî III. Vsesoçinznogo. ghidrologičeskogo siedza, Leningrad 1960
- K-4 Karausev, A.V. - Ghidravlika rek i vodohranilișci. Recitransizdat, Leningrad, 1955
- K-5 Kondratev, N.E. ş.a. - Ruslovi protes, Ghidrometeocizdat, Leningrad, 1959
- L-1 Liahter, V.M., Prudovskii, A.M. - O vliianii coefițienta ghidravliceskogo trenia i otносitelnoi širini potoka na raspredelenie predolinih skorostei na povorote. Bul. naucin.-tch., informații Ghidroproecka im. S.Ia.Juk.No.1, Moskva, 1958
- L-2 Liahter, V.M., Prudovskii, A.M. - Usloviia dvijenii na povorote v zavisimosti ot coefițienta ghidravliceskogo trenia i otносitelnoi širini potoka. Sbornik Ghidravlika soorujeni i dinamica recinif rusel. A.N. SSSR, 1959
- L-3 Leliavsky, S. - V vedenie v recinuiu ghidravličiu. Traducere din limba engleză. Ghidrometeorologicheskoe izdatelistvo, Leningrad, 1961
- L-4 Levi, I. I. - Dvijenie recinif potokov v nijofh biefah hidrotehniceskih soorujenii, Moskva 1955
- L-5 Larras, J. - Hydraulique et granulats. Eyrolles 1972
- I-5 Levi, I. I. - Injenernaia ghidrologia, Moskva 1968
- L-7 Lopatin, G.V. - Nanosi rek SSSR, Moskva 1952
- I-8 Langbein, W.B. - Geometry of river channels. Proc. ASCE, vol. 90 n Hy 2, 1964
- I-9 Latışencov, A.M. - Voprosi ghidravlichih iscustveno sjatih rusel. Gosizdat, Moskva 1960
- M-1 Mateescu, C. - Hidraulics. Editura didactică și pedagogică, București, 1963
- M-2 Manoliu, I. - Regularizări de râuri și căi de comunicații apă. Editura didactică și pedagogică, București, 1973

- M-3 Manoliu, I. ş.a. - Regularizări de râuri. Manualul inginerului hidrotehnician, vol. II. Editura tehnică Bucureşti, 1970
- M-4 Manoliu, I. - Principiile și metodele dimensionării albiei stabile. In Hidrotehnica, Gospodărirea apelor, Meteorologia, nr. 11, 1971
- M-5 Mostkov, N.A. - O cern istorii rusovovo potoka. Izdat A.N. SSSR, 1959
- M-6 Monin, A.S., Tagiom, I. - Staticeskaia ghidromehanica. Izdat Nauca, Moskva 1965
- M-7 Mîndru R., Ionitaia H. Hidrologie ameliorativă, Editura agrosilvică, Bucureşti, 1962.
- M-8 Malkus, W.R. - Discrete transmitions in turbulent convection Proc. Roy. Soc. Seria A(225)
- M-9 Milovici, A.Ia. - Nerabocii izlivov potoka jidkosti. Bul. Politehniceskogo obšestva №.10, Žekta, 1914
- M-10 Makkayev, V.M. - O dvijenii rusovih potokov i ob obšeih voprosah turbulentnogo dvijenija jidkosti. Trudi 1 Y ghidrologicheskoi konferenții baltiiskikh stran, doklad №.91, 1933
- M-11 Muramoto Y. - Secondary flow in curved open channels. Trudi XII Kongressa M.A.G.L., t I, 1967
- M-12 Müller, R. - Theoretische Grundlagen der Fluss- und Wildbachverbaungen. Ed. A.G. Gebr. Loemann & Co, Zürich, 1943
- M-13 Mercer, A.G. - Characteristics of Sand ripples in low Froude number flows. University of Minnesota, 1964
- M-14 Meyer Peter E., Müller, R. - Formulas for Bed-Load Transport, Congresul II AFRII, Stockholm, 1948
- M-15 Manak, W. - River regulation. Warszawa, 1964
- M-1 Nicolescu, M., Diaconescu, N., Marcus, S. - Analiză matematică vol. I. Editura didactică și pedagogică, București, 1966
- O-1 Oghievskii, A.V. - Hidrologia uscatului vol. I. Traducere din limba rusă. Institutul de documentare tehnică, Bucureşti, 1955
- O-2 Orovcen, T. - Hidraulica și transportul produselor petroliere. Editura didactică și pedagogică, București, 1966
- P-1 Pavel, D. - Hidraulica teoretică și aplicată. Editura tehnică București, 1950
- P-2 Fezikurov, A.F., Sapliukov, F.V., Vrjikovskii, L.V. - Izmerenie turbulentnosti rusovogo potoka tenzometricheskim detektorem Chidrotehnika i meliorația №.6, 1967
- P-3 Potapov, M.V. - Sočinenija T II, III, Selihozghiz, moskva 1950

- P-4 Prus-Chasiński T.M. - Patterns of motion in open channel bends. Journal of the Institution of Water Engineers, vol.10, No.5, 1956
- P-5 Poletaev, I.B. - Studiu stabilității albicii la eroziune și legitățile generale ale mișcării în curbele canalelor trapezoïdale înguste (în limba rusă). Teză de doctorat elaborată în cadrul catedrei de ameliorații ingineresti a Facultății de hidrotehnică a Institutului polytechnic "M.I.Kalinin" din Leningrad, sub conducerea prof.dr.Ghebov P.D., om de știință emerit, 1971
- P-6 Pečicurov, A. - Ustoicivosti rusl rek'i kanalov. Izdatelstvo "Urojai" Minsk, 1964
- P-7 Pop A.Rădu. - Contribuții la optimizarea dimensiunării albiilor de cursuri regularizate. In Hidrotehnica No.9 vol.18 septembrie 1973
- P-8 Paintal, A.S. - The probabilistic characteristics of bed load transport in alluvial channels. University of Minnesota, 1969
- P-9 Paintal, A.S. - A stochastic model of bed load transport. In Journal of Hydraulic Research, A.I.R.H. vol.9 No.4, 1971
- Q-1 Quesnel Bernard - Traité d'hydraulique fluviale appliquée. Ed. Eyrolles, Paris
- R-1 Rudiš, M., Smutek, R. - Relations between turbulence characteristics and the hydraulic Parameters of the shear flow. Acta technica CSAN, No.2, 1966
- R-2 Reynolds, W.C., Tiederman, W.C. - Stability of turbulent channel flow with application to Malkus's theory. Journal of Fluid Mechanics, febr. 1967
- R-3 Rozowski, I.L. - Issledovanię poprzednich ūpravljaćii na izgibie rečinogo potoka. Meteorologija i hidrologija No.6, 1955
- R-4 Rozowski, I.L. - Dvijenie vodi na poverote otkritogo rusla. Izdat. A.N. SSSR, Kiev, 1957
- R-5 Rozowski, I.L. - Viznacenia poprzednich ūpravostei na poverotu rusla. Visiti Instituta hidrologii i hidrotehniki An.URSR, T 6(13), 1950
- R-6 Rouse, H. - Mekanika jidostí dlia inžinierov hidrotehnikov. Traducere din limba engleză. Moskva, 1958
- S-1 Schlichting, H. - Teoria pogranicinovo sloia. Traducere după ediția a cincea din limba germană. Izdatelstvo Nauka, Moskva, 1974

- S-2 Satkevici,A.A. - Teoreticeskie osnovi hidrodinamiki, partea a II-a, Moskva, 1934
- S-3 Săvulescu, S.N. - Tranzitia de la curgea lominară la cea turbulentă. Editura Academiei RSR, Bucureşti, 1968
- S-4 Shuckry, A. - The flow around bends in an open flume. Trans. Amer. Soc. of Civ. Eng., vol. 115, 1950
- S-5 Sisman, I., Širbu, St., - Metode simplificate de măsurare a debitelor de apă. Studii de hidrologie vol. XXI, CNA. Institutul de studii și cercetări hidrometrice, Bucureşti, 1967
- S-6 Ŝamov, G. I. - Recinfe nanosi. Leningrad, 1959
- S-7 Seibulescu, G., Bătucă, D. - Studiul rezistențelor hidraulice a surgerii pe canalul de deviere a Jiului de la Rovinari-Roșia, prin metoda Einstein. În Hidrotehnica, vol. 18 nr. 9, 1973
- S-8 Seibulescu, G., Bătucă, D. - Comportarea în timp și analiza surgerii în albia cu pat mobil a canalului de deviere a Jiului de la Rovinari-Roșia. În Hidrotehnica vol. 18, 1, 1973
- S-9 Seibulescu, G., Enescu, G., Bozez, C. - Proiectarea și execuția canalului de deviere a Jiului la Rovinari. În Hidrotehnica vol. 15, 7, 1970
- S-10 STAS 9269-73 - Lucrări de regularizare a albiei râurilor Prescripții de proiectare.
- T-1 Tipei, N., Constantinescu, V.N. - Influența legii de variație a lungimii de amestec asupra mișcării turbulentă din strătușul de lumbifiant. Studii și cercetări de mecanică Aplicată. Nr. 5 tom 11, 1960
- U-1 Urziceanu Roșca D. - Aspekte metodice privind dinamica albiilor în Studii de hidrologicie vol. XXXVIII, 1973
- U-2 Urziceanu D. - Relațiile dintre variația albiilor pe verticală în profilele caracteristice și regimul hidrologic la stația experimentală Conțești. În Studii de hidrologicie vol. XXVIII, 1970
- U-3 Urziceanu, D. - Considerații asupra deformabilității albiilor și unele rezultate ale cercetărilor. În Studii de hidrologicie vol. XXI, 1967
- U-4 Urziceanu-Roșca, D. - Consecințele pentru activitatea hidrometrică ale evoluției albiilor râurilor și unele aspecte metodice. În Studii de hidrologicie vol. XL I, 1973
- U-5 Urziceanu, D. - Considerații privind caracterizarea stabilității albiilor râurilor. În Hidrotehnica, Gospodăria Apelor, meteorologie, nr. 1, 1967

- U-6 Ujvari, I.- Geografia apelor României. Editura științifică  
socură, 1972
- V-1 Velikanov, M.A. - Ruslovi protess. Gosudarstvenoe izdatelstvo  
fiziko-matematicheskoi literatury, moskva, 1958
- V-2 Ven te Chow - Open-channel hydraulics. Graw-Hill Book  
Company New York Toronto London 1959 . . . .
- V-3 Velikanov, M.A. - Dinamica ruslova potokov. Gosstehizdat -  
Moskva, vol.1, 1954; vol.2, 1955
- V-4 Vozgo da Cunha L. - Evolução actual dos conceitos sobre  
transporte sólido em escoamentos com superfície livre.  
Lisboa, 1969
- V-5 Ven te Chow - Handbook of applied hydrology. Section 17-II.  
Part. II-River sedimentation, by Hans Albert Einstein New  
York, 1964
- Y-1 Yalim Selim - Geometrical properties of sand waves.  
Proc. ASCE, vol. 90 , n Hy 5 , 1964 Part.1
- Z-1 Zebabidze, G.N. - Dvijenie real'noi jidkosti i tviordih tel  
na krivolineinih uciastkakh rek. Izdat. Sabeista Sakartvelo,  
Tbilisi, 1967
- Z-2 Zamarin, I., Popov, I. - Ghidrotehnicheskie soorujenia  
Selhozghiz , 1952
- L-10 Levi, I. I., - modelirovanie ghidraviiceskih iavlenii,  
Moskva, 1967
- R-7 Raghunath, H.M., - Dimensional analysis and hydraulic model  
testing, New York, 1967
- C-6 Chiselev, P.G., - Indreptar pentru calculul hidraulice,  
traducere din limba rusa, Editura energetica de stat, 1953